

Machinerie d'exocytose

Master de Biologie - Neurobiologie
Module Neurobiologie N2
Ecole Normale Supérieure
29 Septembre 2014

Lydia Danglot

INSTITUT JACQUES MONOD



université
**PARIS
DIDEROT**
PARIS 7

Inserm

Download slides on: <http://lydia.danglot.free.fr/cours>

Institut Jacques Monod

Université Paris Diderot-CNRS UMR7592- Inserm ERL950 - Building Buffon - 15 rue Hélène Brion - 75013 Paris - France

Tel.: +33 (0)1 57 27 80 37 - lydia.danglot@inserm.fr

Website <http://lydia.danglot.free.fr>

Machinerie d'exocytose

1. Exocytose et complexe SNARE

Les voies d'exocytose régulée
Définition du complexe SNARE
Nomenclature v/t-SNARE et R/Q-SNARE

2. Historique de la découverte de NSF et des SNARE

Découverte de NSF et SNAP
Isolement des SNARE
Rôle de NSF & SNAP dans la fusion

3. Le cycle des vésicules synaptiques

Voie lente: endocytose médiée par la clathrine
Voie courte: kiss and run
Les différents « pool » vésiculaires

4. Comment mesurer l'exocytose ?

Capacitance
Ampérométrie
GFP pH sensible: la Phluorin

5. Comment mesurer le recyclage ?

Utilisation des anti-synaptotagmine
Sondes fluorescentes de type FM

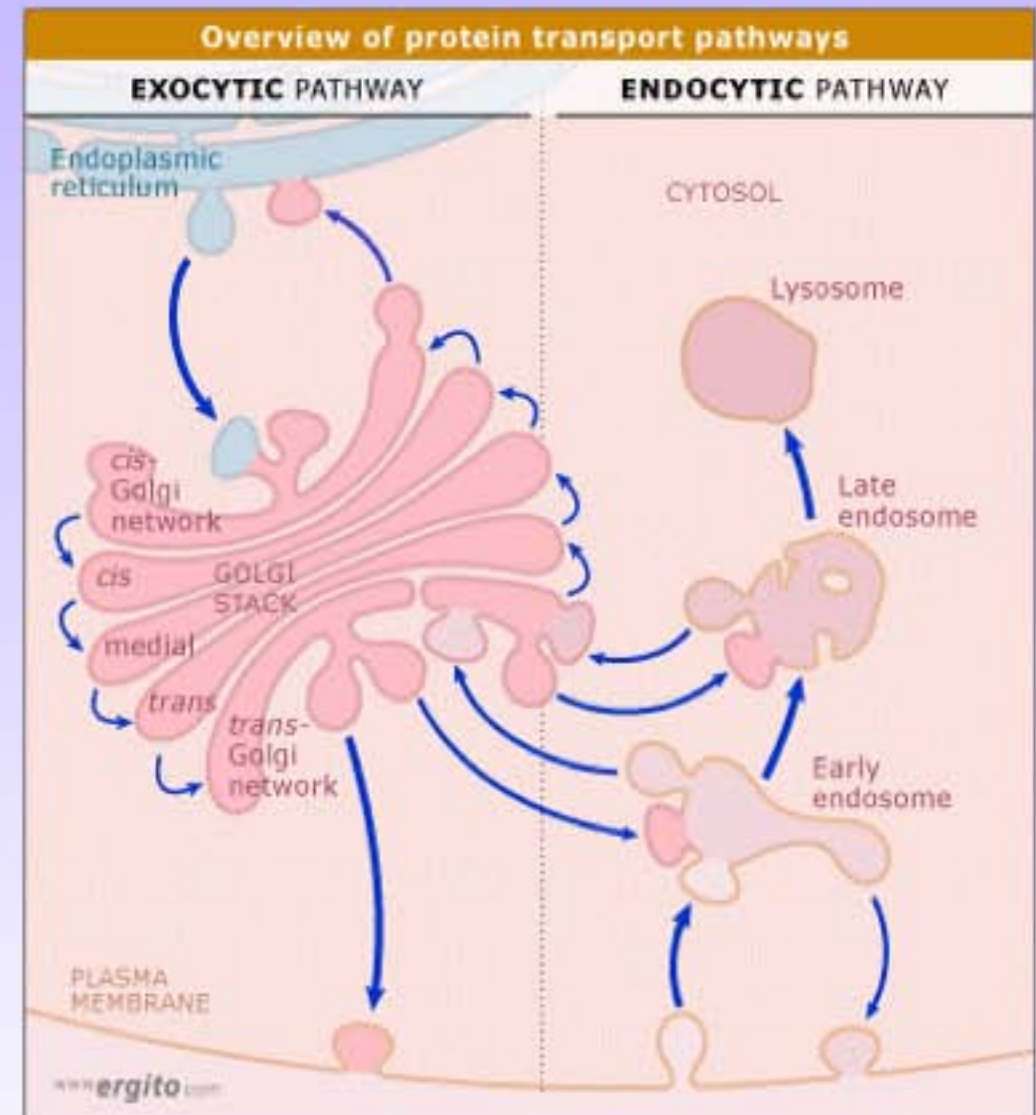
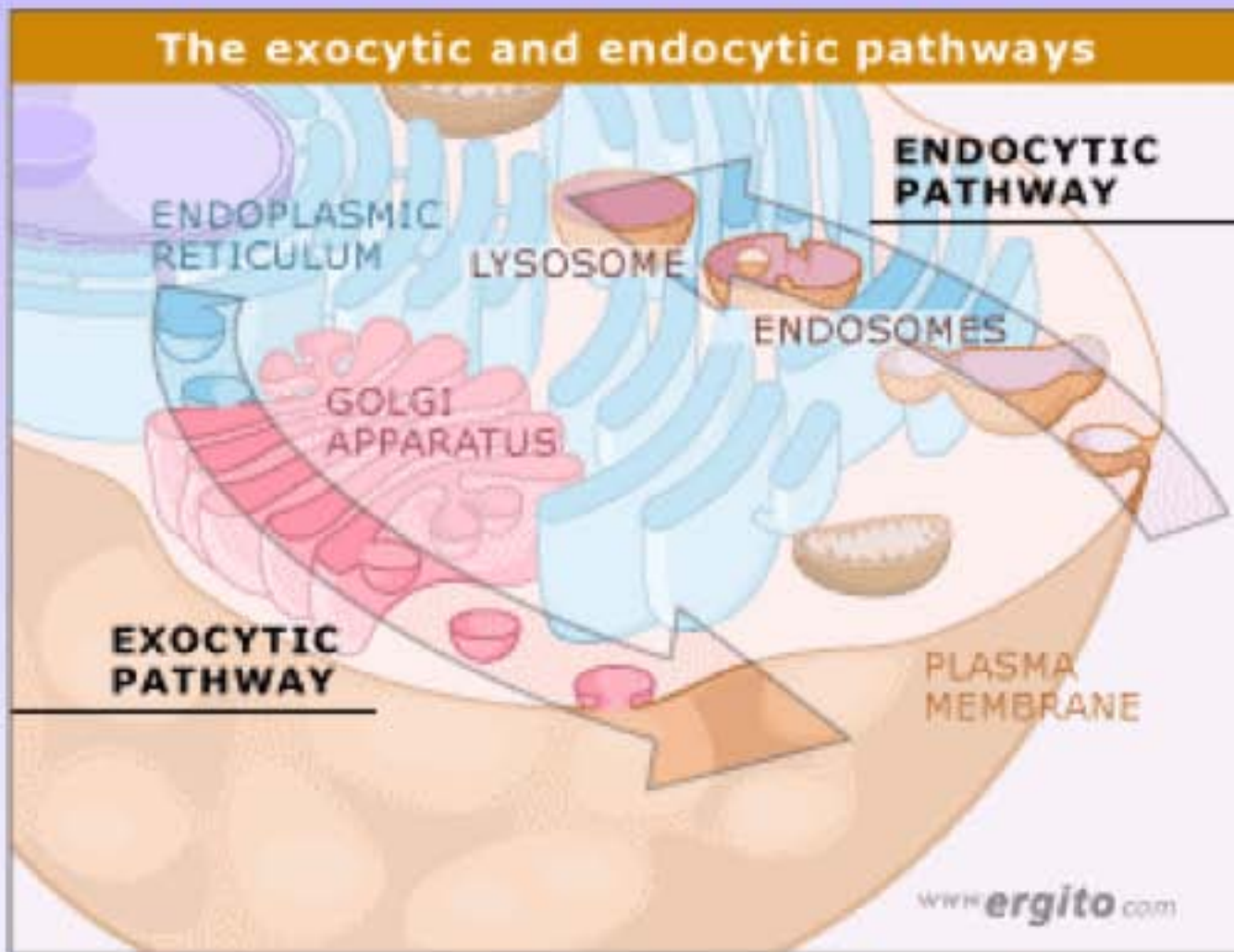
6. Régulation de l'exocytose

Munc-18 et les protéines SM
Munc 13, RIM et Rab3
Rôle de la synaptotagmine et du calcium

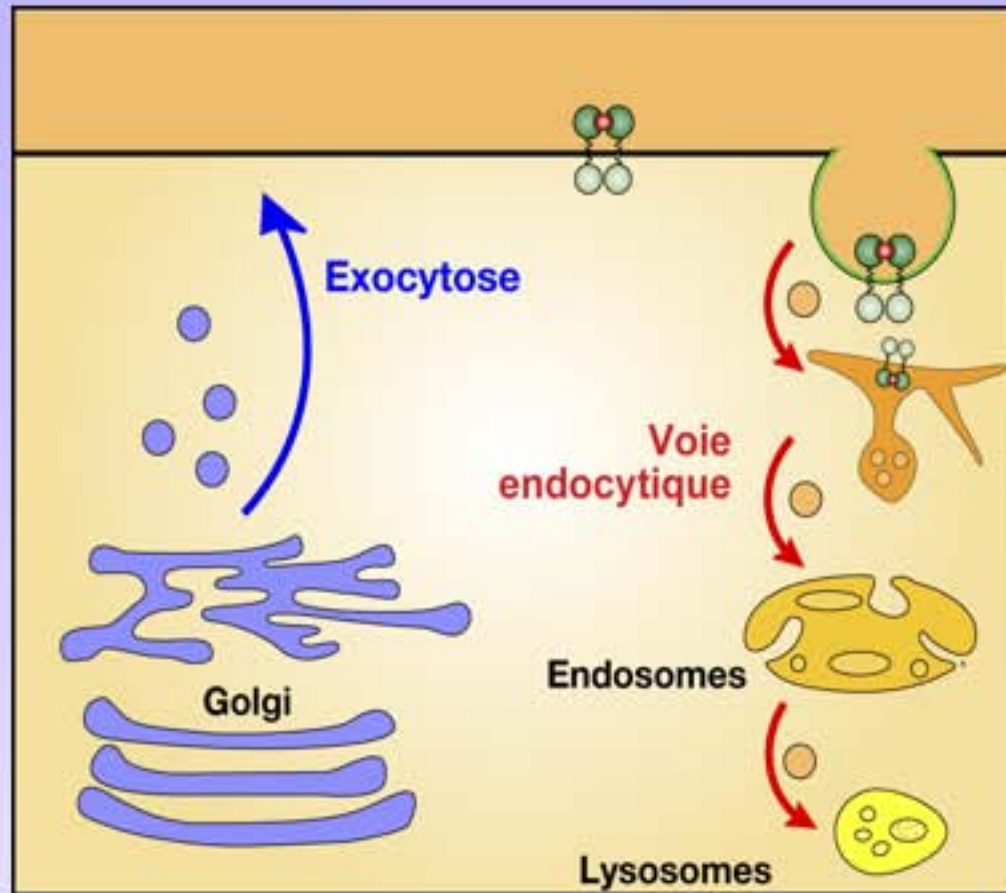
7. Fonctions des SNARES selon le type cellulaire

Rôle de la Cellubrevine dans la migration
Rôle de la synaptobrevine dans la libération des NT
Roles de TI-VAMP dans la croissance neuritique
Roles de Stx3 et SytVII dans la croissance

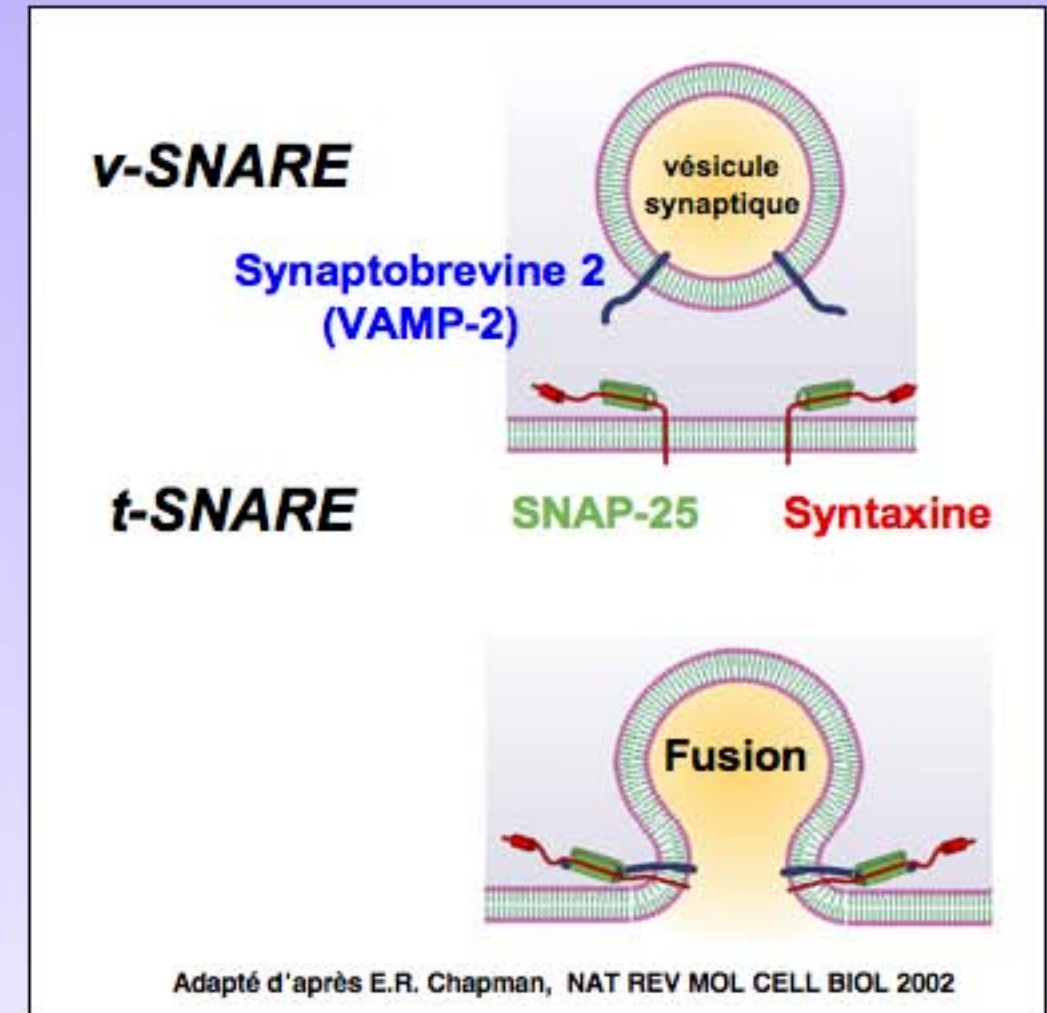
Exo-endocytose



Rôle central des protéines SNARE dans la fusion membranaire



Transport intracellulaire:
Processus d'Exocytose et
endocytose



Machinerie de fusion:
Les protéines SNARE

Role centrale de l'exocytose dans la croissance membranaire et le remodelage

- **Exocytose au pôle apical pole des cellules épithéliales**

(Galli et al., 1998, Lafont et al., 1999, Pocard et al. 2007)

- **Sécrétion des lysosomes (réparation, migration)**

(Pryor et al., 2004; Proux-Gillardeaux 2007)

- **Croissance neuritique**

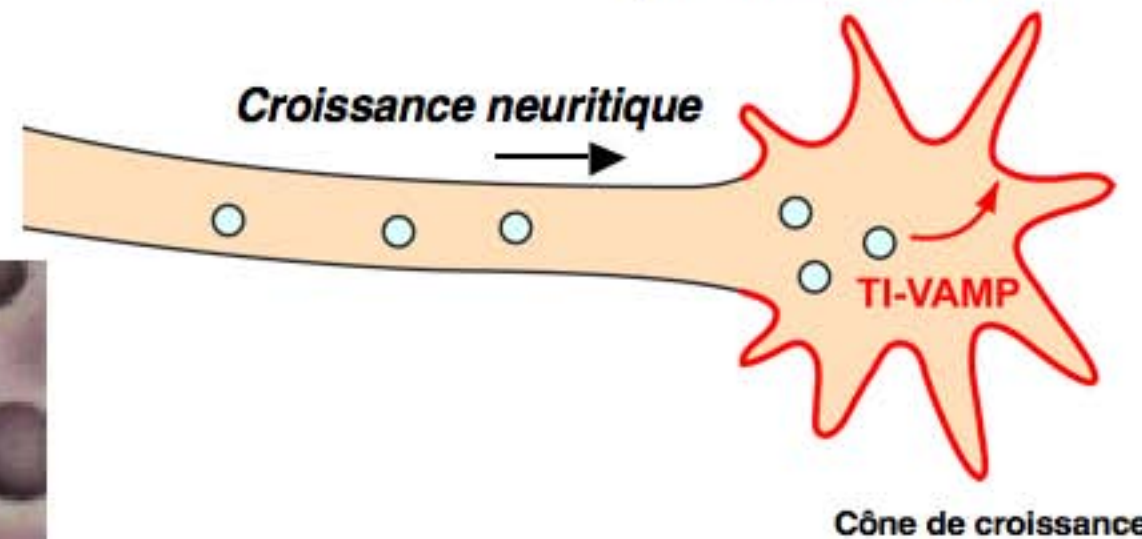
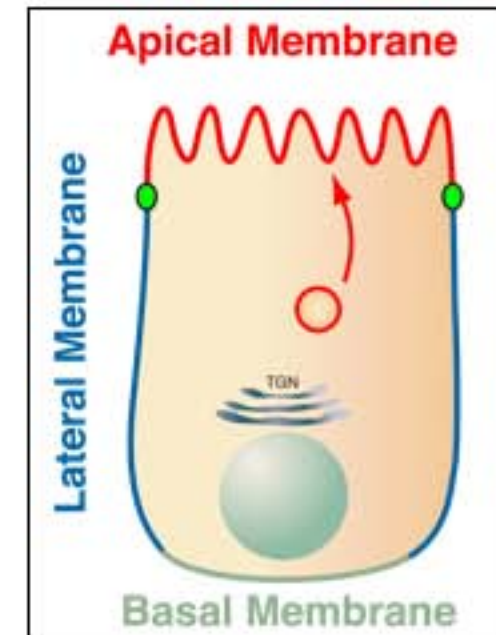
(Martinez-Arca et al.,2003)

- **Exocytose synaptique : libération de NT**

(Danglot et al. PNAS 2006)

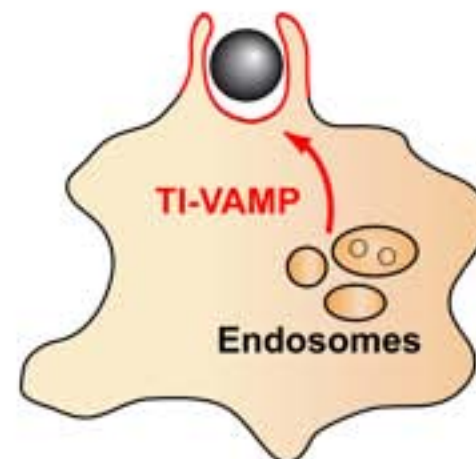


(Proux-Gillardeaux, 2007)



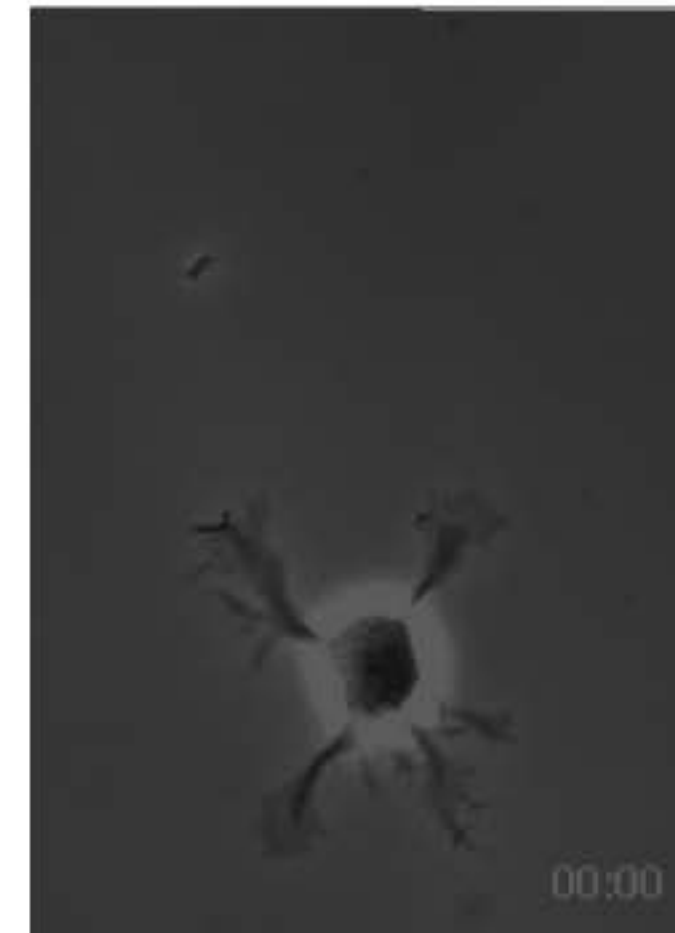
- **Phagocytose**

(Braun and Niedergang., EMBO J, 2004)



- **Degradation de la matrice dans les metastases (invadopodia)**

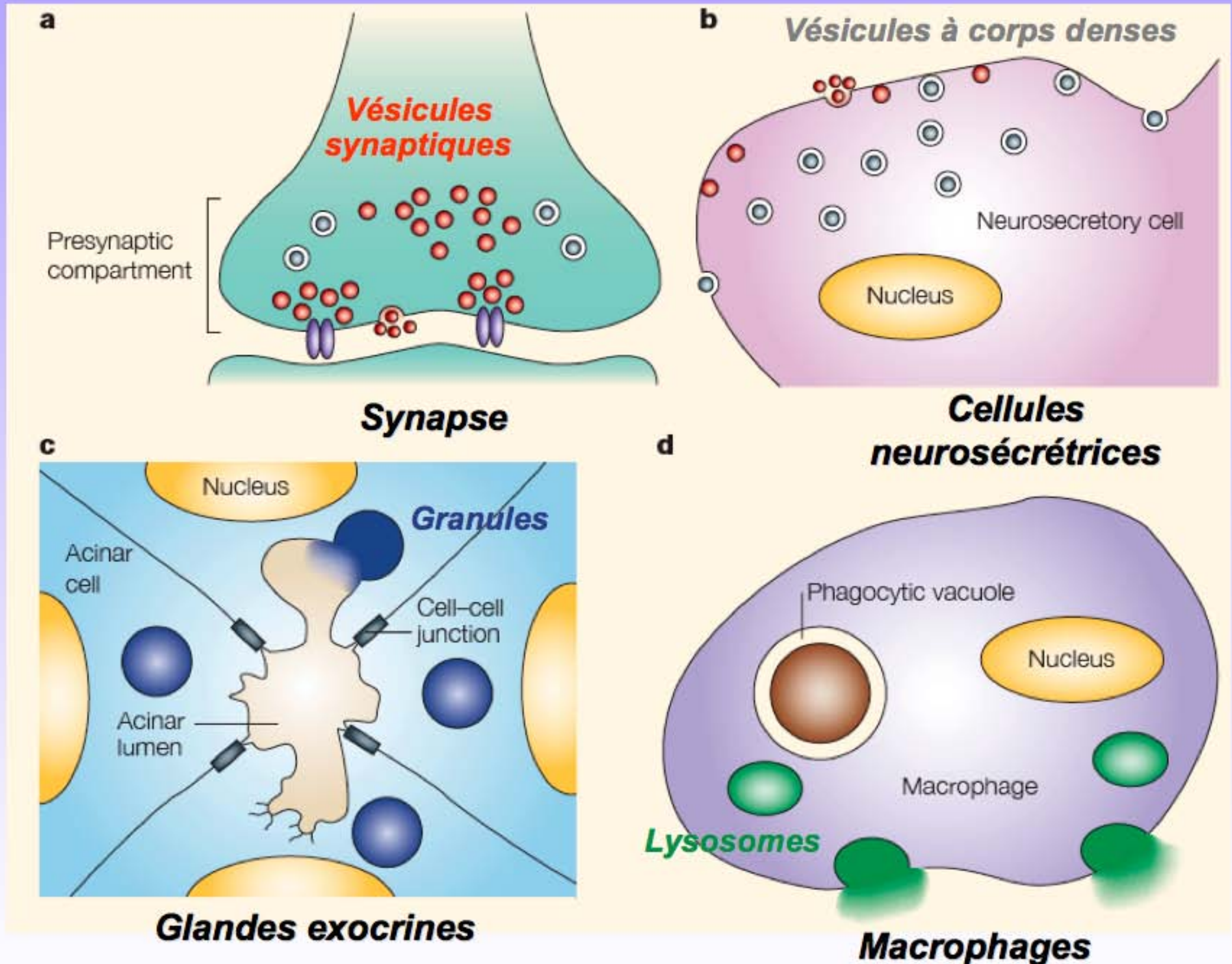
(Steffen and Chavrier, Curr Biol, 2008)



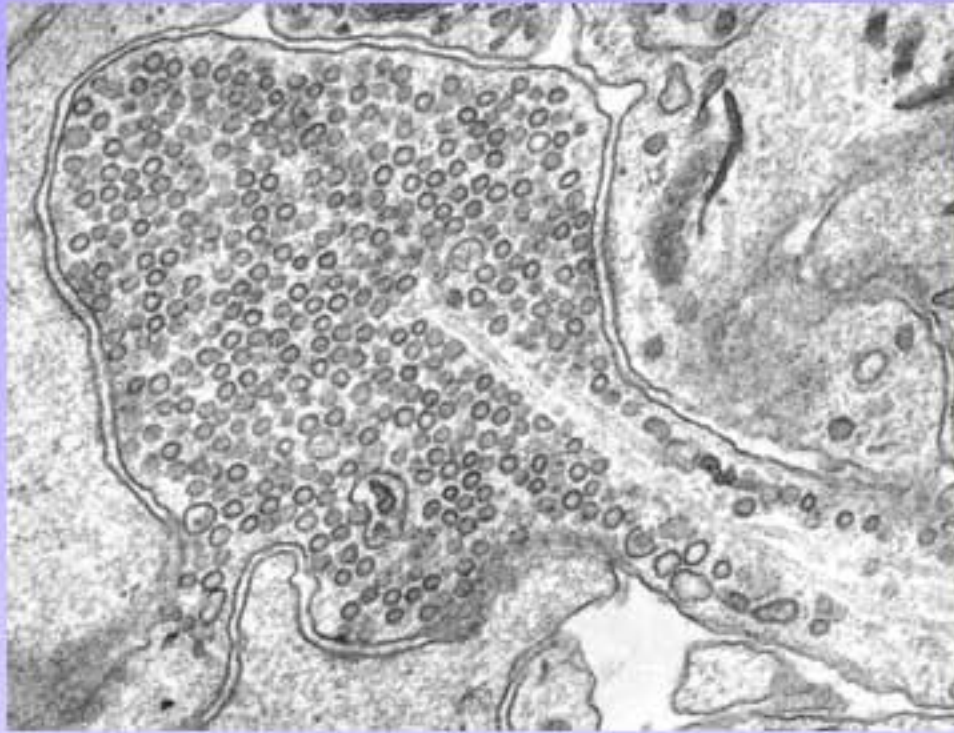
Croissance neuritique

<http://www.silvermanlab.org/>

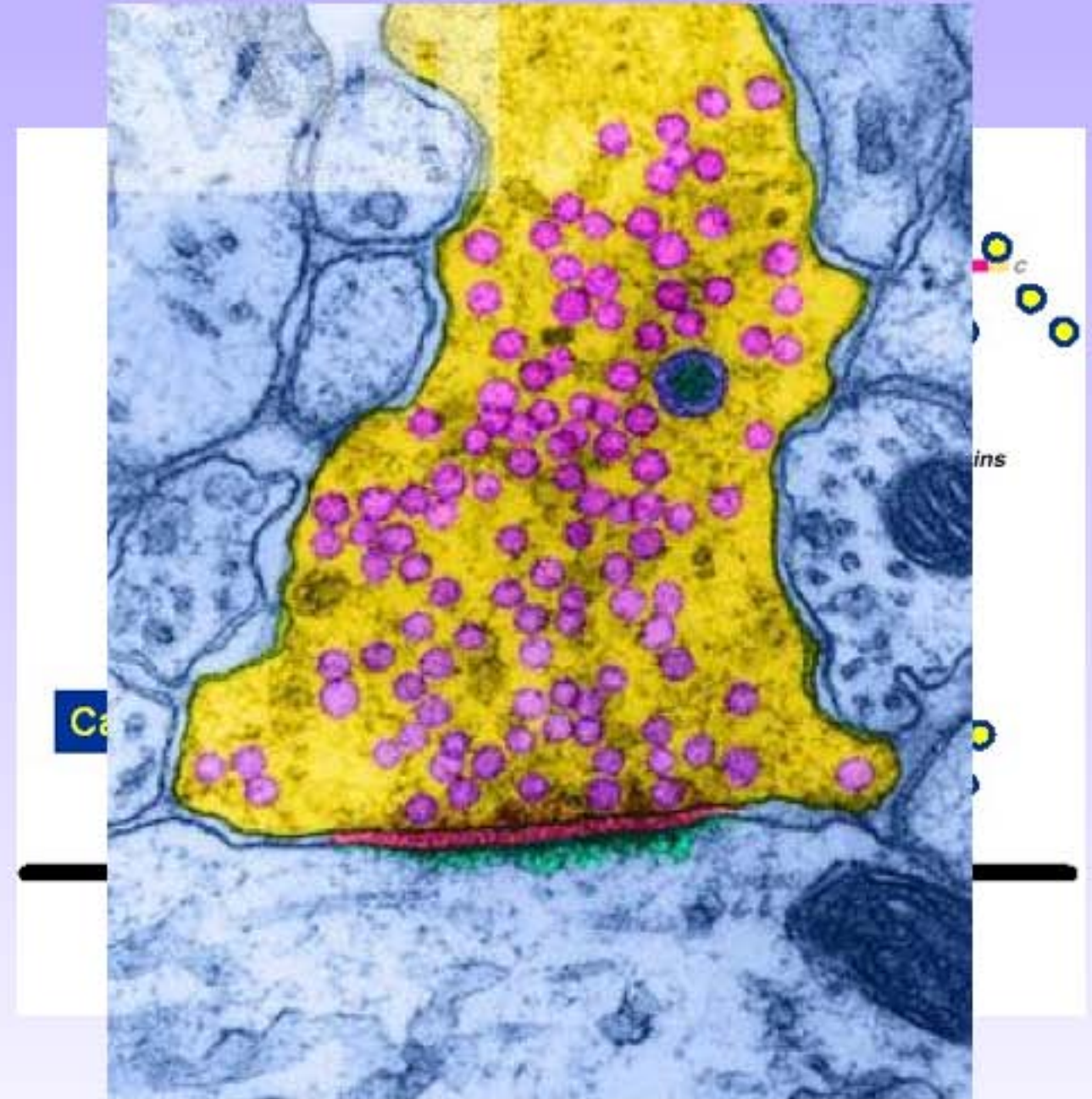
Exocytose régulée



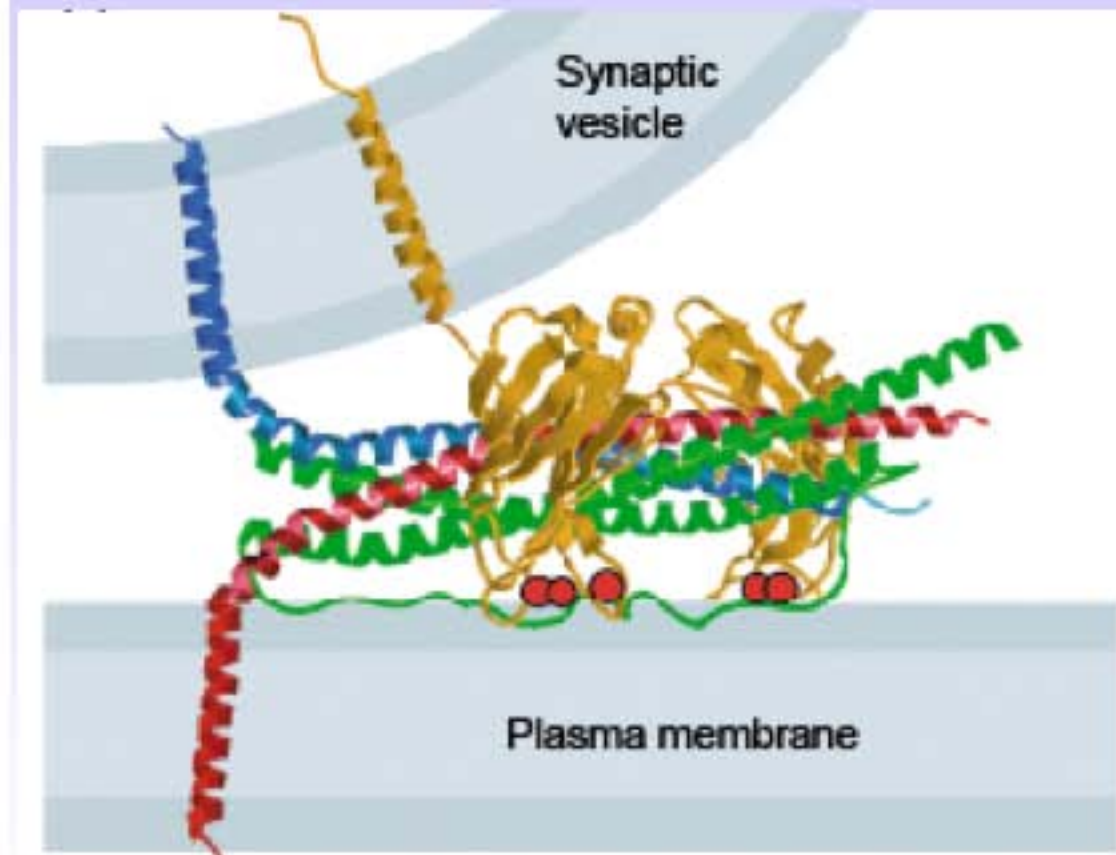
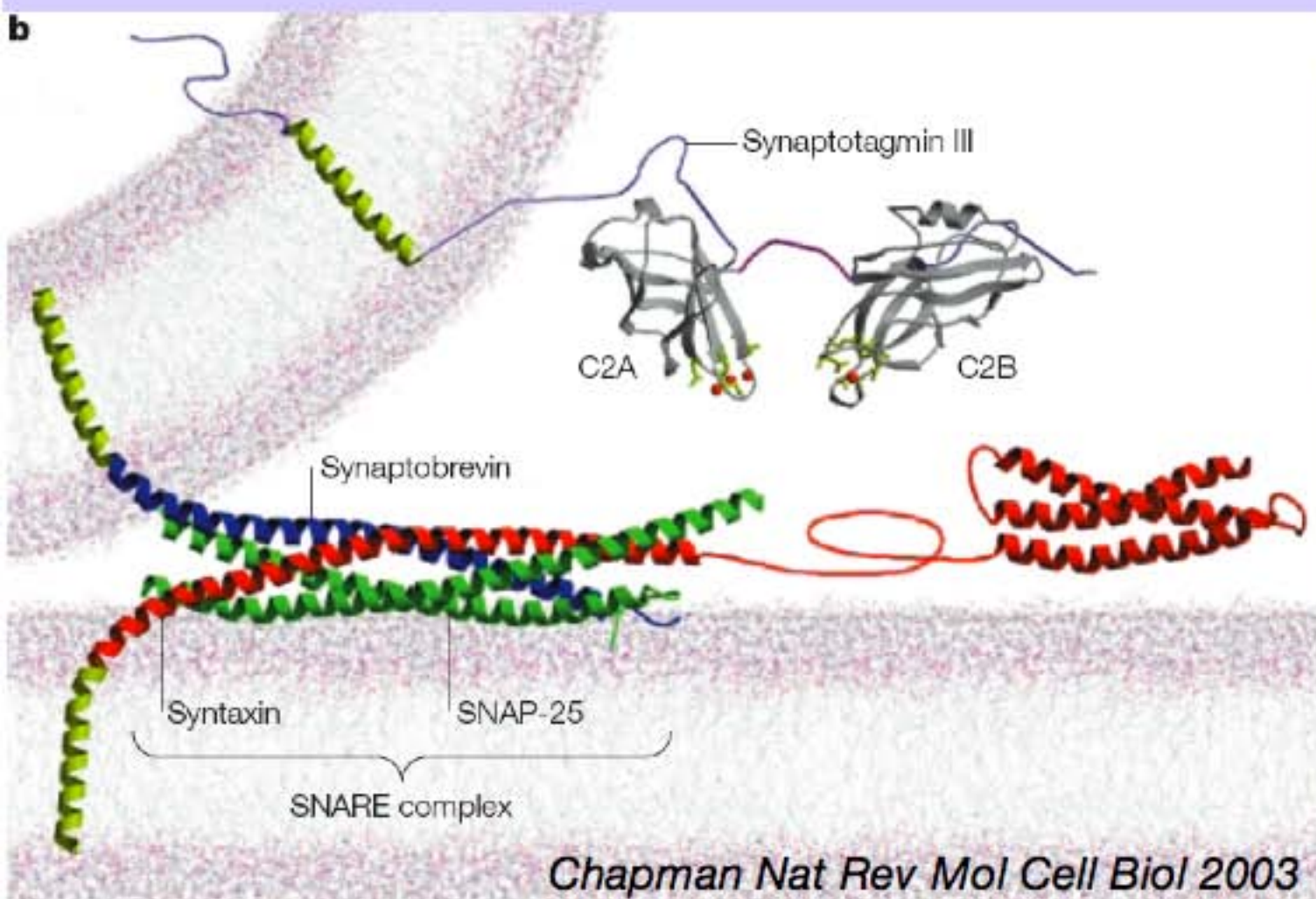
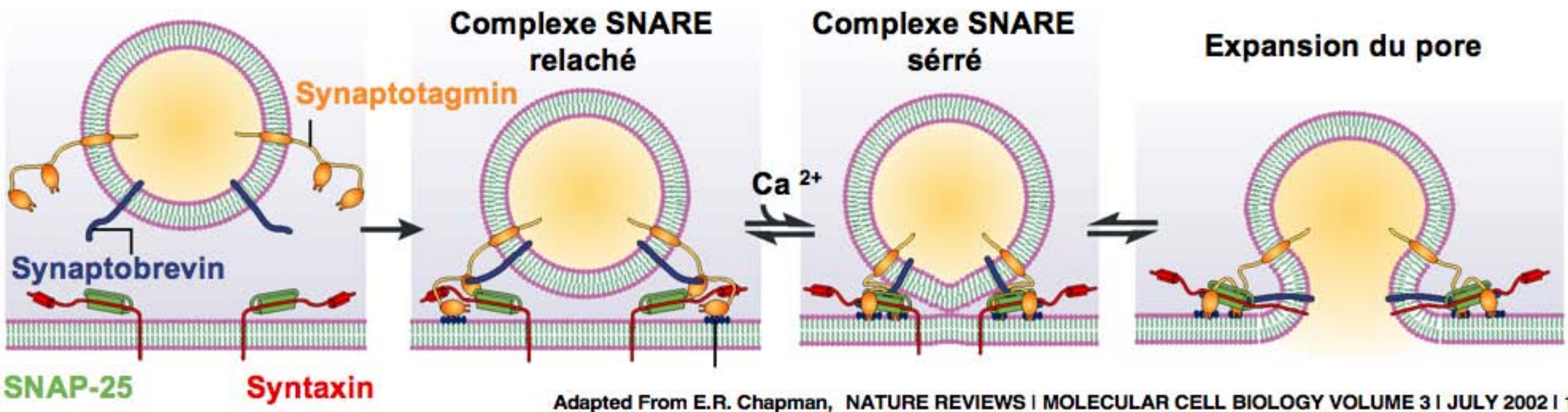
Les vésicules synaptiques



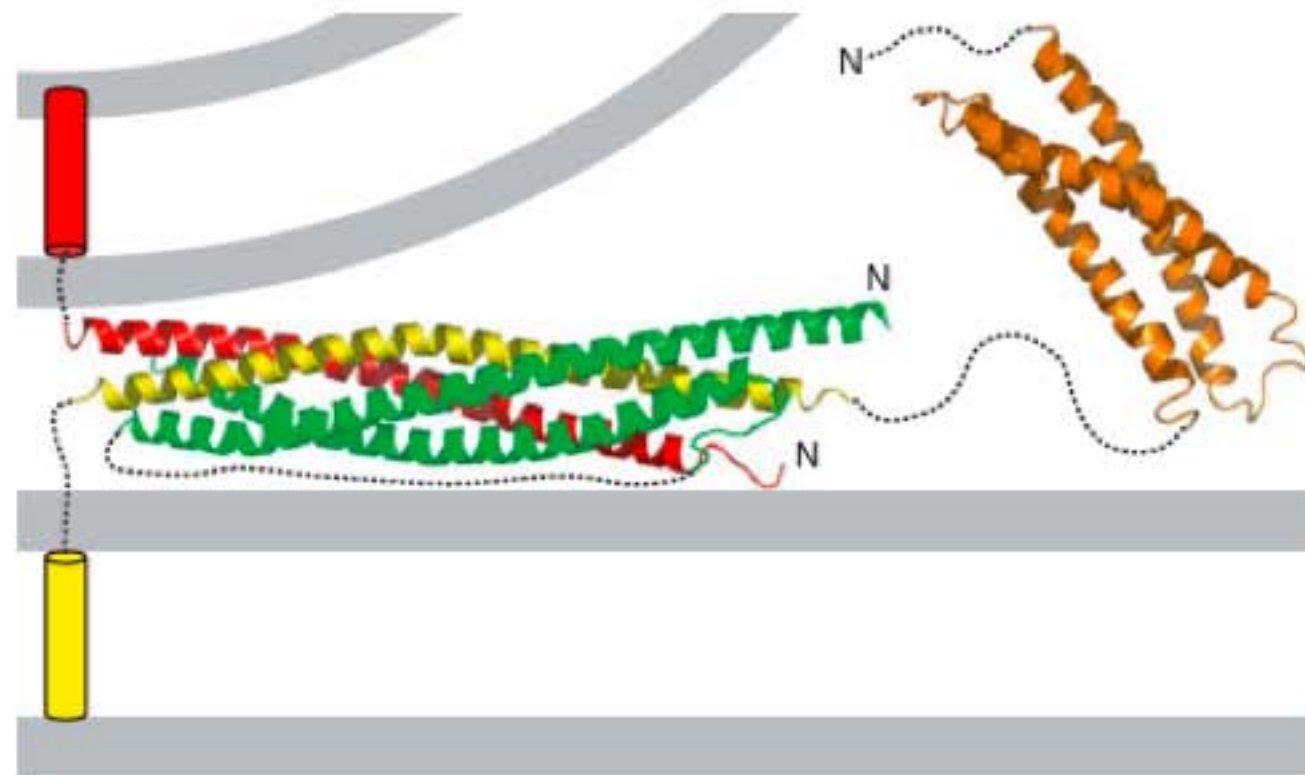
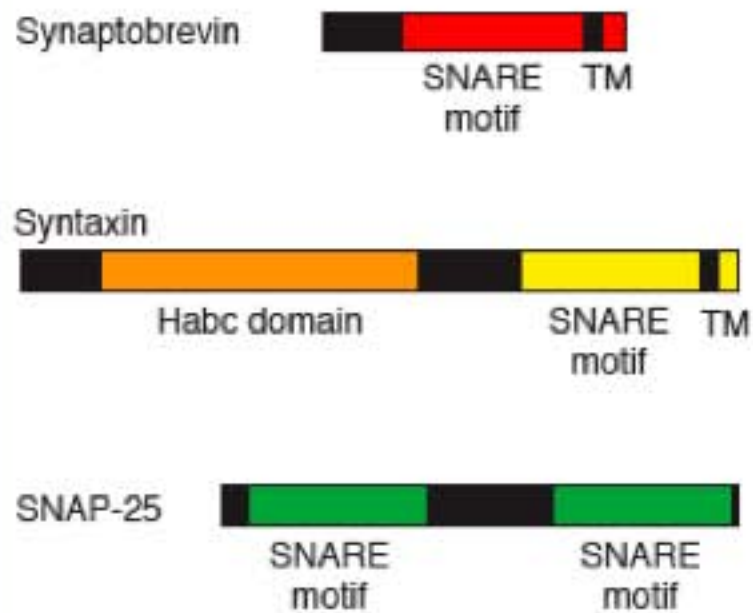
- 50 nm de diamètre
- 500 VS/terminaison
 - $\times 10\ 000$ contacts = 10^6 à 10^7 VS/neurone
 - $\times 10^{11}$ neurones = 10^{17} VS/SNC
- cholestérol:phospholipides = 1:2
- 12000 molécules de phospholipides / VS
- phospholipides:protéines = 1:1
- 20 à 40 protéines différentes / VS
- synaptophysine= 7% protéine VS = 0,3% protéines totales



Les protéines SNARE et l'exocytose

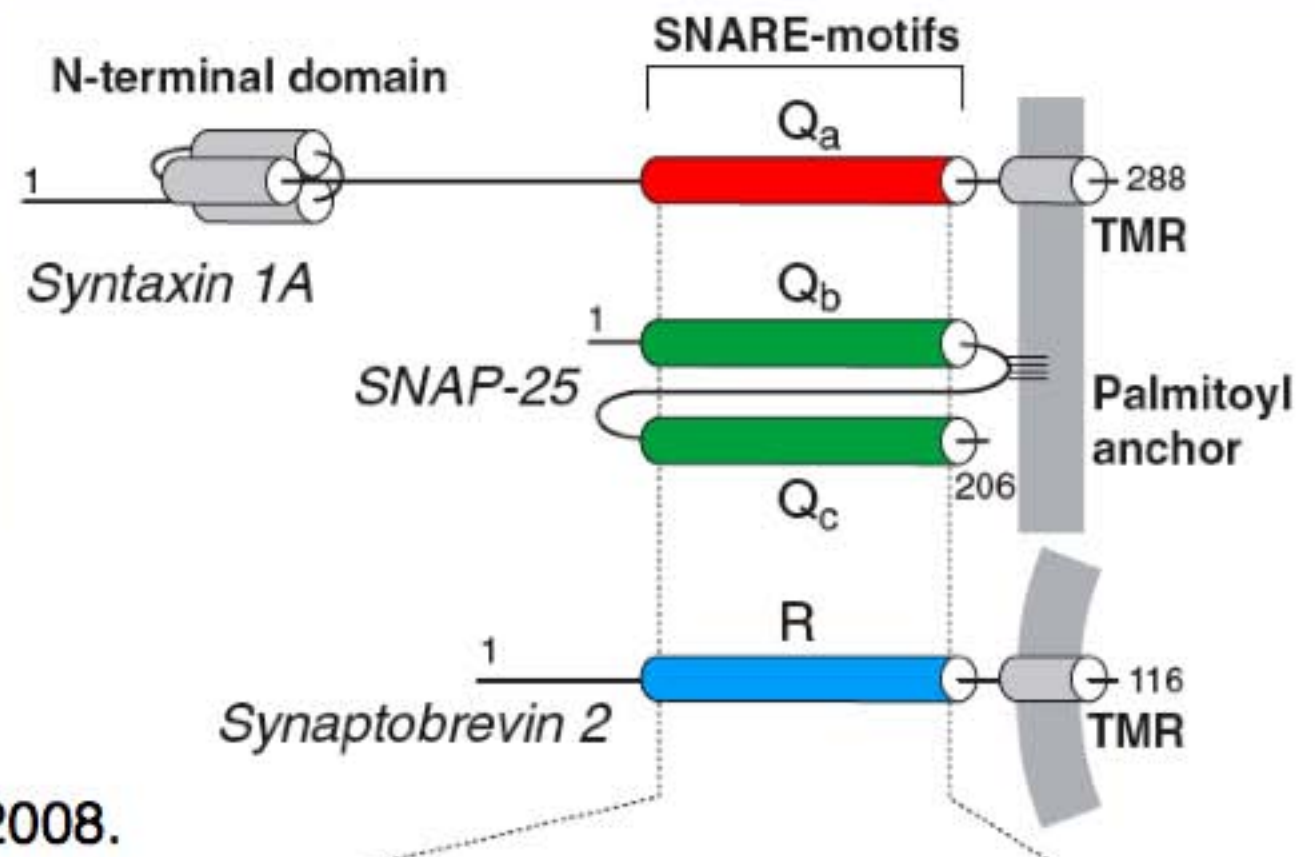


Le complexe SNARE



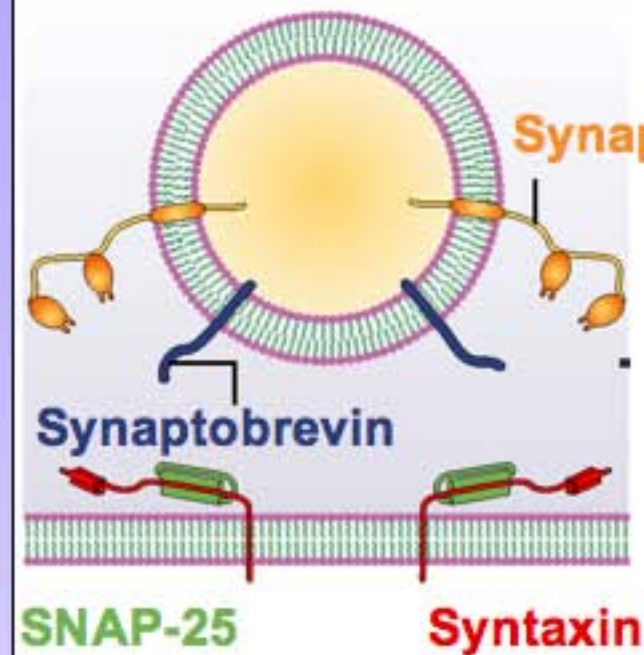
TRENDS in Cell Biology

Rizo, Chen et d'Areç, Tins 2006.

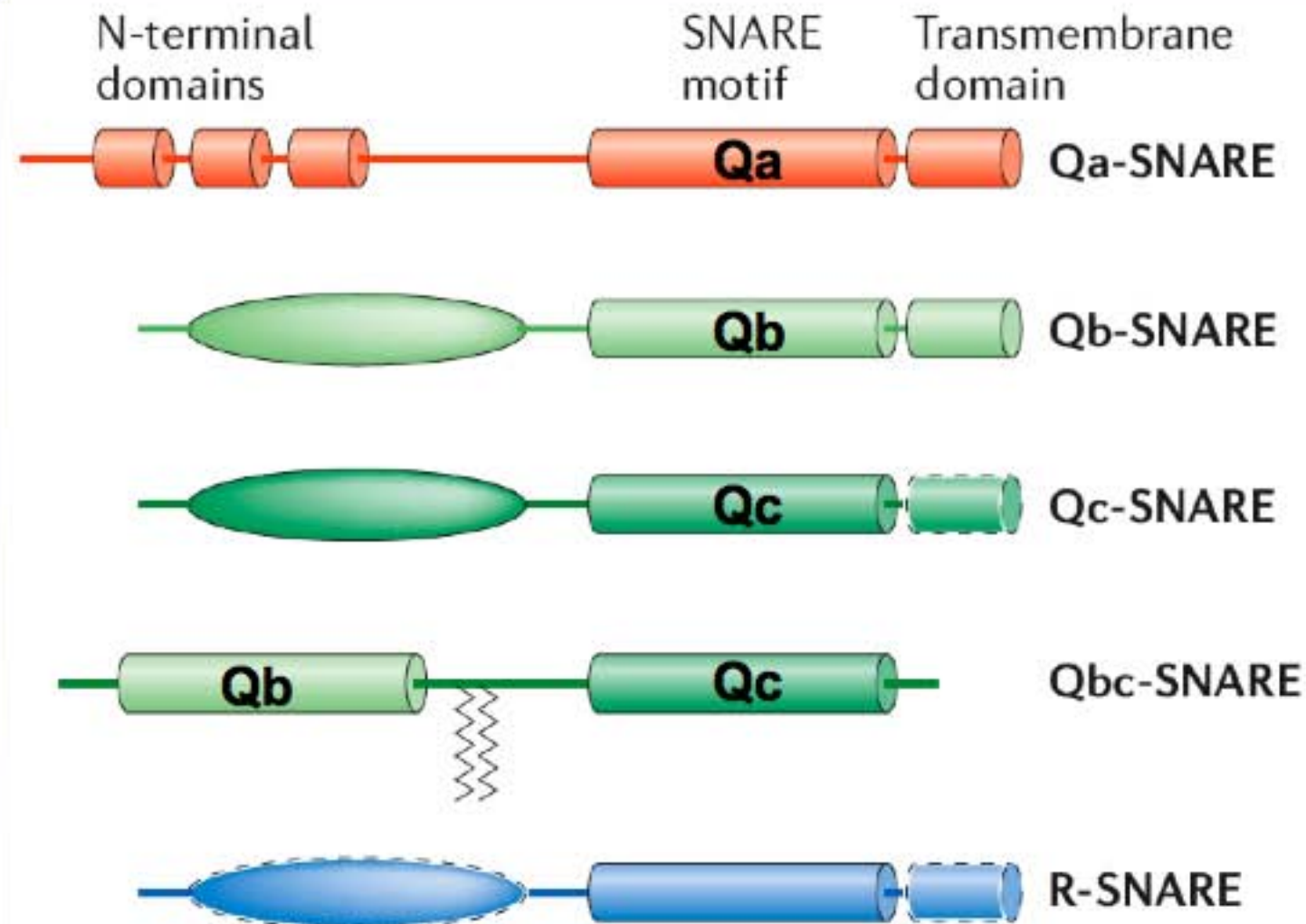


Core Proteins of the Secretory
 Lang and Jahn, Pharmacology of NT release, 2008.

Les protéines SNARE et l'exocytose



- **v-SNARE**: sur la vesicule (vesicule)
- **t-SNARE**: sur la membrane cible (target)
- **1 complexe SNARE = 1 motif SNARE sur la vesicule (R)**
+ **3 motifs SNAREs sur la membrane cible (Q)**
- **Les 3 motifs t-SNARE peuvent venir de :**
 - **2 t-SNAREs** : 1 SNARE avec 1 motif (Qa), 1 SNARE avec 2 motifs (Qbc)
 - **3 t-SNAREs** : 3 SNAREs différents avec 1 motif chacun (Qa, Qb, Qc).



ex: Syntaxin 1 à 5, 11, 13, 16, 17, 18.

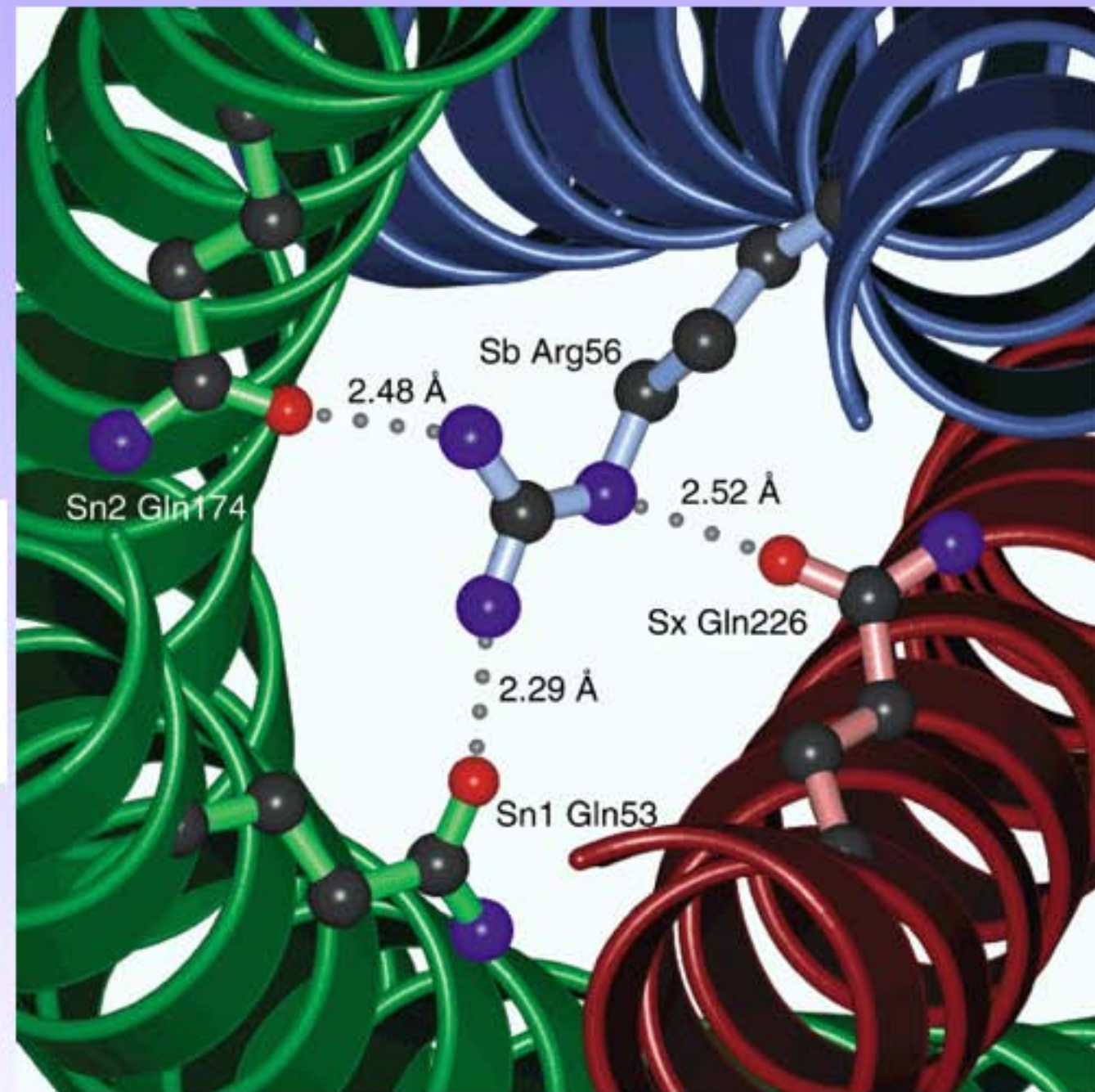
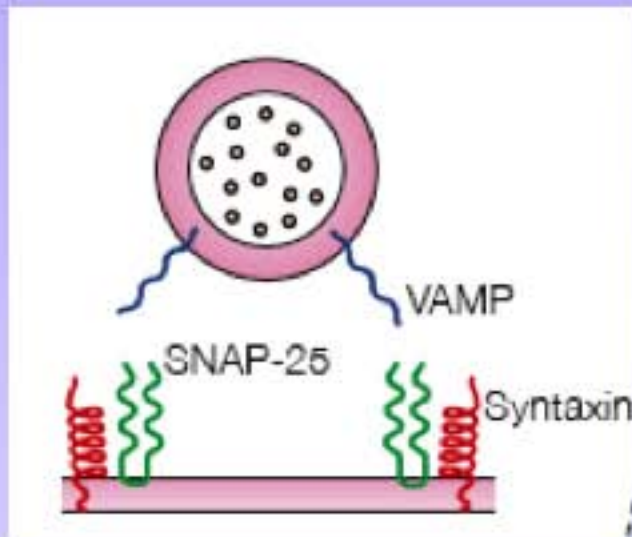
ex: Vti1a, Vti1b, GS27, GS28

ex: Bet21, GS15, stx6, stx8, stx10

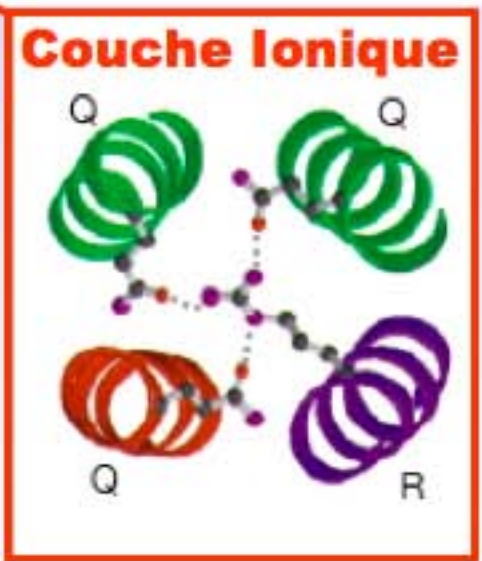
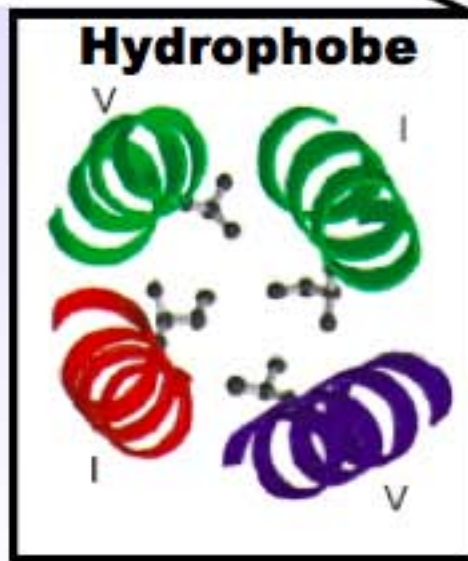
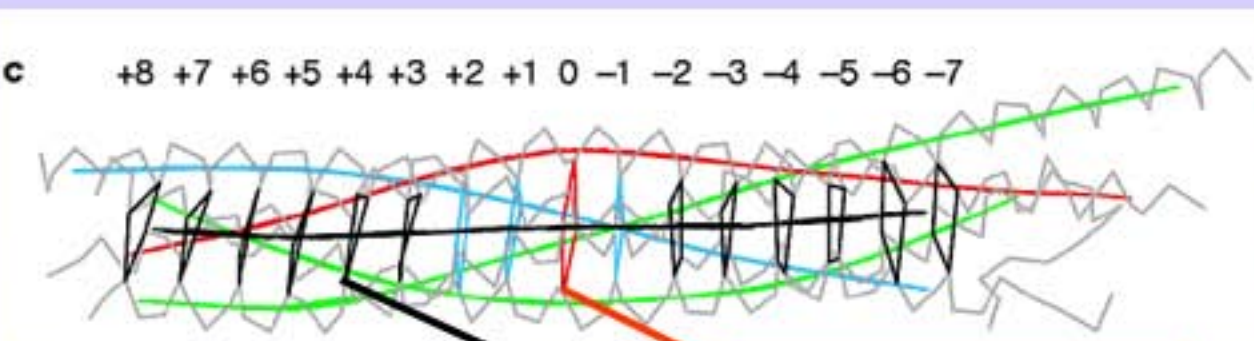
ex: SNAP-25, SNAP-23, SNAP-29

**ex: Syb2, TI-VAMP, Sec22, YKT6
VAMP1 à VAMP8**

Le complexe SNARE : Q-SNARE & R-SNARE



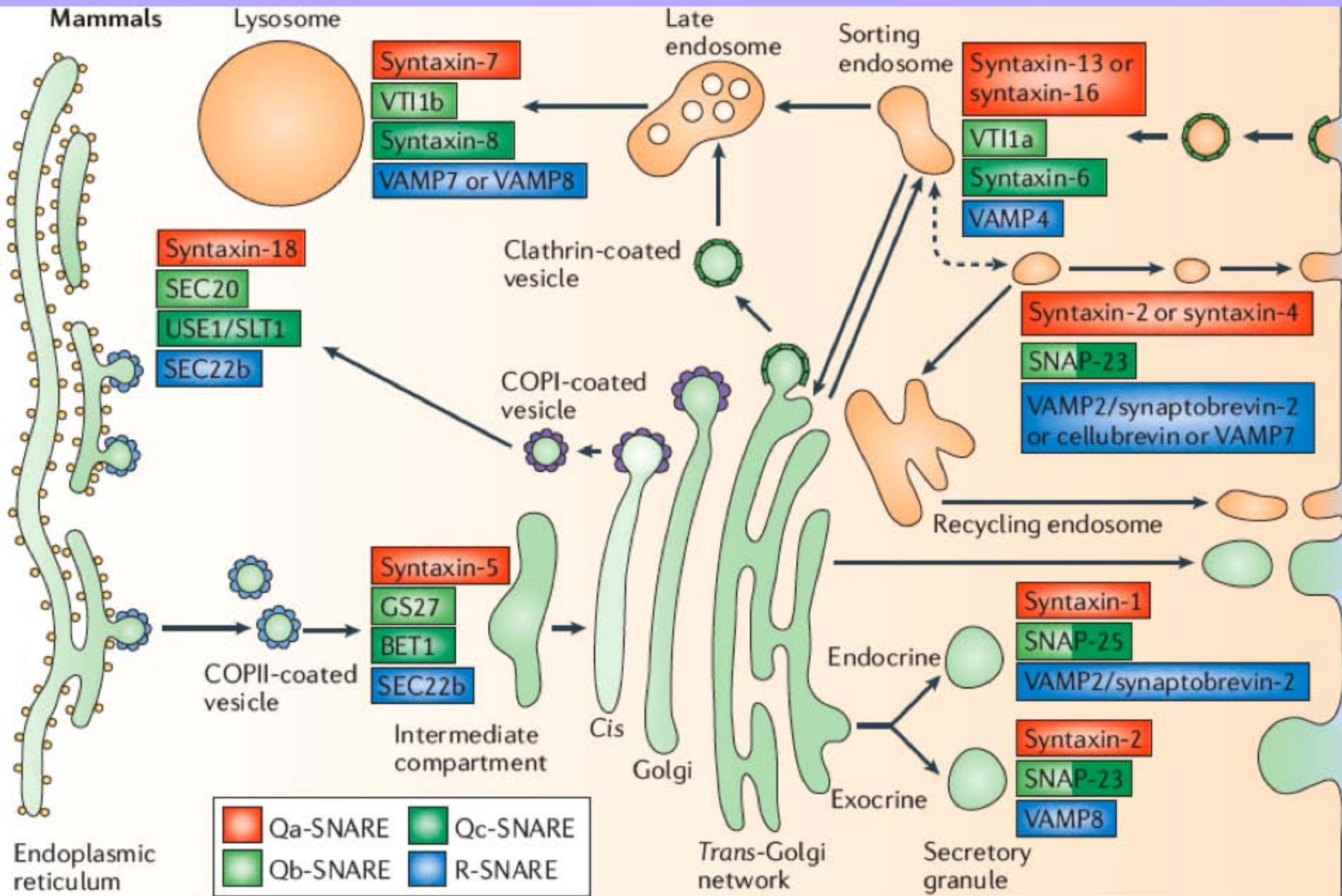
(Sutton et al., Nature 1998)



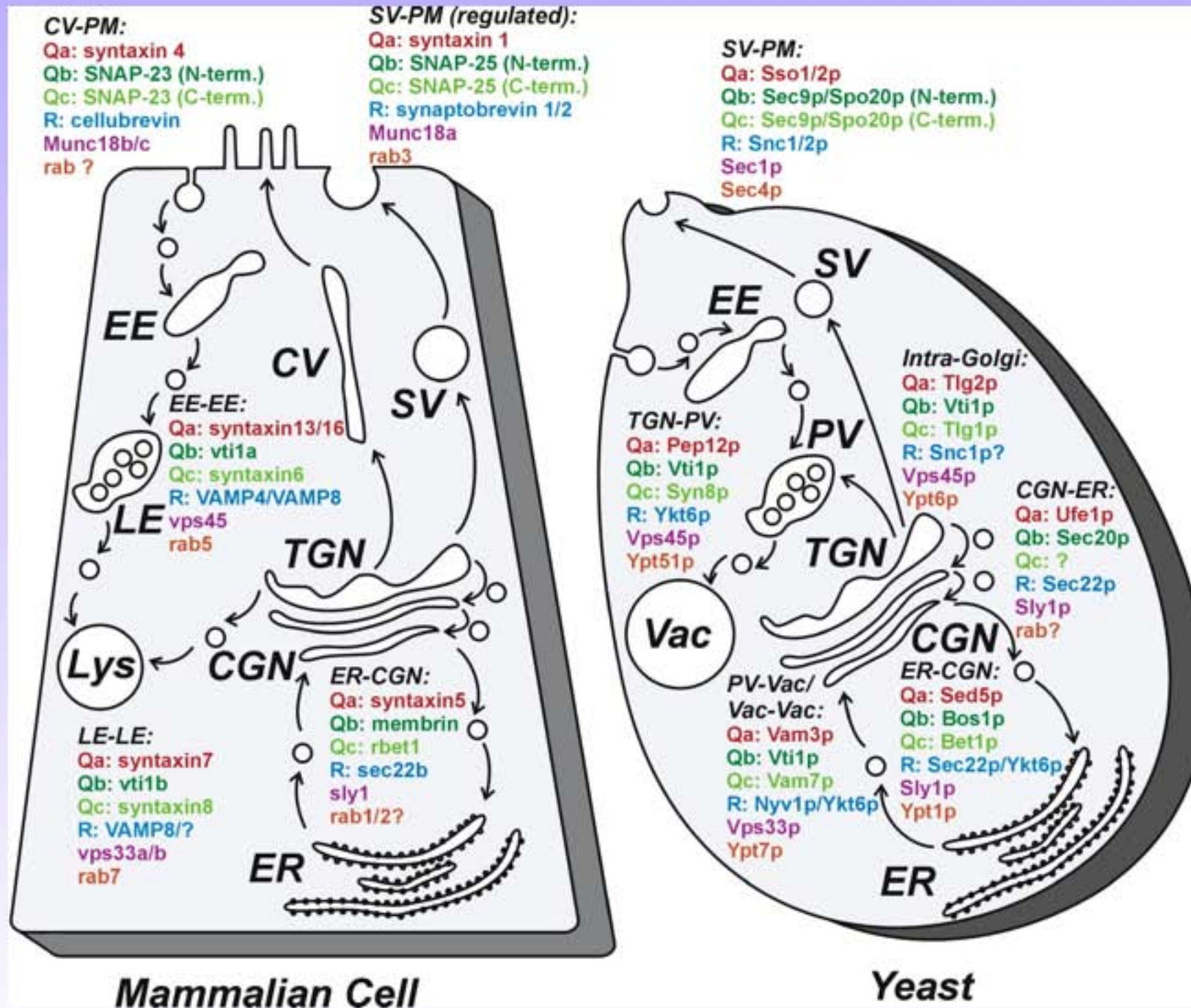
SNARE & compartiments

Chaîne	Levure	Nématode	Drosophile	Mammifères
SNAREs	21	23	20	35
Qa Syntaxines	7	9	7	12
Qb Nter SNAP25	5	7	5	9
Qc Cter SNAP25	6	4	5	8
R V-SNARE	5	6	5	9
Sec1	4	6	5	7
Rab	11	29	26	60

Les protéines SNARE et le trafic membranaire dans la cellule

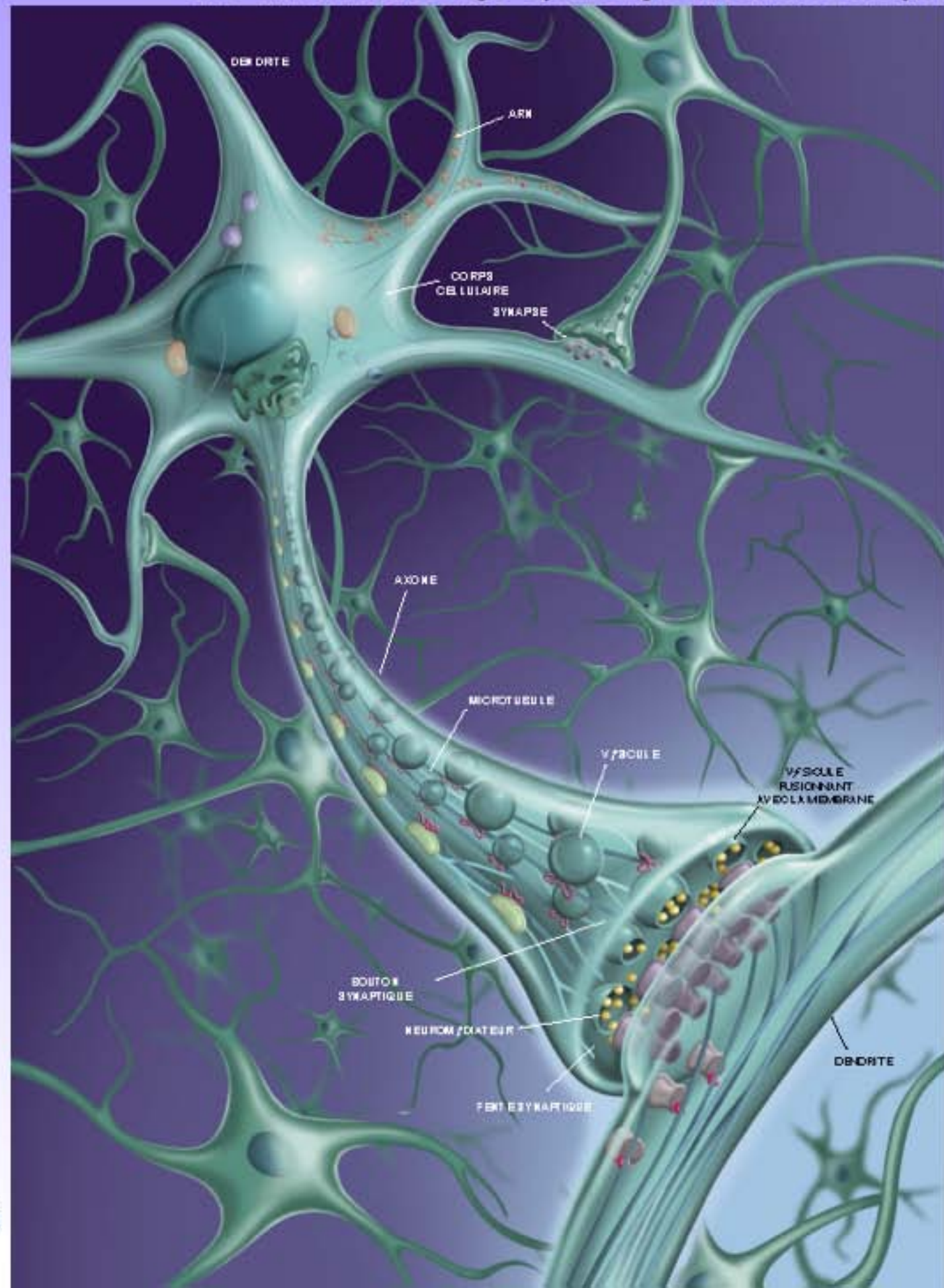


SNARE & compartments



Machinerie d'exocytose: le modele neuronal : l'exocytose synaptique

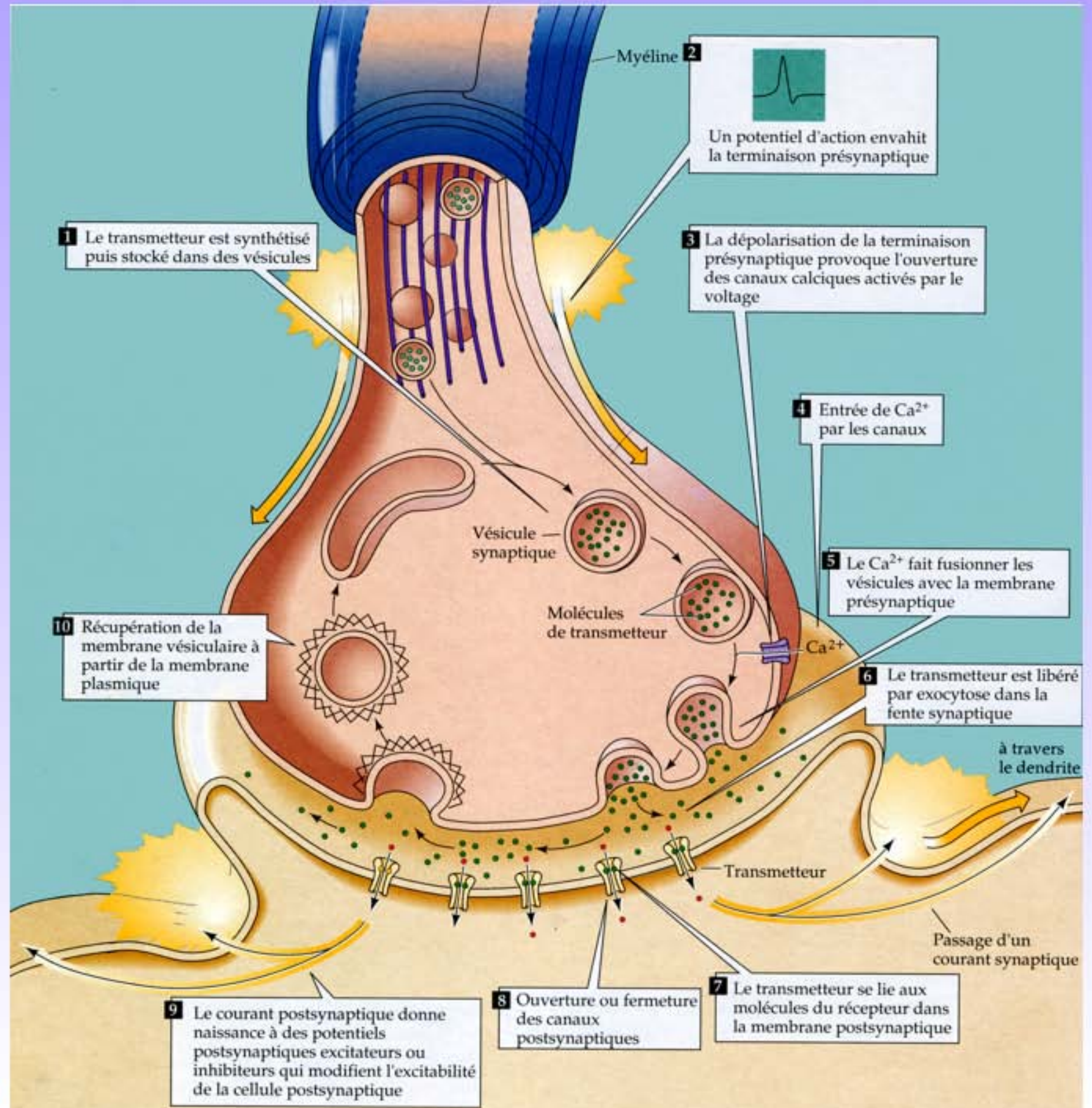
La fusion vésiculaire entre les vésicules synaptiques et la membrane présynaptique permet la libération des neurotransmetteur.



Thierry Galli & fabienne Paumet

© POUR LA SCIENCE - N° 302 DÉCEMBRE 2002

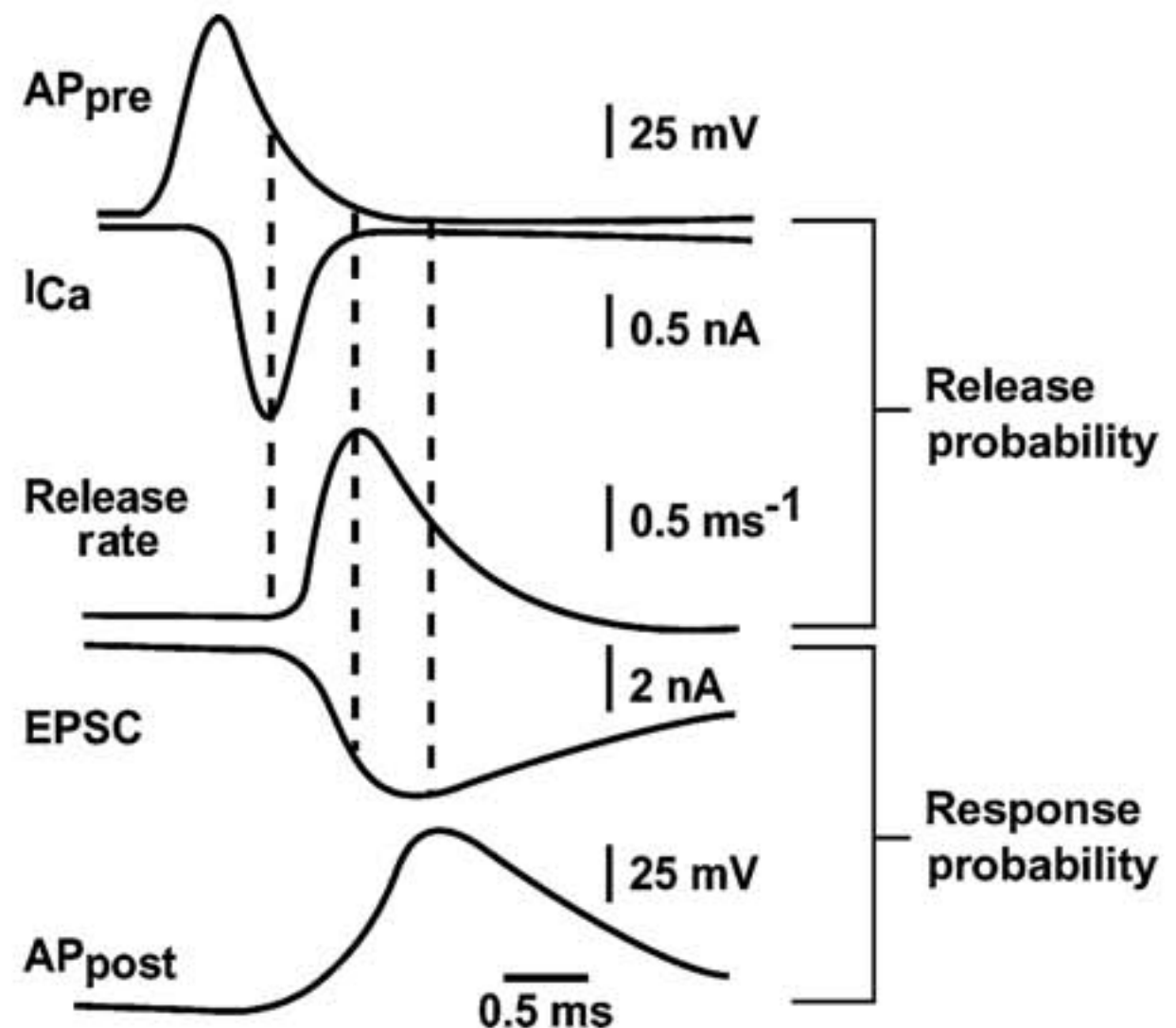
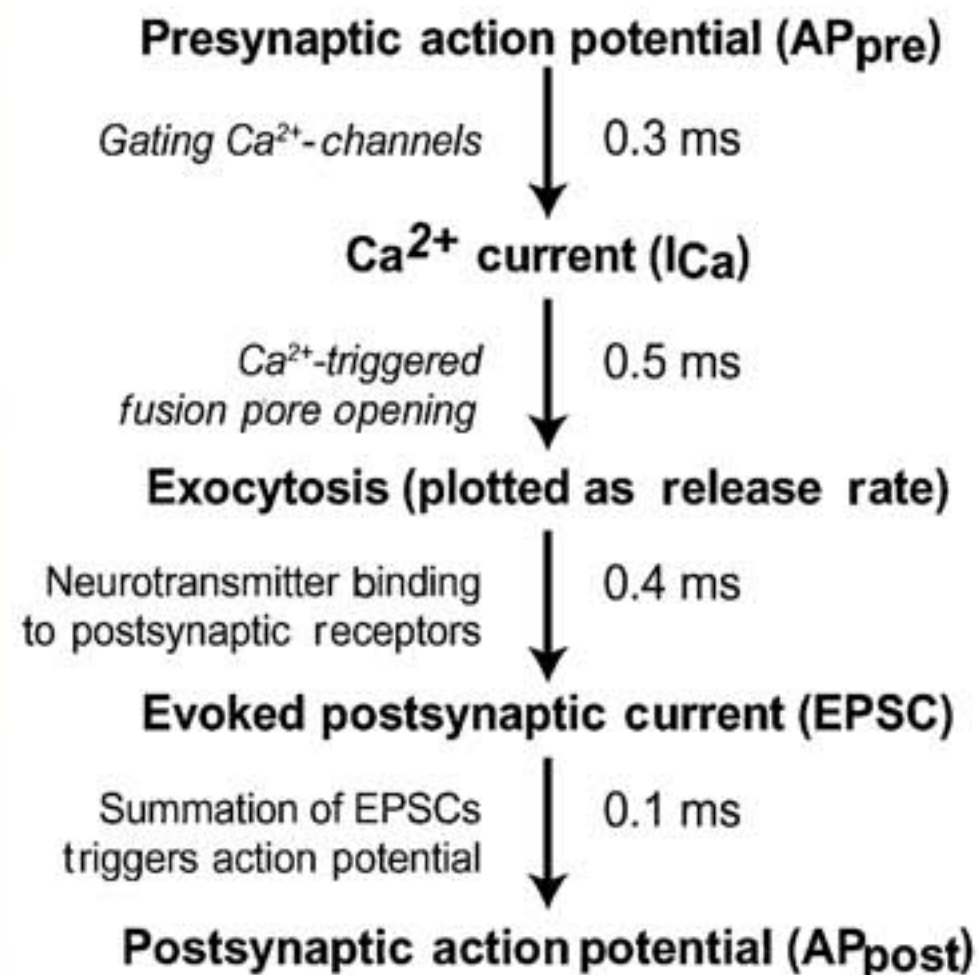
L'exocytose synaptique



D'après Neurosciences,
à la découverte du cerveau
M. F. Bear

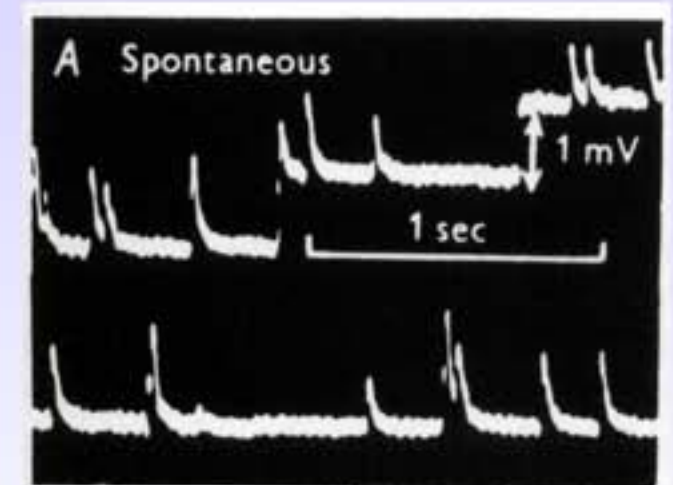
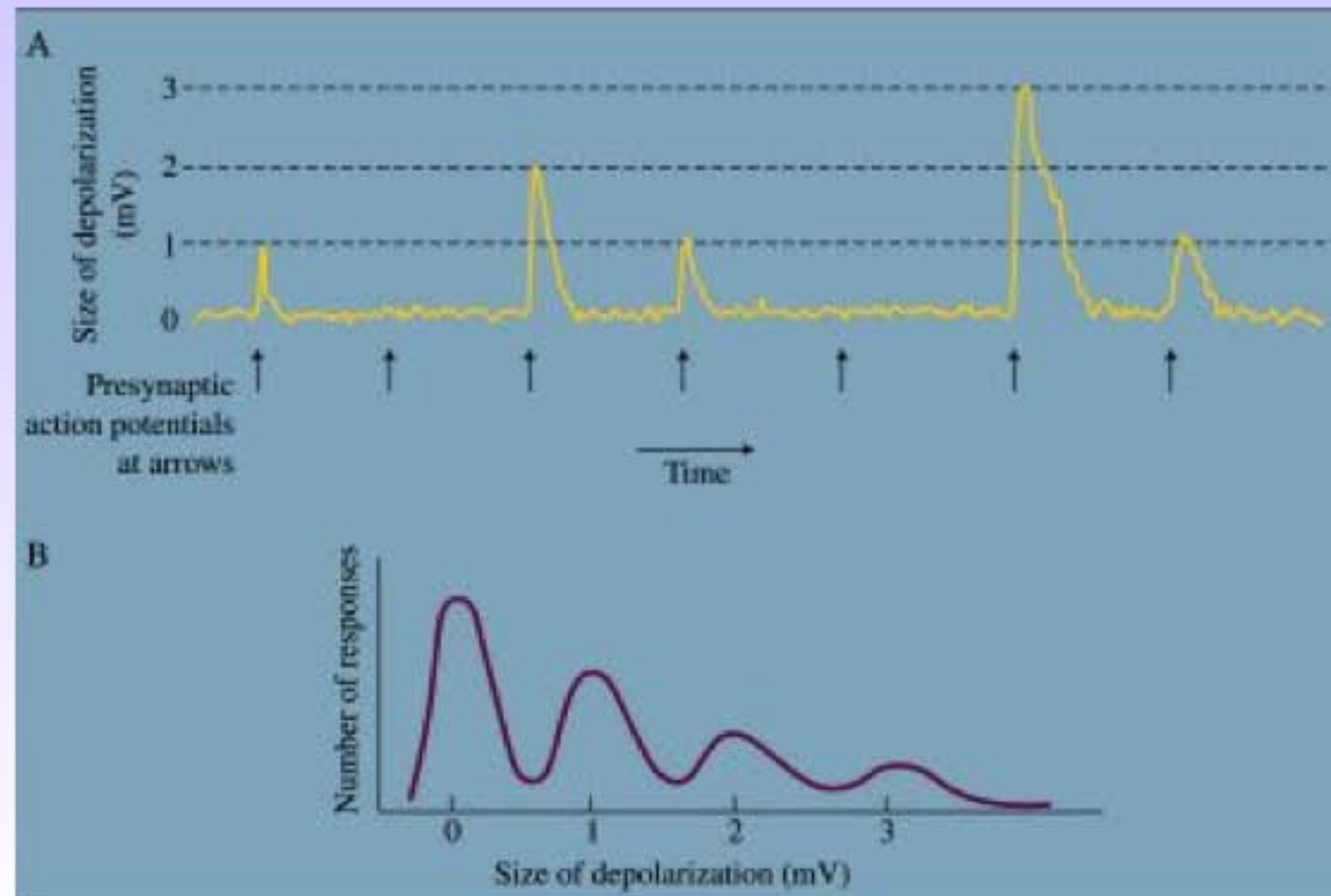
Chronologie: rapidité! Et rôle du calcium

THE SYNAPTIC VESICLE CYCLE



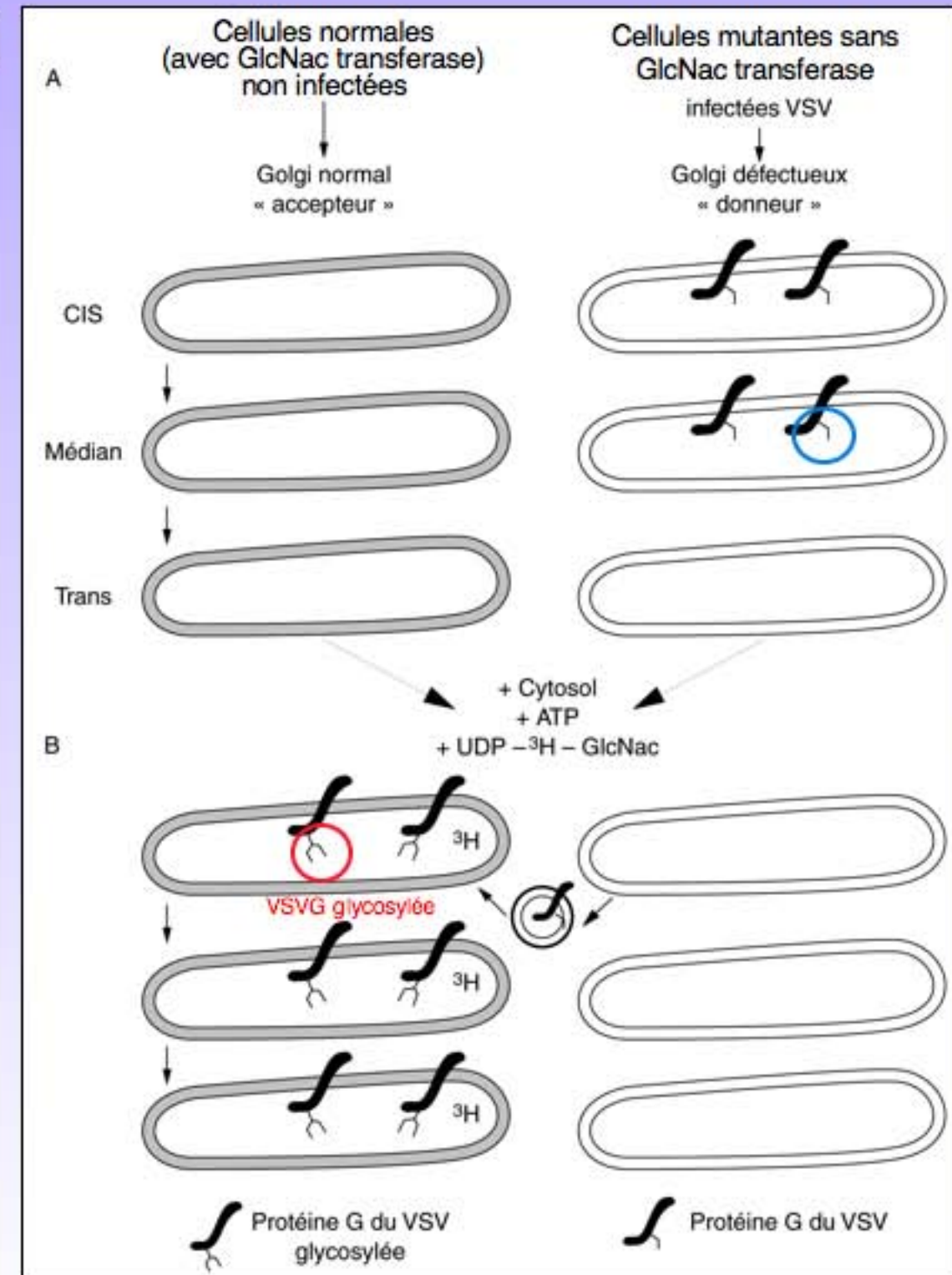
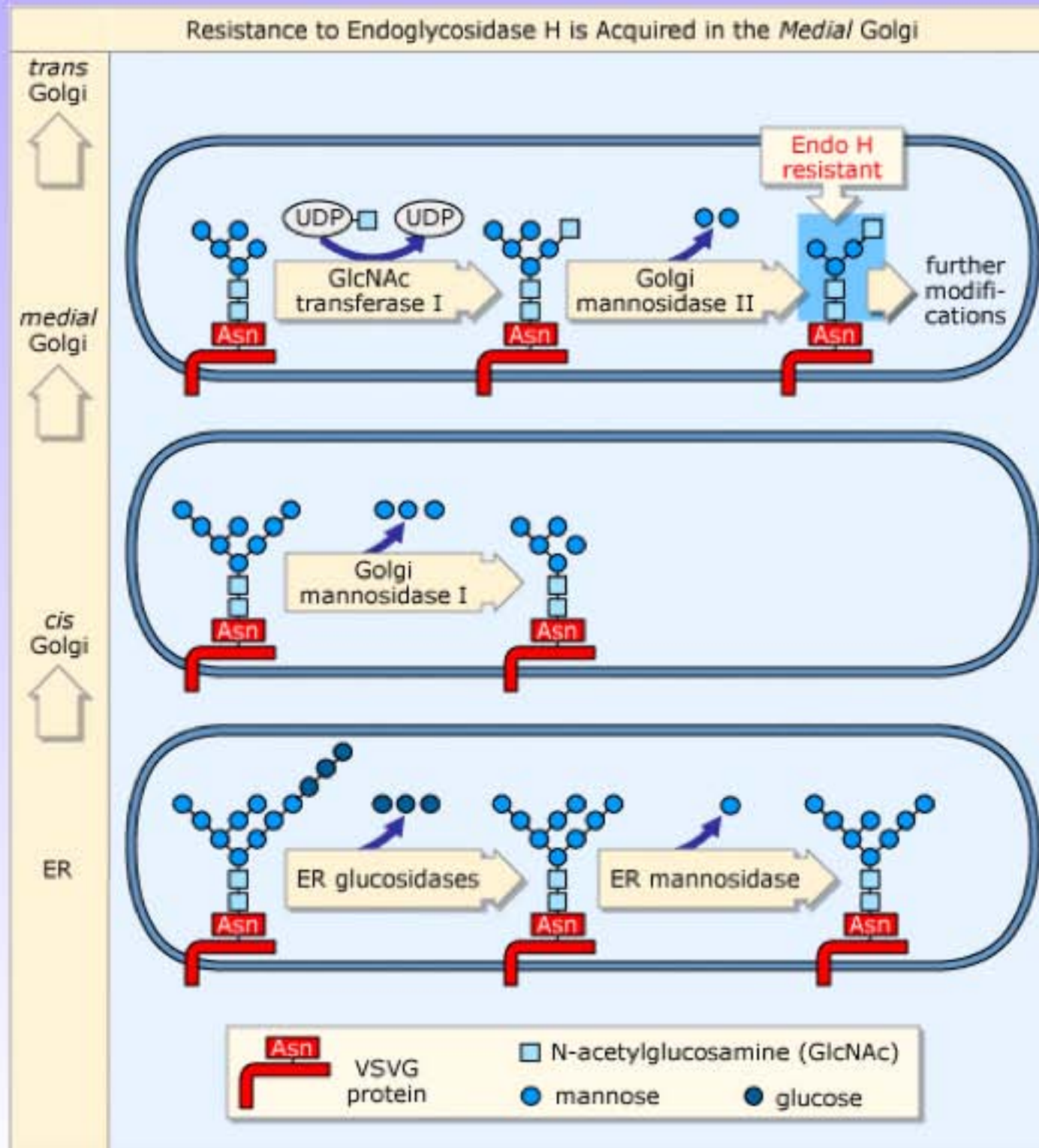
Libération de l'acétylcholine

- Théorie quantique: Prix Nobel pour Katz
 - Nt libéré par paquet de taille définie
 - 10,000 molécules d'ACh
- Libération en "tout ou rien"
 - Calcium extracellulaire réduit, seuls quelques quanta sont libérés



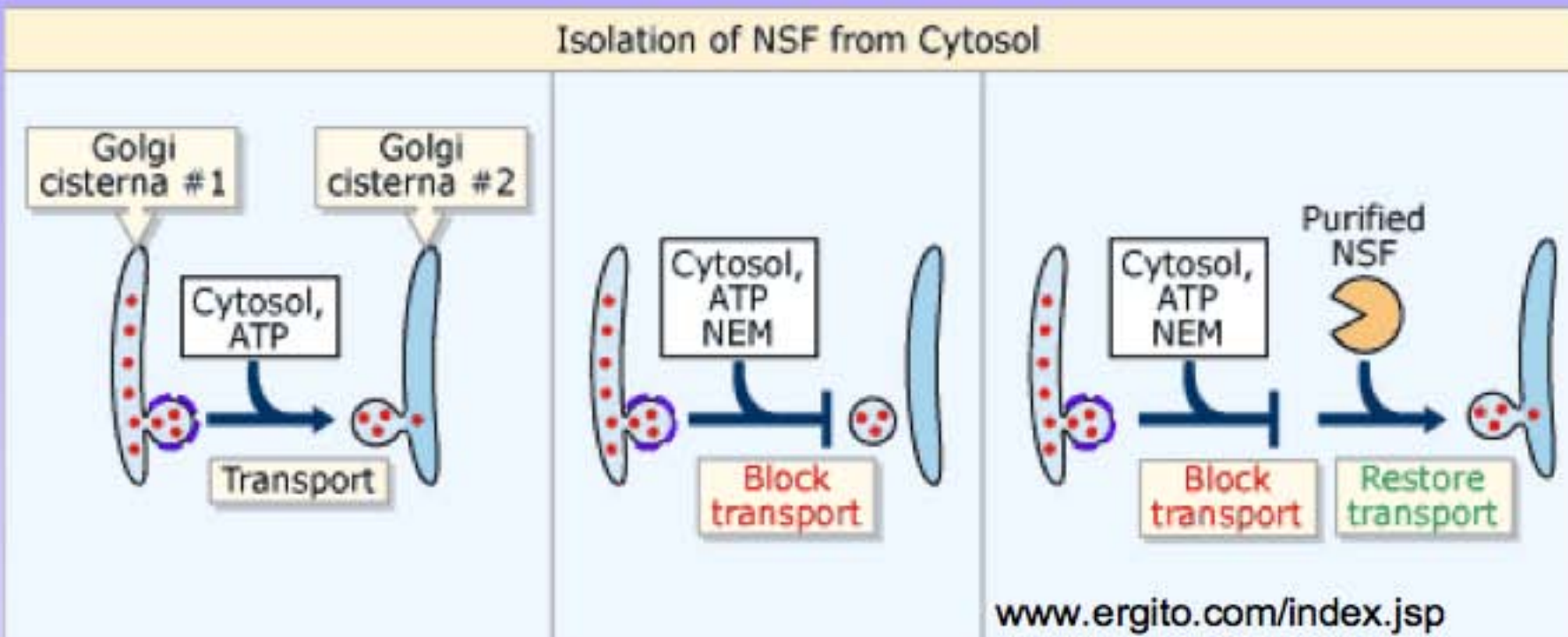
Test in vitro de transport membranaire

(Balch et Rothman, Cell (1984))



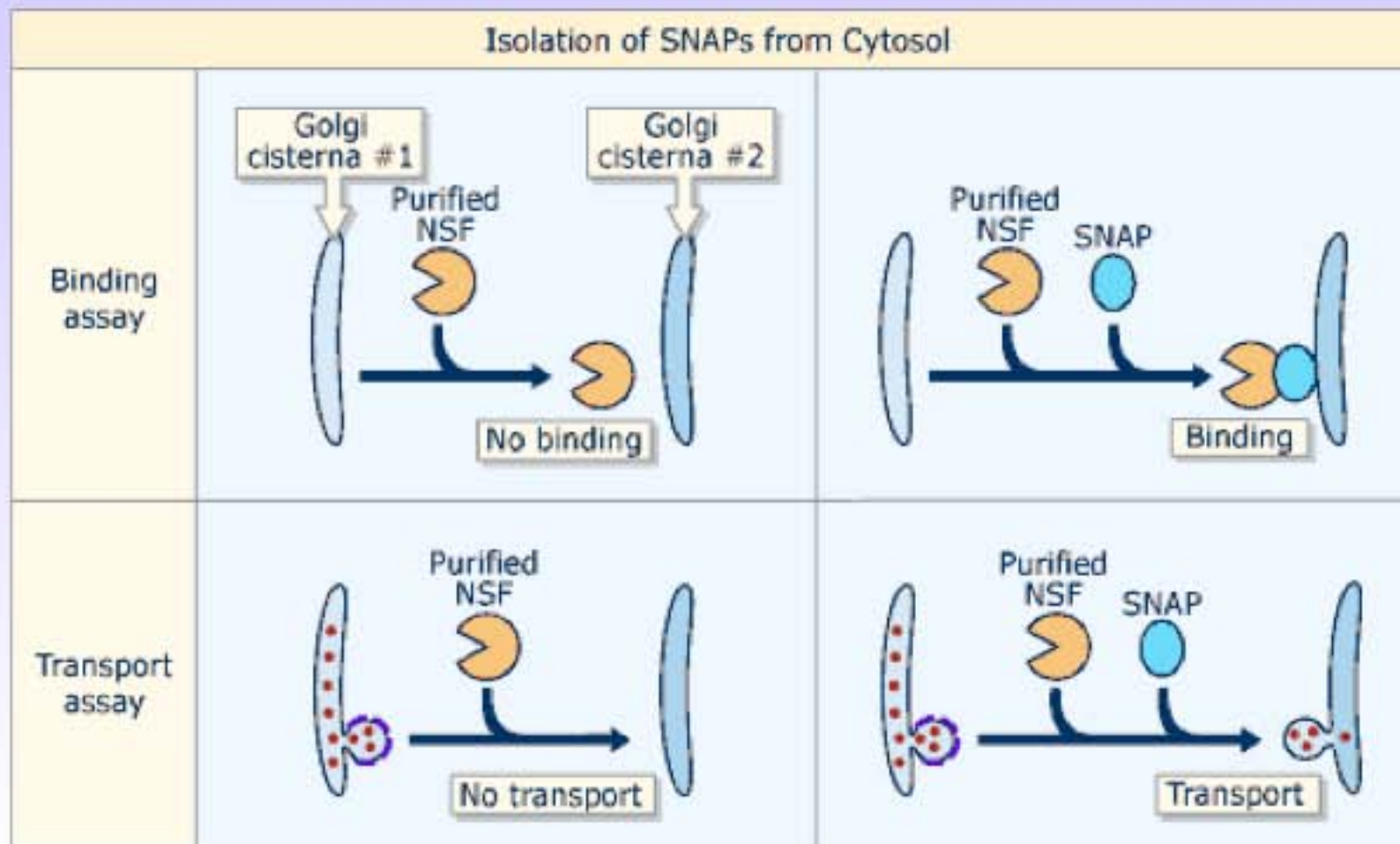
Les citernes restent distinctes, VSVG a été transportée : les auteurs formulent l'hypothèse du **transport vésiculaire**.

Découverte historique de NSF & SNAPs



NEM: N-Ethyl-Maleimide
NSF: NEM sensitive factor

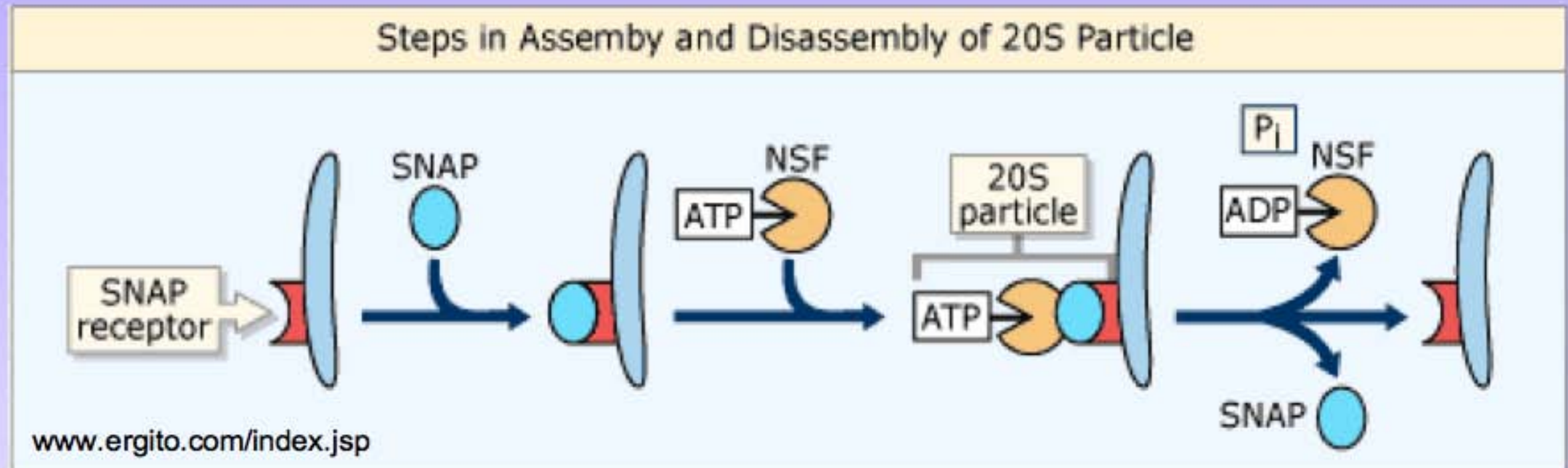
NSF est nécessaire à la fusion.
NSF est inhibée par le NEM.



SNAP:
Soluble NSF Attachment Factor

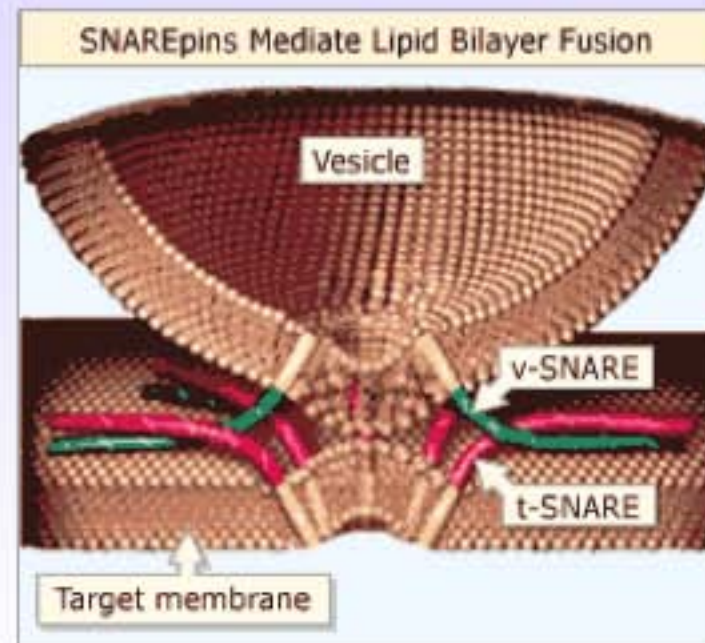
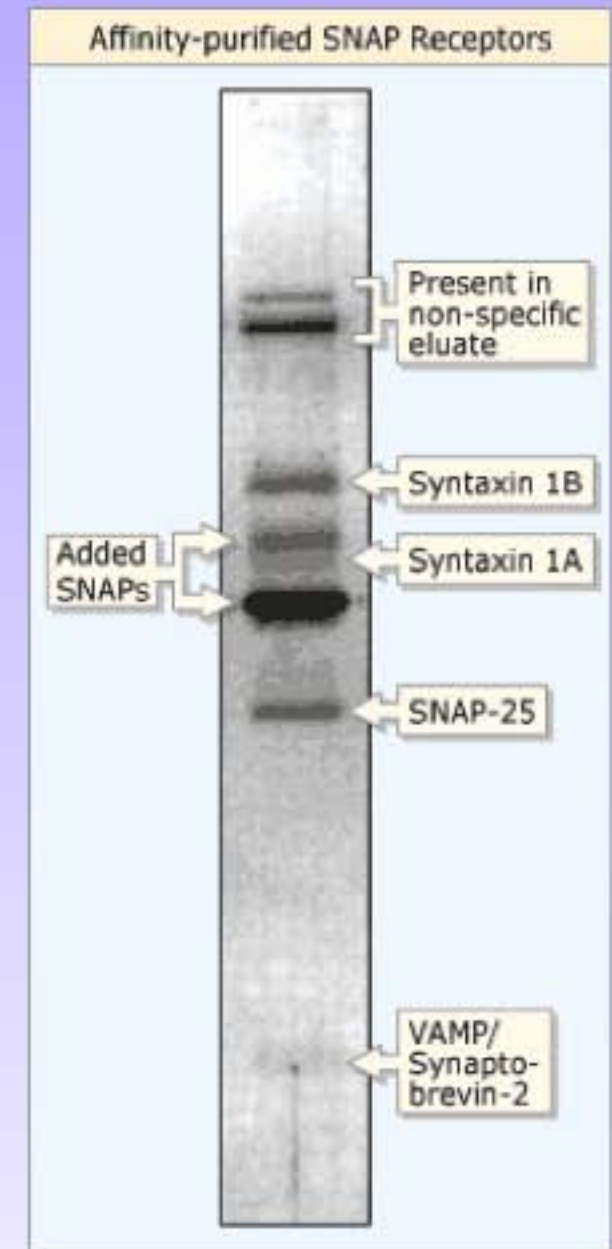
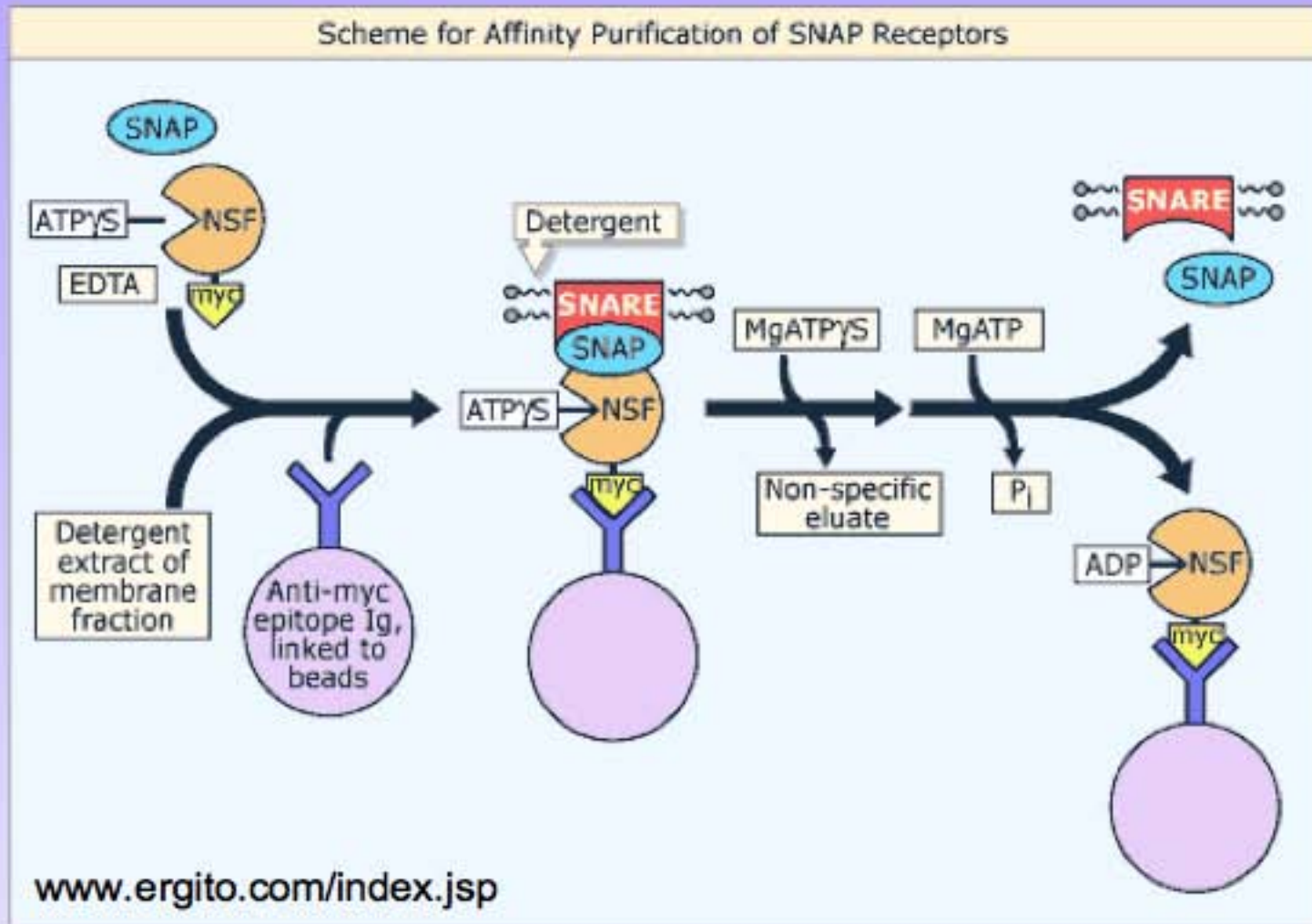
NSF est une protéine soluble qui ne peut se lier aux membranes que grâce aux SNAPs (3 isoformes α, β, γ).

Découverte historique des récepteurs de SNAP: les SNARE

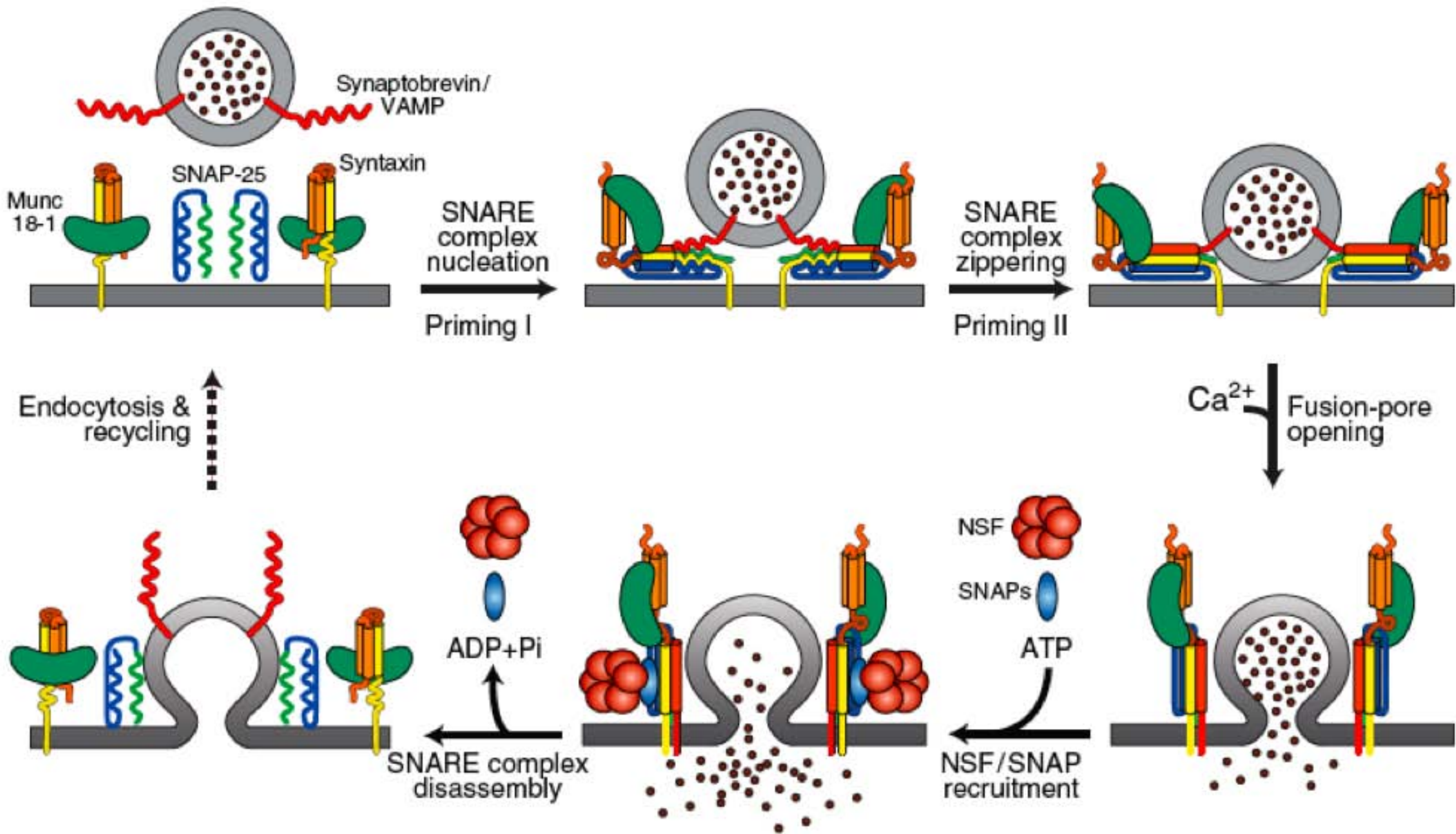


Comment isoler les récepteurs de SNAPs: les SNARE?

Isolement des SNAREs

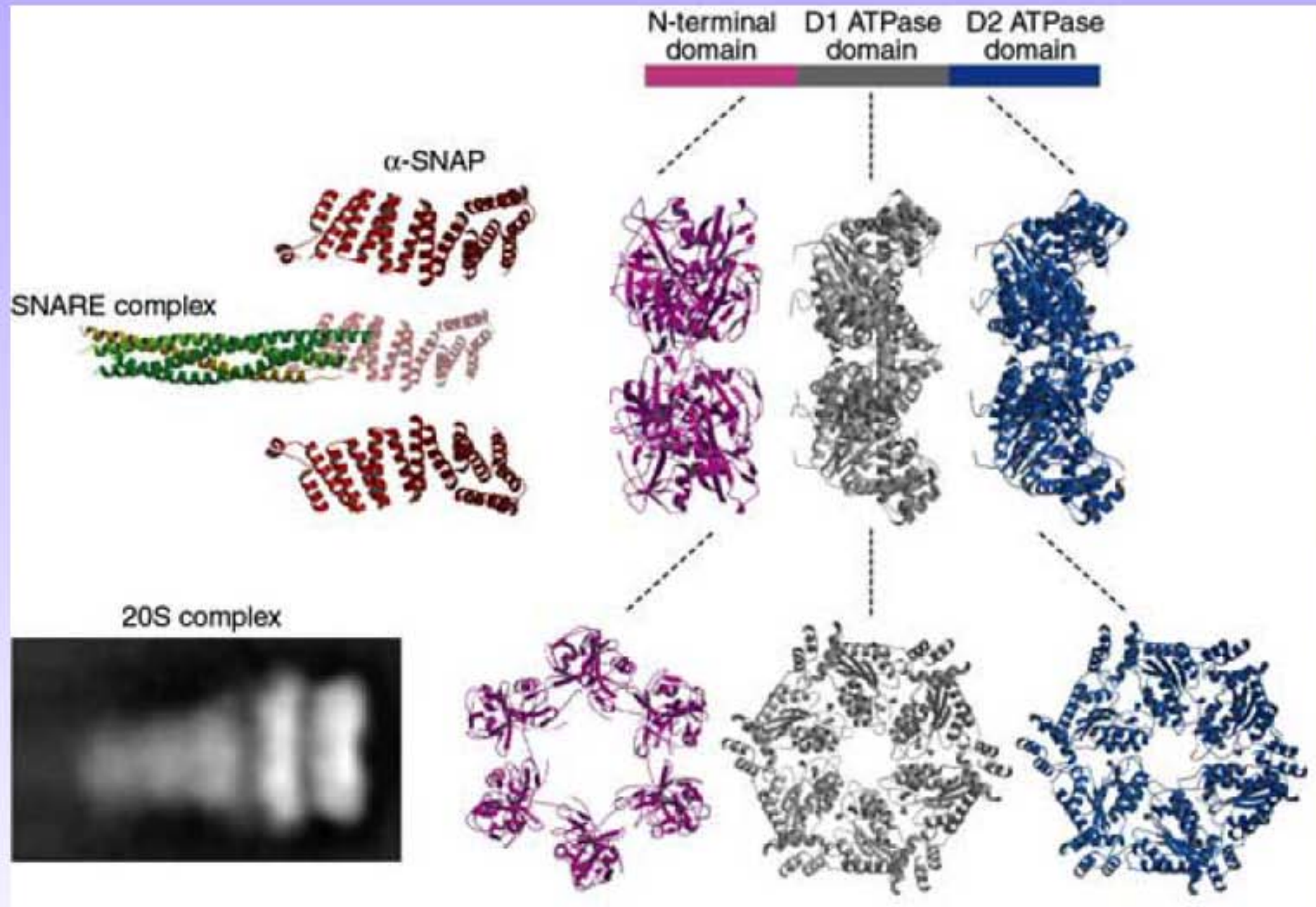


Dissociation des SNARE par NSF

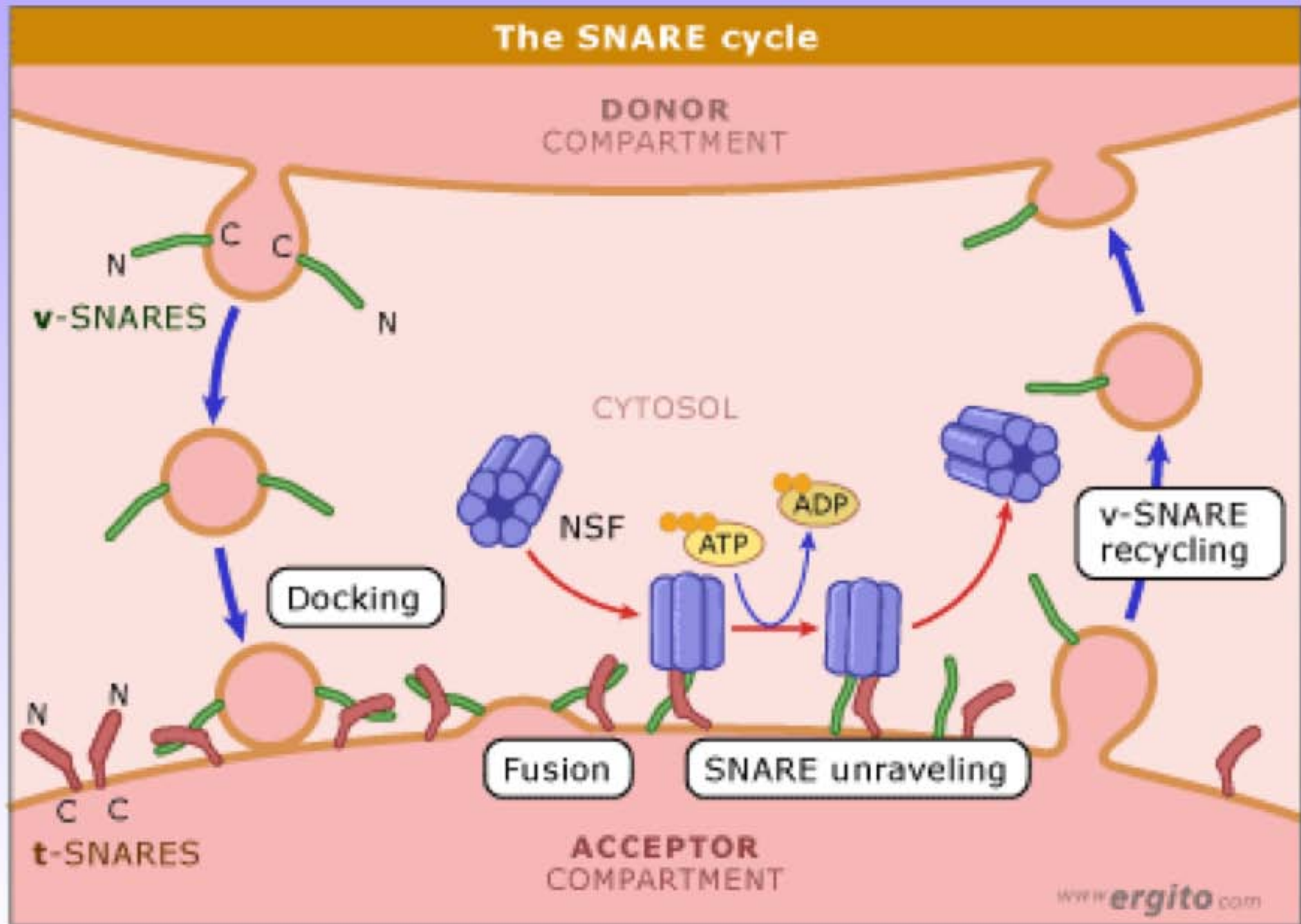


T.C. Südhof, K. Starke (eds.), *Pharmacology of Neurotransmitter Release. Handbook of Experimental Pharmacology 184.*

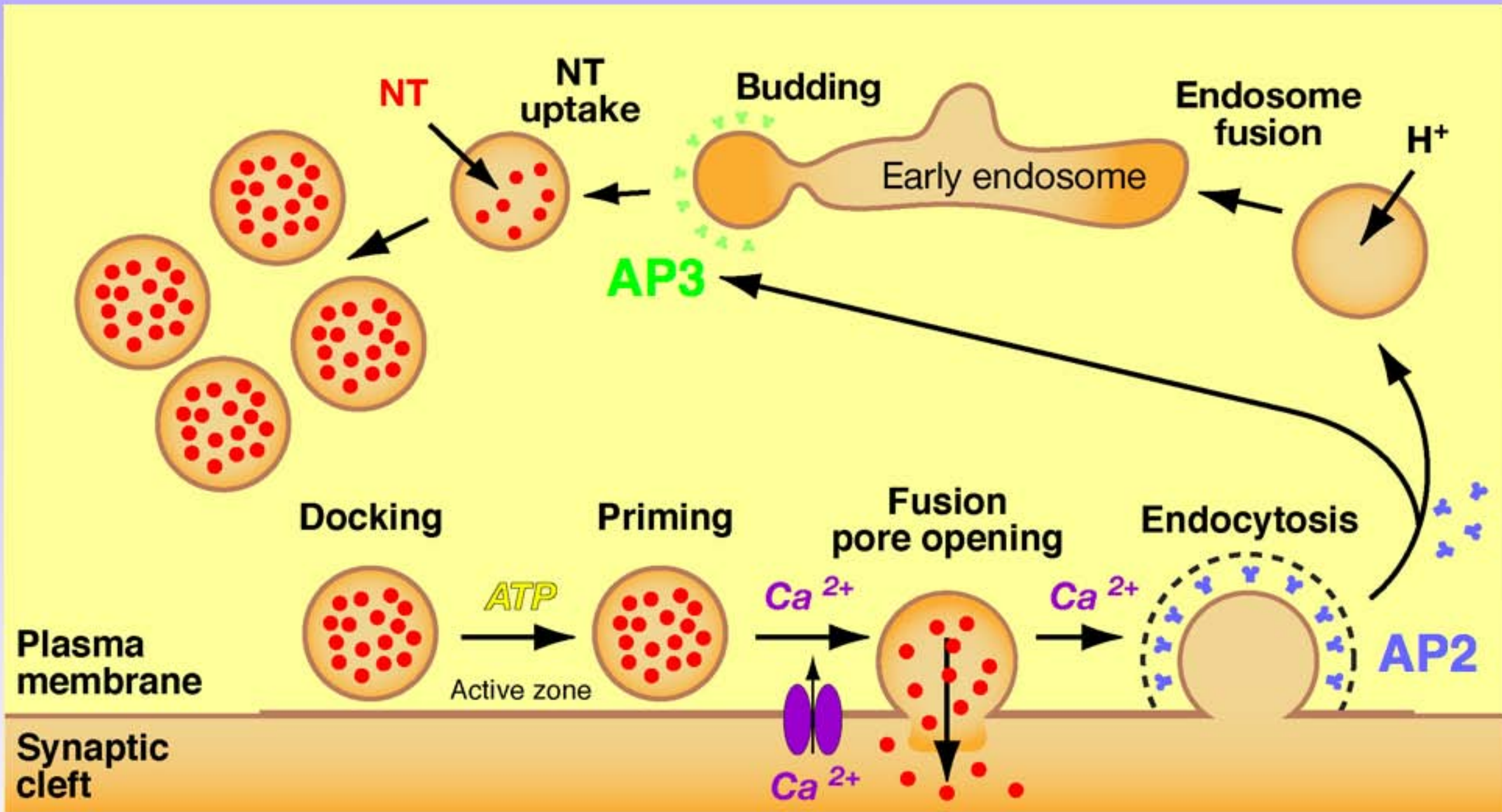
Structure de l'ATPase NSF



Dissociation des SNARE par NSF

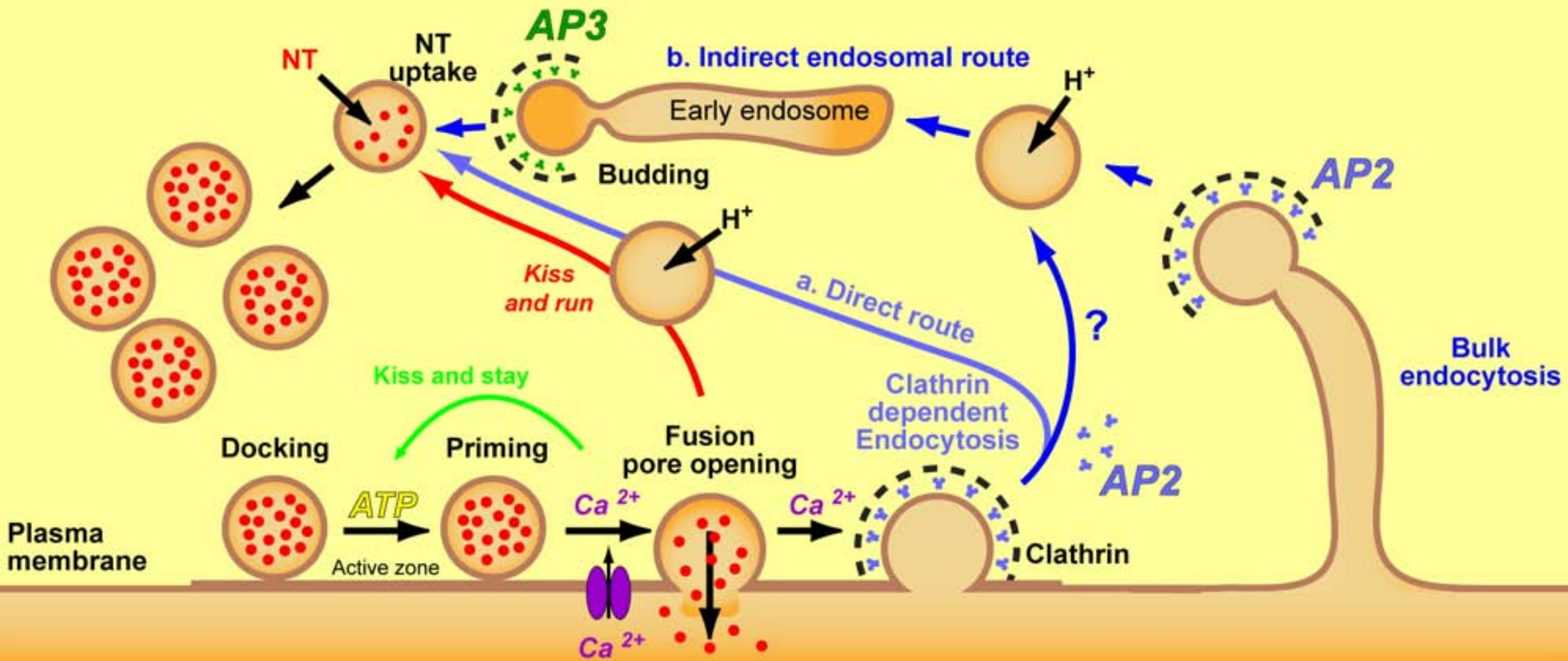


Recyclage des vésicules synaptiques



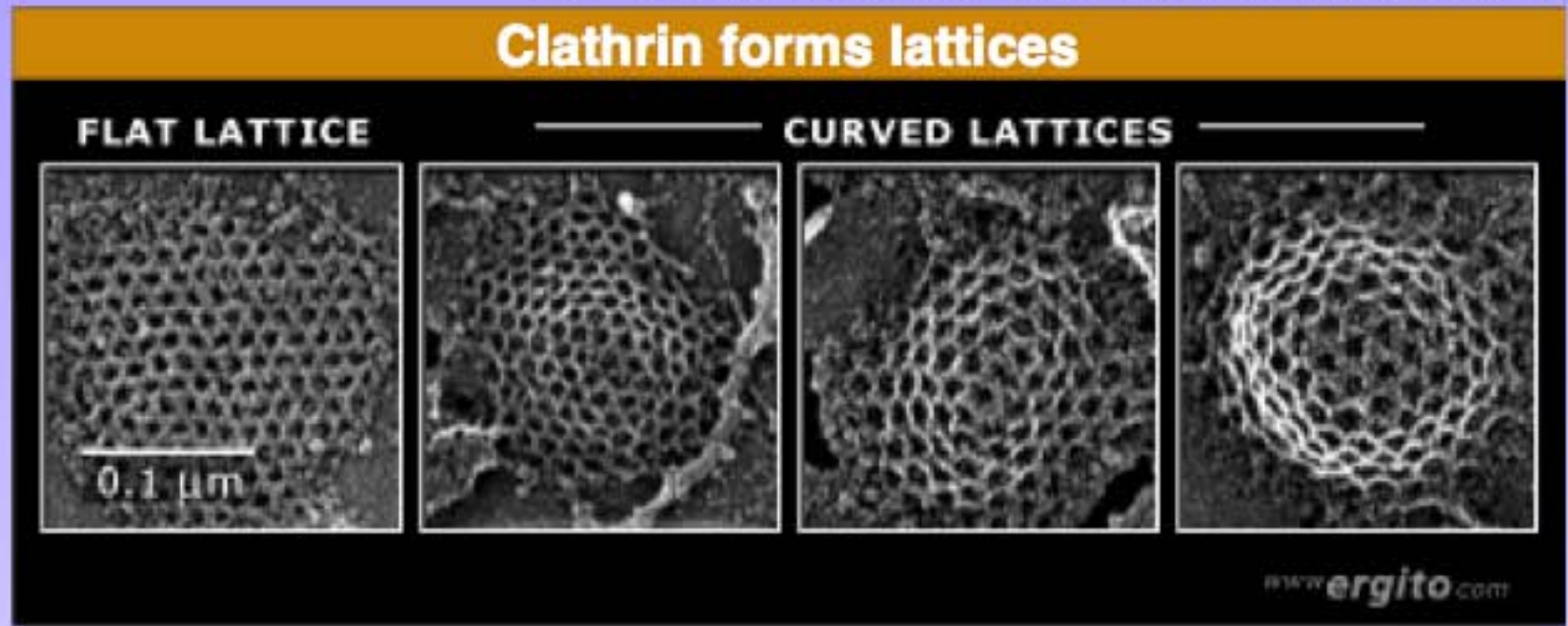
Danglot & Galli, *Biology of the cell*, 2003.

Recyclage des vésicules synaptiques

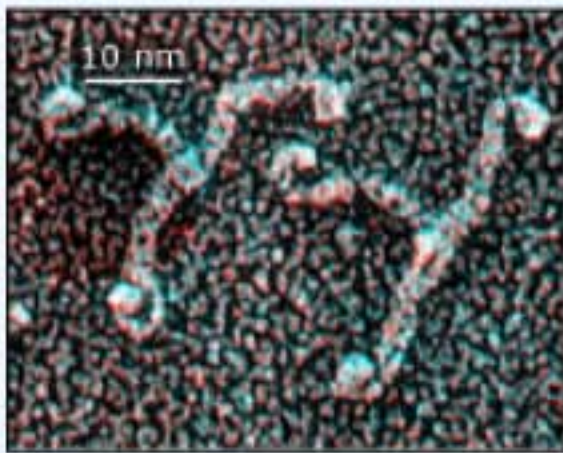


Clathrine

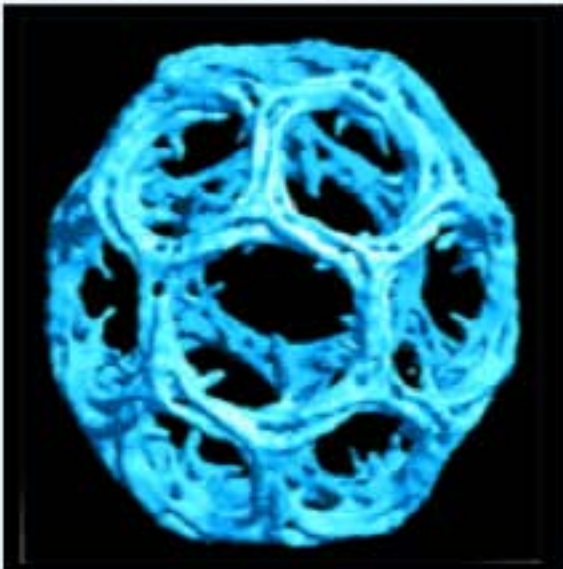
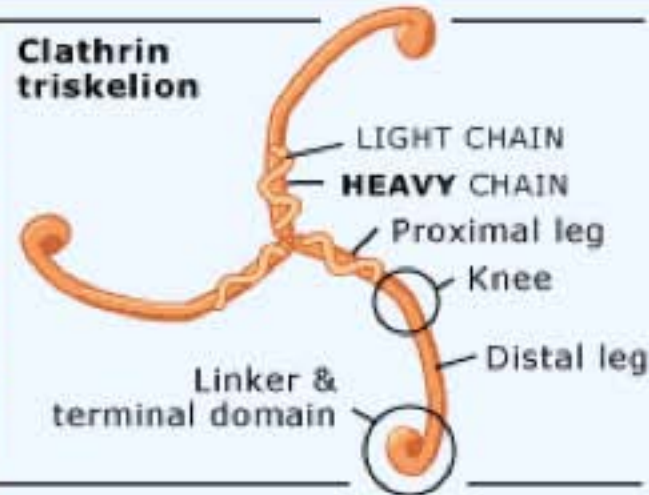
Clathrin forms lattices



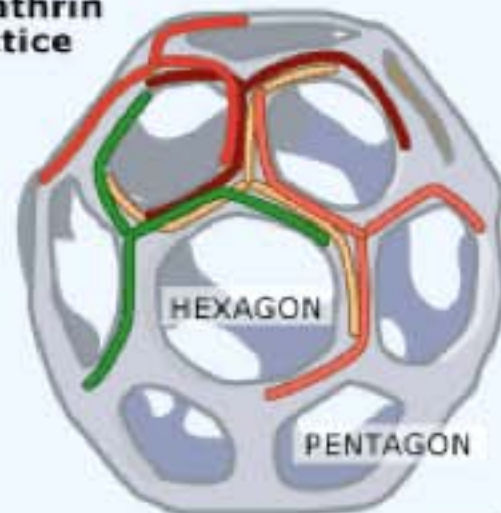
Structure of clathrin



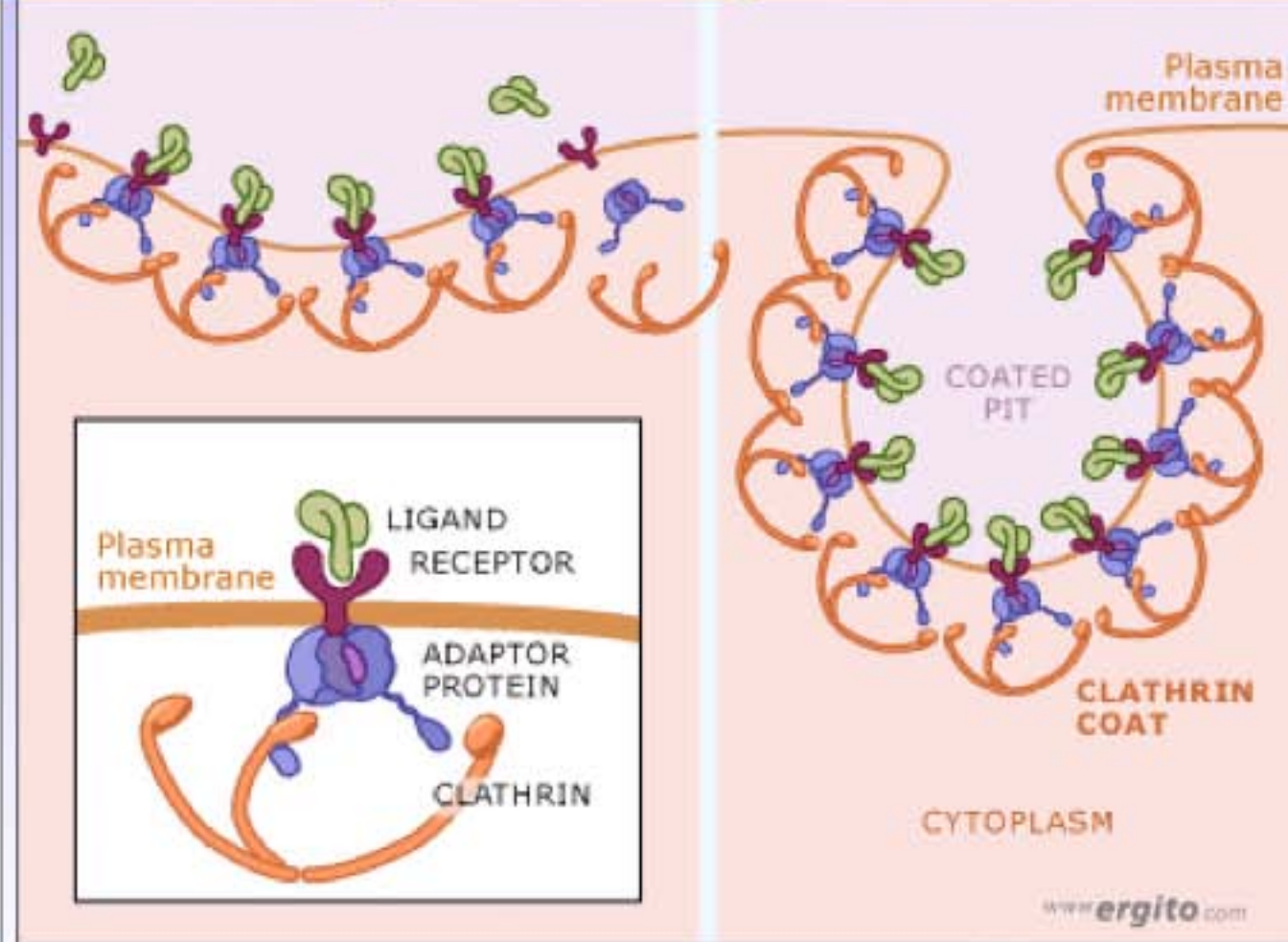
Clathrin triskelion



Clathrin lattice



Adapters links cargo & clathrin

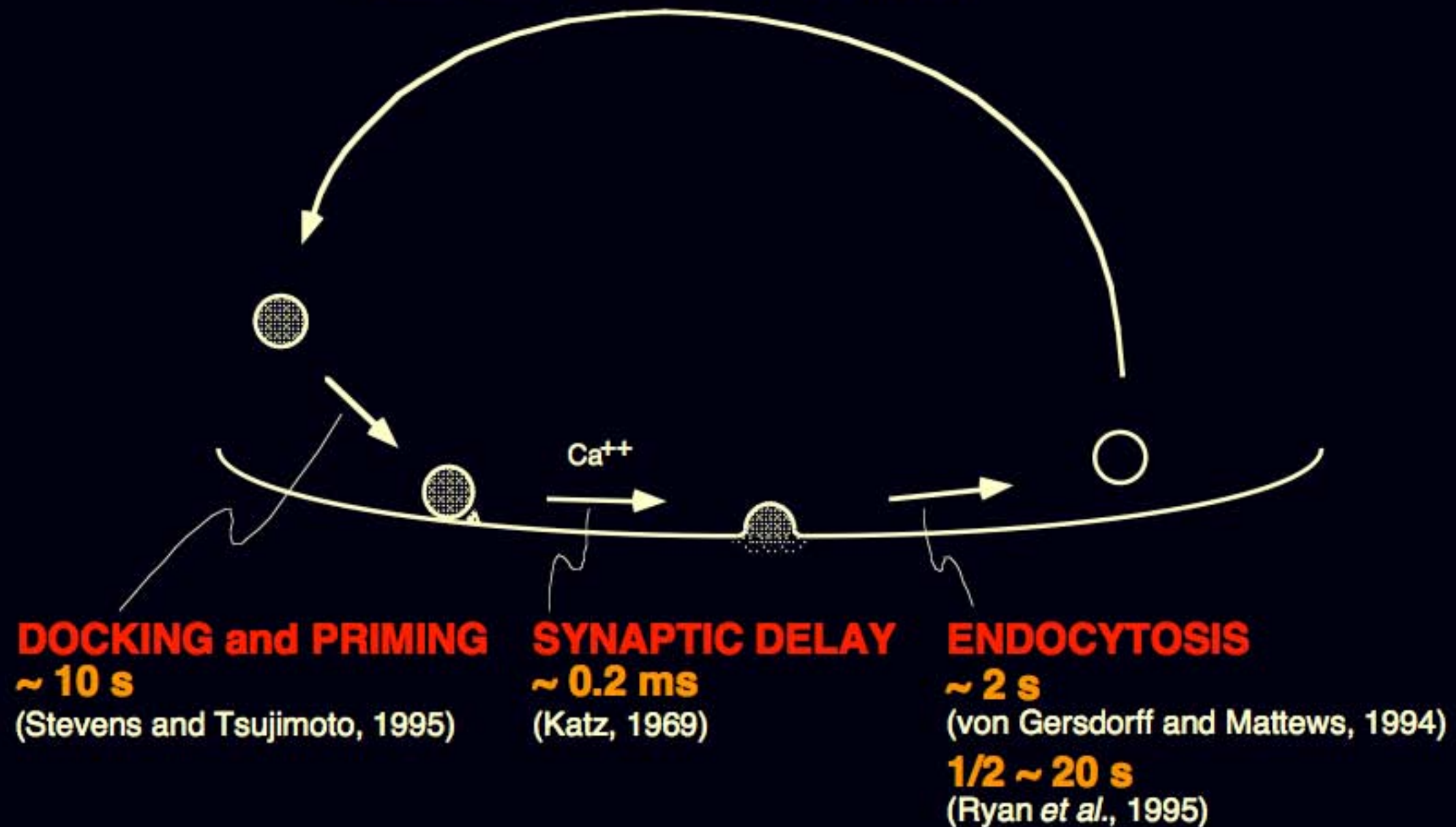


Recyclage des vésicules synaptiques

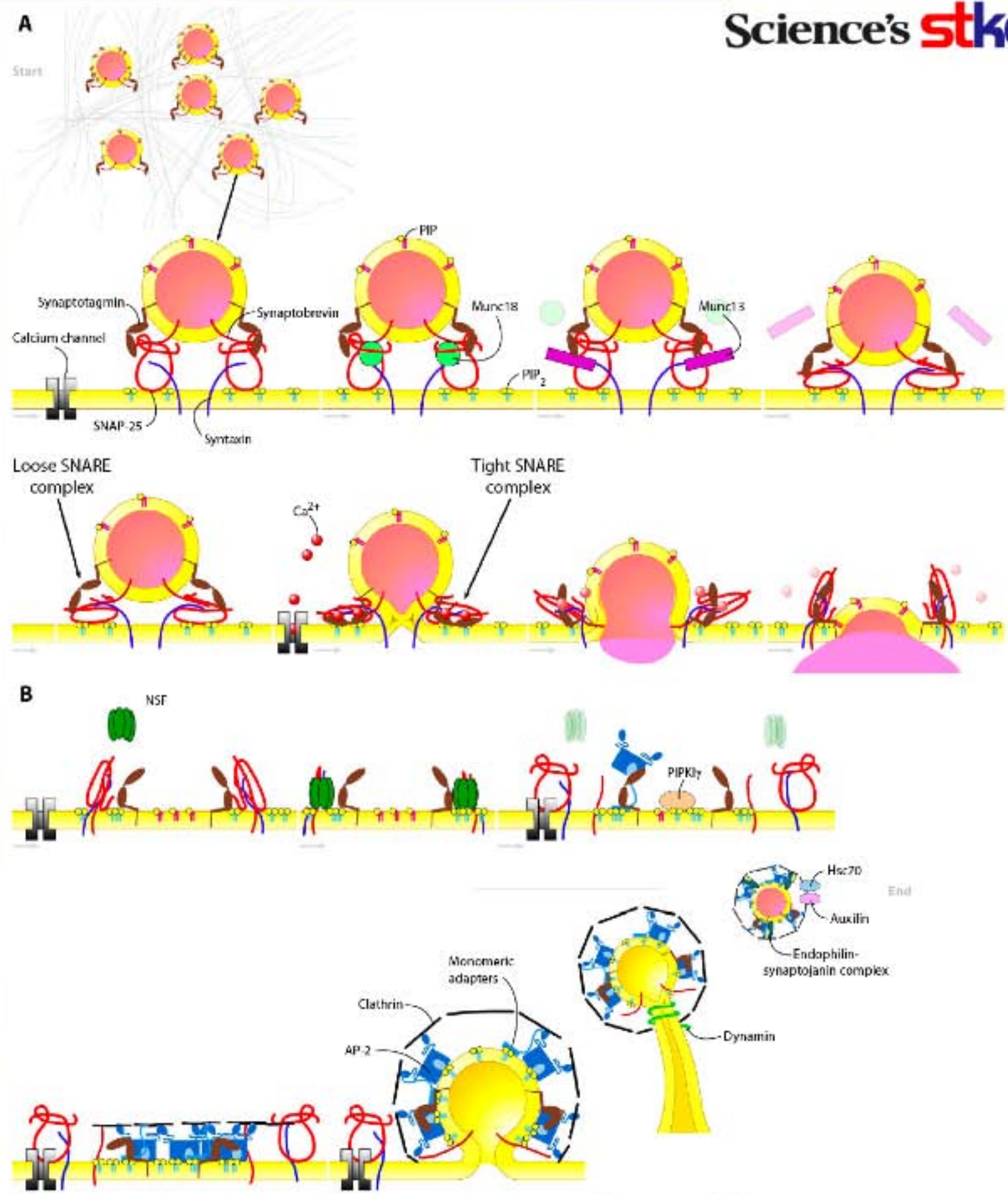
RECYCLING TIME

less than 60 s

(Betz and Bewick, 1993; Ryan *et al.*, 1995)

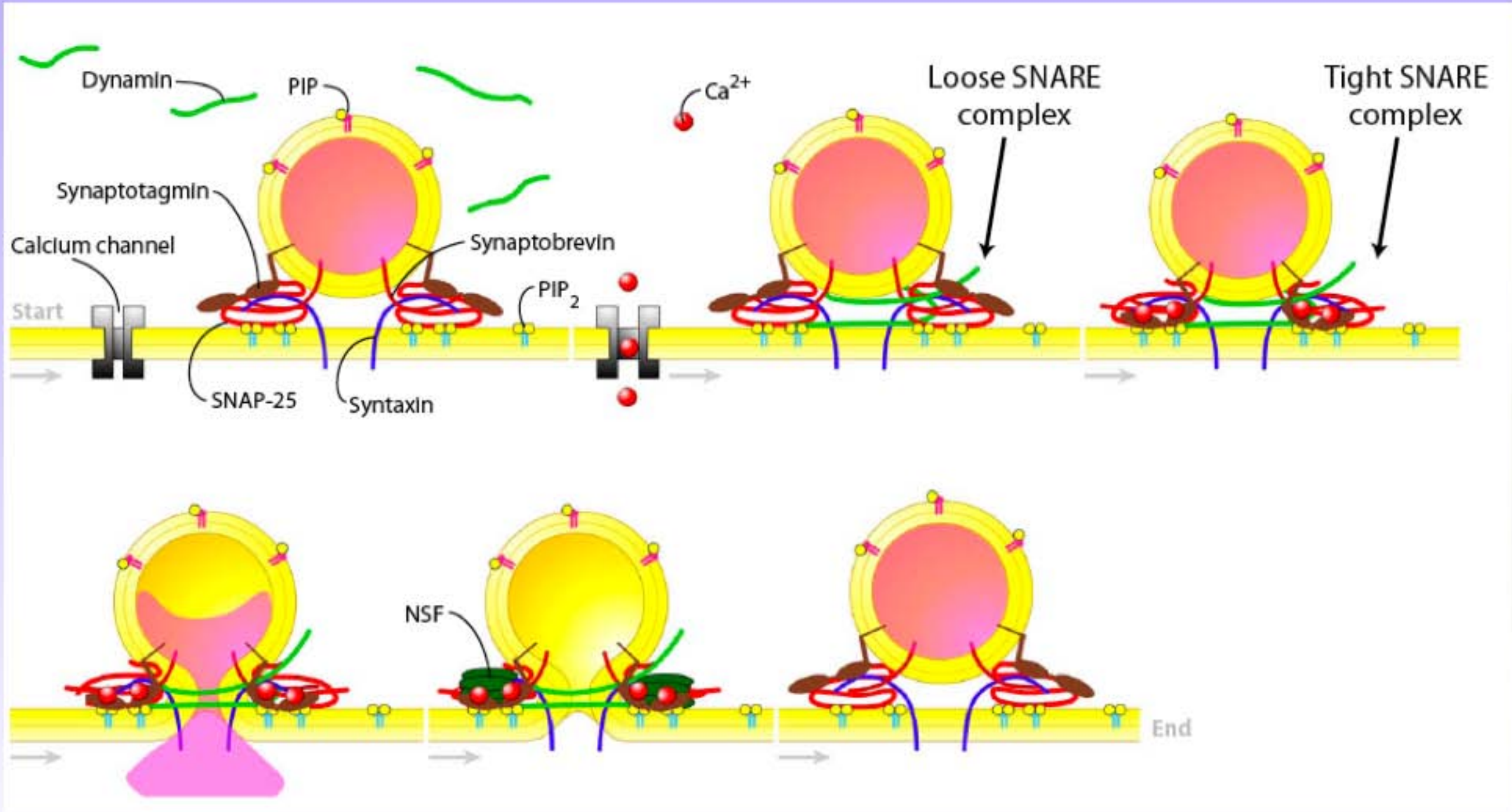


**Recyclage des Vésicules synaptiques:
endocytose médiée par la clathrine
(la voie lente)**



Thierry Galli¹ and Volker Haucke

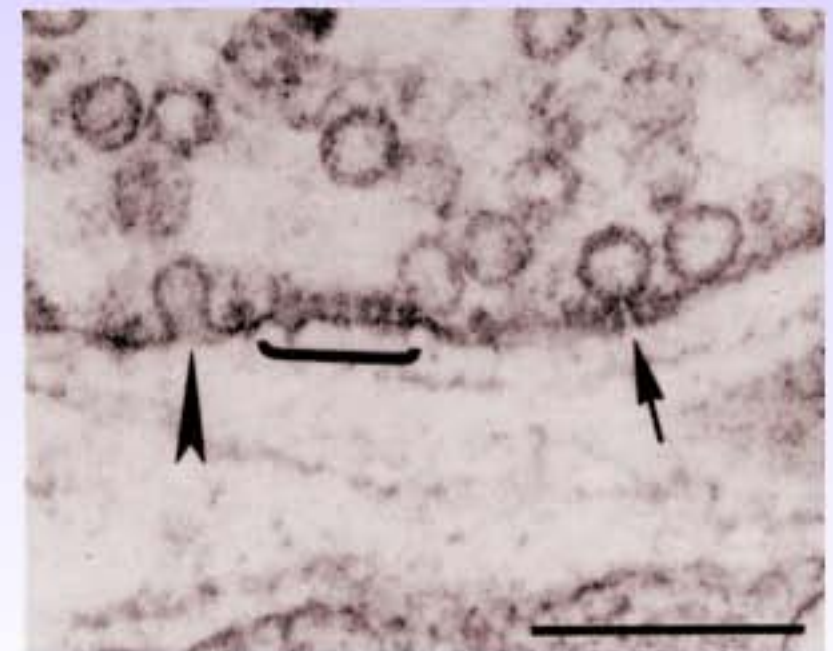
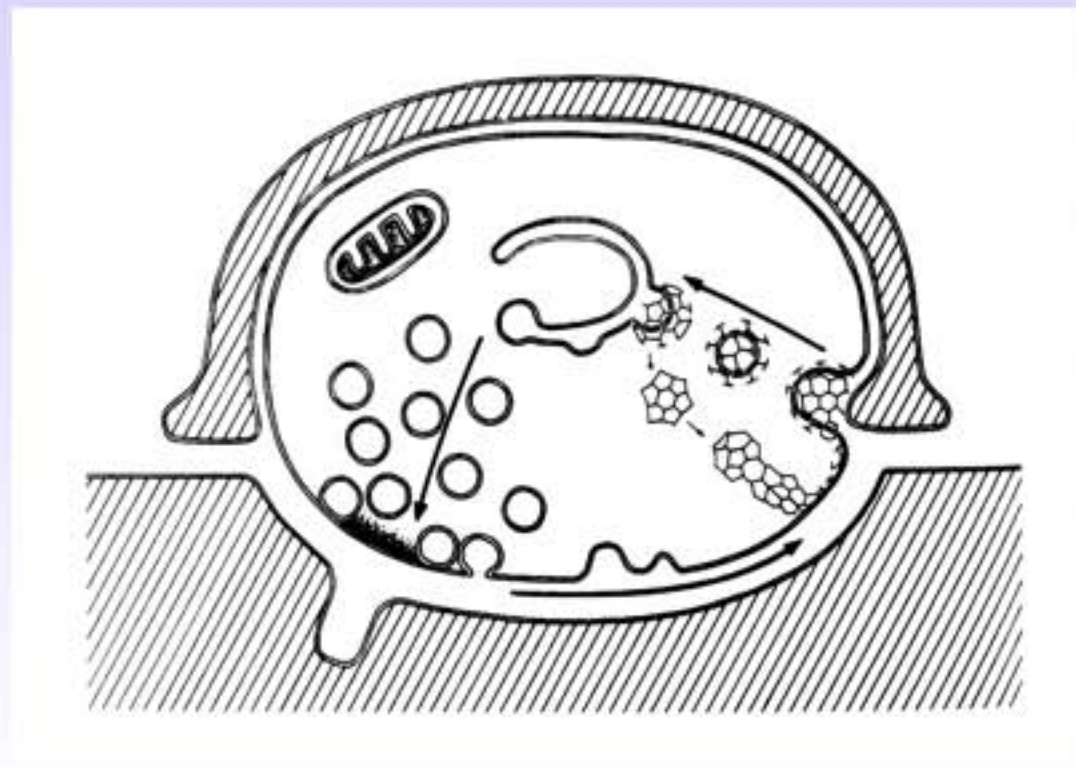
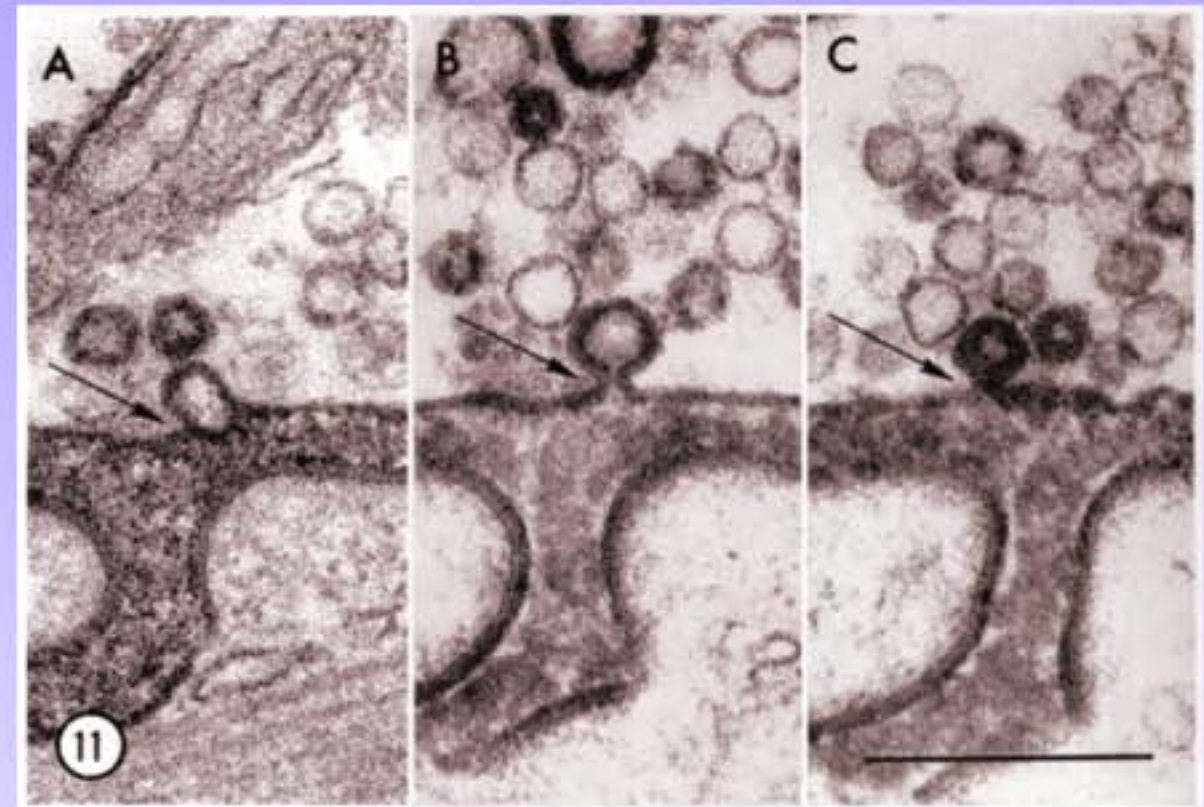
Kiss and Run ?



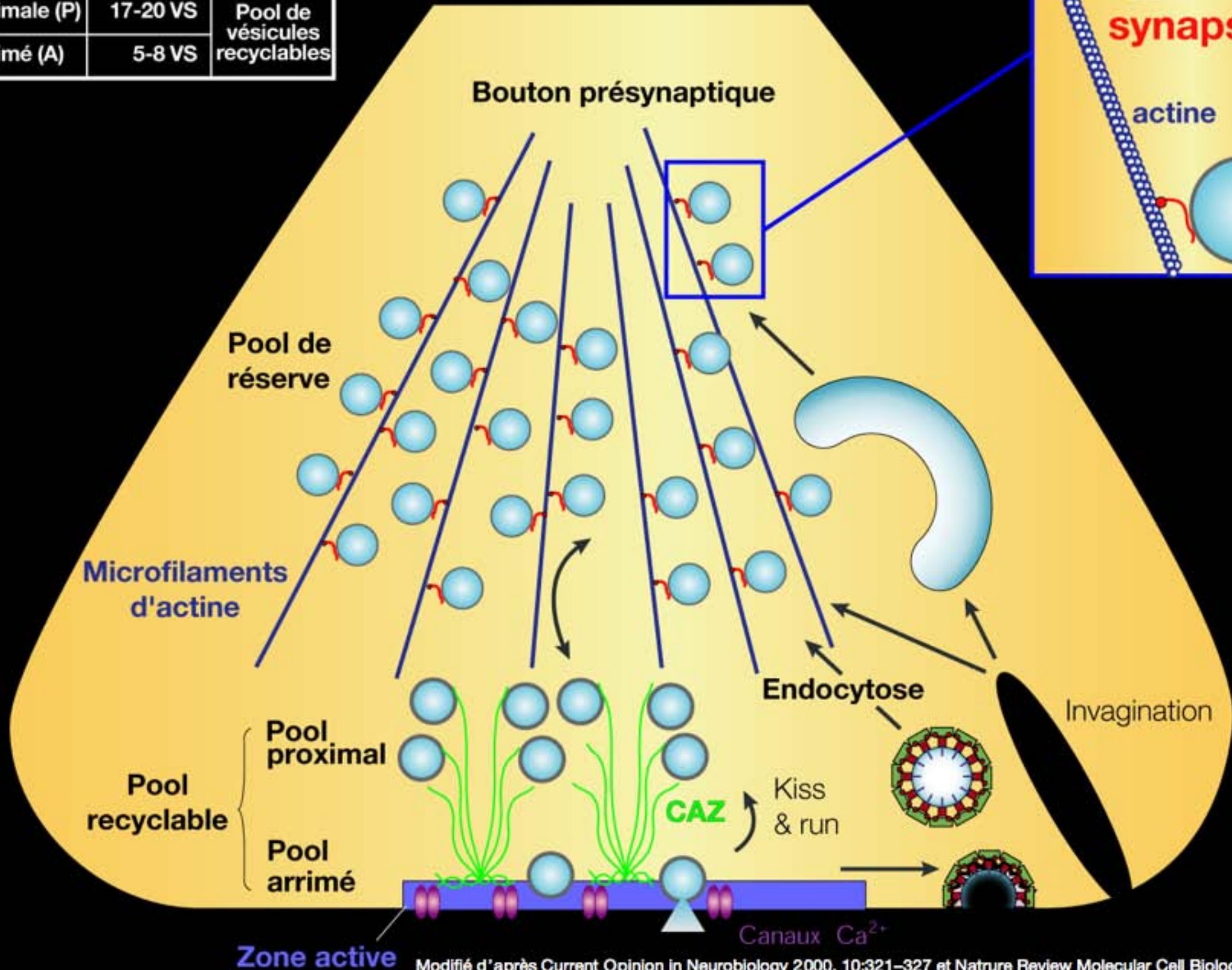
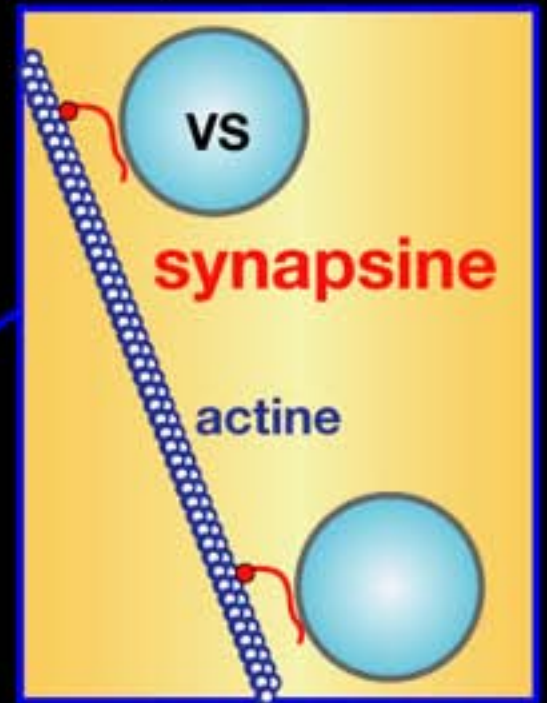
Thierry Galli1 and Volker Haucke

www.stke.org/cgi/content/full/sigtrans;2004/264/re19

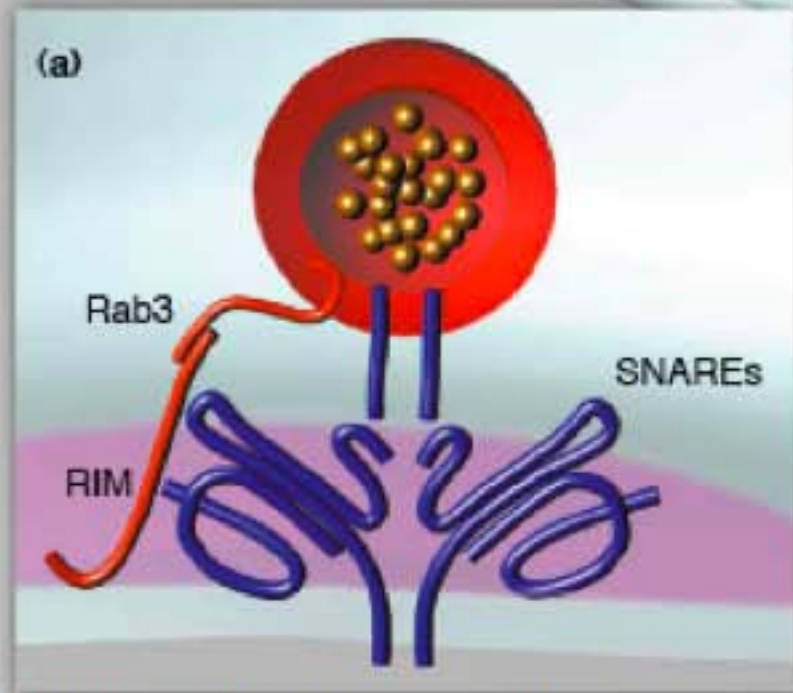
**Et en microscopie
électronique ?**



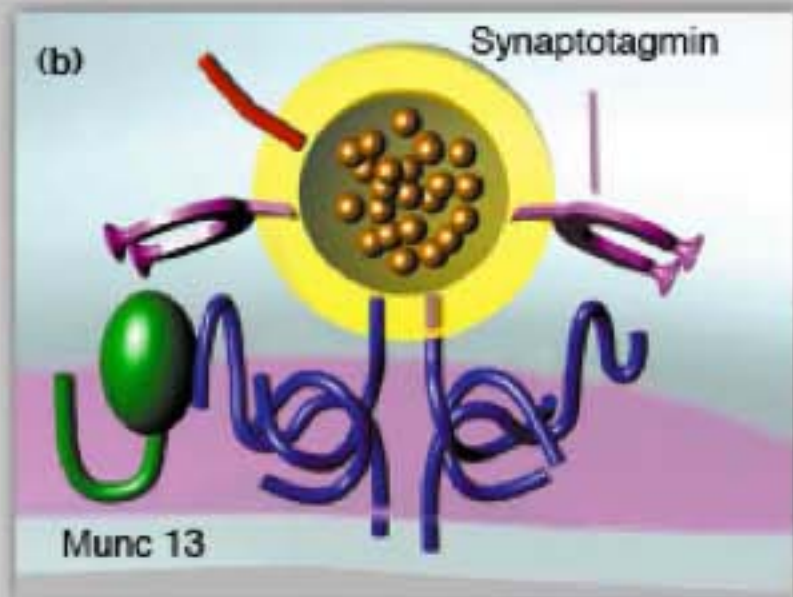
Type de pool	Nombre de vésicules	
de réserve (R)	180 VS	
proximale (P)	17-20 VS	Pool de vésicules recyclables
arrimé (A)	5-8 VS	



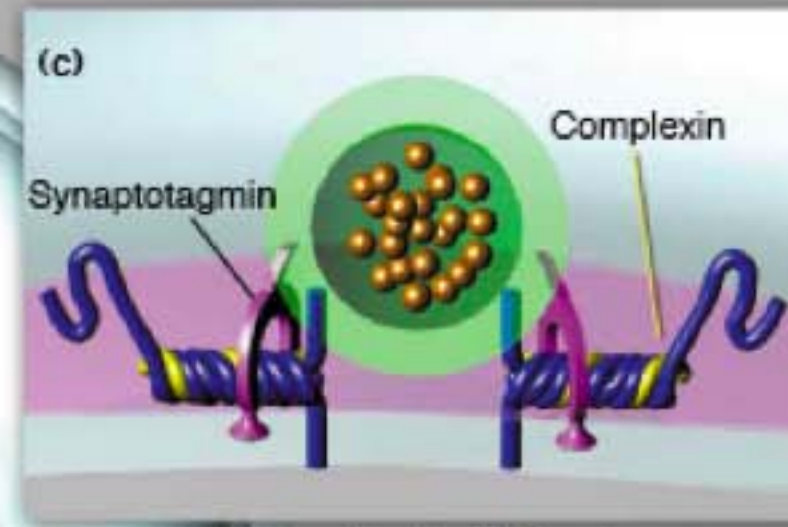
Régulation de l'exocytose



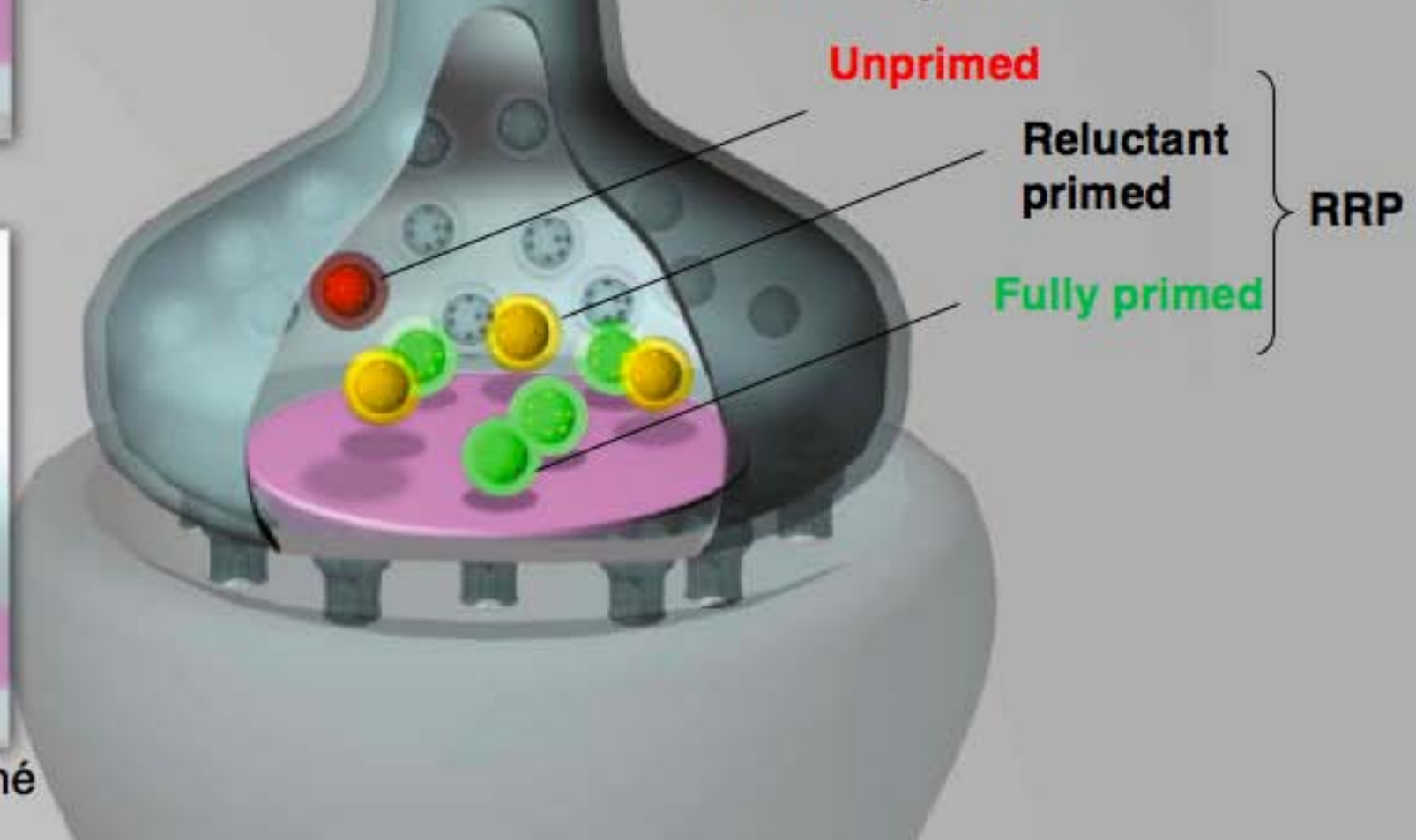
Docking-Initiation du priming



Priming- complexe SNARE relaché
 Proba de libération: 1-2%
 Libération asynchrone : 20 ms



Prete à fusionner- attente du Ca^{2+}
 Proba de libération: 12-14%
 Libération synchrone : 2 ms



Comment mesurer l'exocytose ?

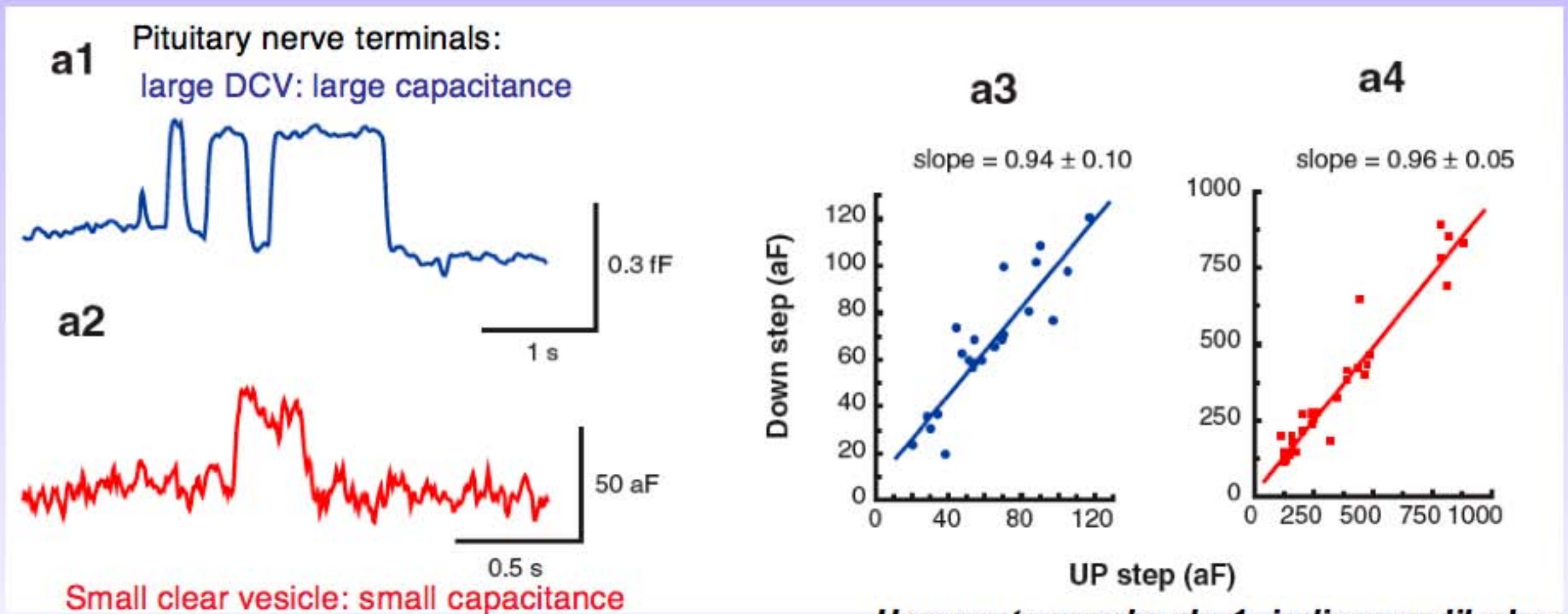
1) Capacitance:

La mesure de la capacitance de la cellule est proportionnelle à la surface de la membrane.

L'enregistrement de la capacitance permet de mesurer l'addition de membrane provoquée lors d'un évènement de fusion membranaire.

Cellules chromaffines (medullosurrénales): la fusion d'une vésicules produit une augmentation de la capacitance de 1fF (Neher, PNAS 1982).

Mastocytes : ont des vésicules + larges: augmentation de 16fF

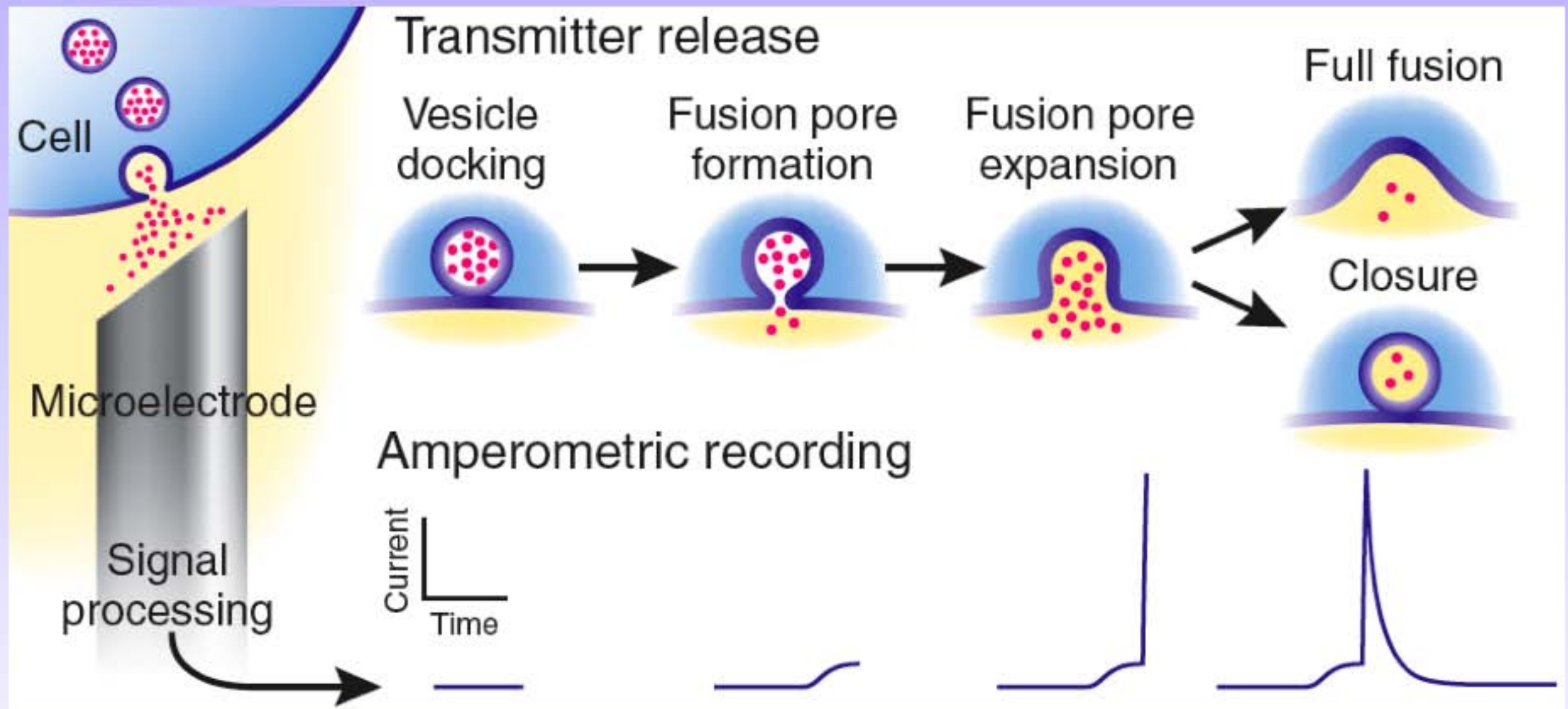


Une pente proche de 1, indique qu'il n'y a pas de transfert de membrane et indique plutôt un événement de type kiss-and-run.

Comment mesurer l'exocytose ?

2) L'ampérométrie à fibre de carbone (5-10 microns de diamètre):

On stimule les cellules par une dépolarisation. La cellule sécrète alors des molécules. En présence d'un potentiel approprié, les molécules (catécholamines, indolamines) sécrétées s'oxydent et libèrent des électrons. La mesure du courant d'oxydation donne accès à la quantité de molécules sécrétées par événement unitaire d'exocytose.



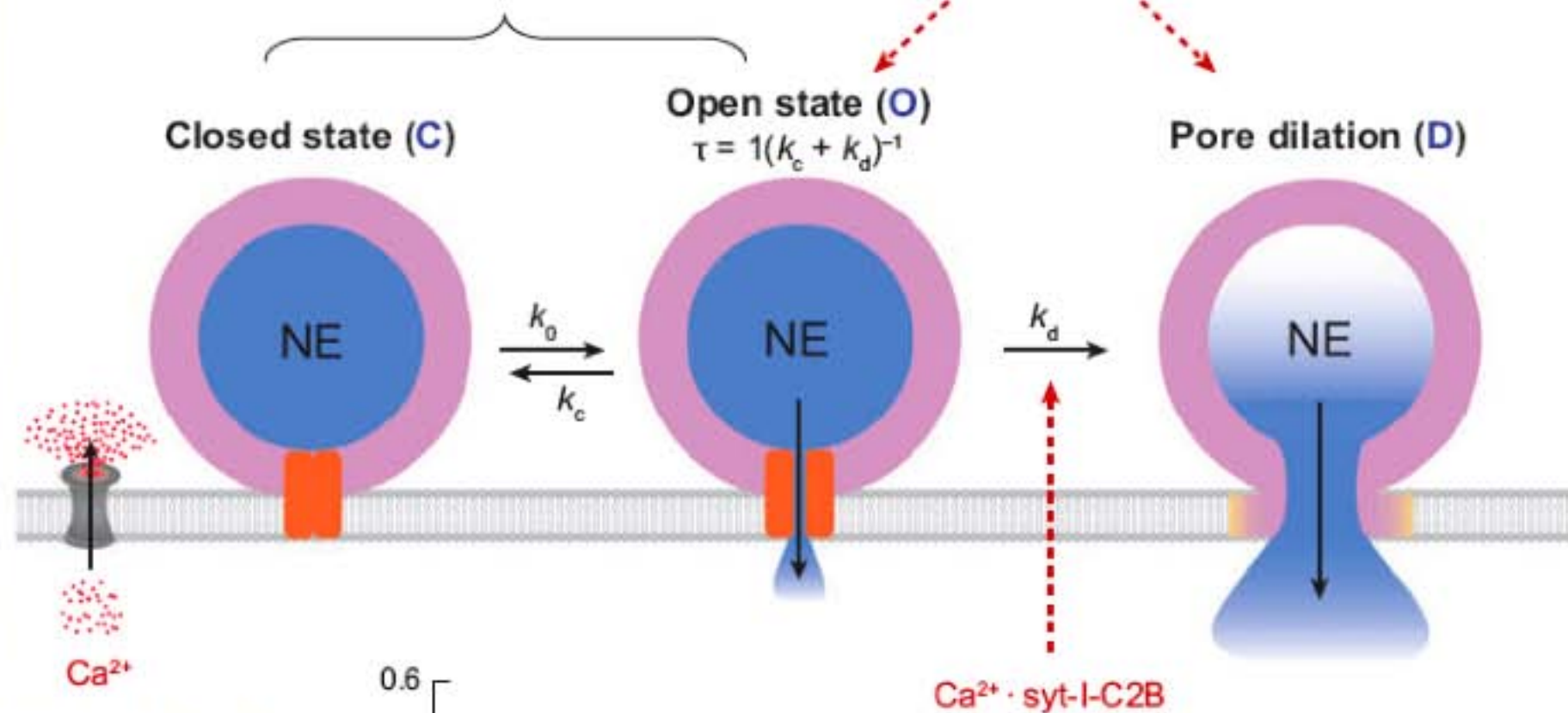
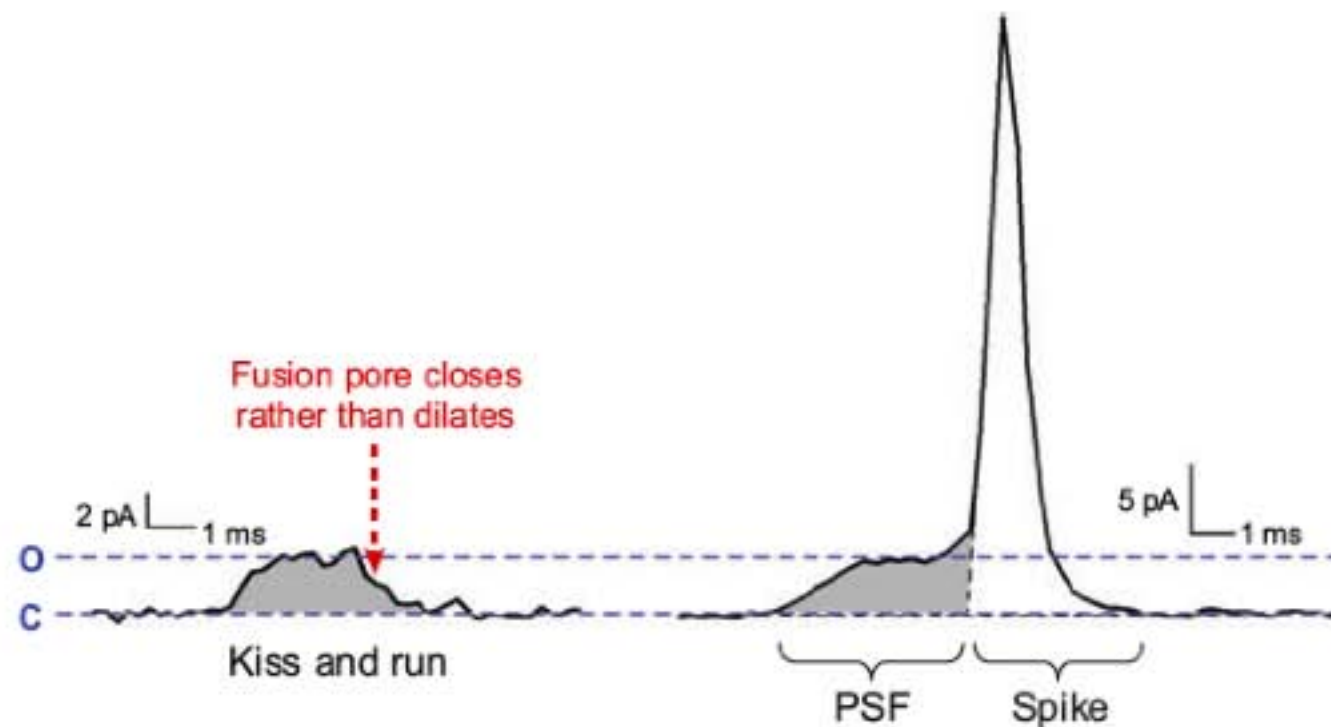
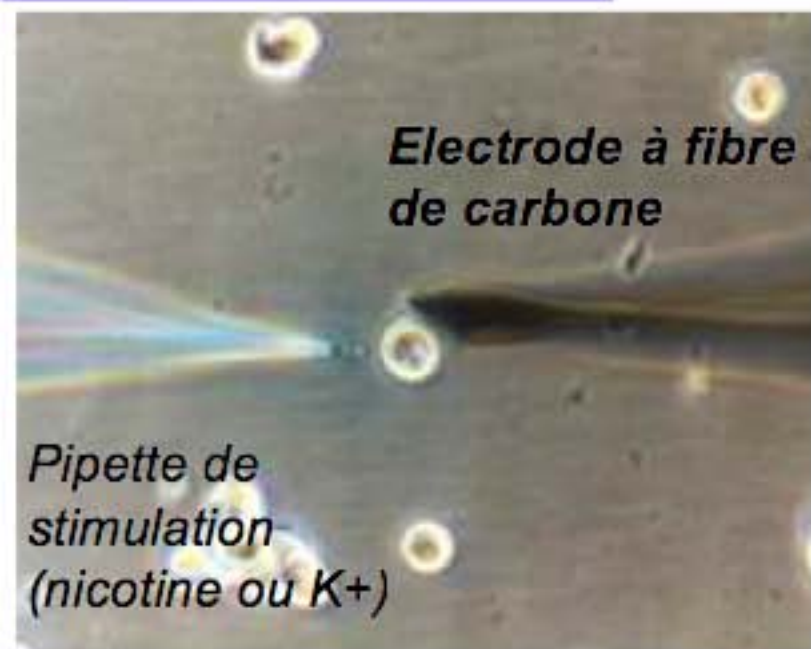
Cellules mesurées: cellules chromaffines (noradrénaline, adrénaline), mastocytes (histamines, serotoninines), et cellules β du pancreas (insuline).

Résolution temporelle: $<1\text{ms}$

Sensibilité de détection: quelques milliers de molécules (Chen et al., 1994)

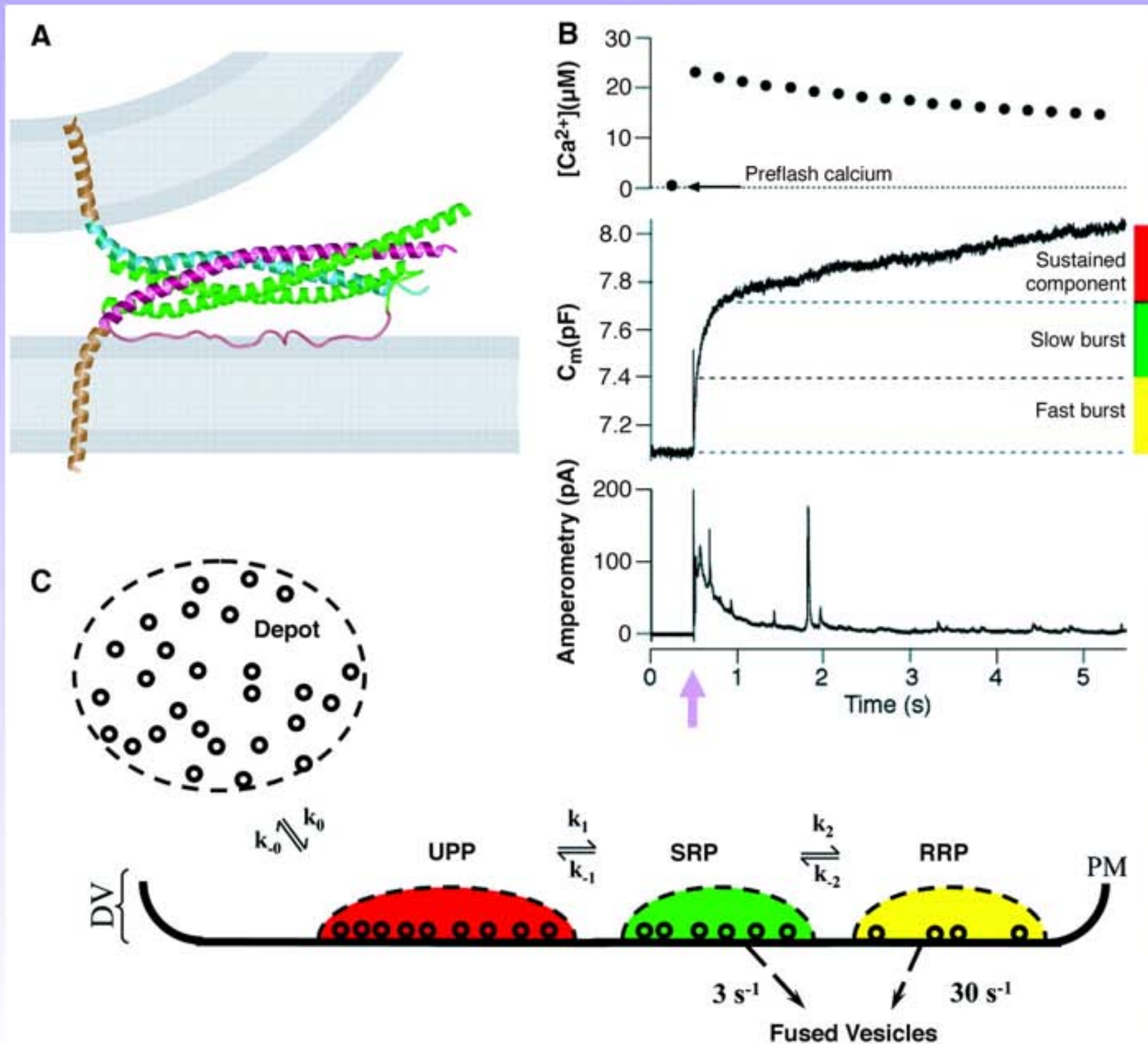
Comment mesurer l'exocytose ?

2) L'ampérométrie à fibre de carbone:



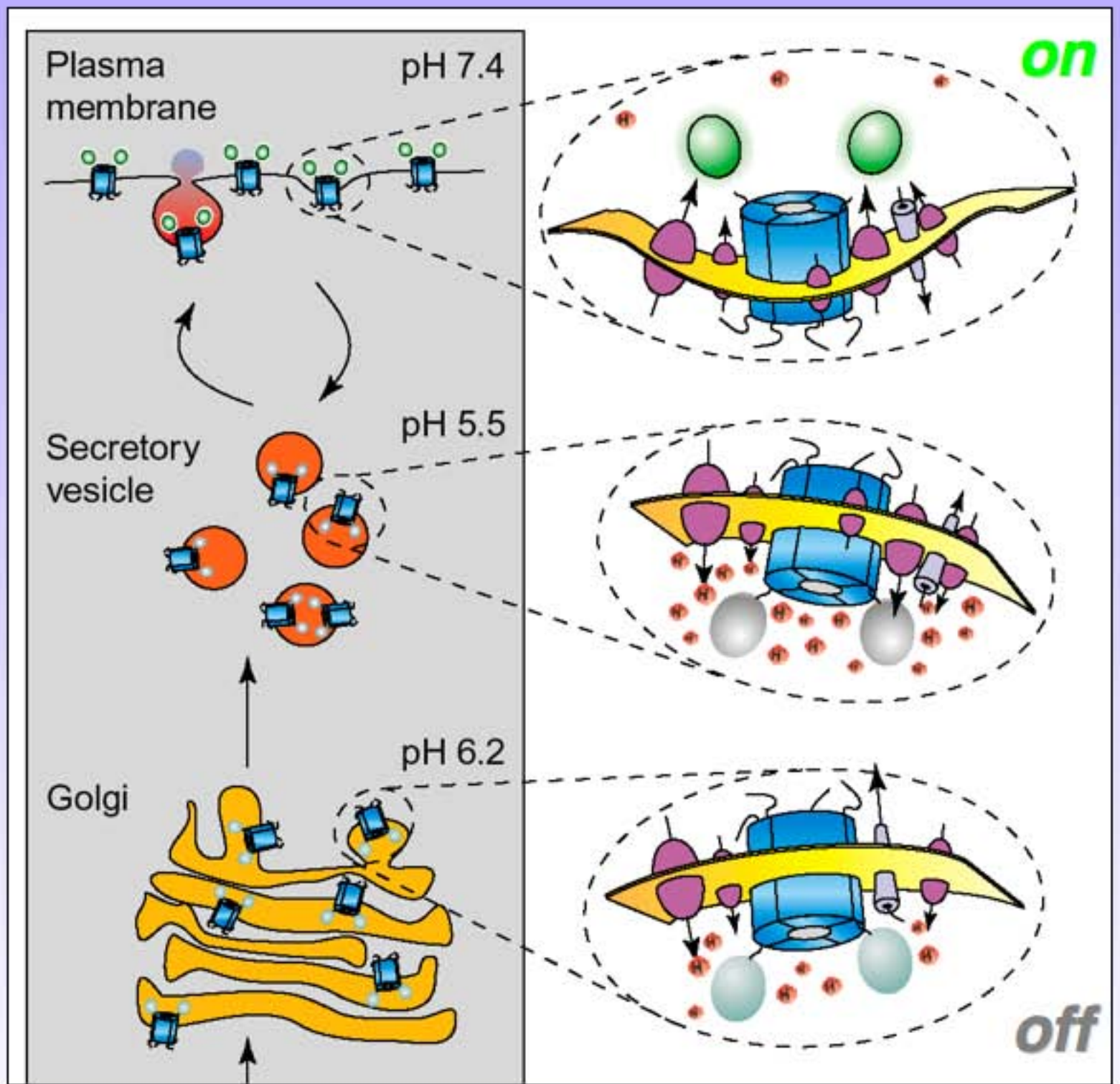
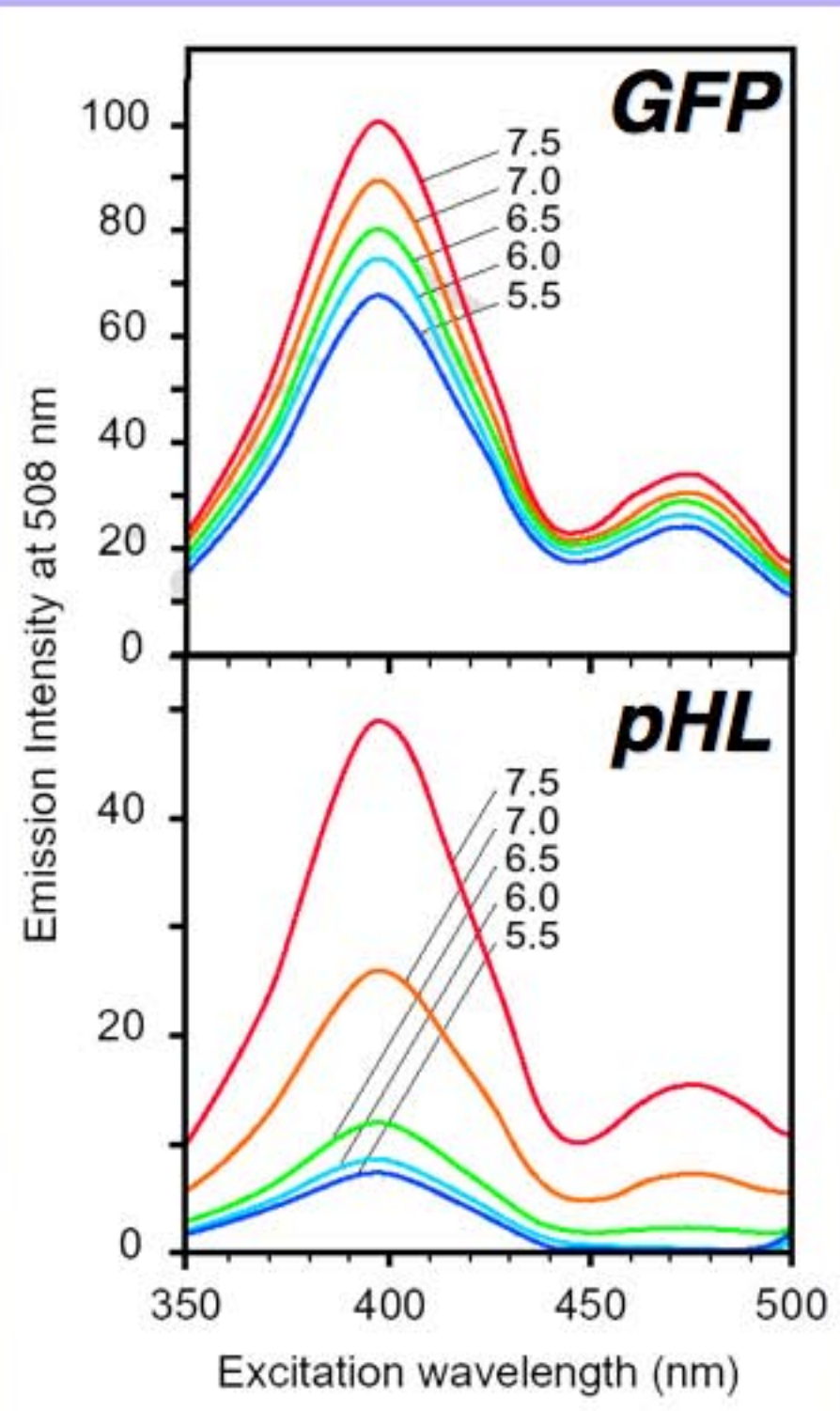
Ex: Syt1 prolonge le PSF, Syt4 le diminue.

Réserve, Amorçage, Fusion



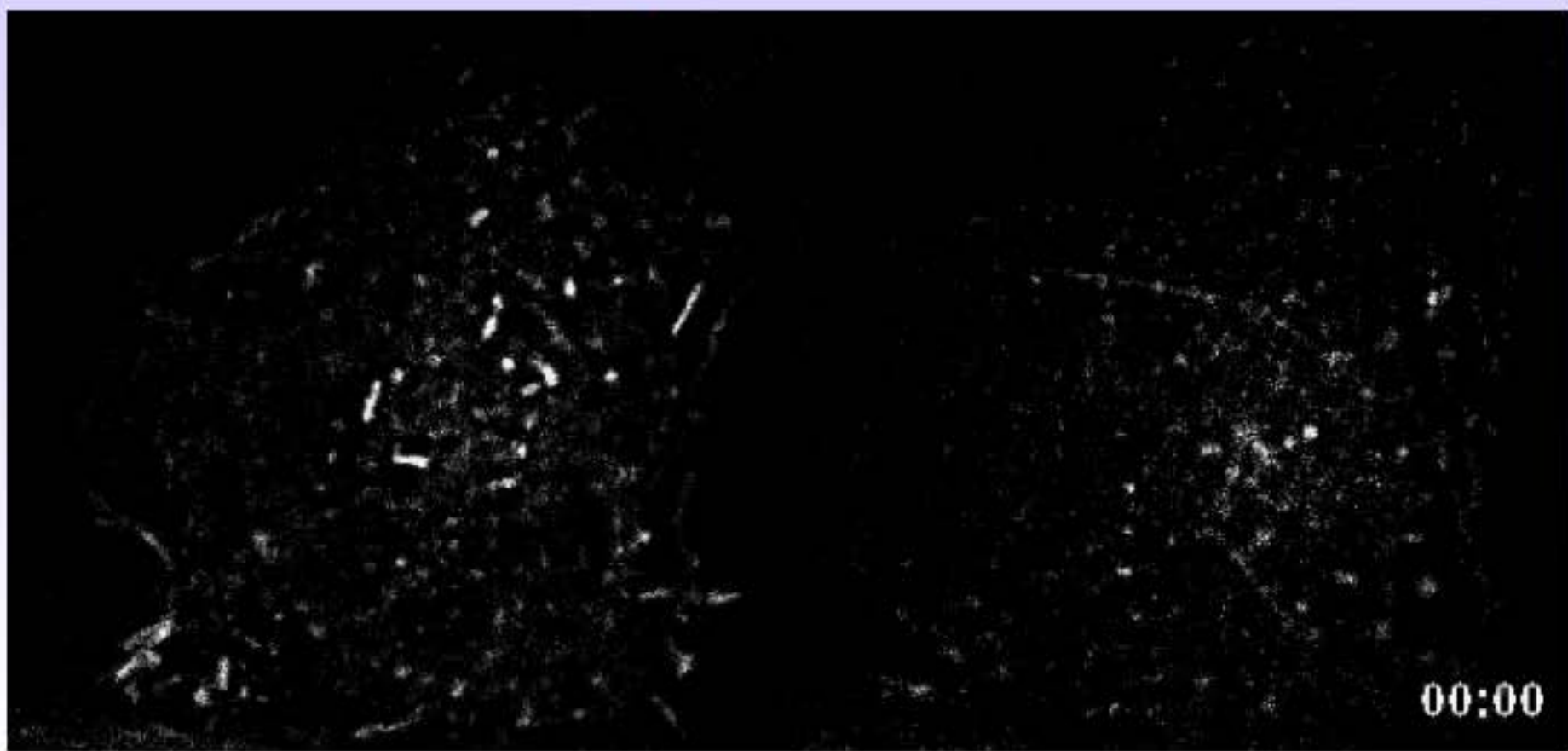
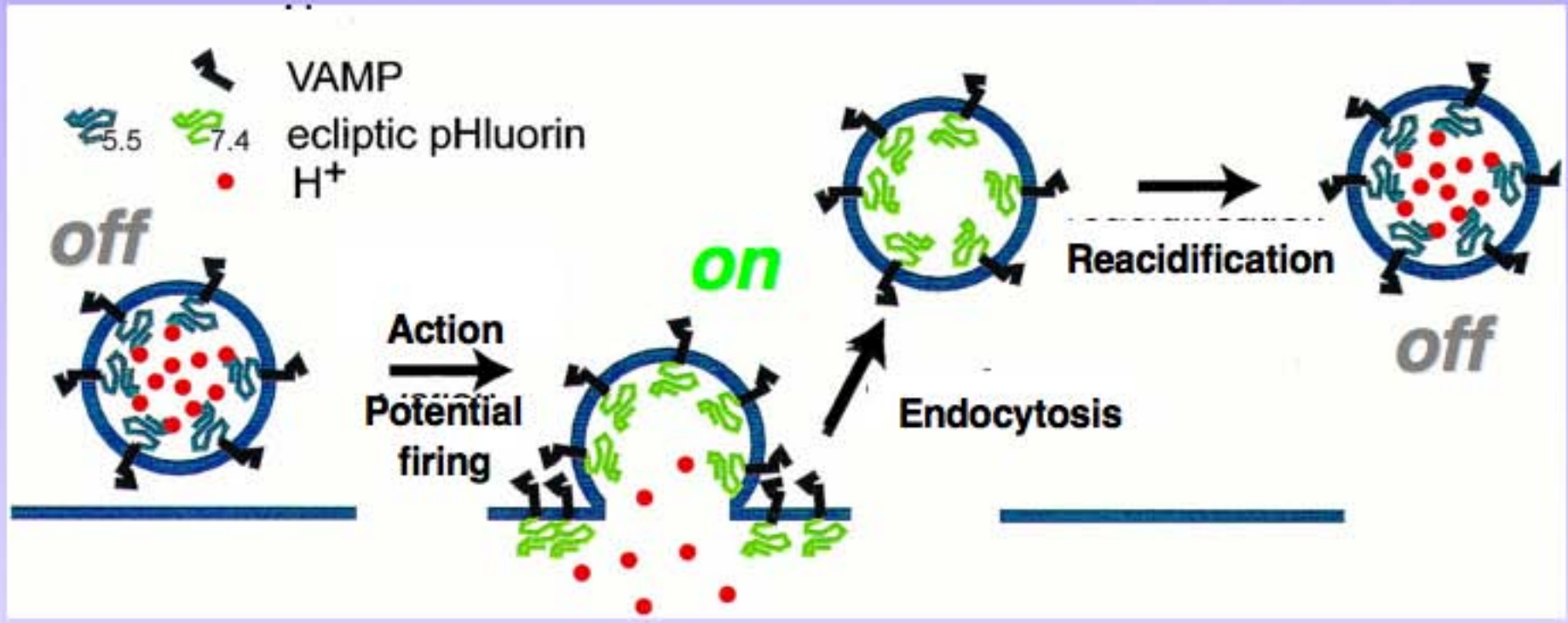
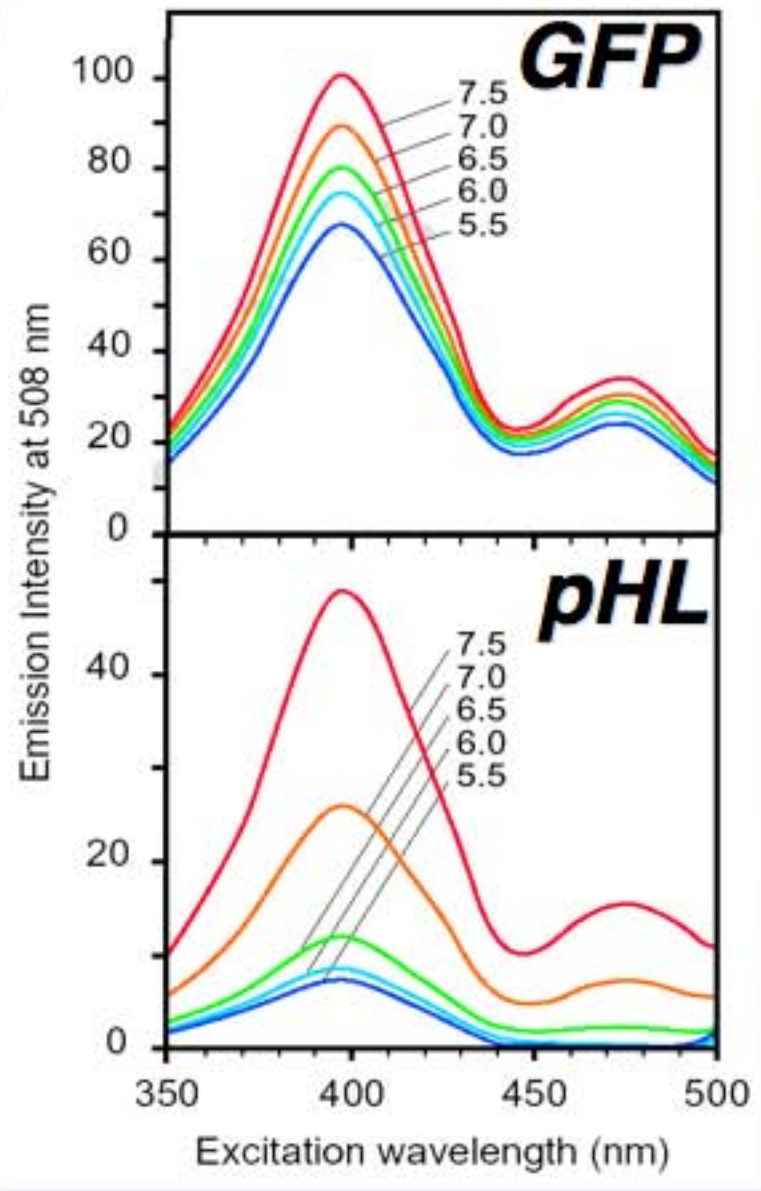
Comment mesurer l'exocytose ?

3) Mesure de fluorescence avec la GFP sensible au pH : la pHLuorin



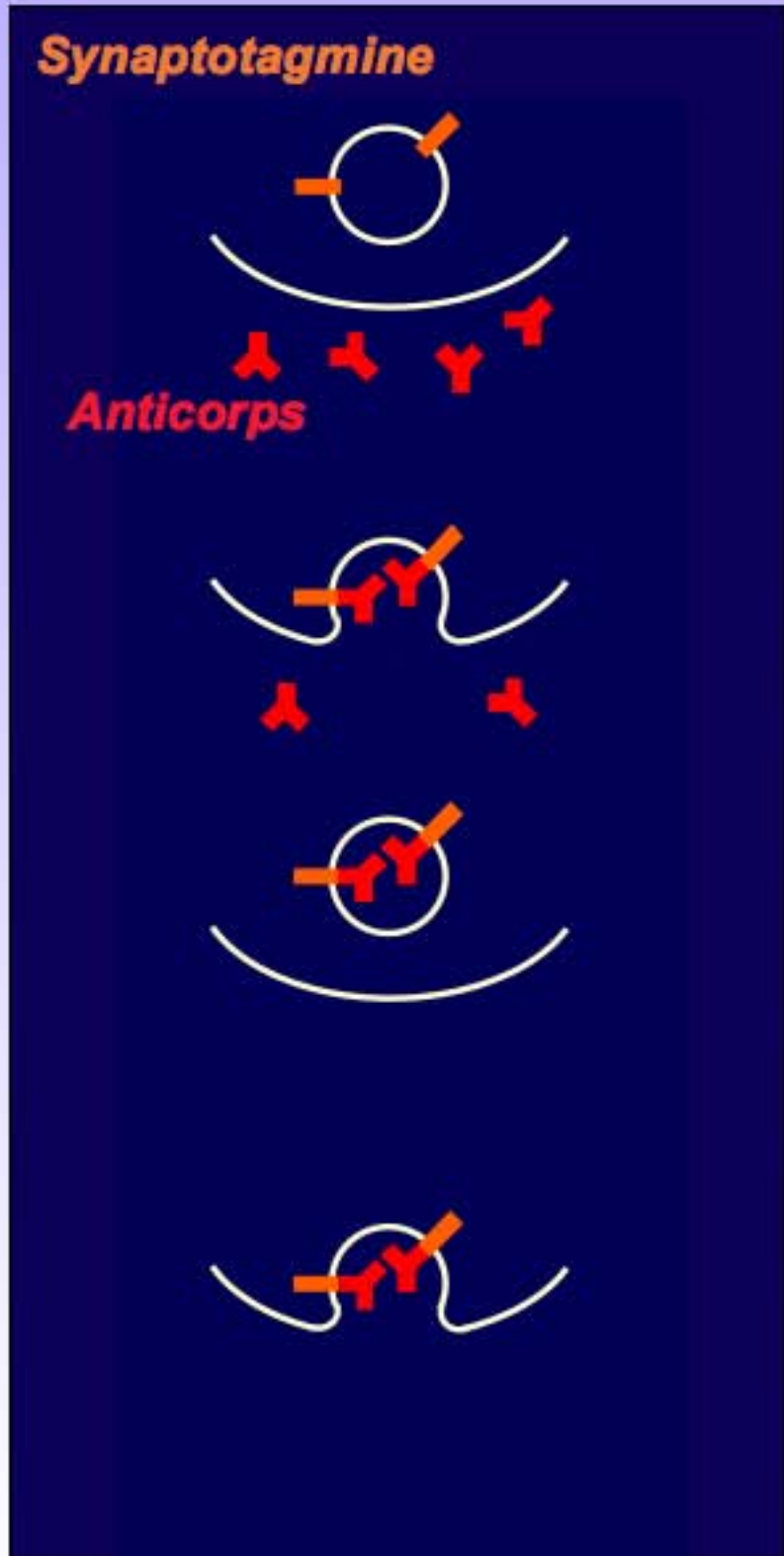
Comment mesurer l'exocytose ?

3) Mesure de fluorescence avec la GFP sensible au pH : la pHluorin



Comment mesurer le recyclage ?

1) L'utilisation d'anticorps anti-synaptotagmine



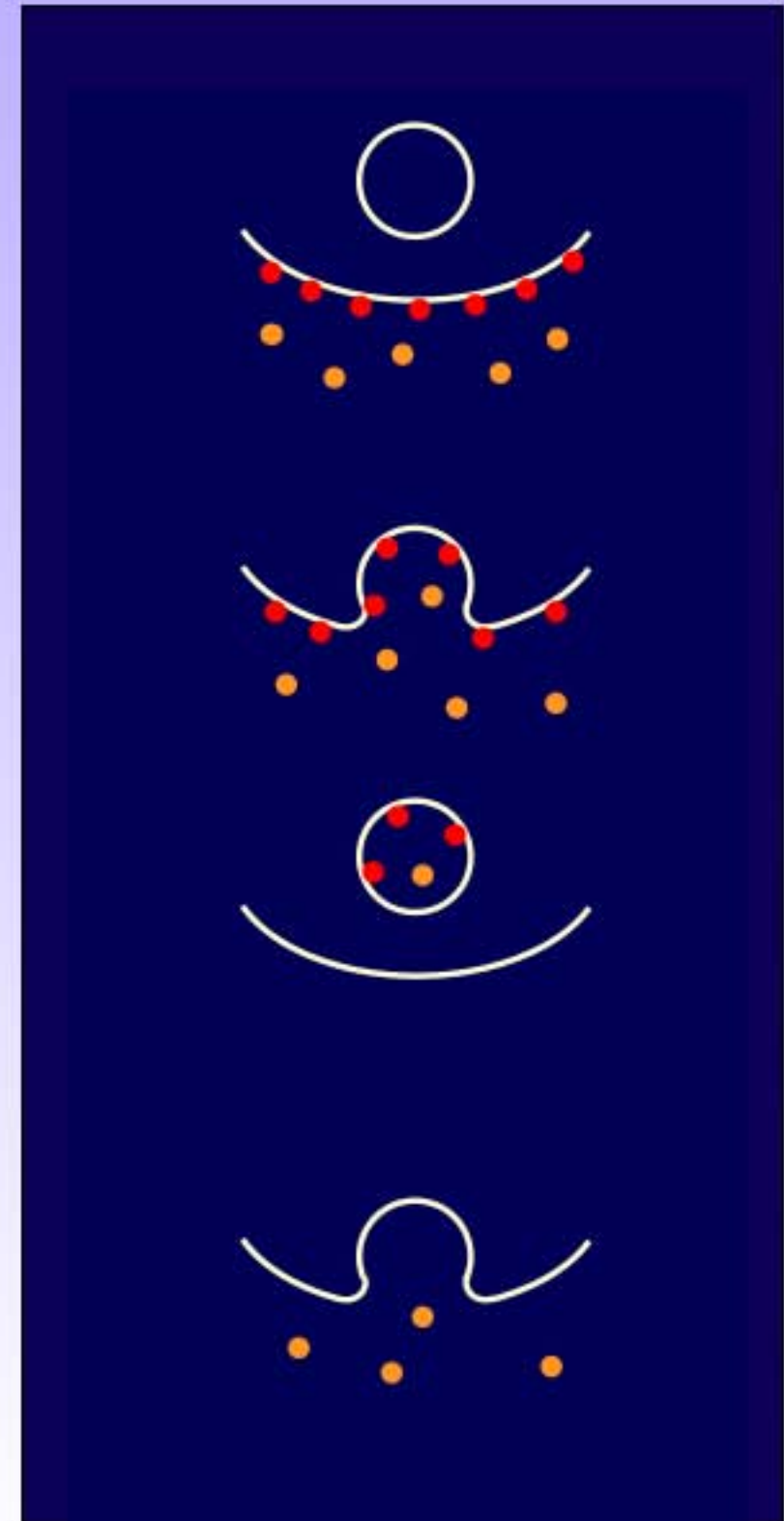
**Incubation
avec anticorps
ou sonde**

Endocytose

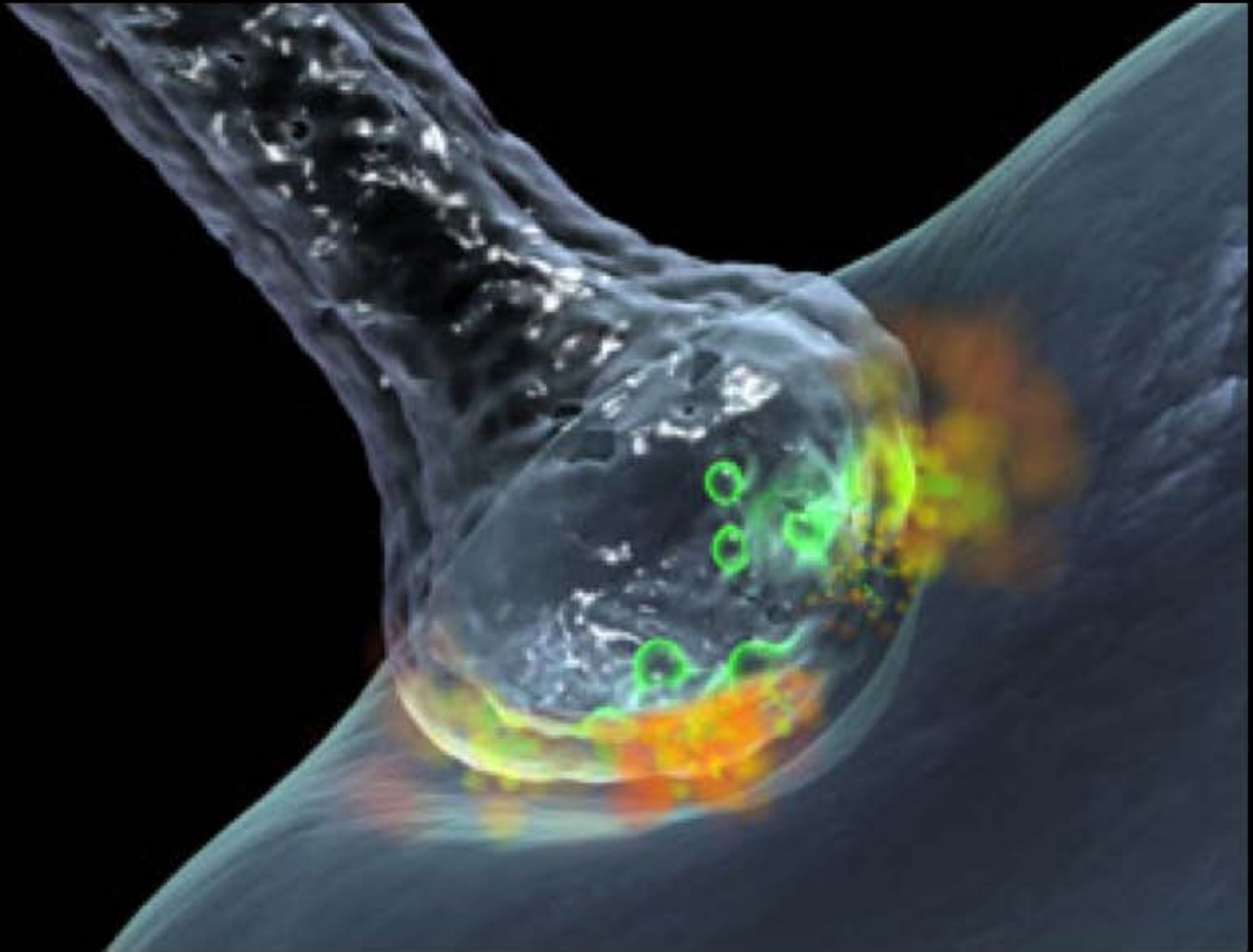
**Vésicules
chargées**

Exocytose

2) L'utilisation de sondes fluorescentes (FM Dyes)

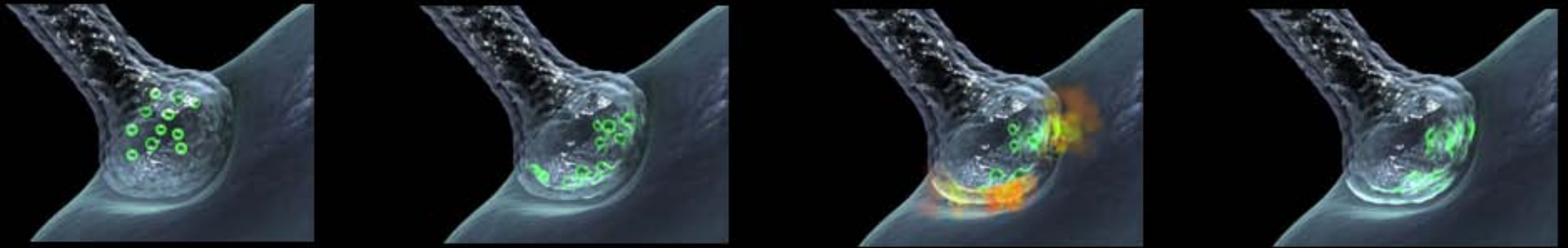


Neuronal transmission: exocytosis



Neuronal transmission: exocytosis

ENS - Master1 Neurobiologie
Lydia Danglot - Machinerie d'exocytose



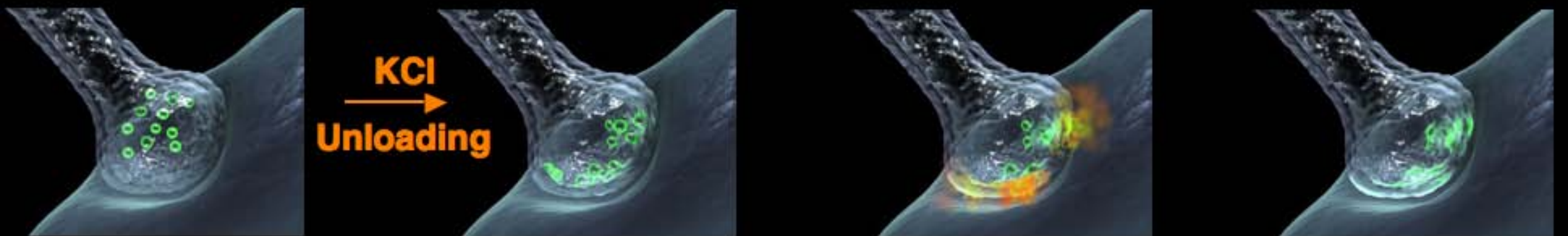
FM experiments

1. Loading of fluorescent dyes



Zero Ca^{2+} : block ExoC

2. Measurement of the unloading of FM dyes



Basic properties of the FM dyes

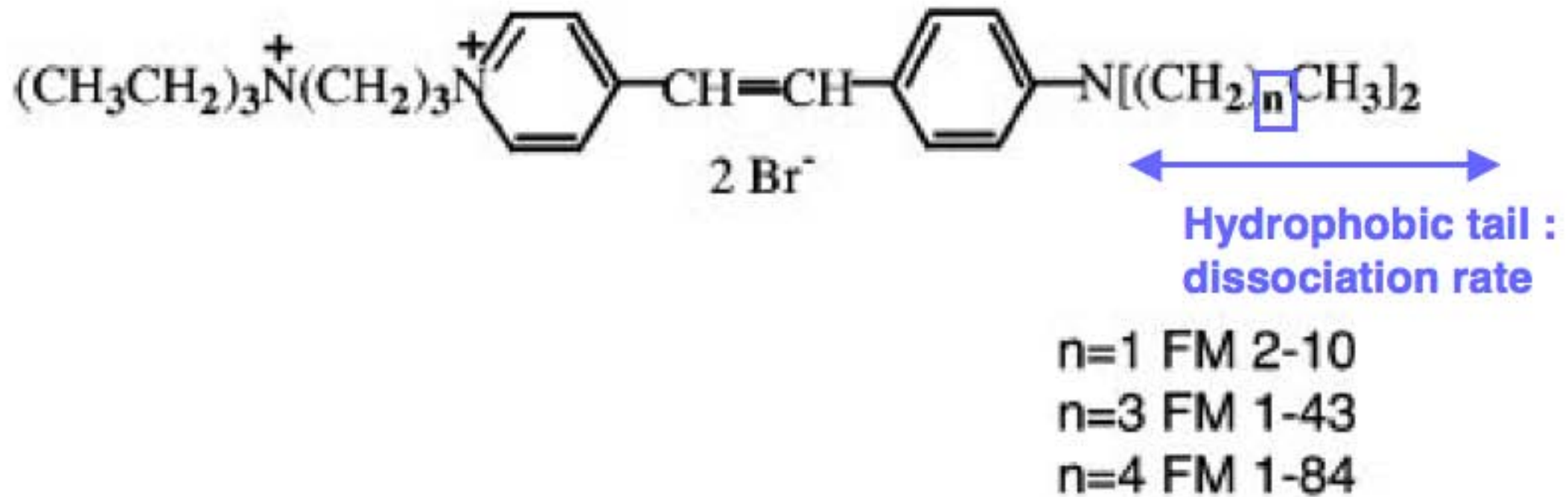
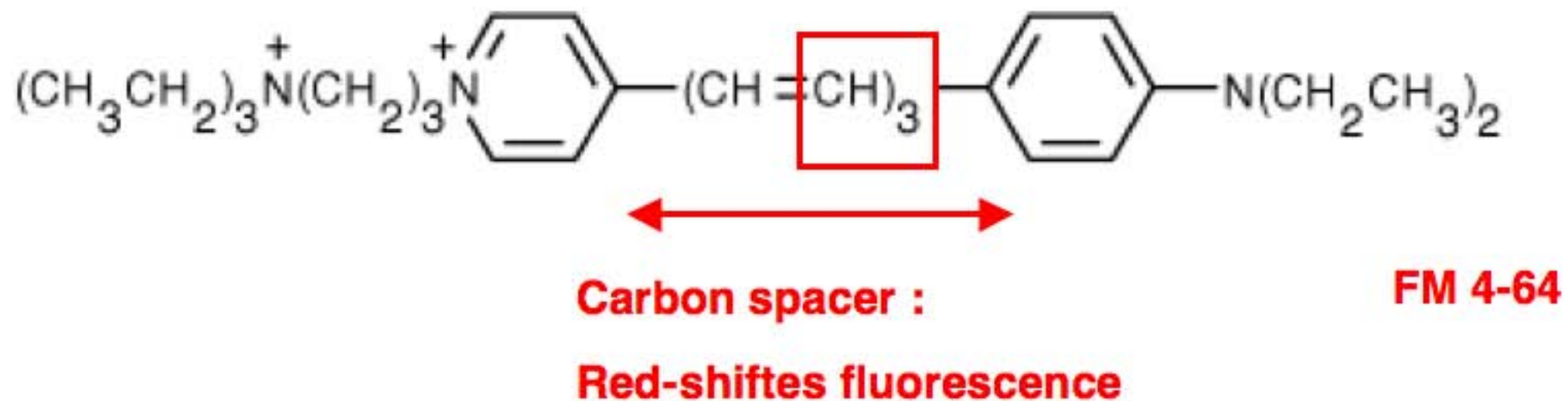


FIG. 1. Chemical structures of FM 2-10, FM 1-43, and FM 1-84.



Basic properties of the FM dyes

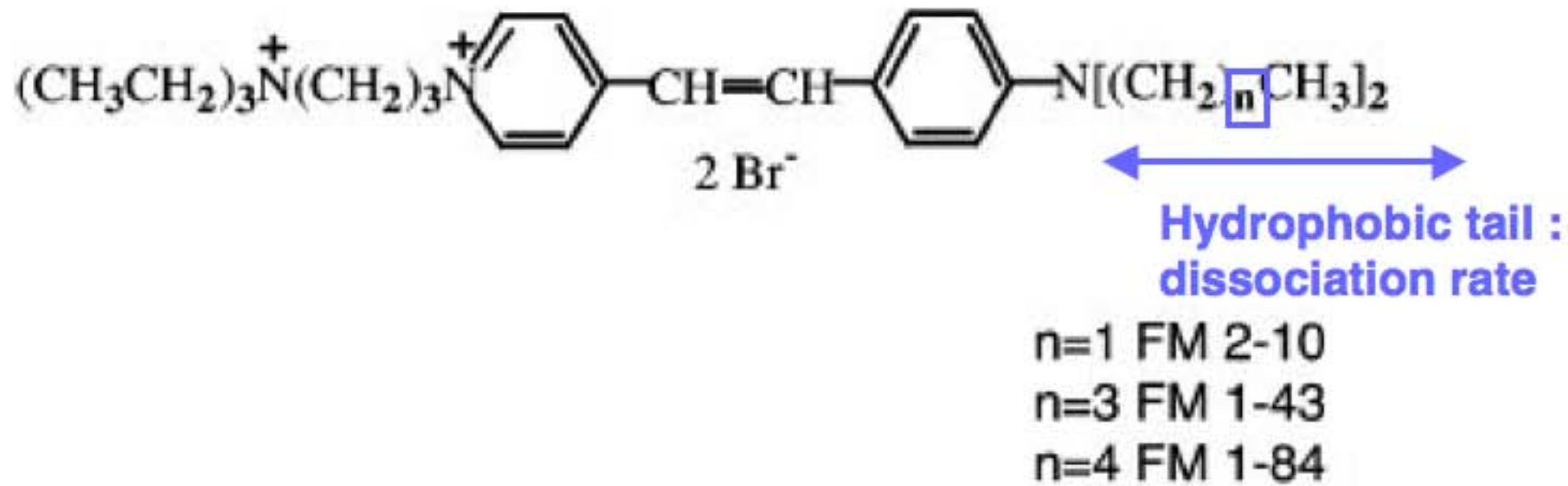
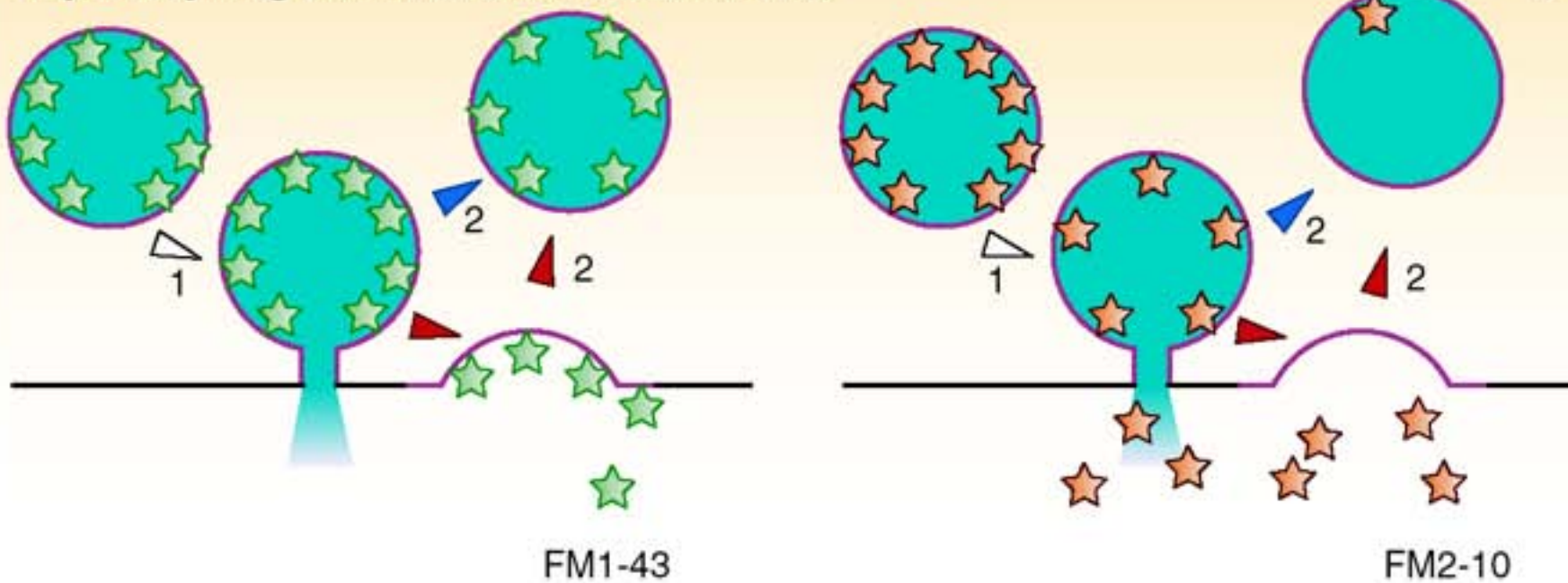


FIG. 1. Chemical structures of FM 2-10, FM 1-43, and FM 1-84.

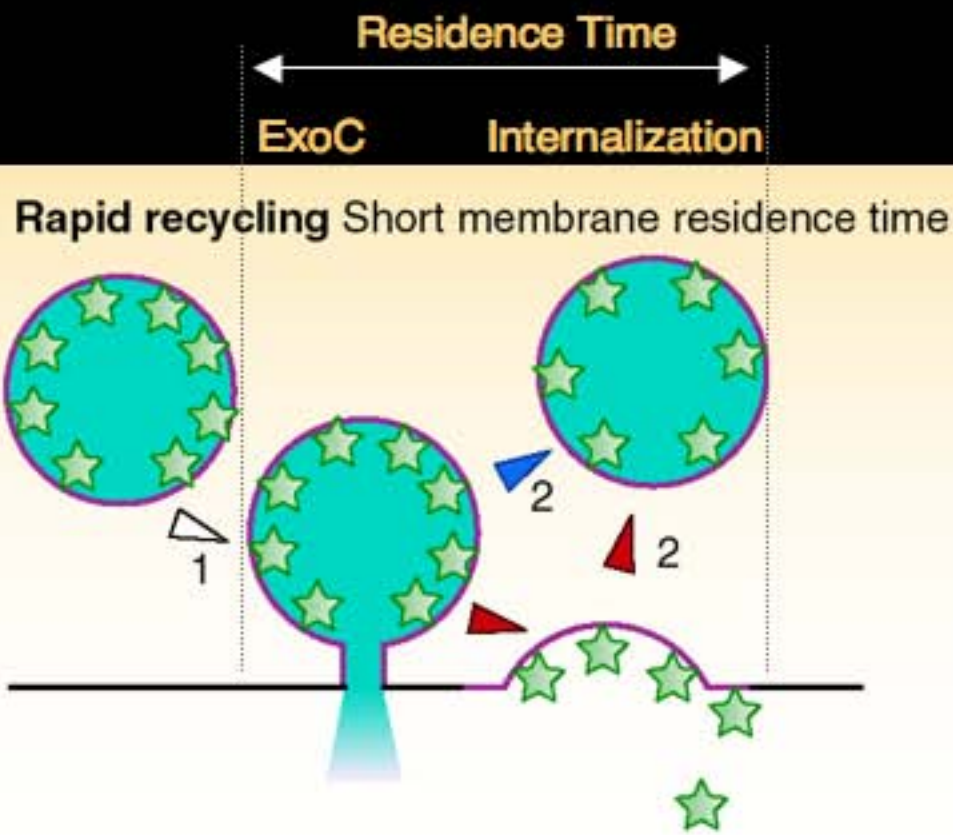
NATURE CELL BIOLOGY | VOL 4 | NOVEMBER 2002 |

Rapid recycling Short membrane residence time



**FM2-10 is faster
than FM1-43**

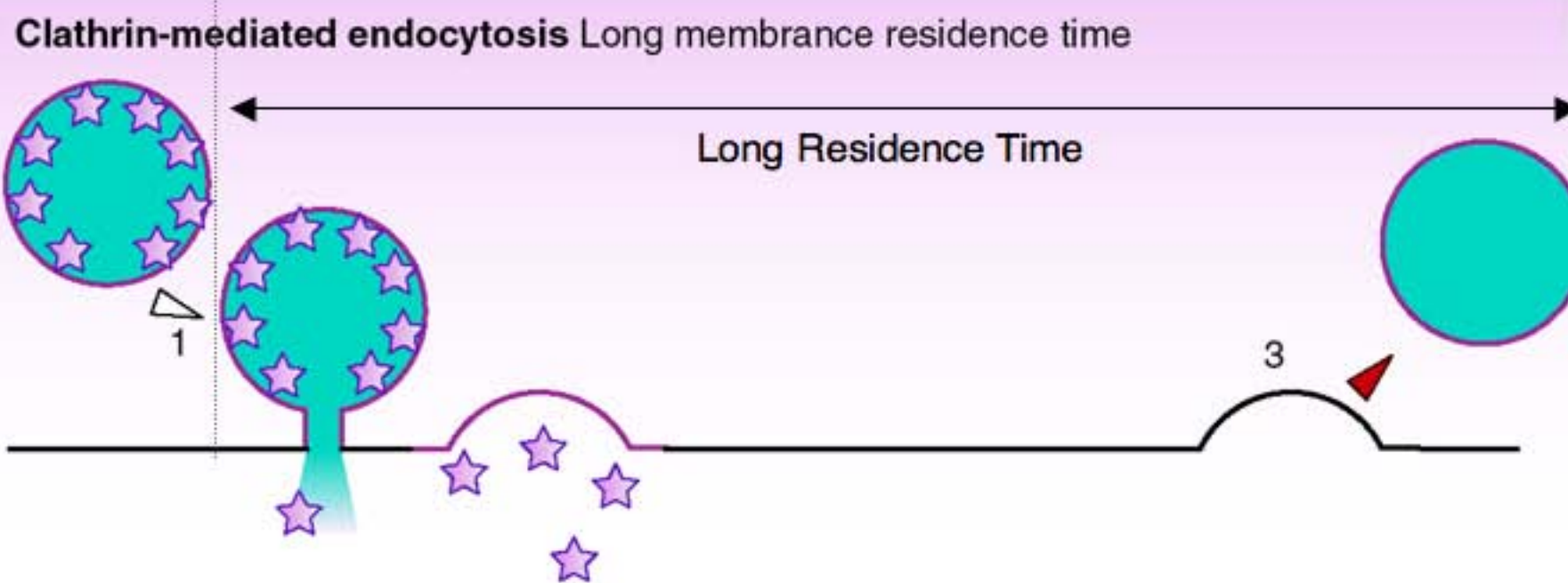
- Dye with slow 'off time'
- Dye with fast 'off time'
- Vesicle membrane
- Pre-synaptic membrane
- Neurotransmitter



How to discriminate between Kiss & run and Endocytosis

Kiss and run :

Short Residence time (Res.T)

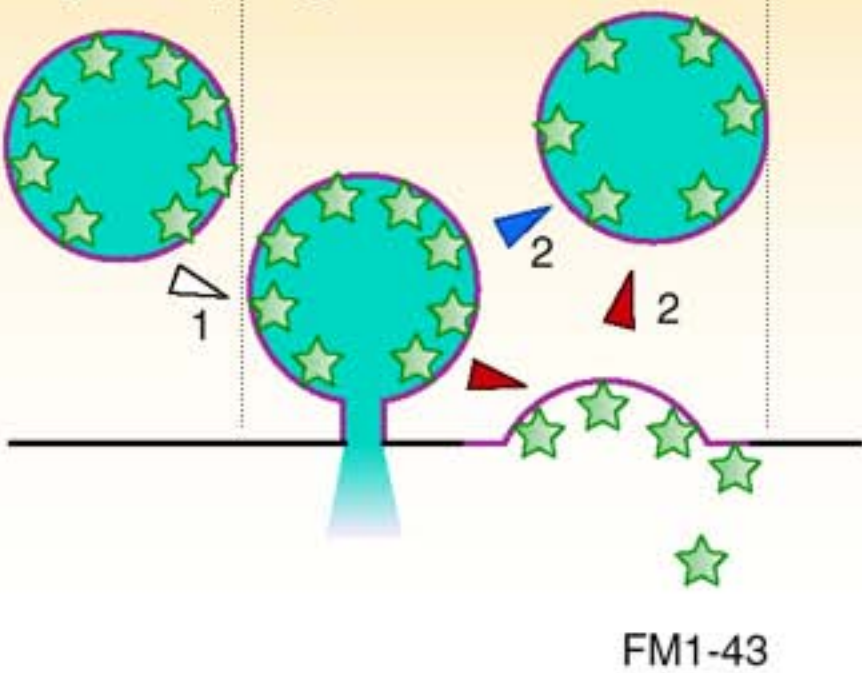


Clathrin mediated endocytosis:
Long Residence time

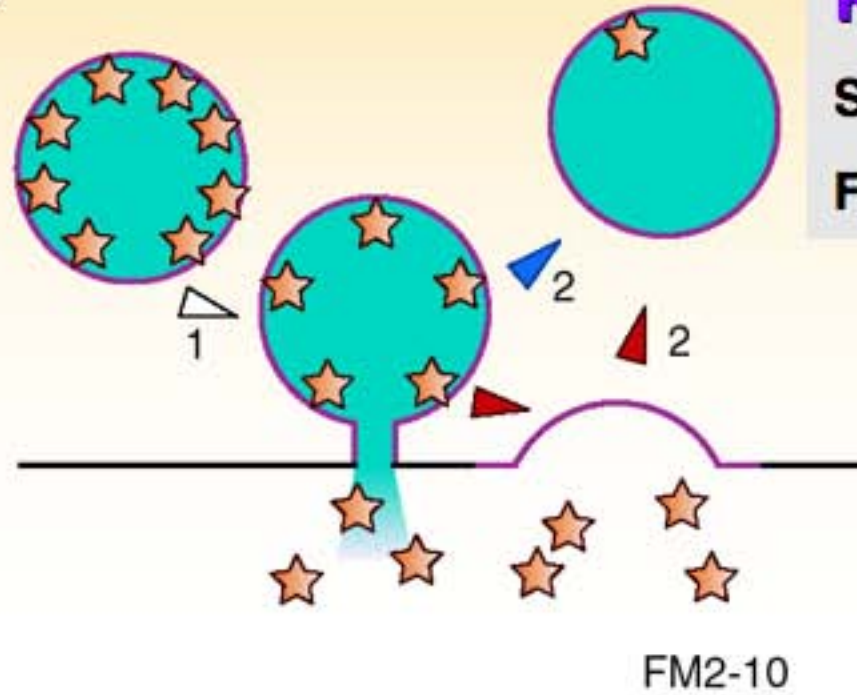
- ★ Dye with slow 'off time'
- ★ Dye with fast 'off time'
- Vesicle membrane
- Pre-synaptic membrane
- Neurotransmitter

Residence Time
ExoC Internalization

Rapid recycling Short membrane residence time



FM1-43



FM2-10

Kiss and run :

Short Residence time (Res.T)

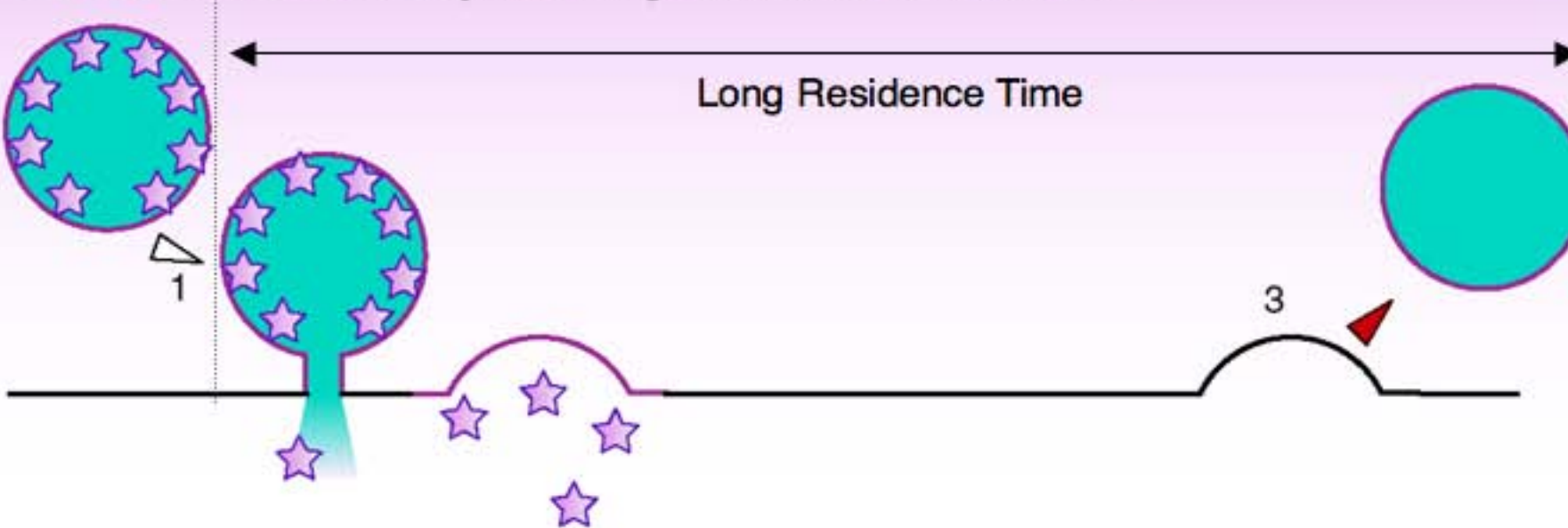
FM2-10 < Res. T < FM 1-43

FM2-10 is faster than FM1-43 :

« Off time »

FM2-10 < FM 1-43

Clathrin-mediated endocytosis Long membrane residence time



Clathrin mediated endocytosis:

Long Residence time

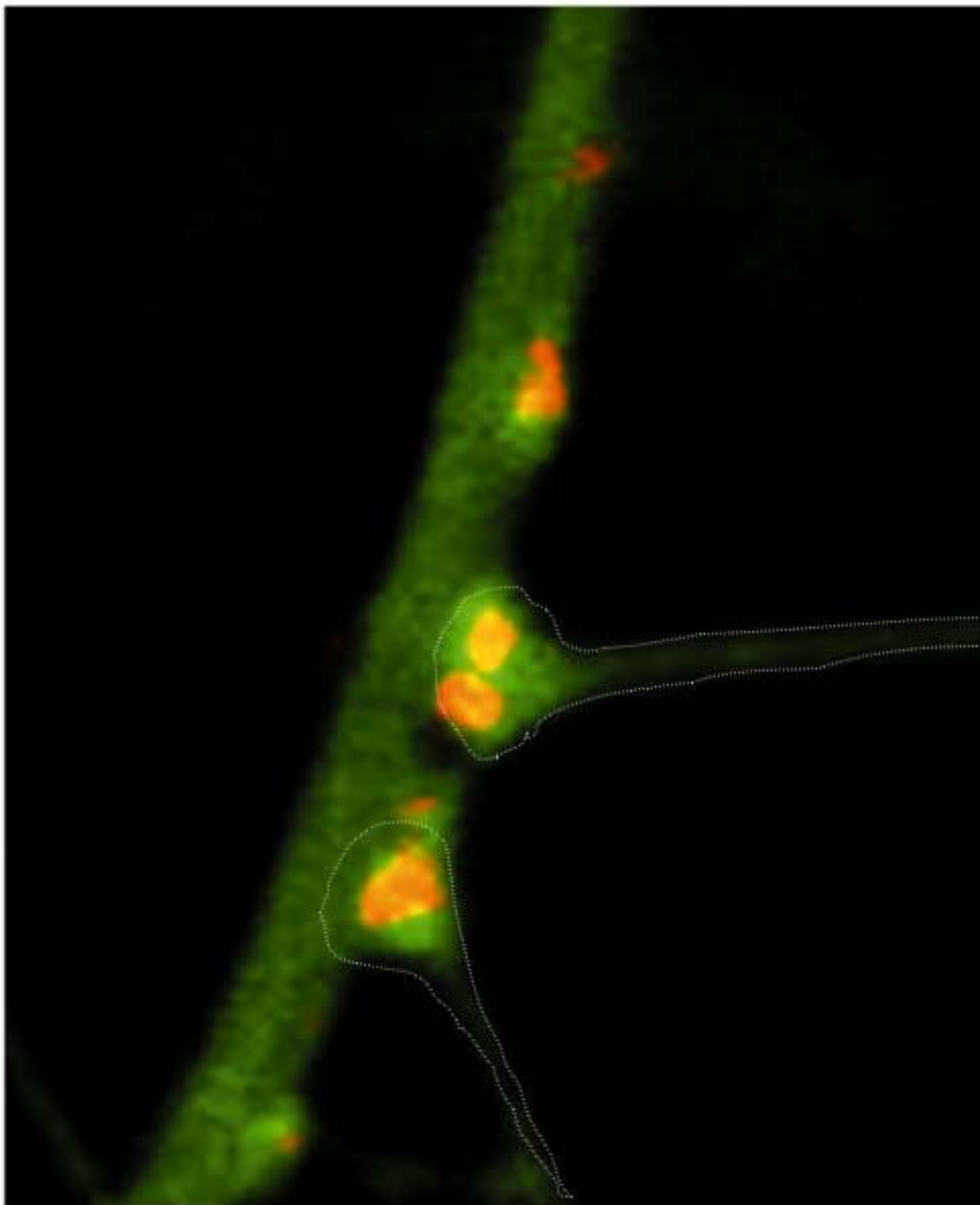
Residence time >> FM off time

Res. T >> FM 1-43 > FM2-10

There is no difference between FM2-10 and FM1-43

Both can dissociate before internalization

- ☆ Dye with slow 'off time'
- ☆ Dye with fast 'off time'
- Vesicle membrane
- Pre-synaptic membrane
- Neurotransmitter



Current Opinion in Neurobiology

FM 4-64 labeling of synaptic vesicle clusters in hippocampal neurons. FM 4-64, which is a red-shifted variant of FM 1-43, was applied during AP firing to hippocampal neurons in cell culture. Two GFP-expressing cells that form an axo-dendritic contact containing two clusters of recycling vesicles labeled by FM 4-64 are shown.

Evidence for a Role of Dendritic Filopodia in Synaptogenesis and Spine Formation

Noam E. Ziv and Stephen J Smith

Neuron, Vol. 17, 91–102, July, 1996.

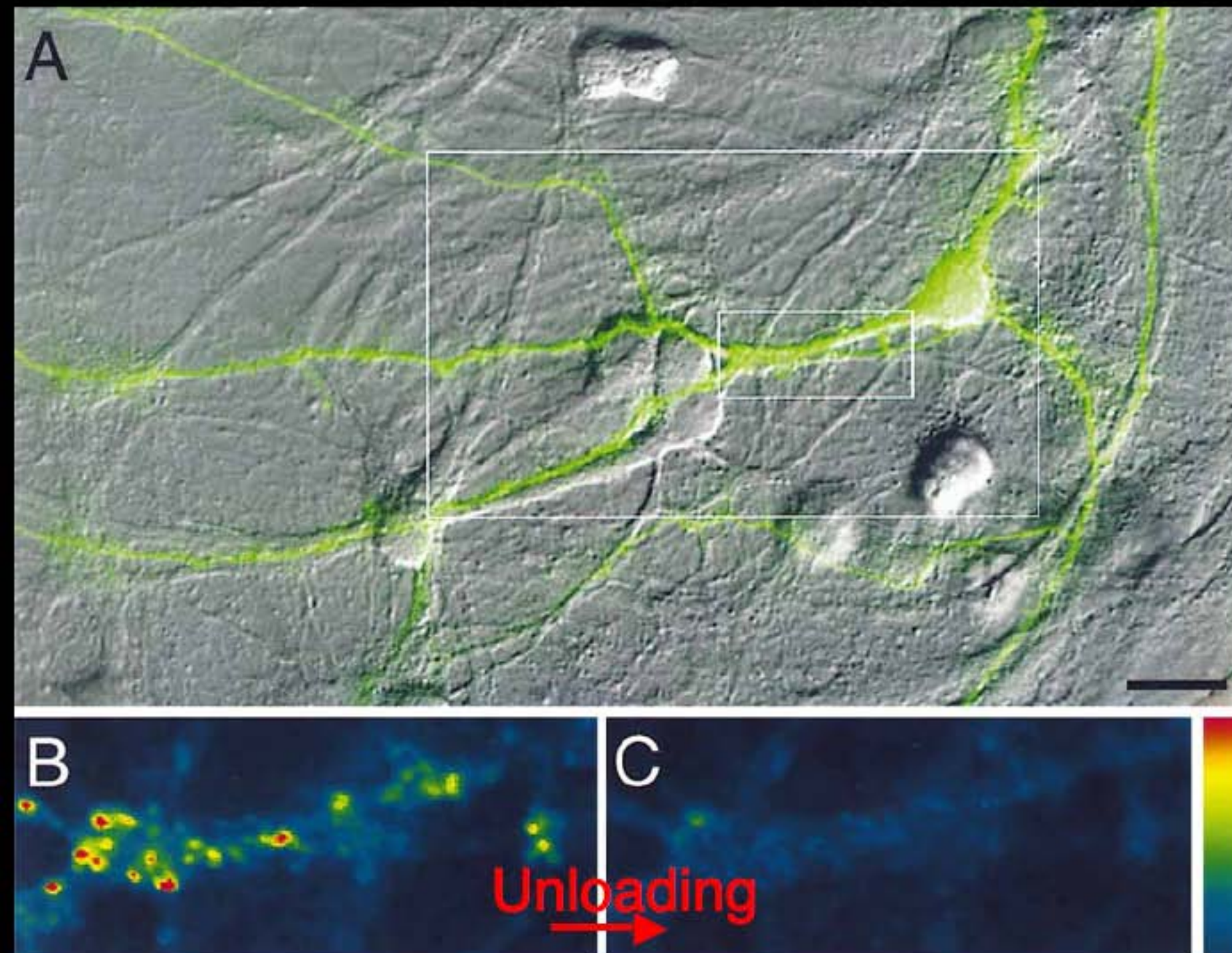


Figure 1. Imaging of Dendritic Structure and Presynaptic Boutons in Live Cultured Hippocampal Neurons

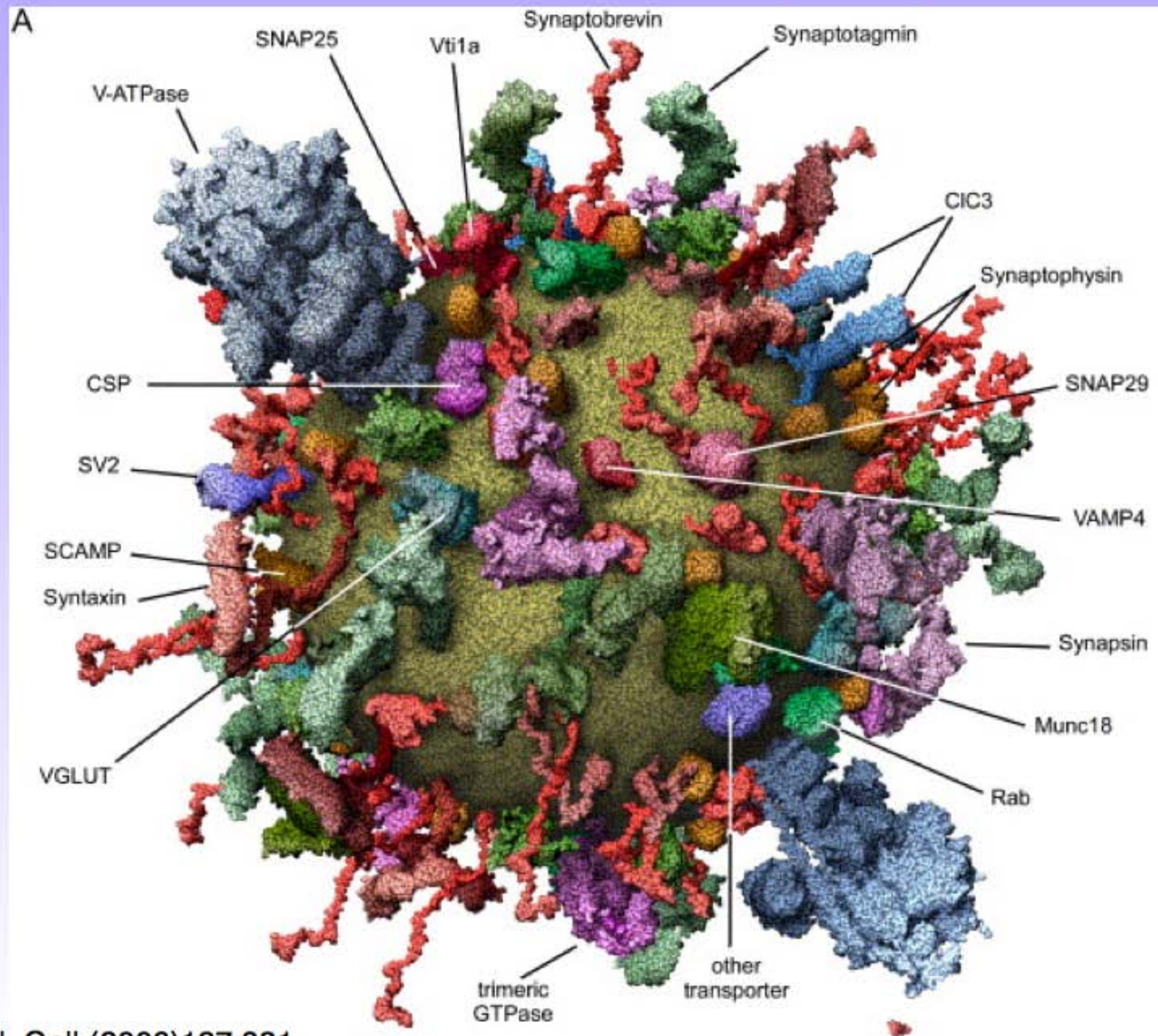
(A) A fluorescence image of a single pyramidal neuron labeled with FAST DiO, digitally overlaid on a DIC image of the same field. The neurons shown in this figure were grown for 13 DIV prior to the experiment.

(B) A pseudocolor fluorescence image of presynaptic boutons loaded with FM 4-64. The area shown corresponds to the inner rectangle in (A). Fluorescence intensity is coded according to color bar on far right.

(C) The same field shown in (B) after the dye was unloaded by stimulating the neurons to fire action potentials for 60 s at 10 Hz.

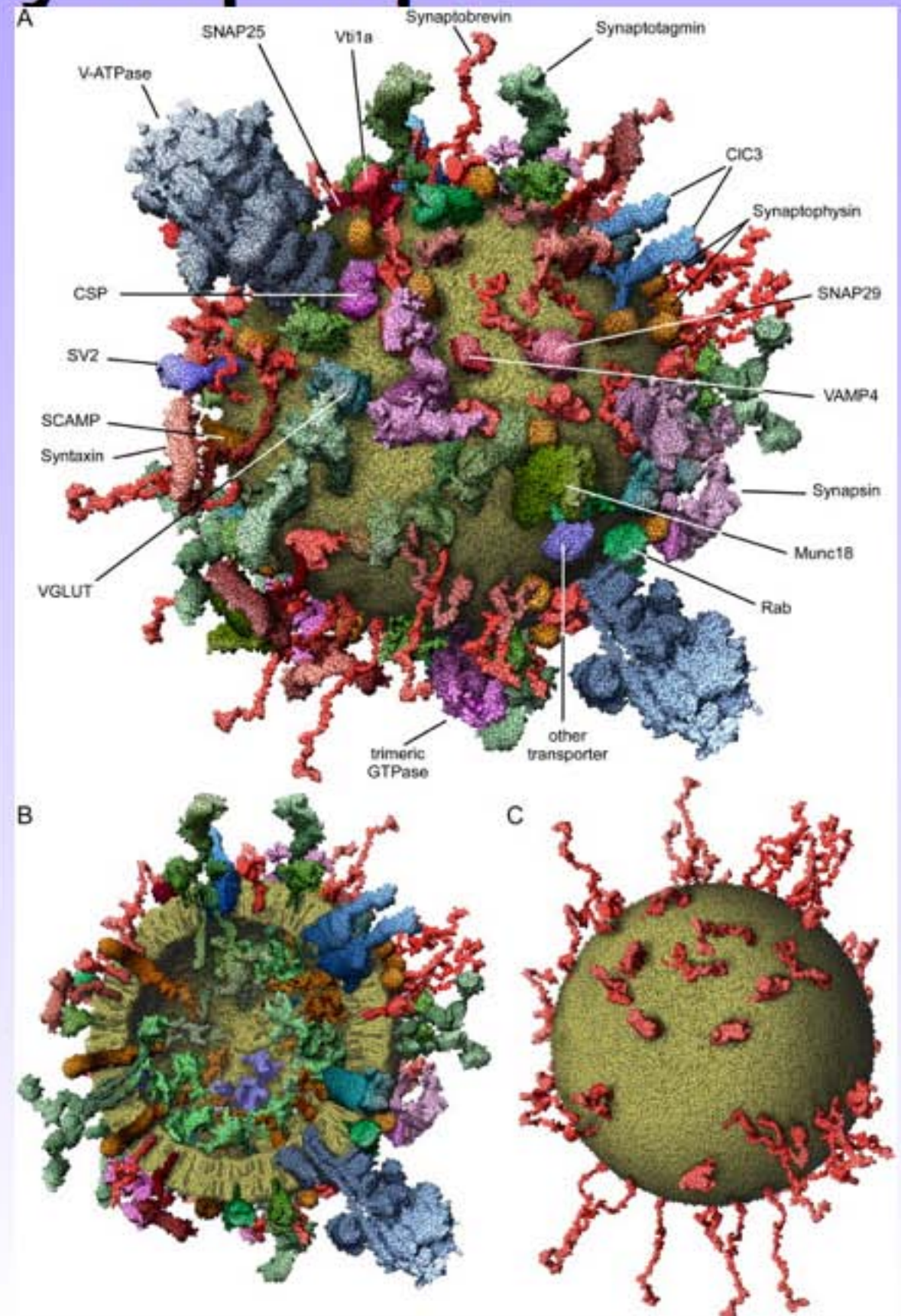
(D) Digital superposition of the FM 4-64 difference image (red), created by subtracting the image in (C) from that in (B), onto the fluorescence image of the FAST DiO-labeled neuron (green). Area shown corresponds to outer rectangle in (A). Scale bars, 20 μm (A) and 10 μm (D).

Vésicules Synaptiques

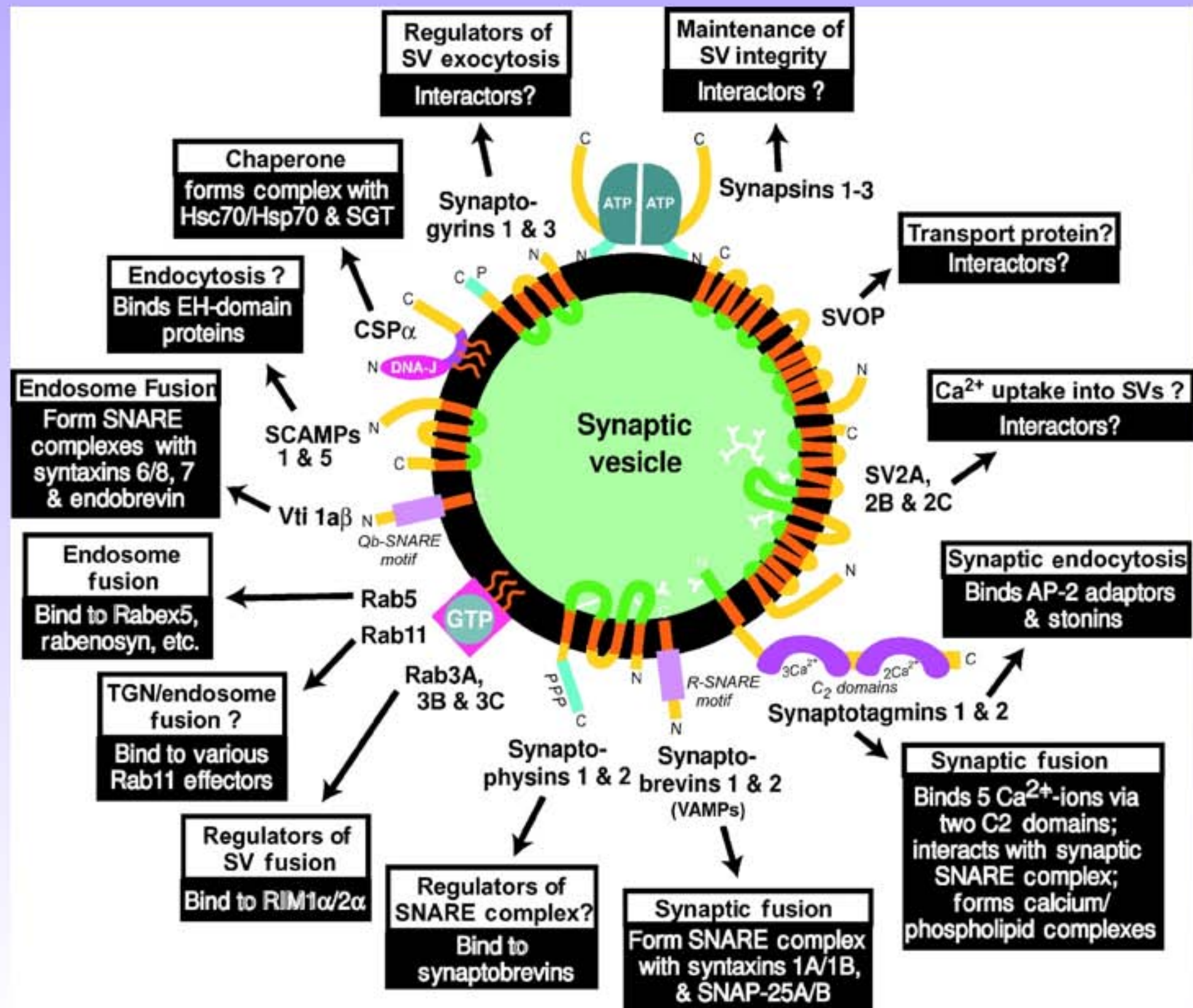


Vésicules Synaptiques

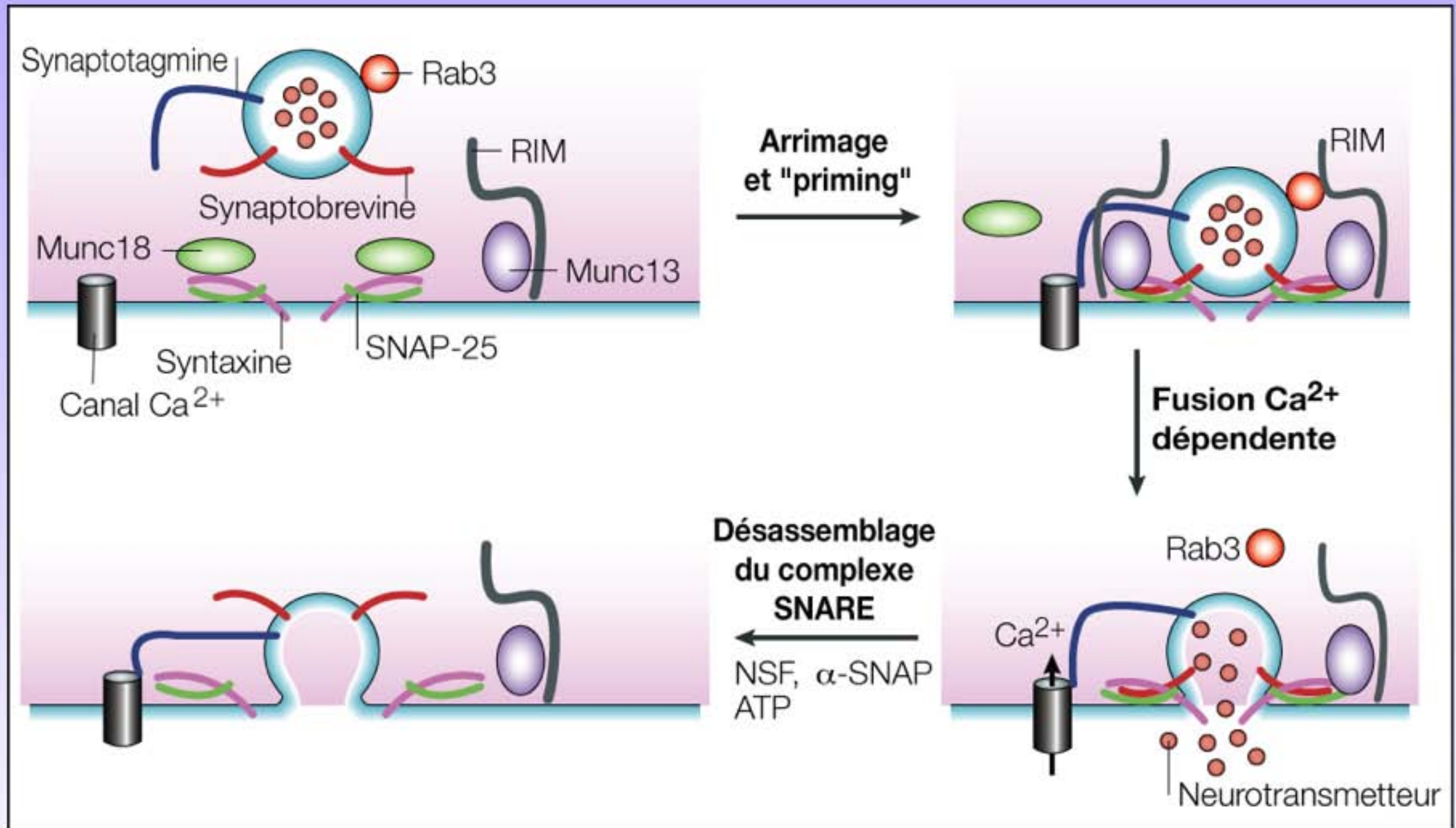
Protein	% of total SV proteins
Synaptophysin	10.20 ± 1.54 ^(1,4)
Synaptobrevin 2	8.60 ± 1.55 ⁽¹⁾
Syntaxin 1	2.00 ± 0.27 ^(1,5)
SNAP25	0.40 ± 0.06 ^(1,6)
Synapsins	6 ^(2,3)
Rab3A	2.5 ⁽²⁾
Synaptotagmin 1	7 ⁽³⁾
Synaptogyrin 1	0.5 ⁽²⁾
SV2	1.4 ⁽²⁾
SCAMP	0.3 ⁽²⁾
CSP	0.6 ⁽²⁾
VGLUT1	5.36 ± 1.11 ^(1,7)
VGLUT2	9.01 ± 2.31 ^(1,7)
V-ATPase V1-B subunit	1.15 ± 0.21 ⁽¹⁾



Fonction des protéines des VS

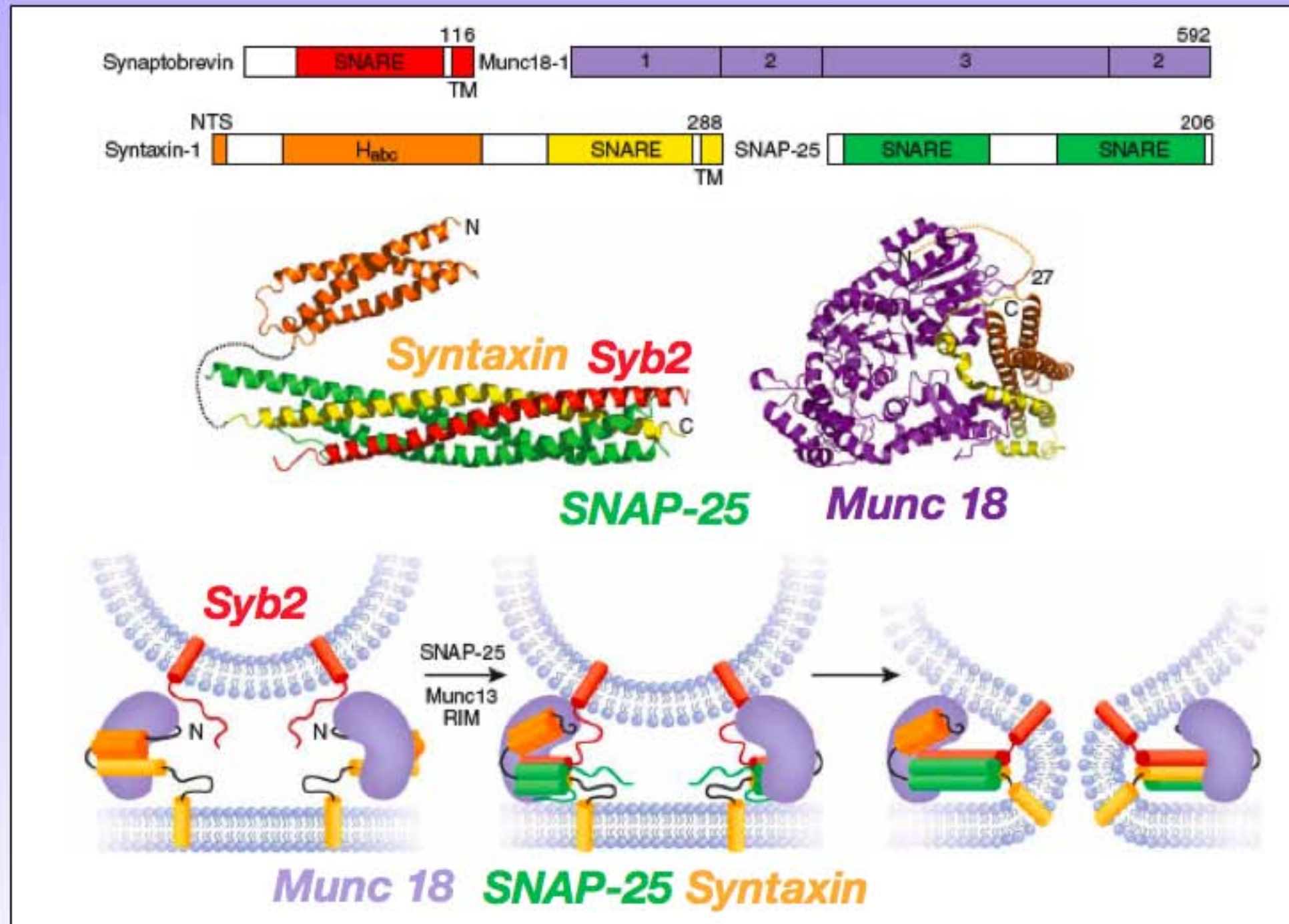


Régulation de l'exocytose par différentes protéines



Regulation par Munc18

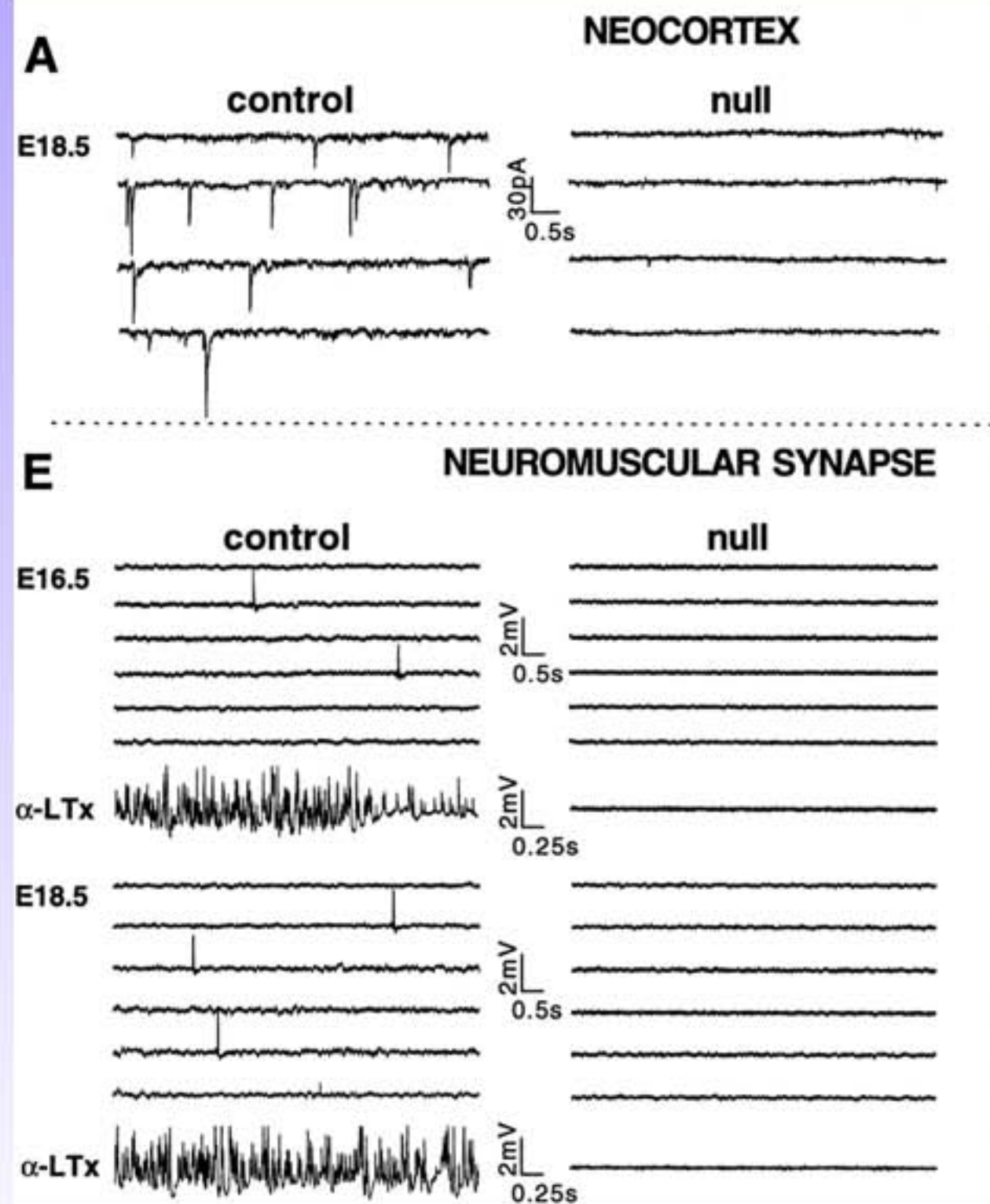
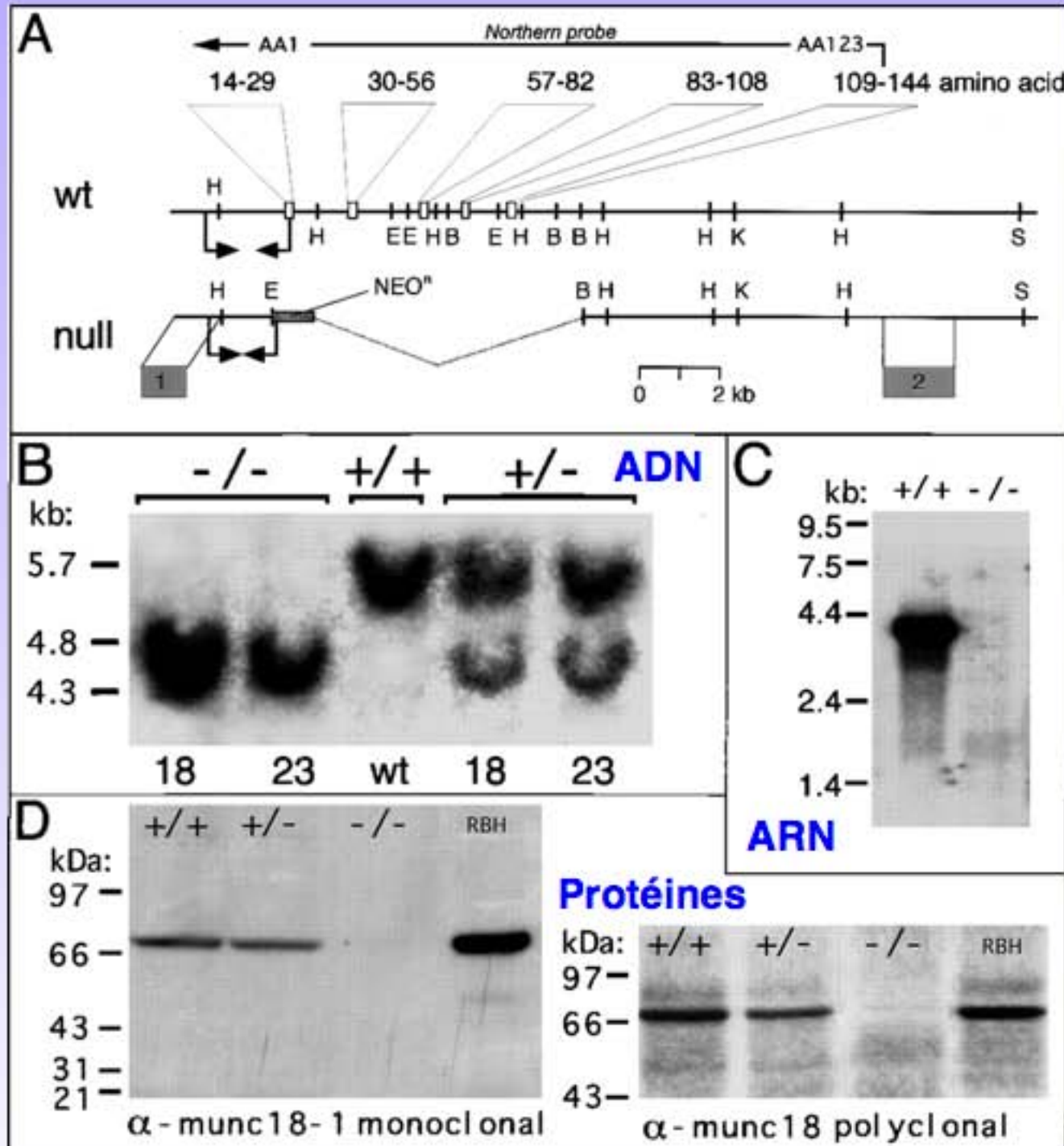
SM proteins = Sec1 /Munc 18: découverte sur un sreen génétique (levure, c.elegans) pour des défauts dans le trafic mbR et la sécrétion. Ont un rôle essentiel dans la fusion.



VOLUME 15 NUMBER 7 JULY 2008 NATURE STRUCTURAL & MOLECULAR BIOLOGY

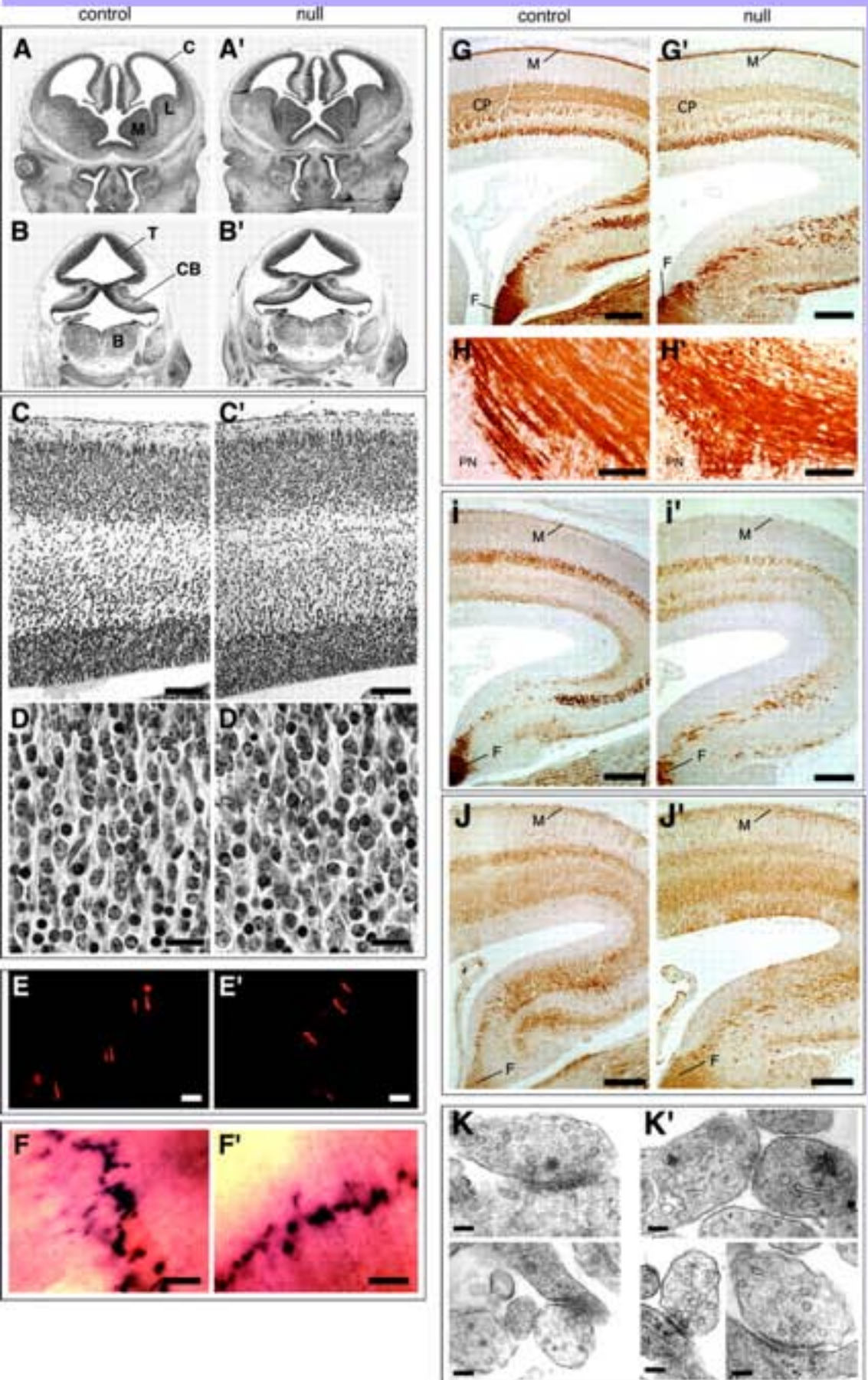
Munc 18 lie la syntaxine 1 ainsi que le complexe SNARE et promeut son assemblage en introduisant une vérification des couples de SNAREs (Peng & Gallwitz 2002).

Munc18 KO



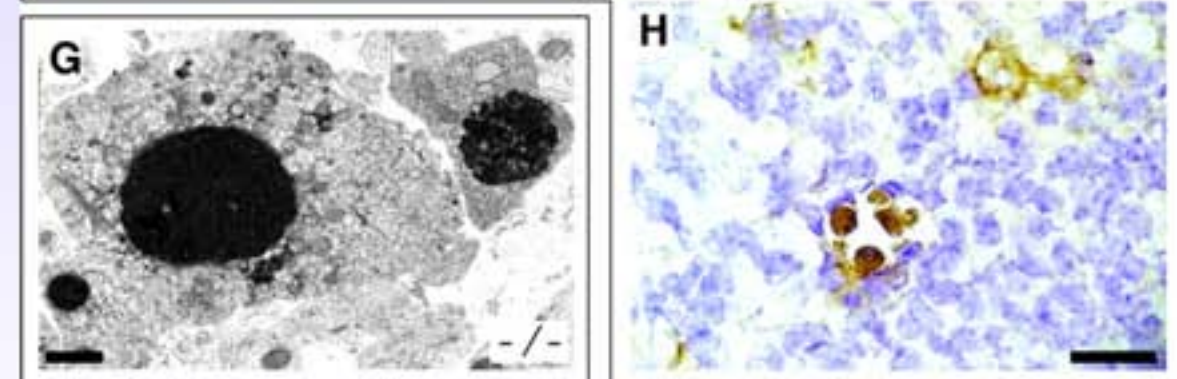
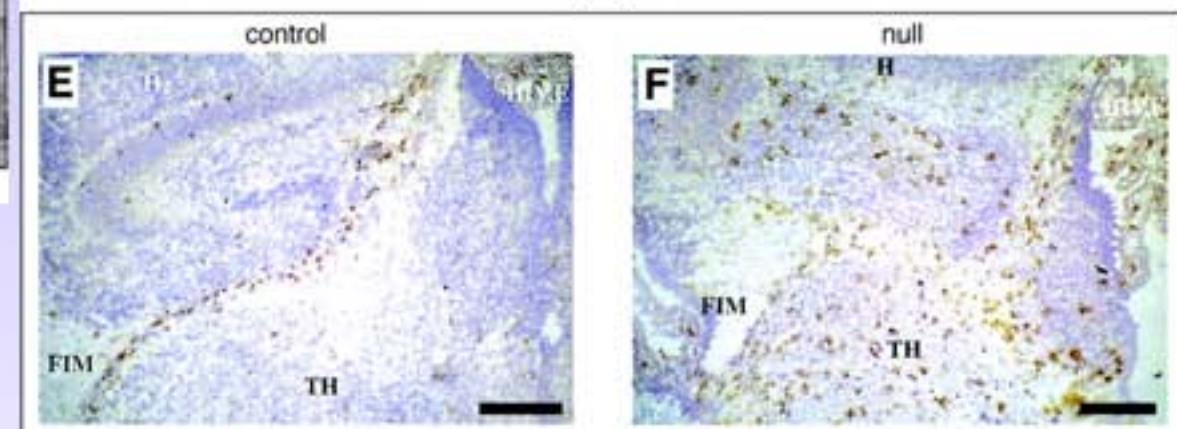
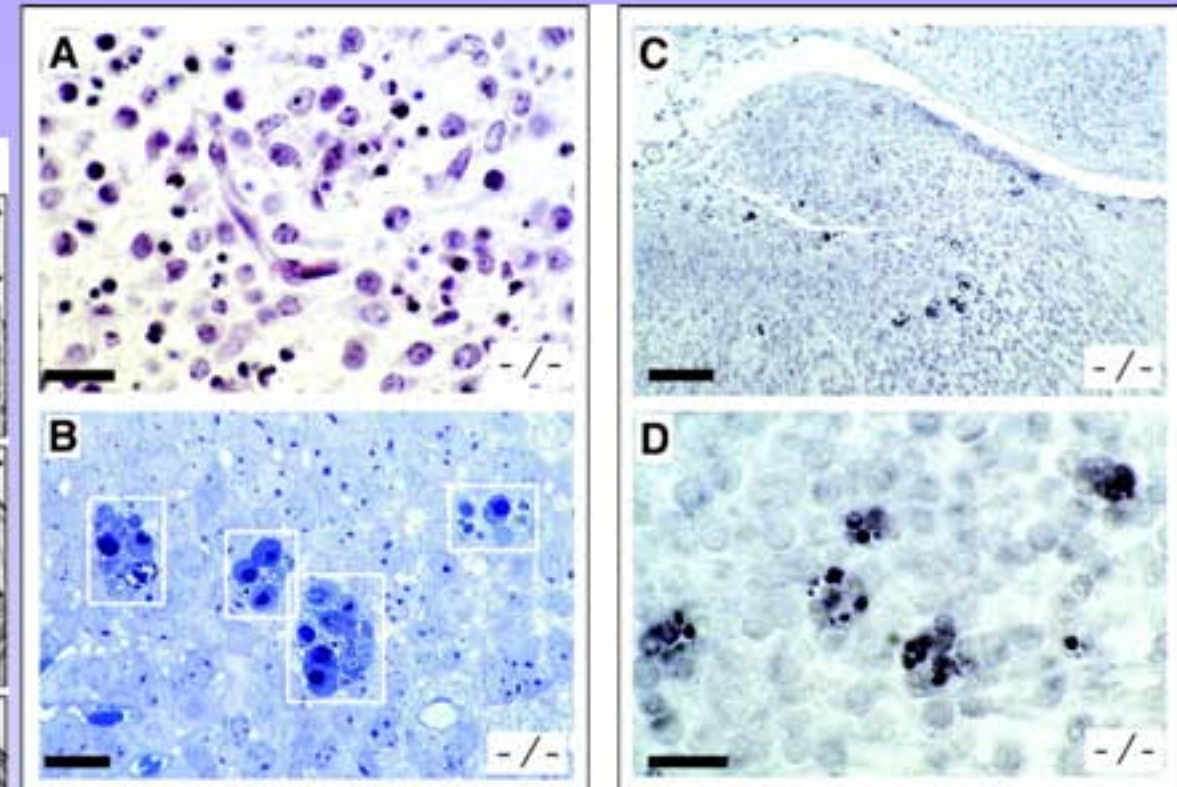
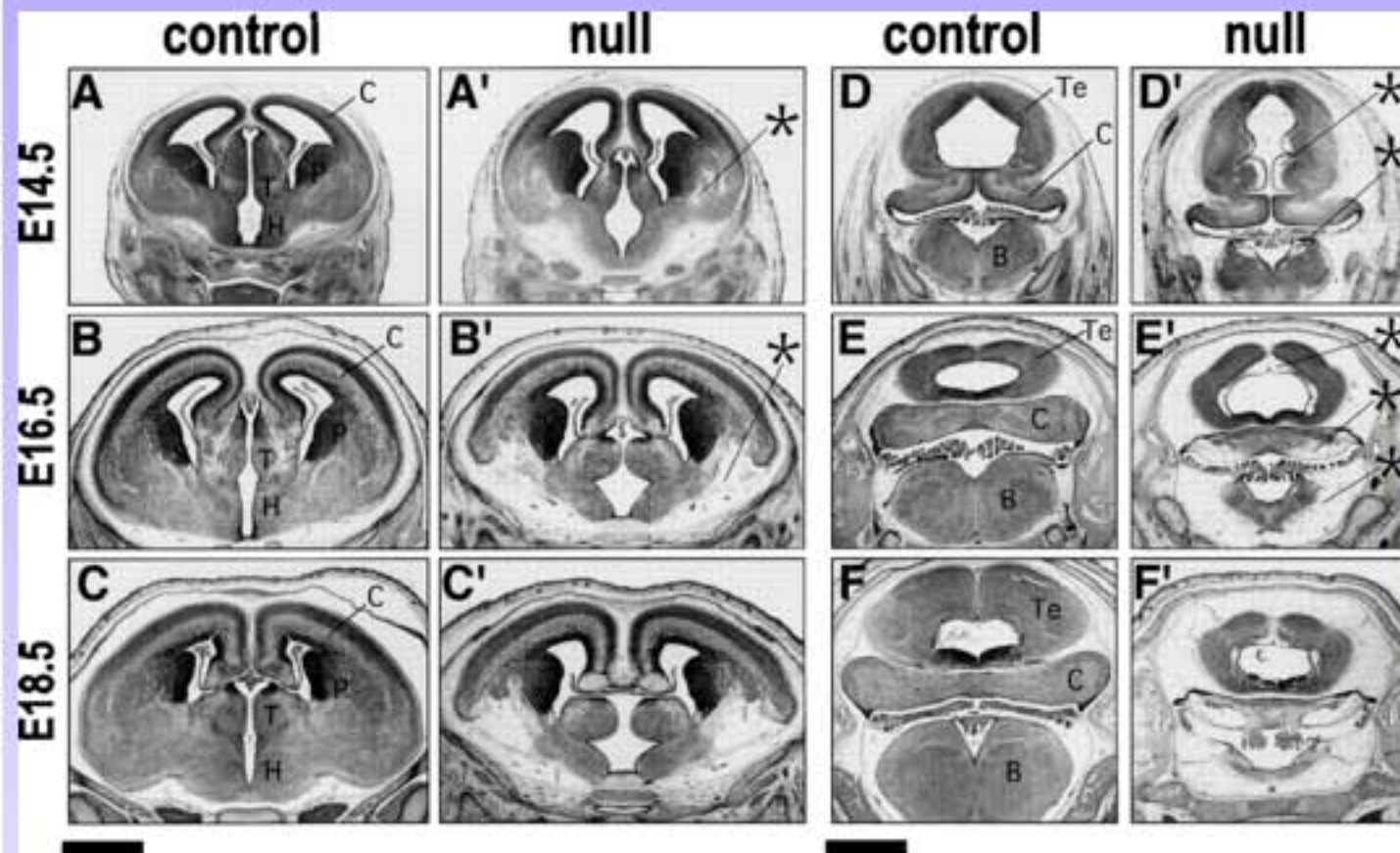
Les synapses sont totalement silencieuses:
pas de libération de neurotransmetteur.

Munc18 KO



Le développement cérébral est normal même en absence de sécrétion de neurotransmetteur. On constate qu'on a bien: la formation de structures en couches, les tractus de fibres sont présents, les synapses sont morphologiquement définies.

Munc18 KO

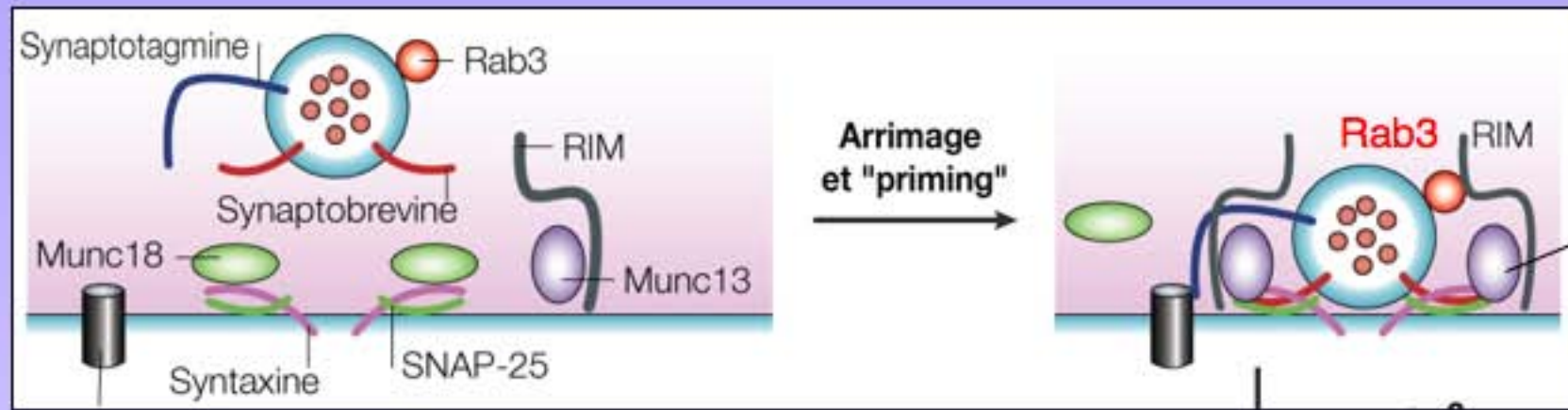


Apoptose massive après la synptogenese.

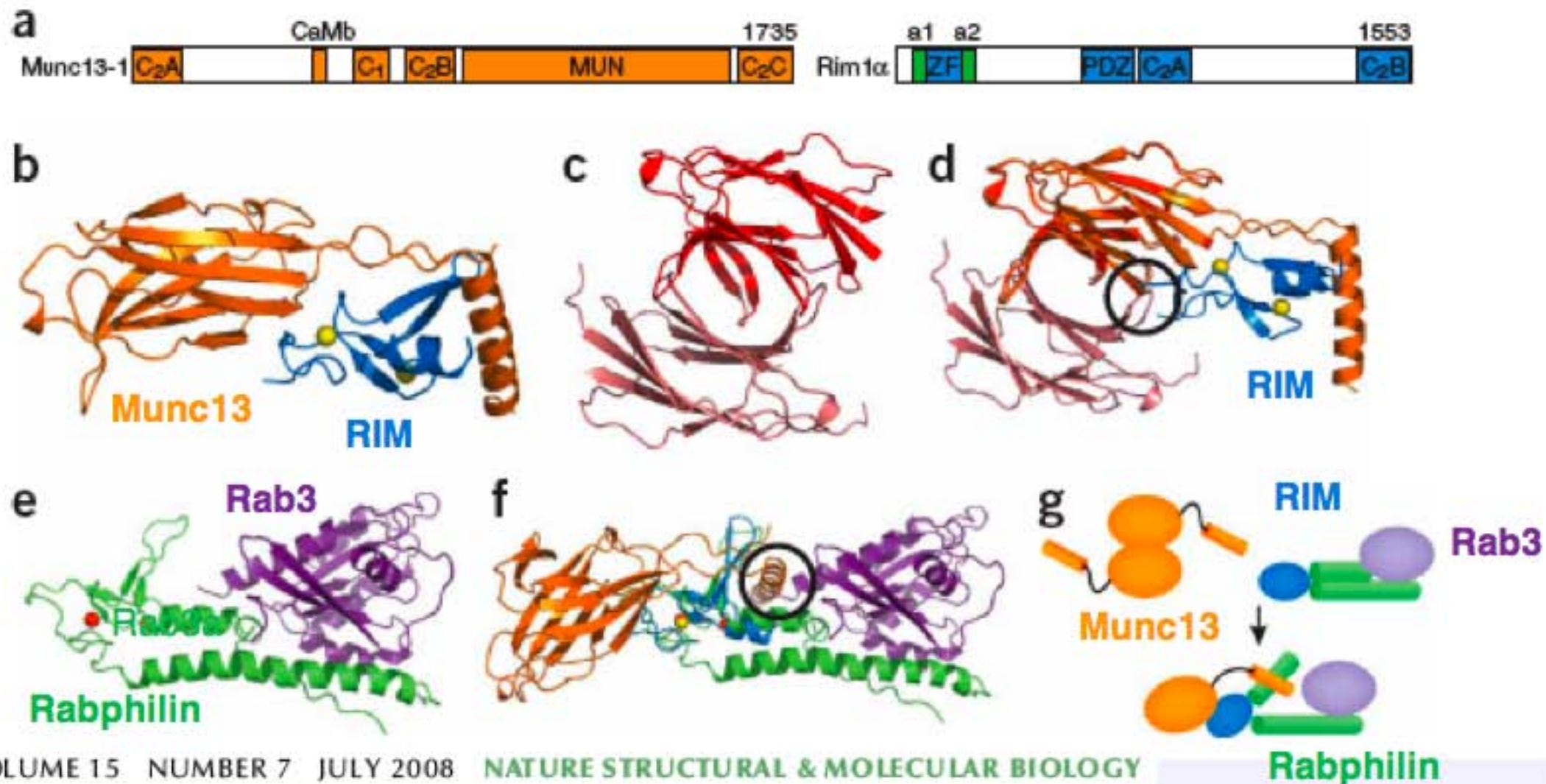
Par contre, après formation du système, les neurones subissent une apoptose massive suivi d'une dégénérescence massive (marquée d'une *).

Conclusion: La connectivité synaptique ne dépend pas de la sécrétion de NT, mais la maintenance du système nécessite la sécrétion de neurotransmetteurs.

Régulation par Munc13



Munc13



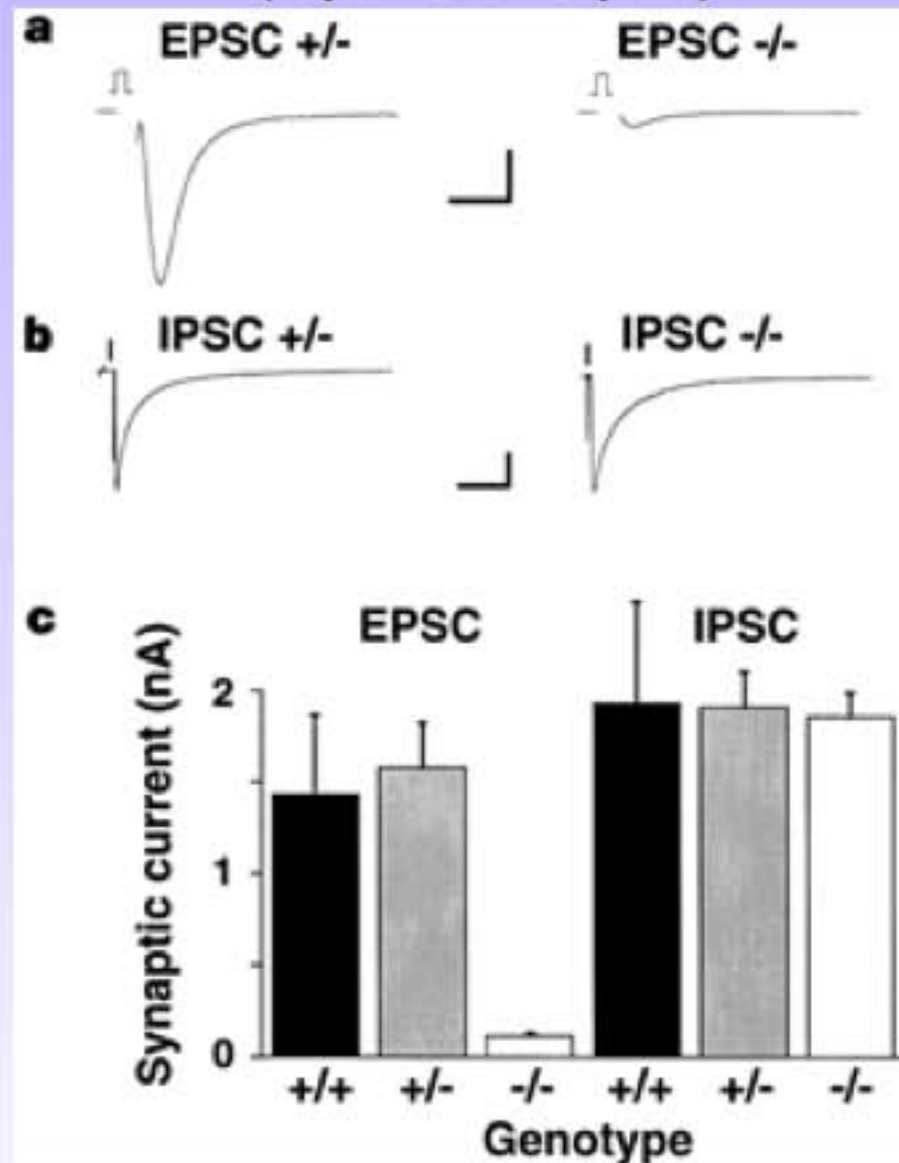
Munc 13 est essentiel pour le priming. Le double KO Munc 13 et Syntaxine est « sauvé » par la présence de syntaxine ouverte: d'où l'hypothèse que munc13 permettrait l'ouverture de la syntaxine '(Brunger 2005). Formation d'un complexe tripartite avec Munc13, Rab3a et Rim.

Munc13 KO

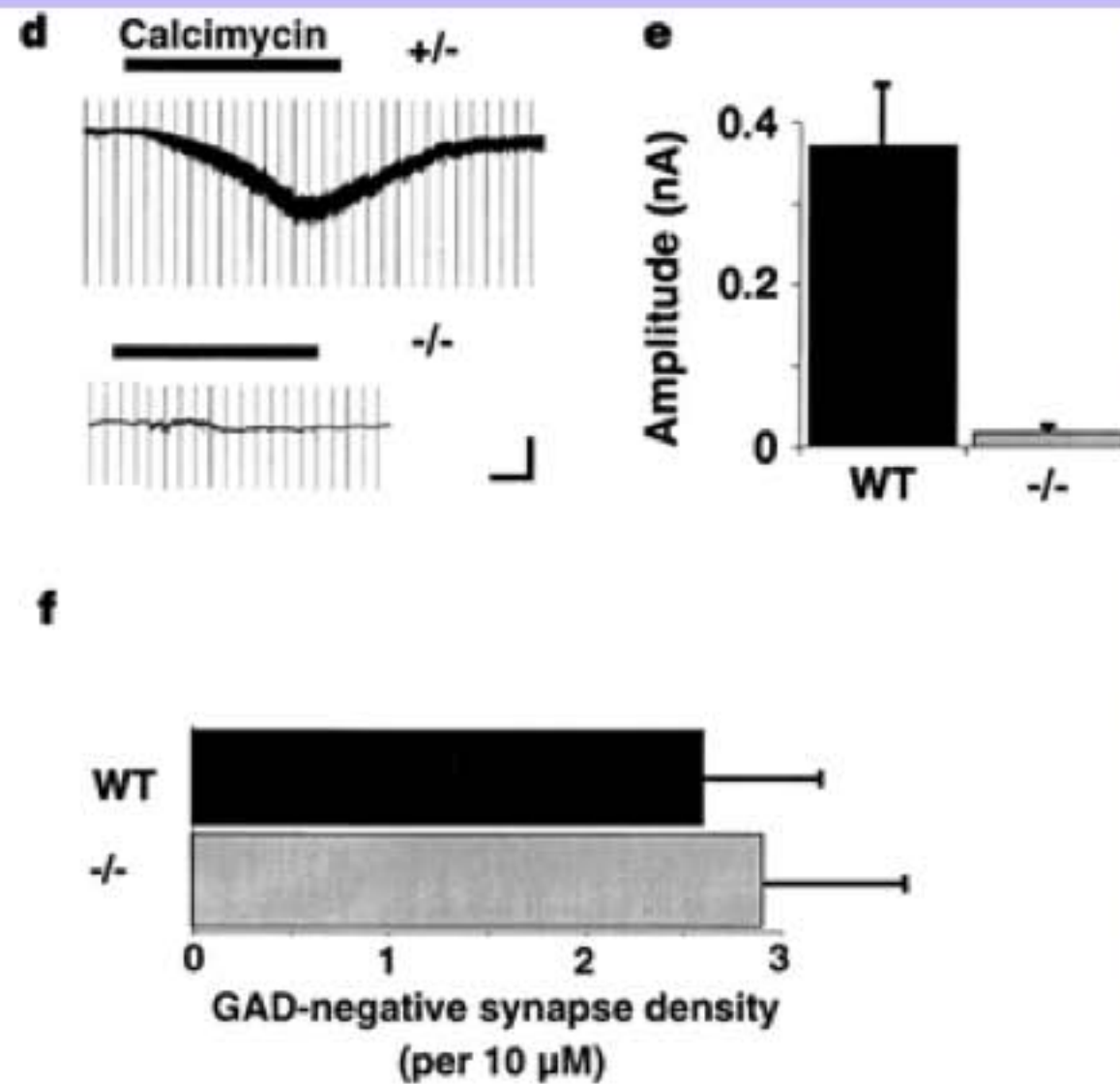
Munc13-1 is essential for fusion competence of glutamatergic synaptic vesicles.

Augustin I, Rosenmund C, Südhof TC, Brose N. Nature. 1999; 400(6743):457-61.

Stimulation par potentiel d'action
(réponse évoquée)



Stimulation par ionophore calcique

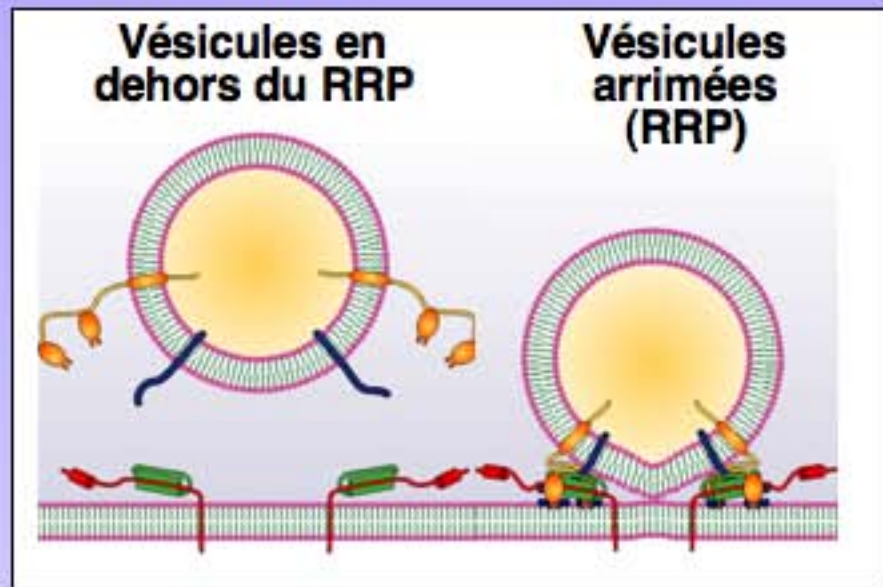


Calcimycin:
Ionophore calcique
qui déclenche la
libération des NT.

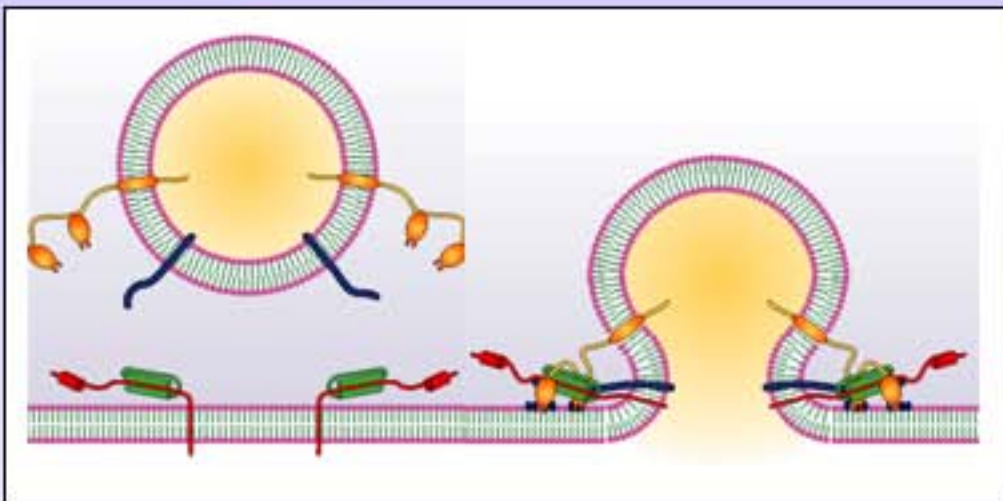
La libération des NT est bloquée dans les synapses glutamatergiques: on ne peut ni la déclencher par des potentiels d'action, ni par des ionosphères calciques. Les synapses inhibitrices ne sont pas atteintes.

Munc13 KO

Nature. 1999: 400(6743):457-61.

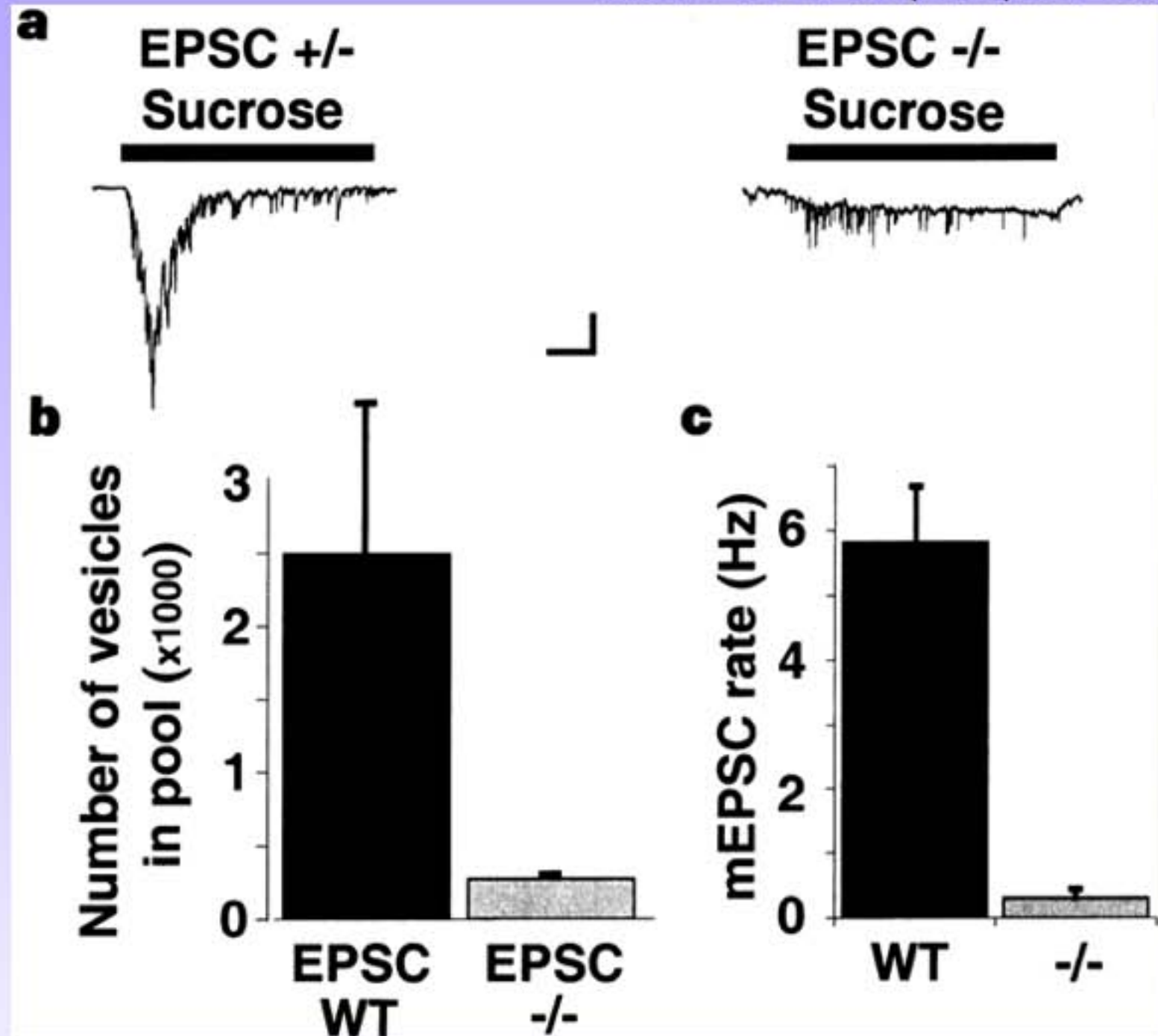


+ sucrose



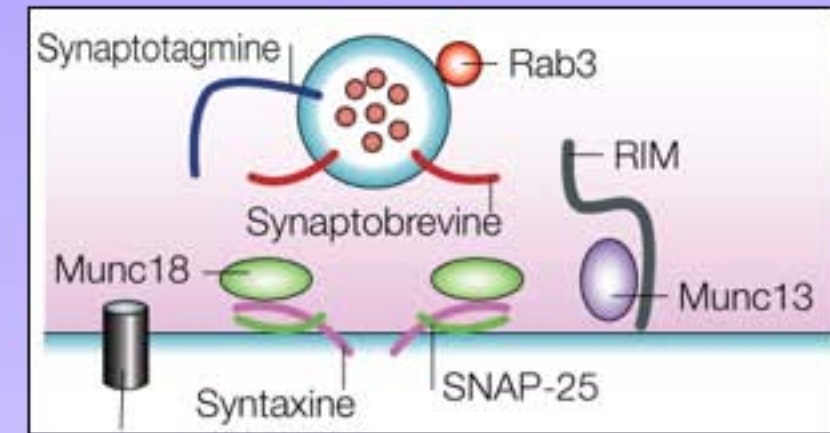
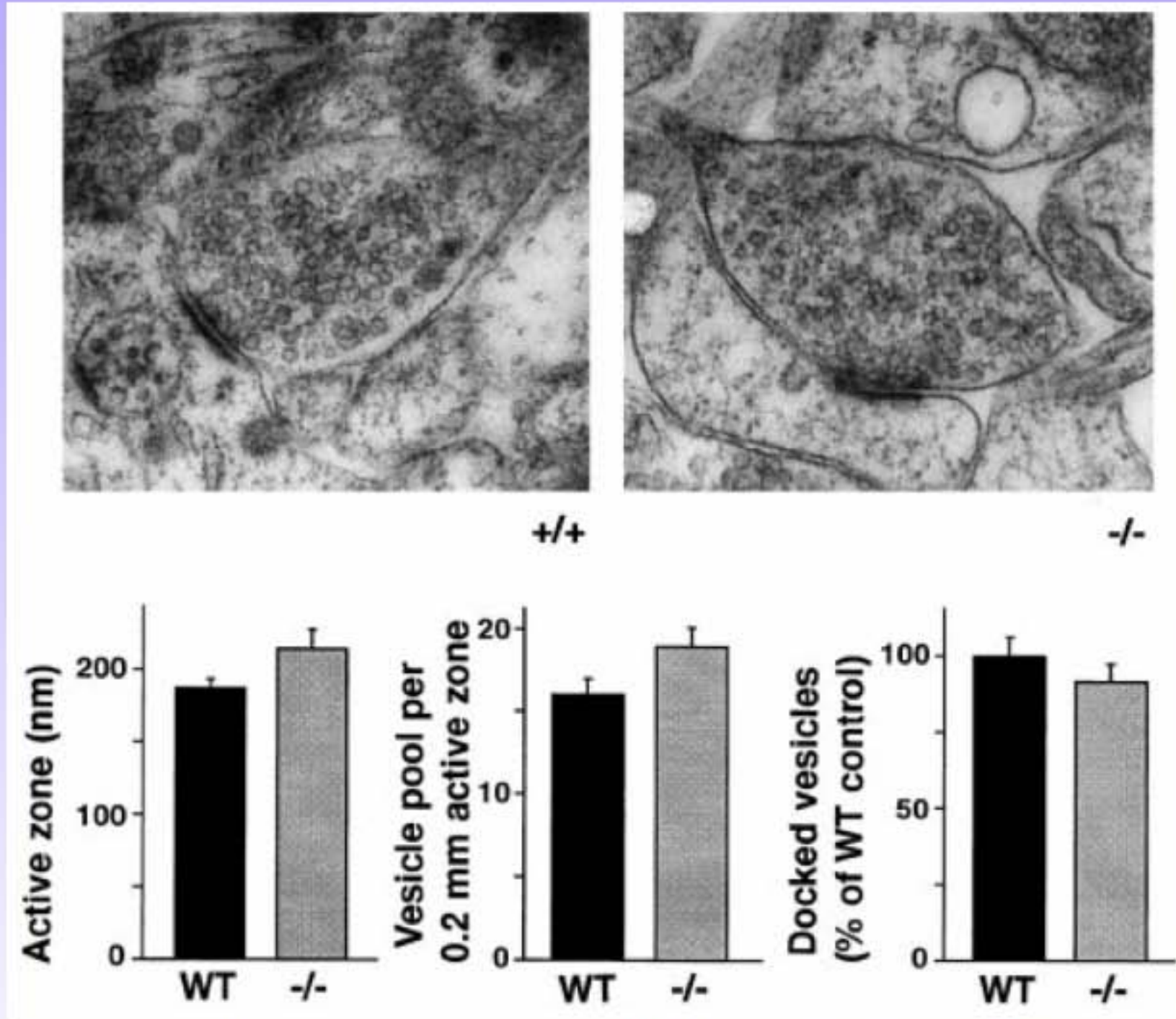
Seules les vésicules déjà arrimées (appartenant au RRP) fusionnent de manière Ca^{2+} indépendante. Permet d'évaluer le nombre de vésicules dans le RRP.

Cf. Rosenmund, C., and Stevens, C. F. (1996) Neuron 16, 1197-1207 & Lonart and Sudhof (2000), JBC 275 : 27703-27707.

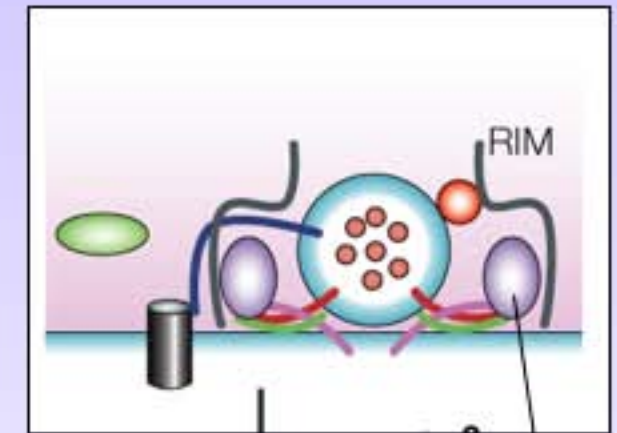


La libération ne peut pas être déclenchée par le sucrose: le RRP est donc très limité. En l'absence de munc13, le priming est donc altéré dans les synapses excitatrices.

Munc13 KO



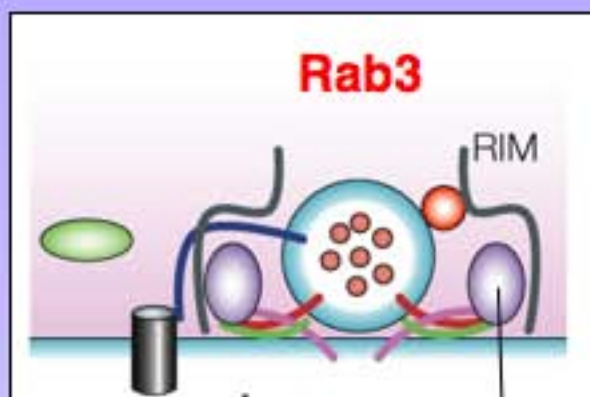
**Docking
& priming**



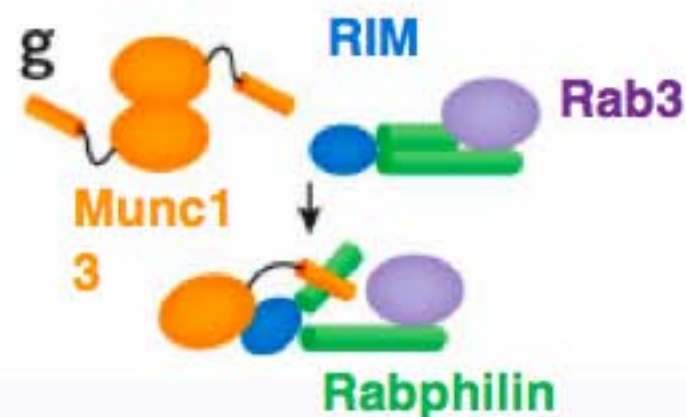
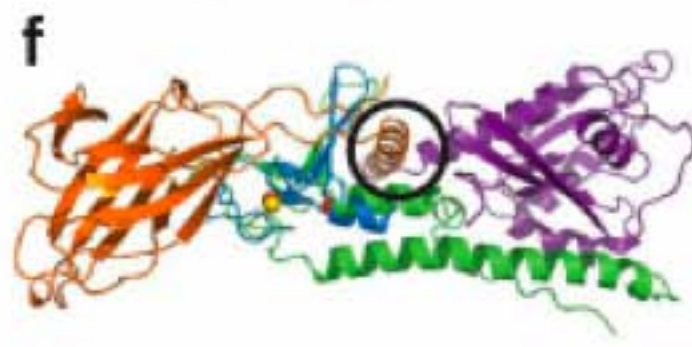
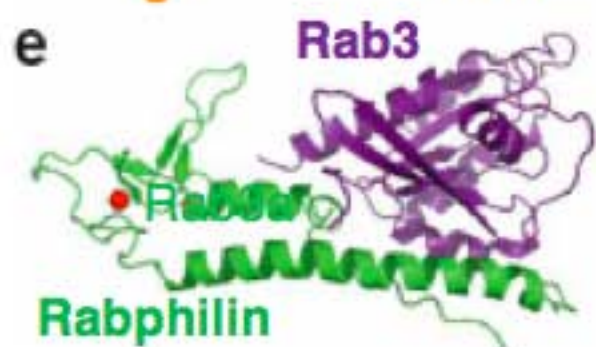
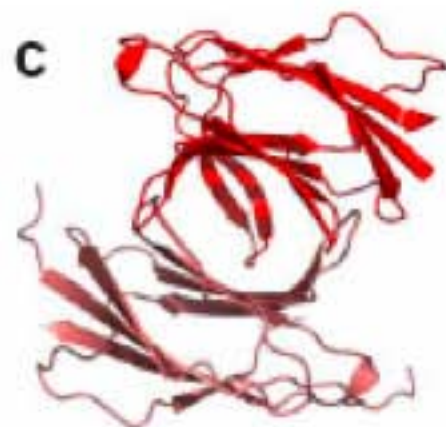
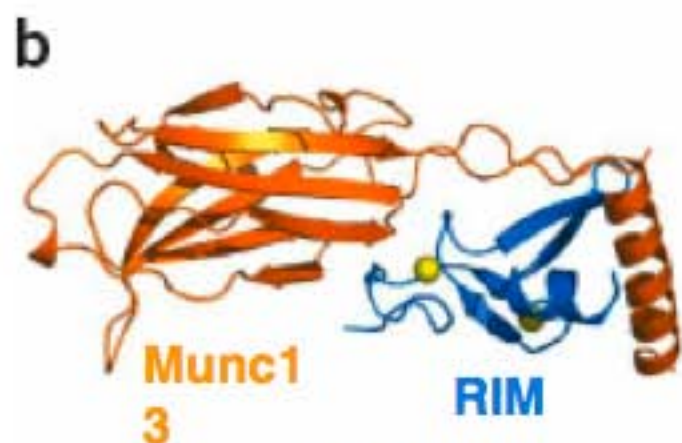
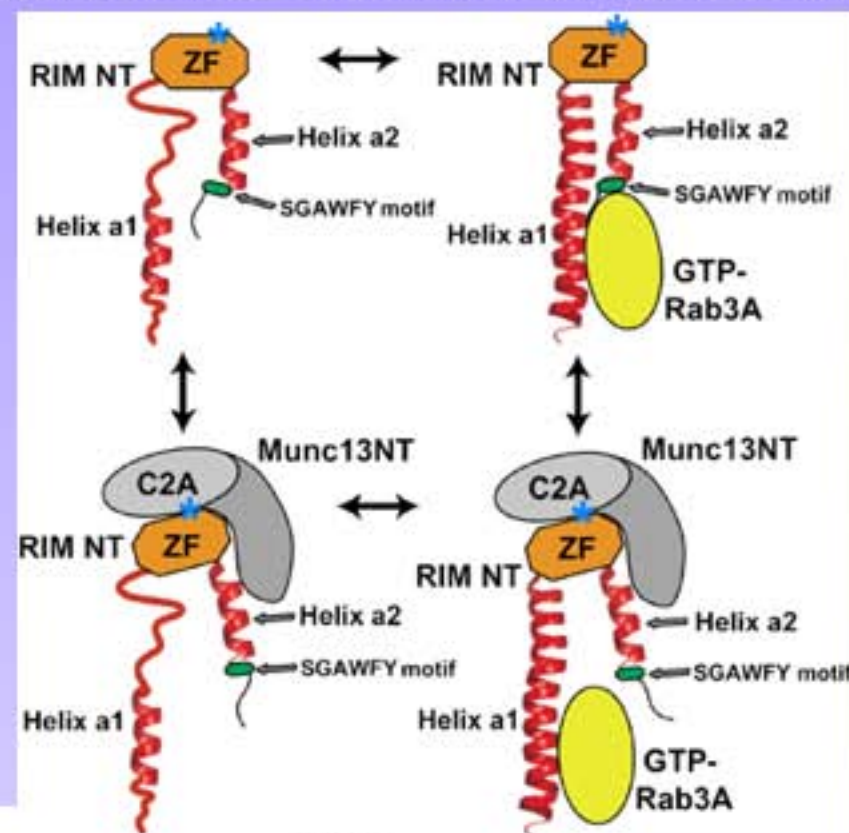
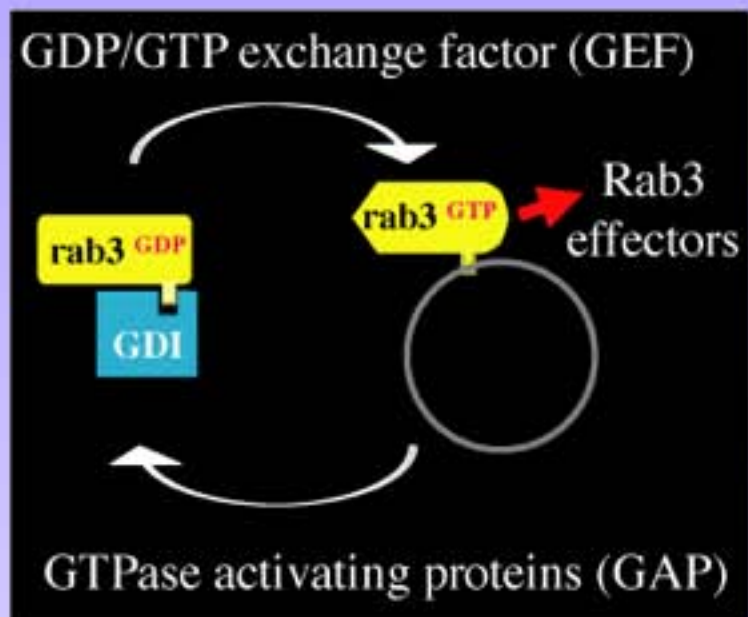
Munc13

Les neurones d'hippocampe de souris KO Munc13-1 forment des synapses normales au niveau ultra structurales. En l'absence de munc13, la formation du RRP est compromise, le priming est donc altéré dans les synapses excitatrices. Les synapses inhibitrices ne sont pas atteintes.

Régulation par la GTPase Rab3



Munc13



Rizo & Rosenmund, Nat Struct & Mol Biol (2008)

Formation d'un complexe tripartite avec Munc13, Rab3a et Rim.

Régulation de l'exocytose

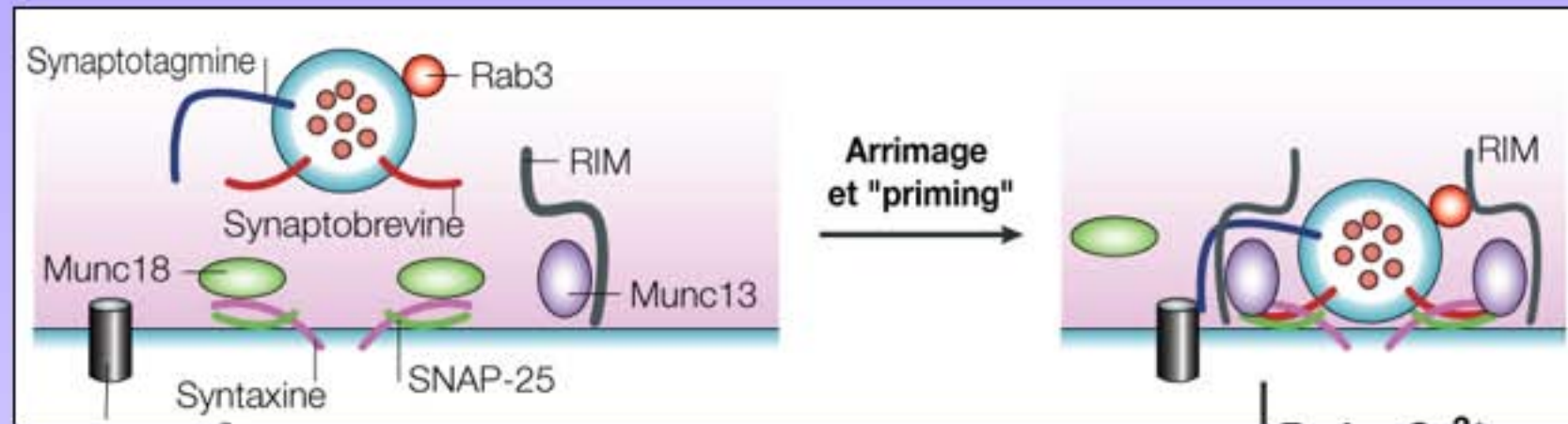
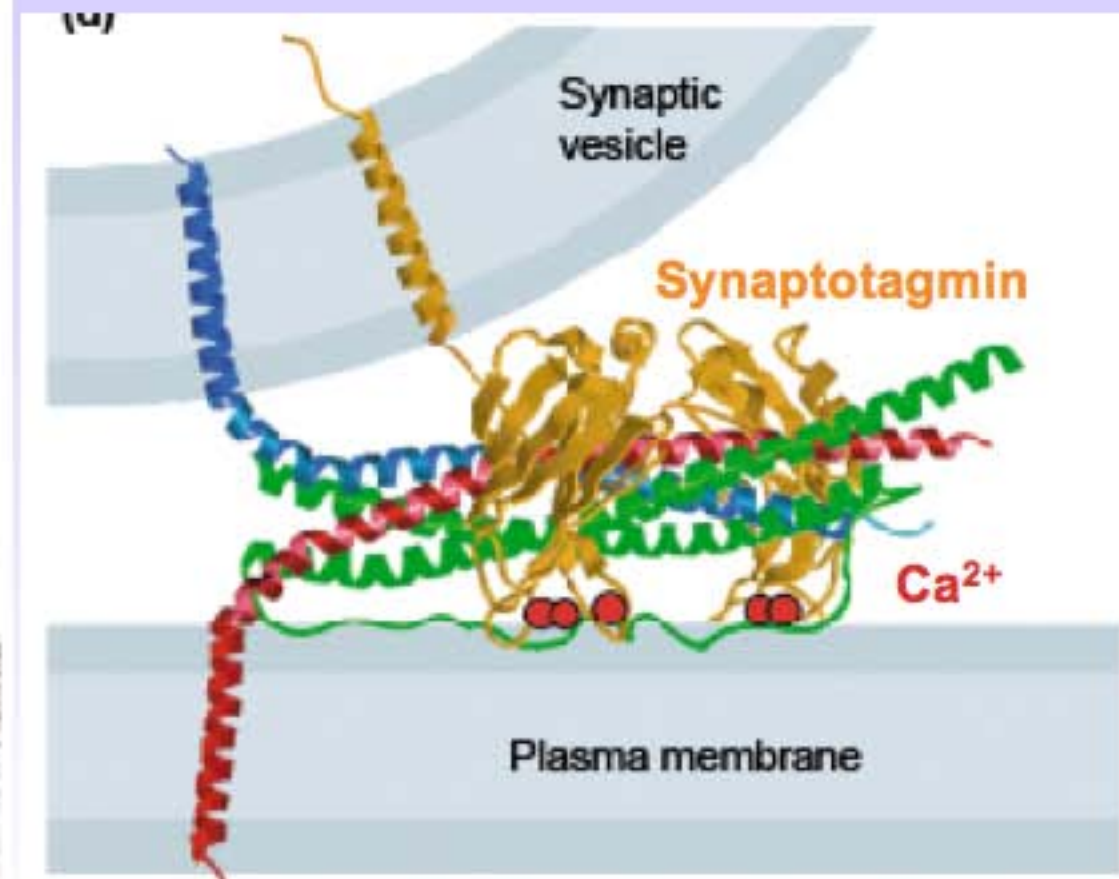
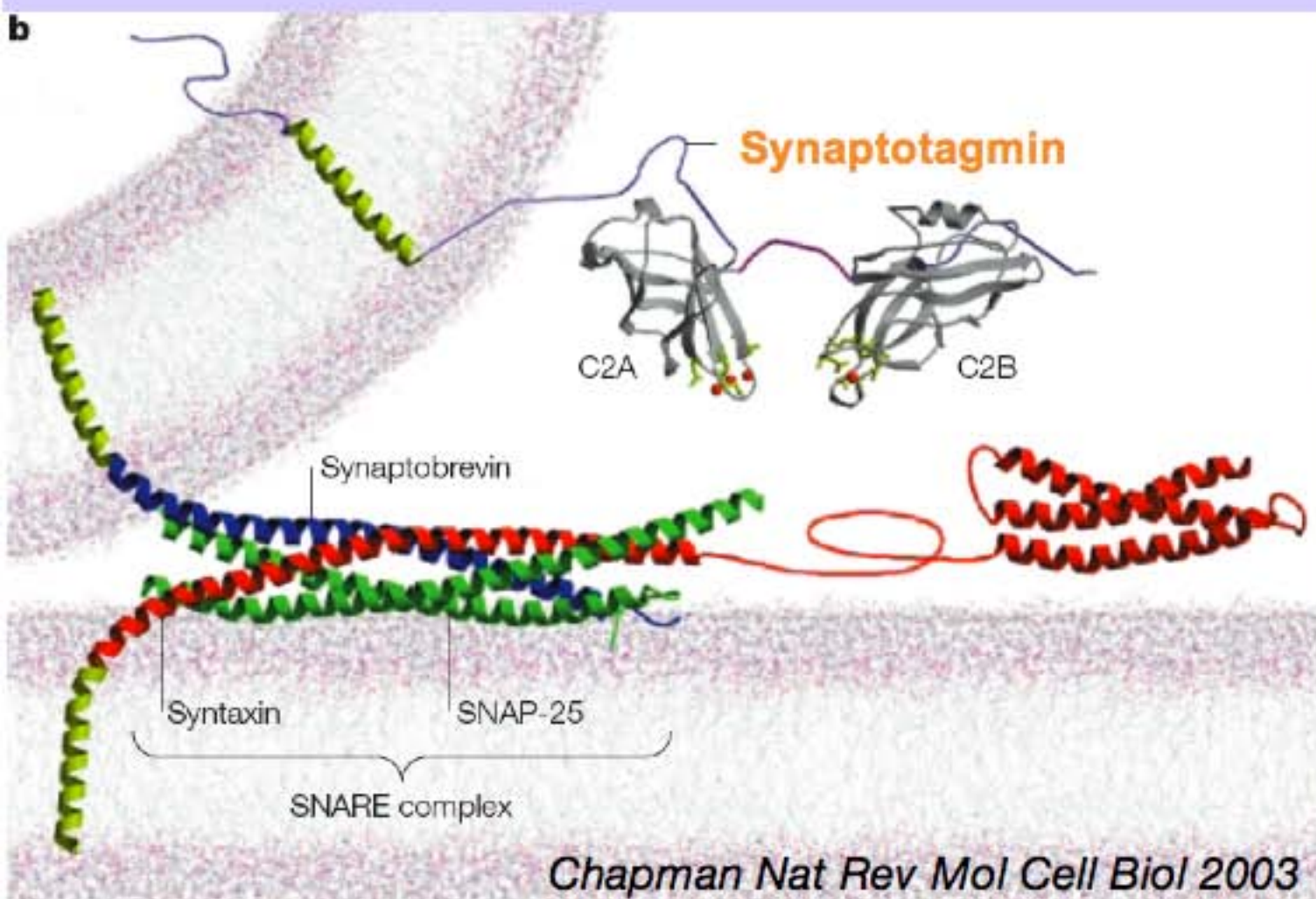
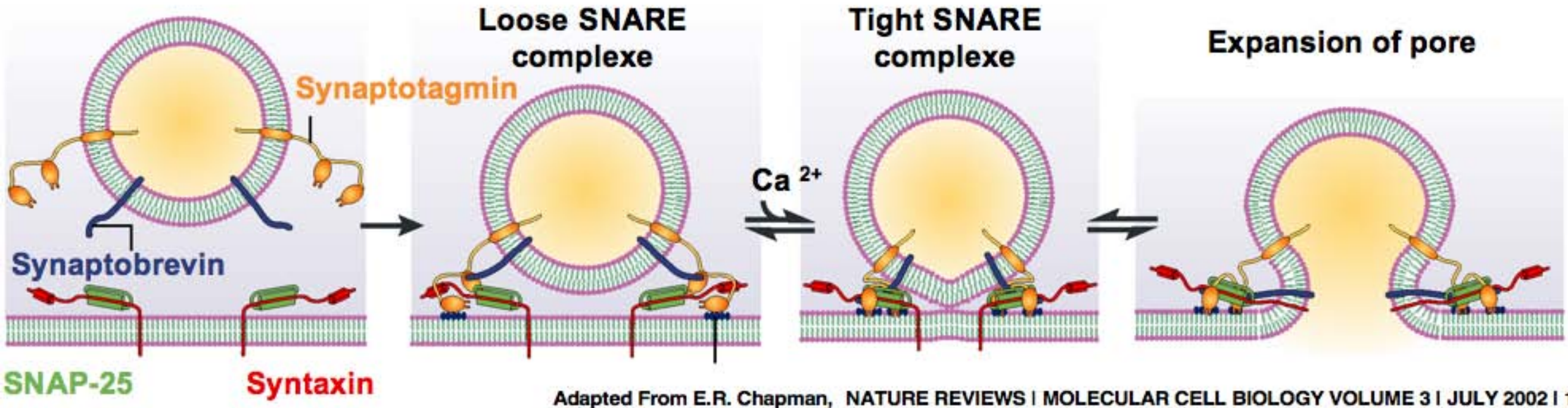
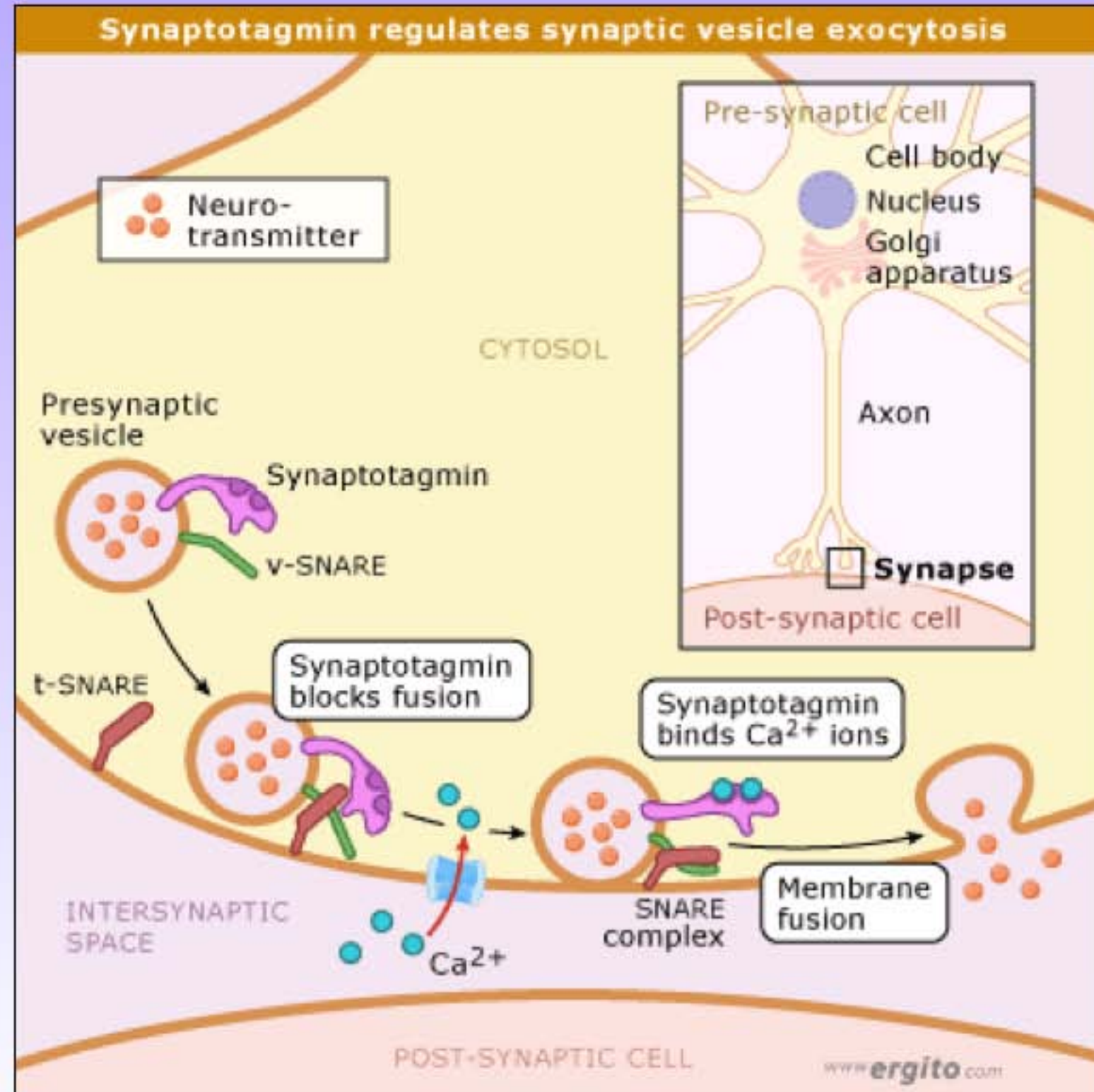
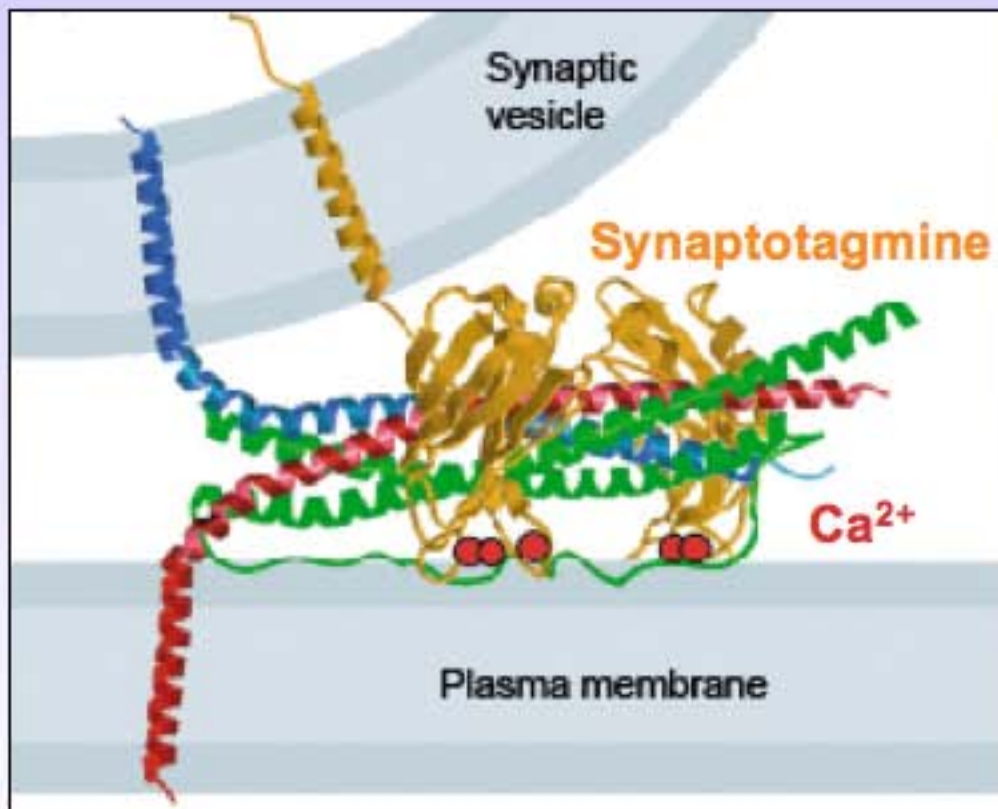
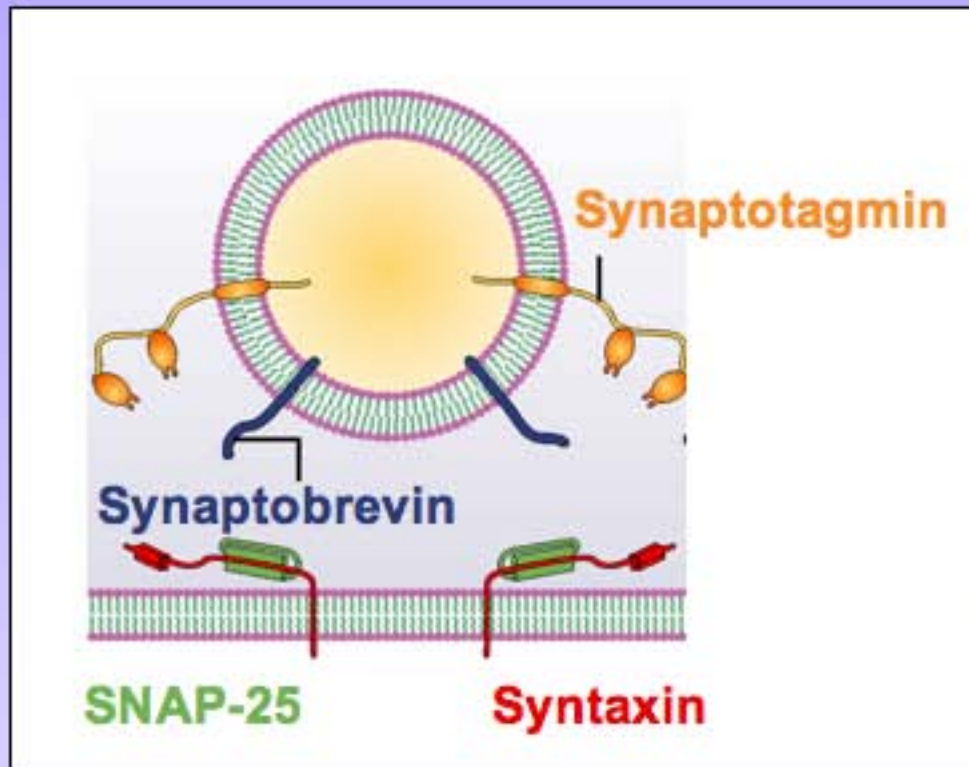


Figure 2. Overview of the steps in the secretory vesicle cycle that are affected by deletion of the respective genes. Deletion of *munc18-1* affects all steps in the cascade. Deletion of the SNARE genes (reviewed in [1]) results in priming defects with syntaxin-1 sharing a more upstream (docking) phenotype with Munc18-1 [25]. Deletion of *munc13-1* and *munc13-2* [68] and *synaptotagmin-1* [72] does not affect vesicle harboring at the membrane, but results in priming and fusion triggering defects, respectively.

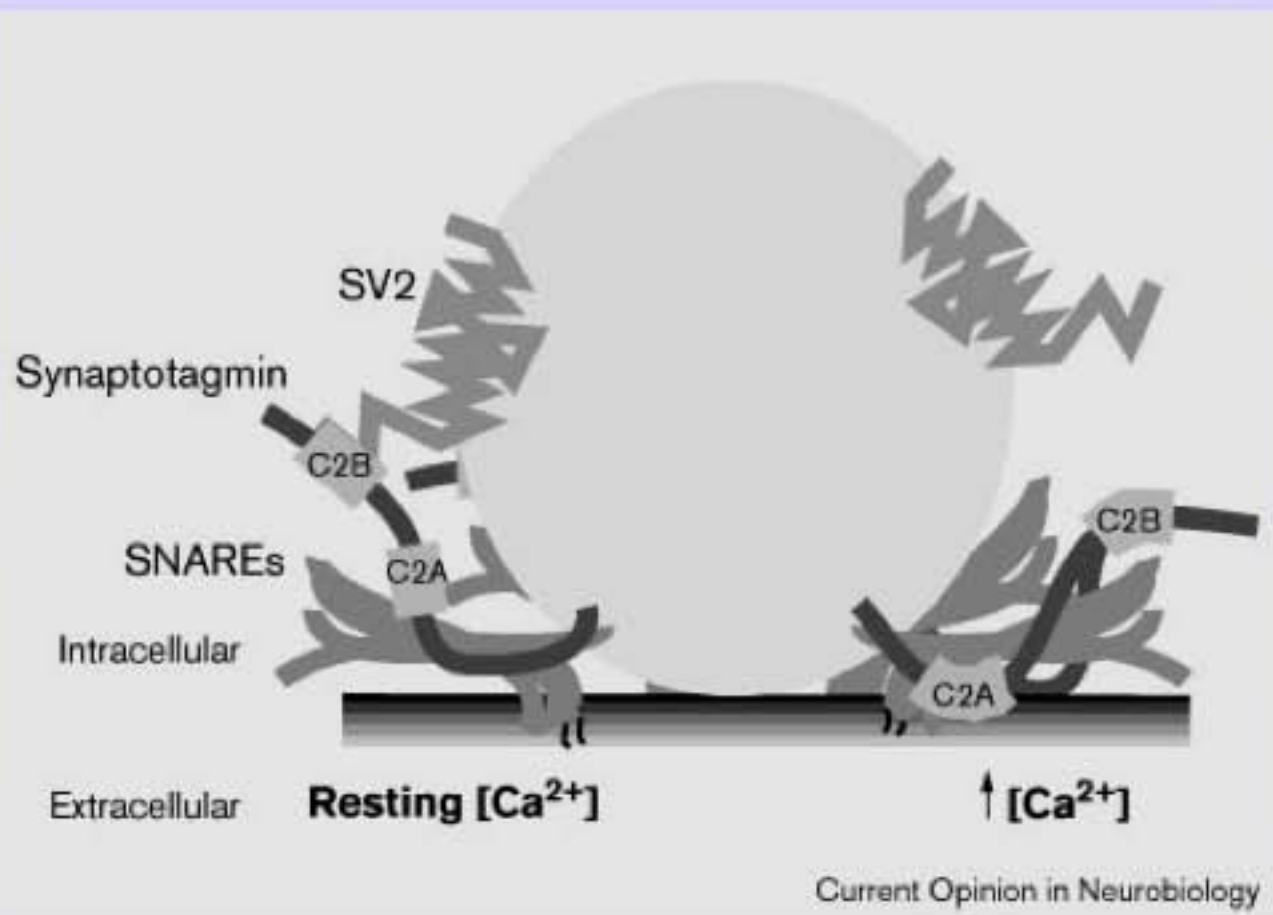
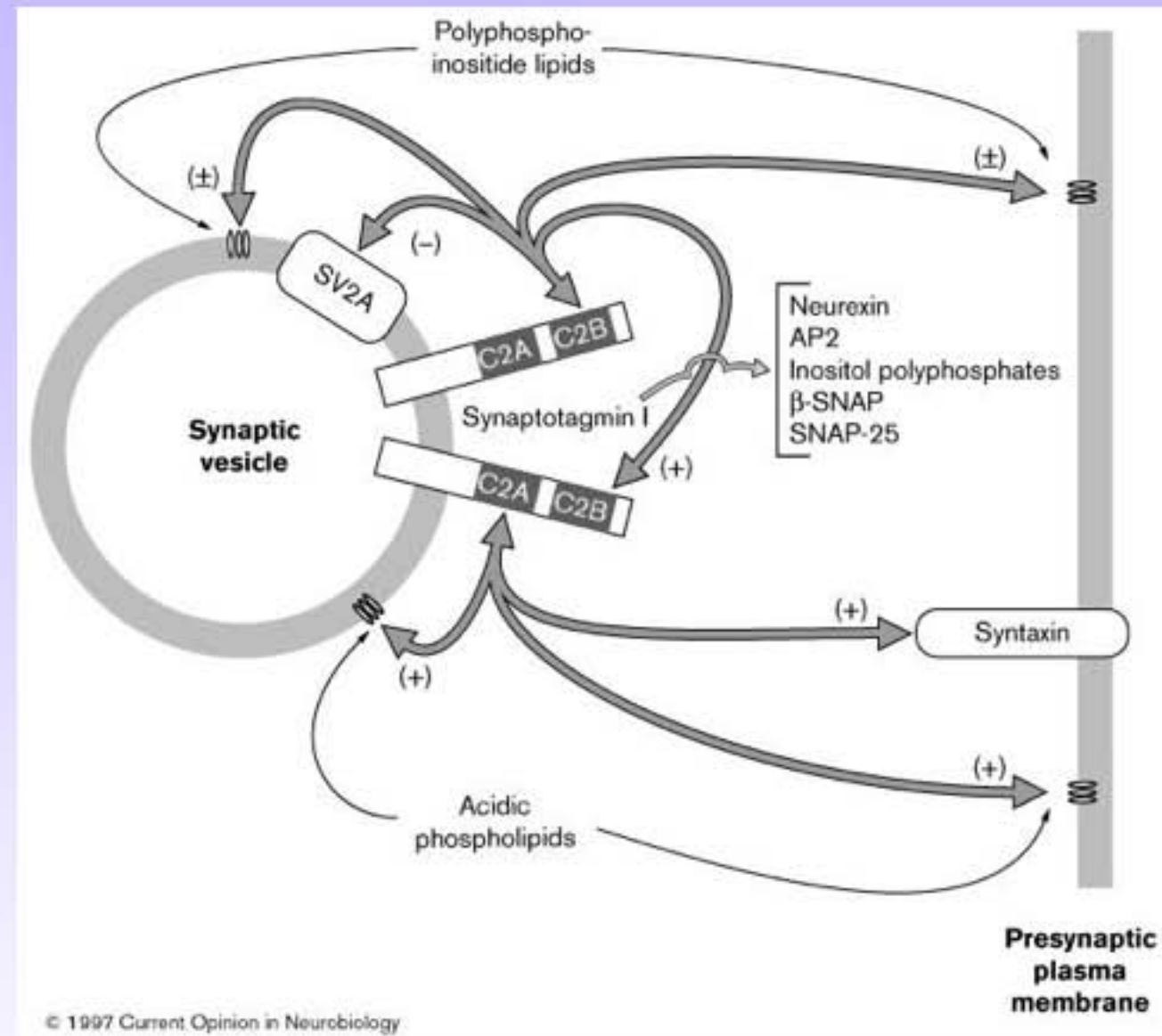
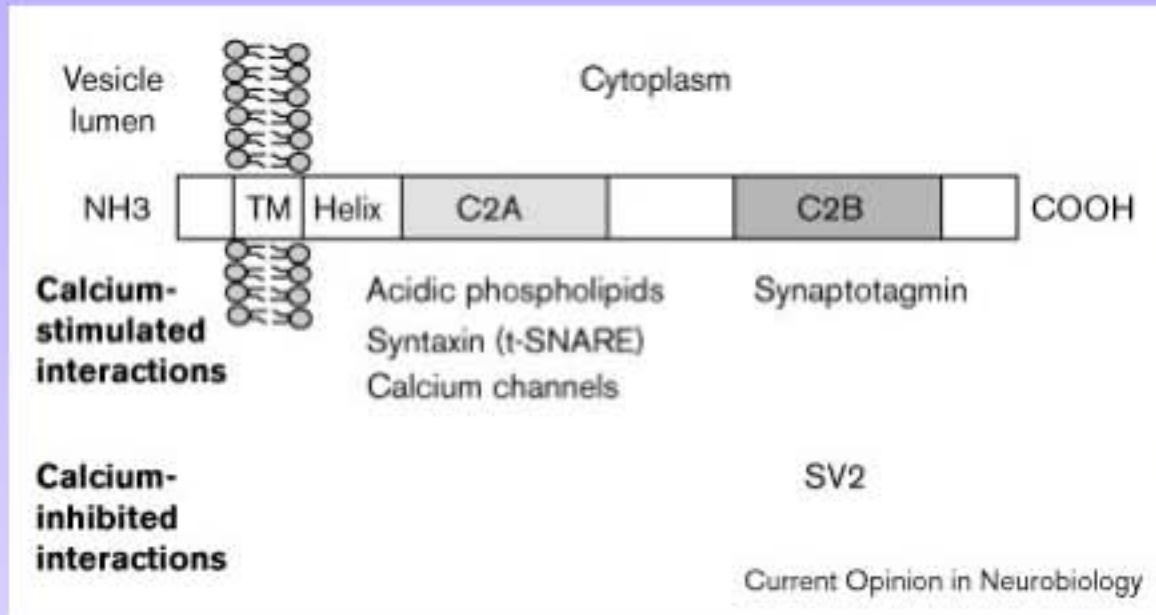
Régulation de l'exocytose par la synaptotagmine



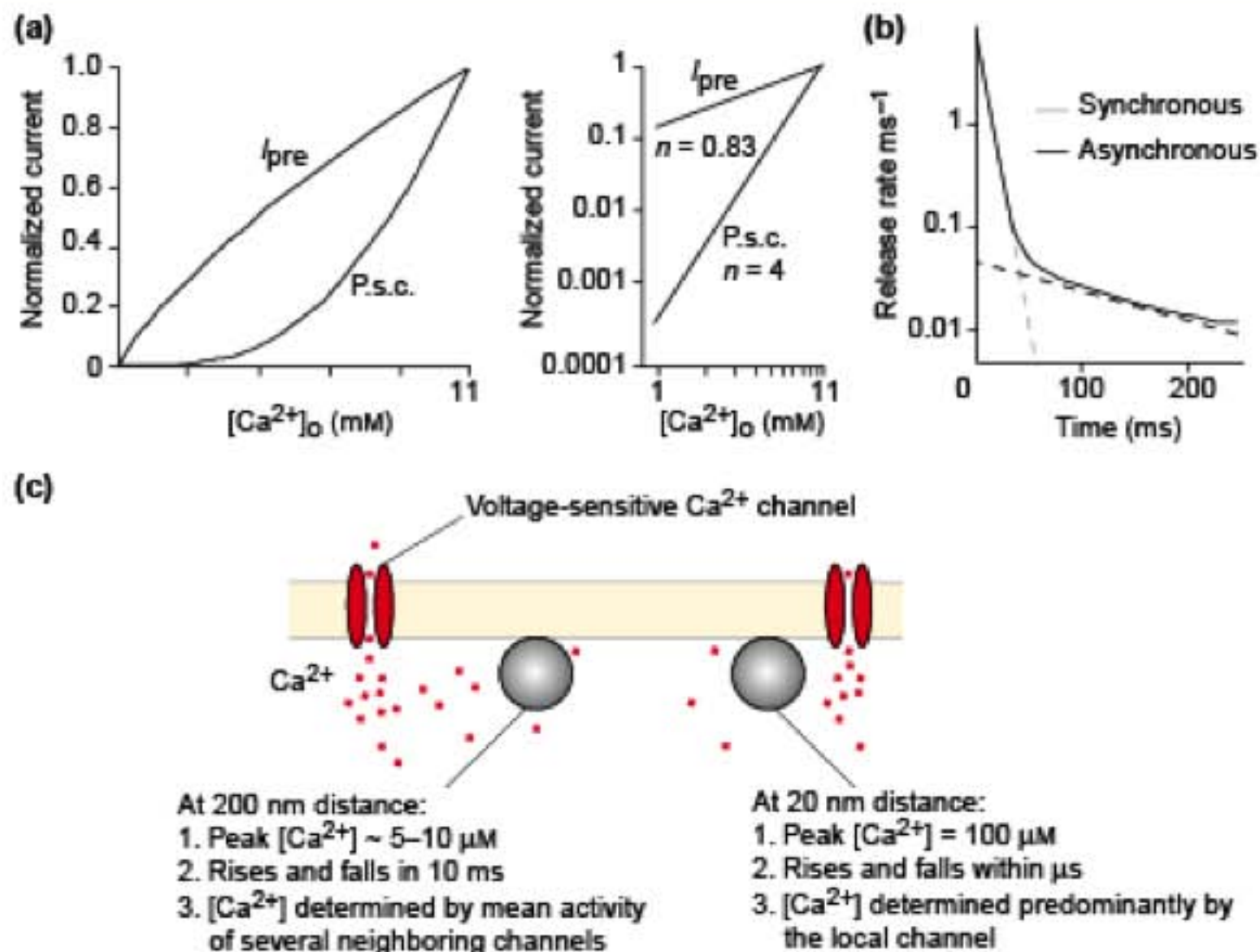
Régulation de l'exocytose par la synaptotagmine



Régulation de l'exocytose par le calcium



Calcium et exocytose



TRENDS in Neurosciences

Fig. 1. Ca^{2+} cooperativity and biphasic neurotransmitter release. (a) Relationships of presynaptic Ca^{2+} current (I_{pre}) and postsynaptic current (P.s.c.) with external Ca^{2+} concentration, $[Ca]_o$ [4]. Adapted, with permission, from Ref. [4]. The same data are represented schematically on linear (left) and log-log (right) coordinates. The exponential function (n) next to each log-log plot is a measure of the Ca^{2+} -dependent cooperativity of neurotransmitter release (see main text). Note that the differences in the slopes of I_{pre} and P.s.c. indicate that the cooperativity is mediated by binding sites downstream of the Ca^{2+} channel – that is, inside the terminal. (b) Under normal conditions, neurotransmitter release at a hippocampal synapse consists of a rapid, synchronous phase followed by a delayed, asynchronous phase. Using data from Ref. [6]. (c) Properties of Ca^{2+} domains around a Ca^{2+} channel. Small red circles represent Ca^{2+} and the gray spheres represent synaptic vesicles docked on the presynaptic membrane. Using data from Ref. [14].

Mutants de syt

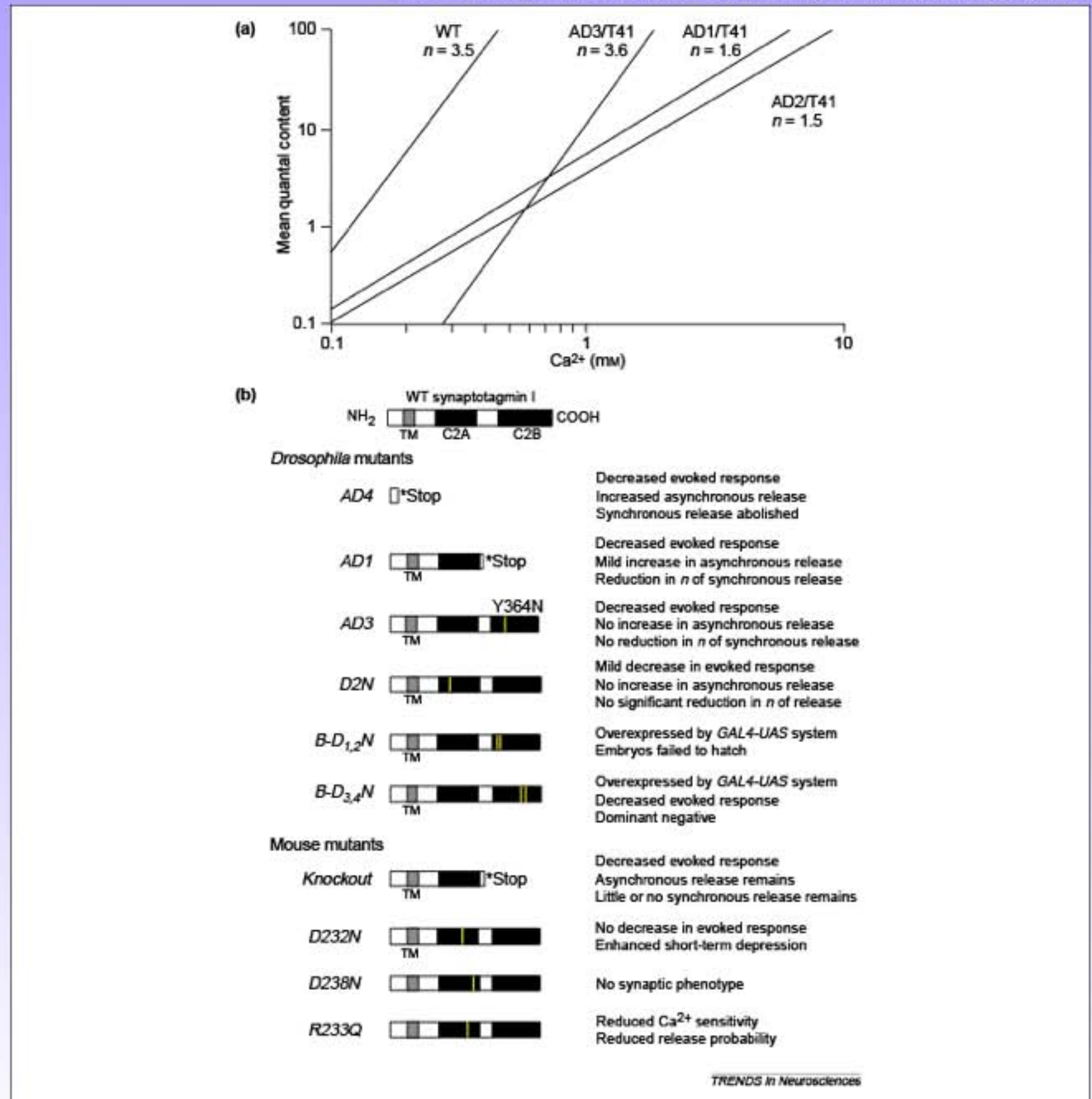


Fig. 3. Properties of synaptotagmin I mutants. (a) A schematic log-log plot of mean quantal content released and external Ca^{2+} concentration, showing the alteration of Ca^{2+} cooperativity at the neuromuscular junction of Drosophila third-instar larvae carrying allelic combinations of synaptotagmin I mutations compared with wild-type (WT) larvae. Adapted from Ref. [37]. (b) Domain structures of a generalized wild-type synaptotagmin I protein and mutant proteins created in Drosophila and mouse. Note that the mouse knockout mutant expresses the truncated protein at ~5% wild-type level. Gray boxes indicate the transmembrane domain (TM) and black boxes indicate the C2A and C2B domains. Yellow bars indicate the positions of point mutations. Effects of each mutation are listed.

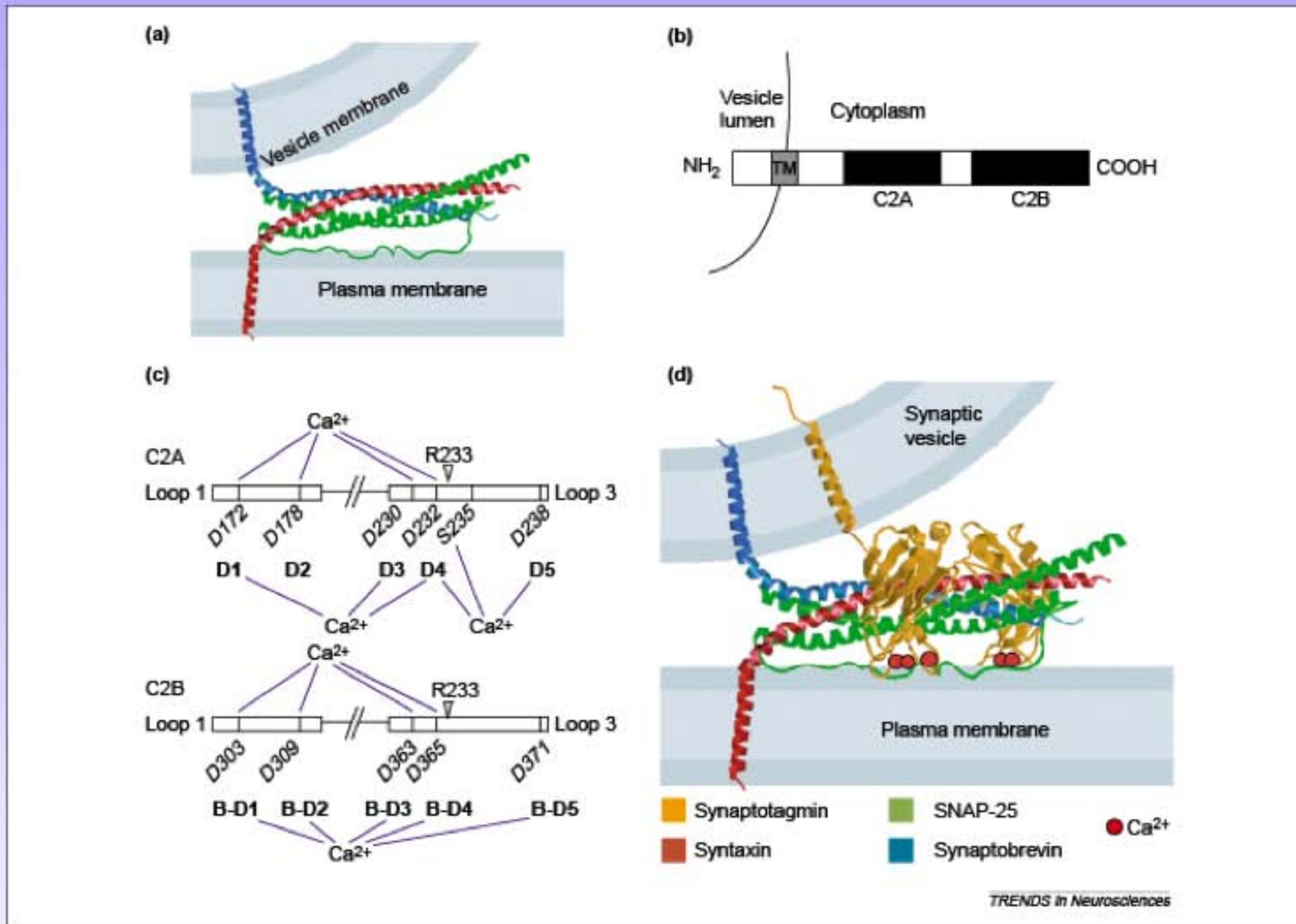
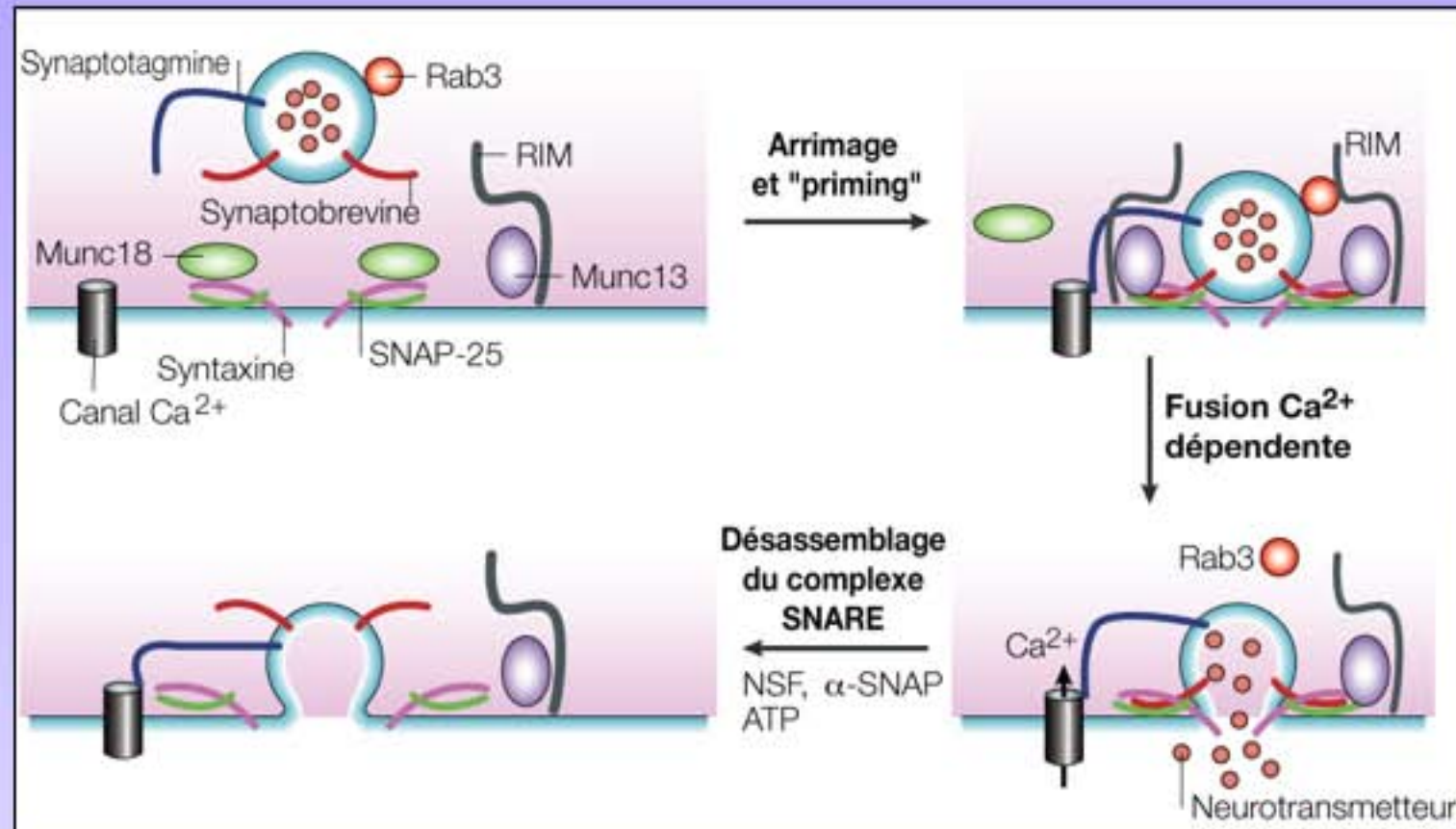
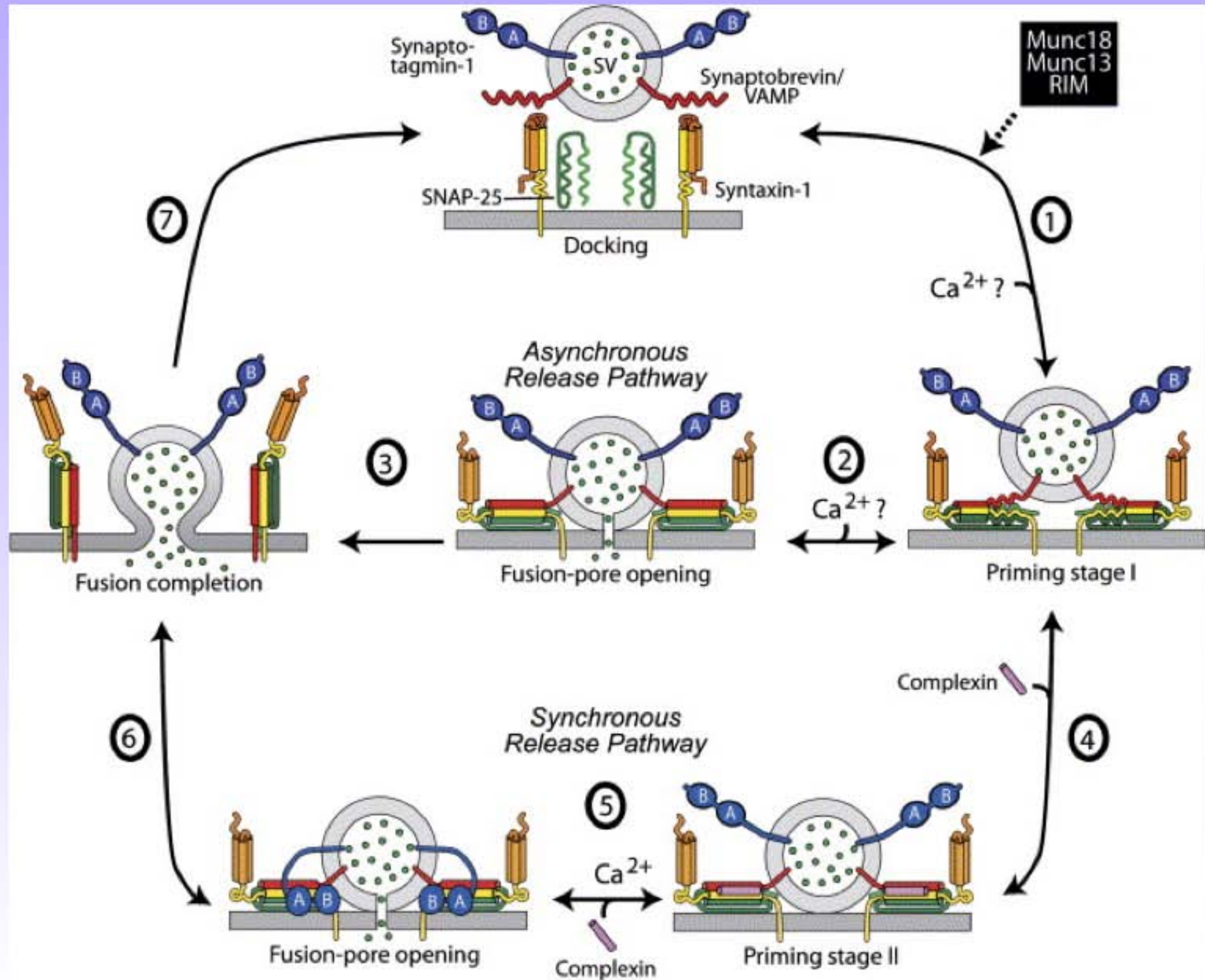


Fig. 2. Structures of the soluble N-ethylmaleimide-sensitive fusion protein receptor (SNARE) complex and synaptotagmin I. (a) Structure of the four-helix bundle of the SNARE complex. Adapted, with permission, from Ref. [15], q (1998) Nature Publishing Group (<http://www.nature.com/>). Shown are synaptobrevin (blue), the syntaxin transmembrane domain and C-terminal helix (red), and the helical domains of synaptosome-associated protein of 25 kDa (SNAP-25; green), which are thought to be connected by an unstructured loop. (b) Domain structure of synaptotagmin I, showing the transmembrane domain in gray (TM) and the C2A and C2B Ca²⁺-binding domains in black. (c) Schematic diagram of the C2A and the C2B domains, showing the amino acid residues (Ca²⁺ ligands) that provide the side chains that coordinate Ca²⁺. The R233 arginine residue (arrow head) is not a Ca²⁺ ligand but an Arg233Gln mutation leads to a twofold reduction in Ca²⁺-dependent phospholipid binding [59]. (d) Cartoon showing the C2A and C2B domains (yellow) flanking the four-helix bundle formed by the SNARE fusion complex. Not shown here are the Ca²⁺-dependent oligomerization of synaptotagmin I via the C2B domain (discussed in the main text) or the Ca²⁺-independent oligomerization of synaptotagmin I with itself and with other related synaptotagmin proteins via the cytosolic juxtamembrane cysteine residues. The physiological role of the juxtamembrane cysteine residues of synaptotagmin I has not been demonstrated and the biochemical characterization of this domain is discussed elsewhere [29]. The SNARE complex is adapted from Ref. [15]. The structures of the synaptotagmin I C2A and C2B domains [23,71] are downloaded from the Protein Data Bank (Research Collaboratory for Structural Bioinformatics, <http://www.rcsb.org/pdb/index.html>) and rendered using the RasTop Version 2.0.3 software (Copyright q Philippe Valadon 2000–2003). Red circles represent the Ca²⁺ ions chelated by the loops within the C2A and C2B domains of synaptotagmin I.

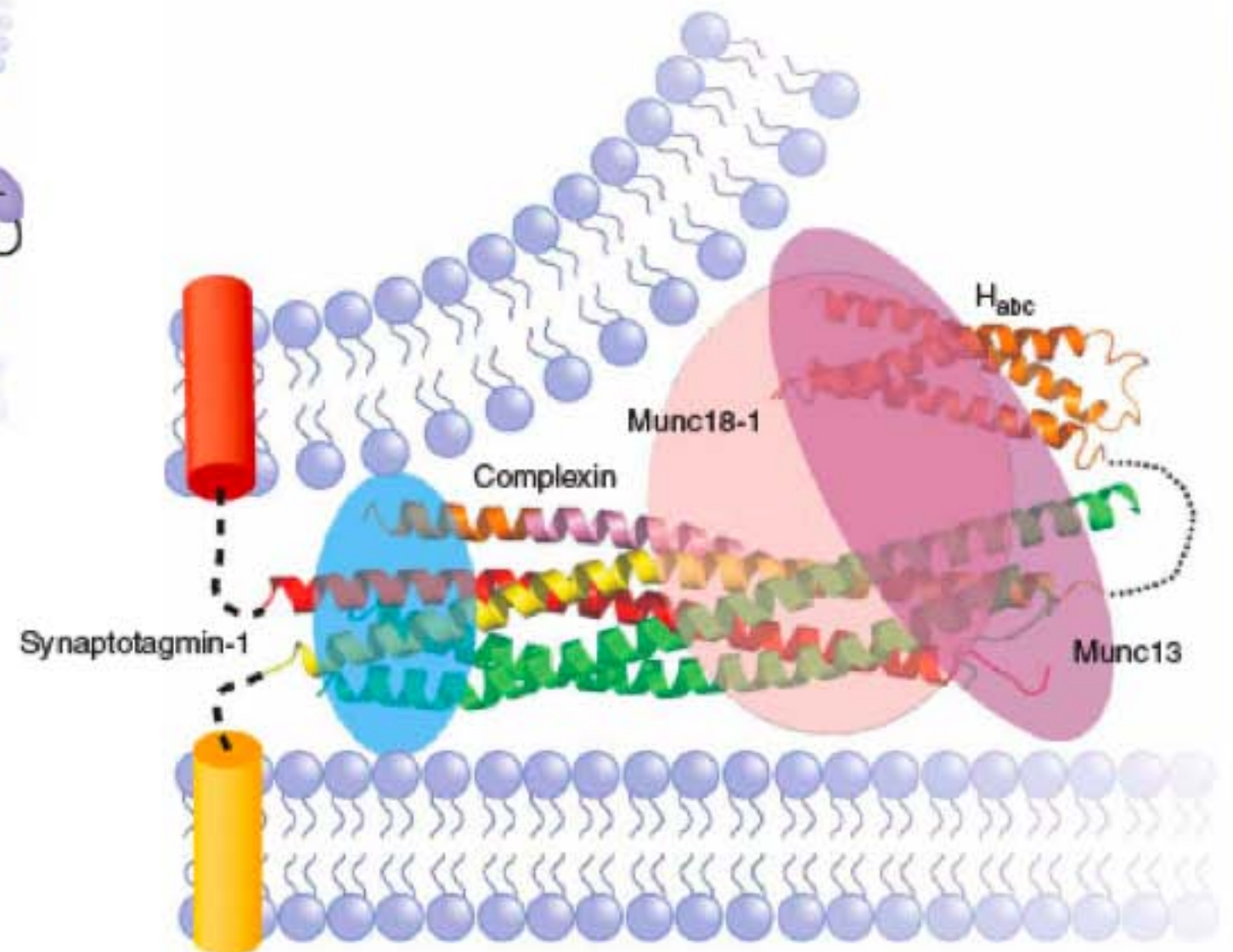
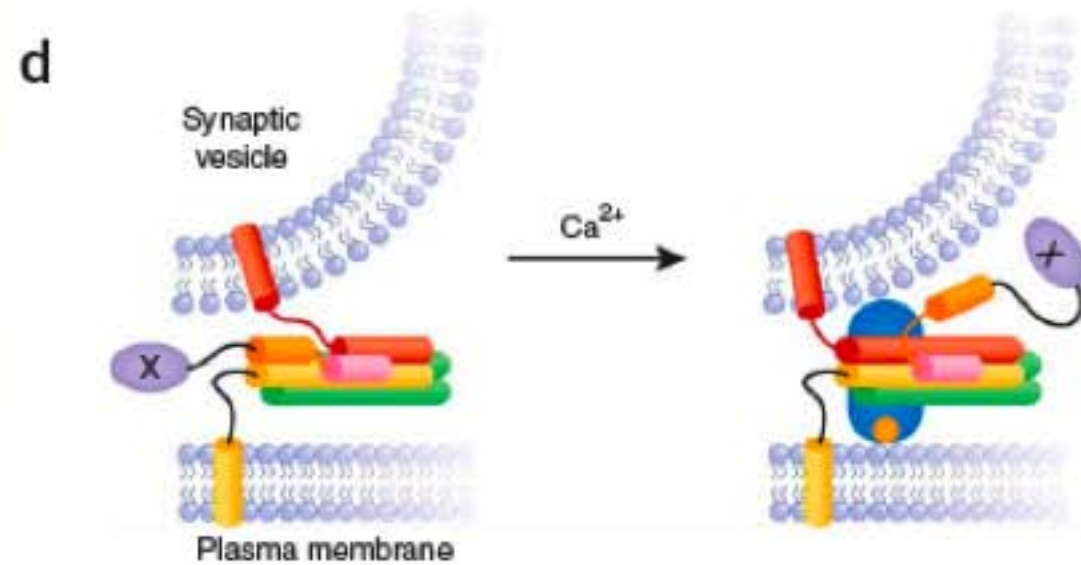
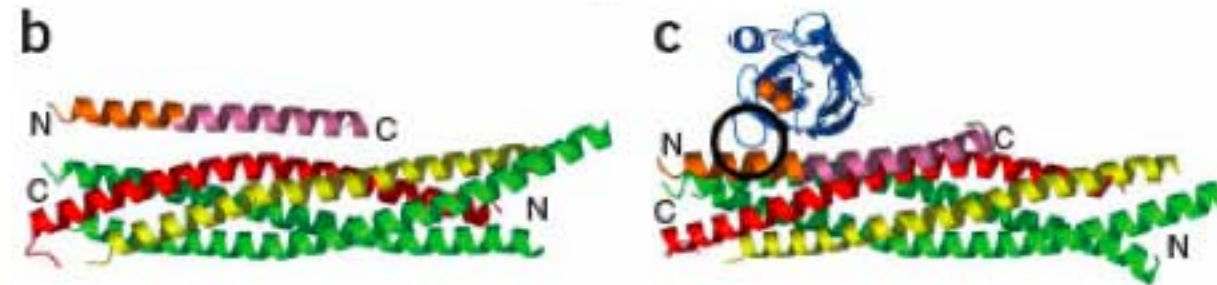
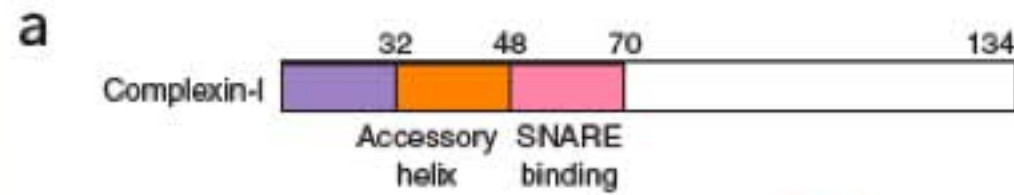
Régulation de l'exocytose



Régulation par la complexine

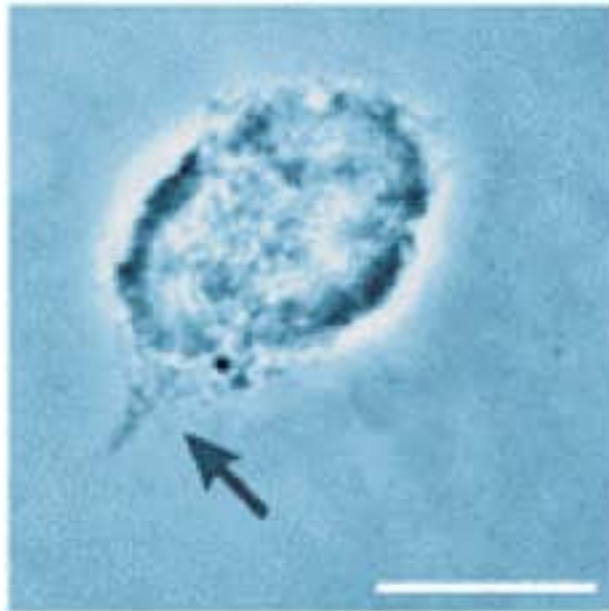


Régulation par la complexine

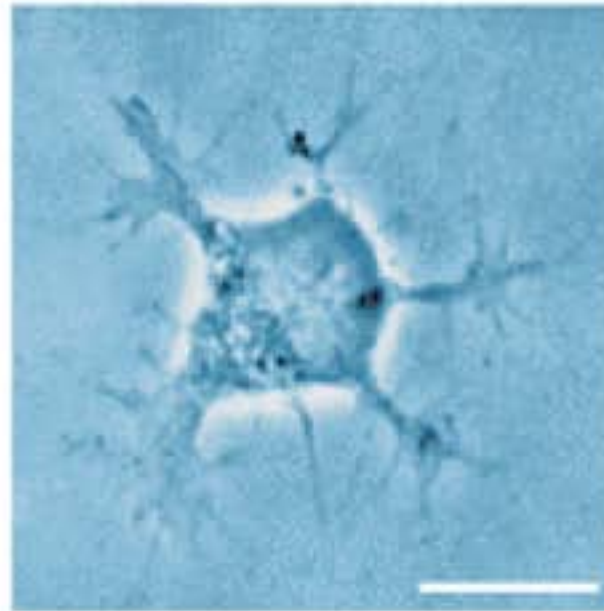


Rôle des SNARE dans la neuritogenèse

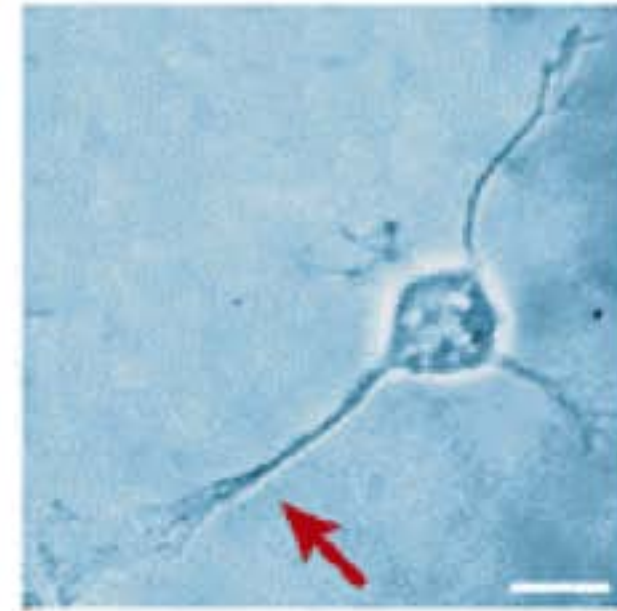
a Initial budding



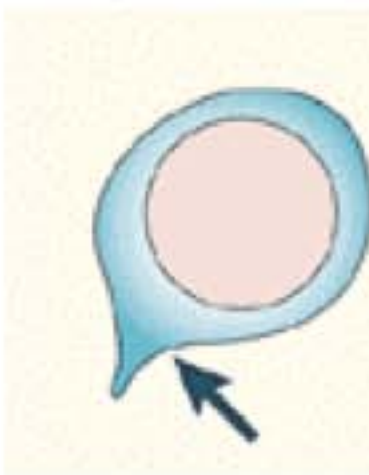
Neurite formation



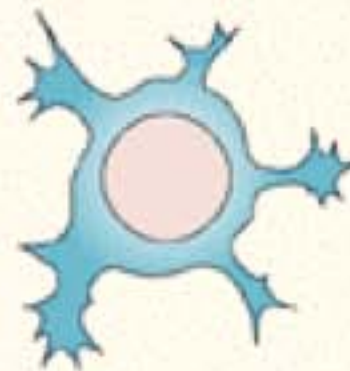
Polarization



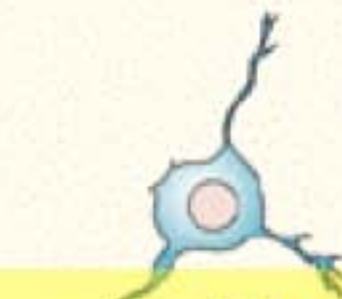
b Initial budding



Neurite formation

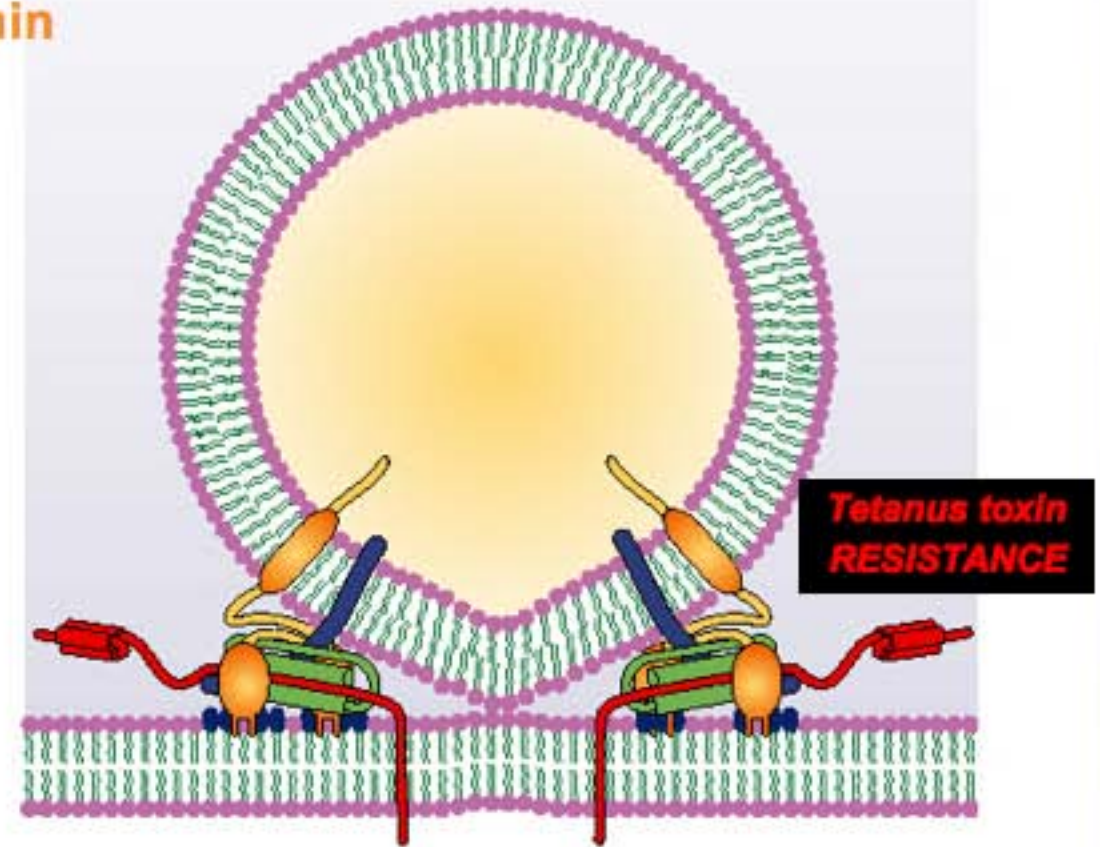
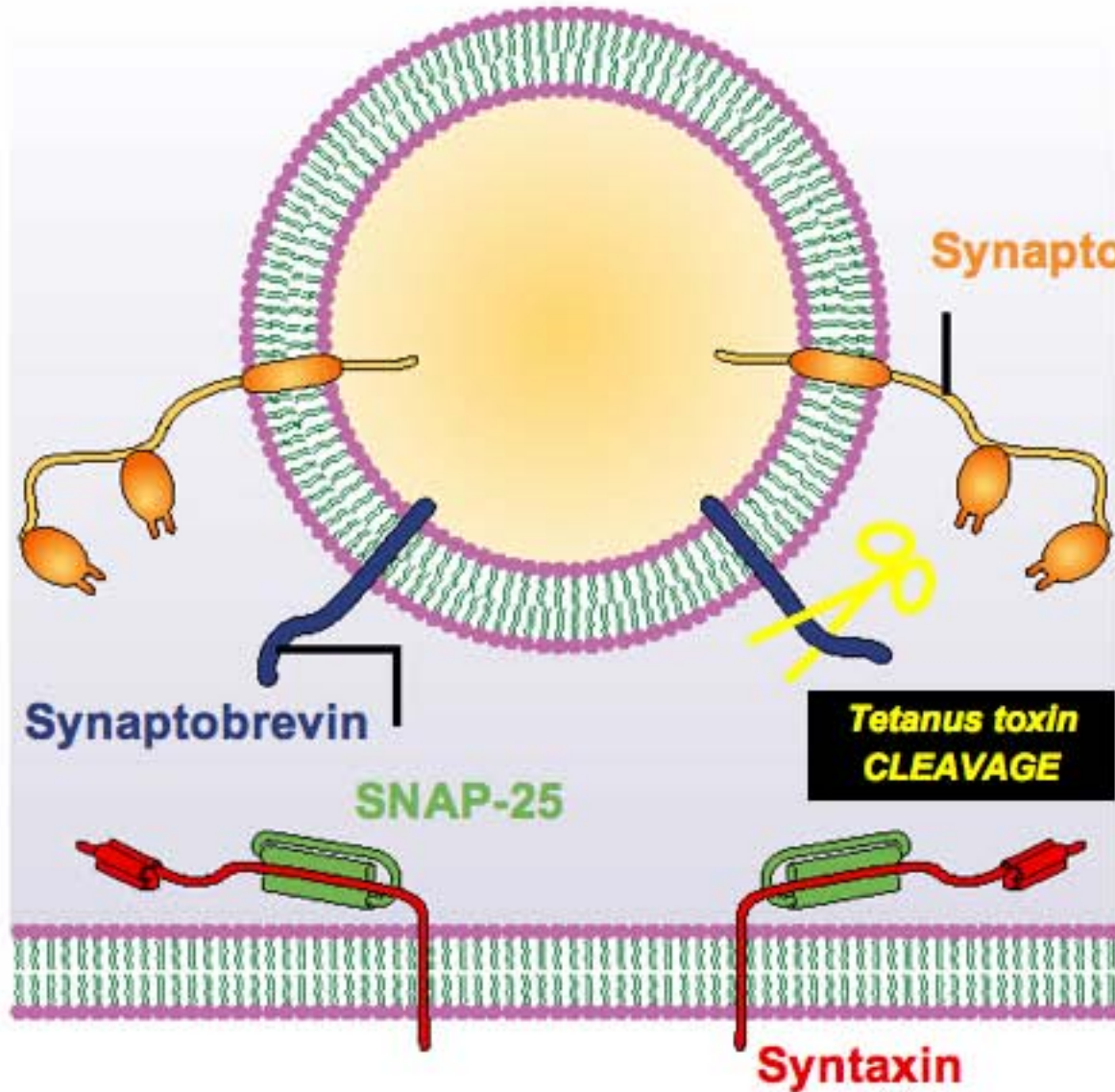


Polarization



**Tetanus
Neurotoxin
resistant**

Tetanus toxin efficiency



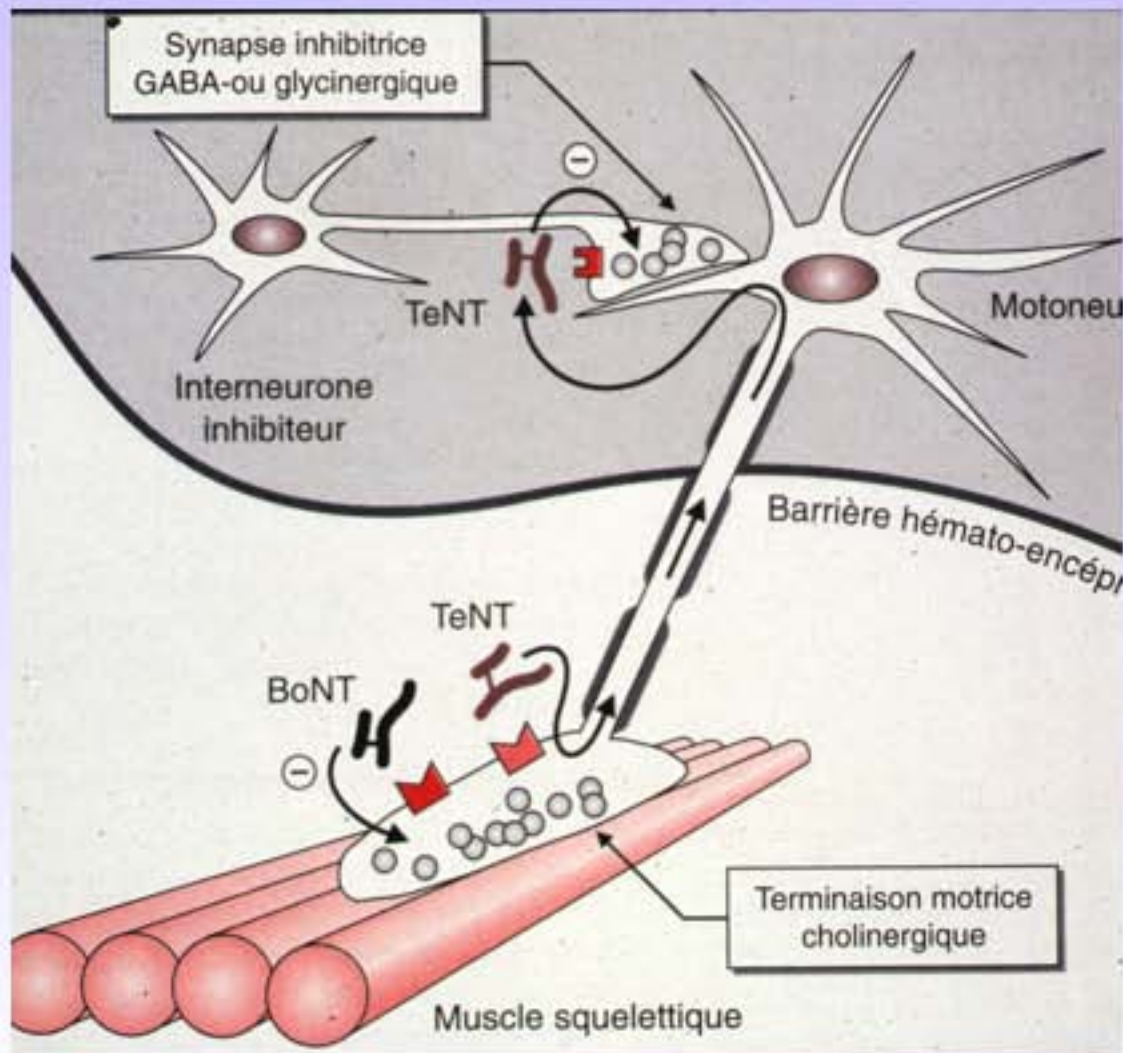
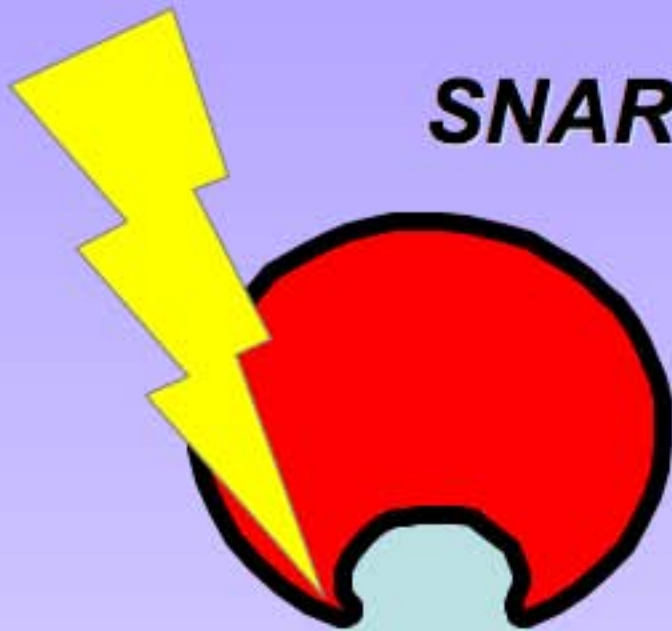
Modified from E.R. Chapman, Nat Rev Mol Cell biol (2002) & Xu et al. Nat. Neurosci (1998)

**Tetanus toxin
CLEAVAGE**

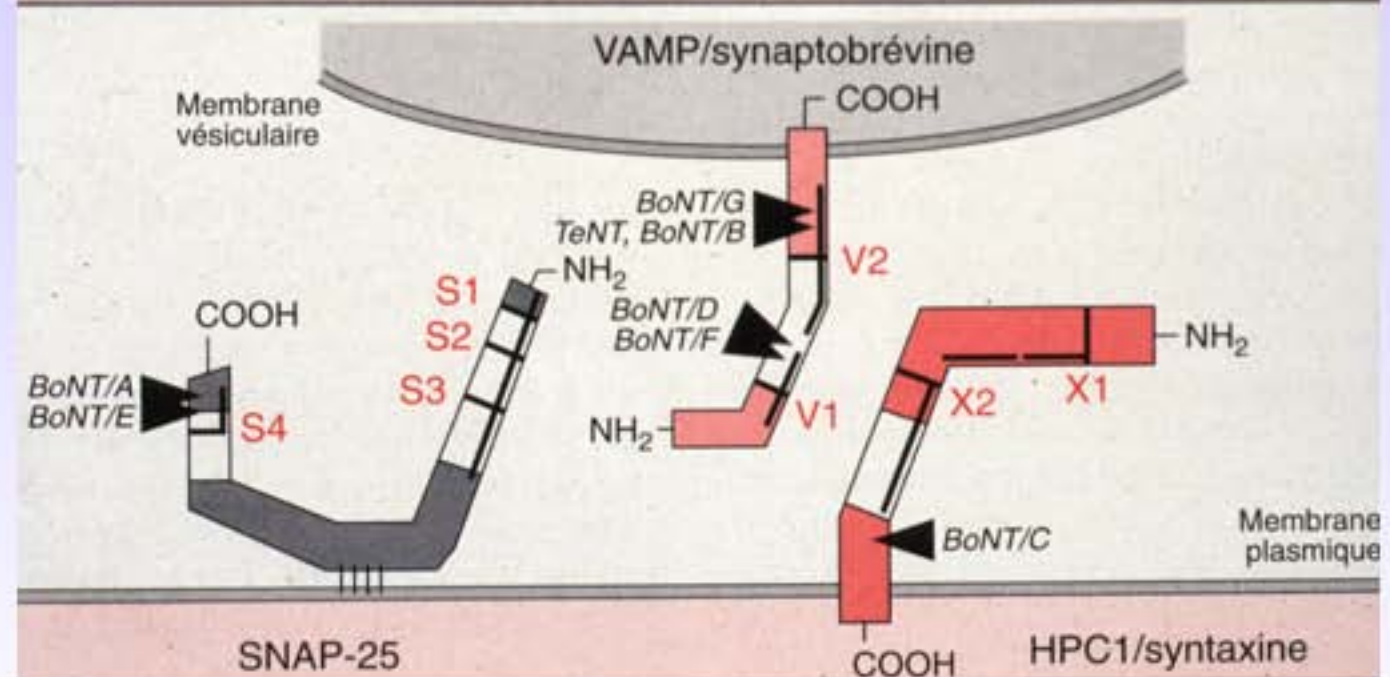
**Tetanus toxin
RESISTANT**

Tetanus toxin can not cleave the synaptobrevin in SNARE complexe

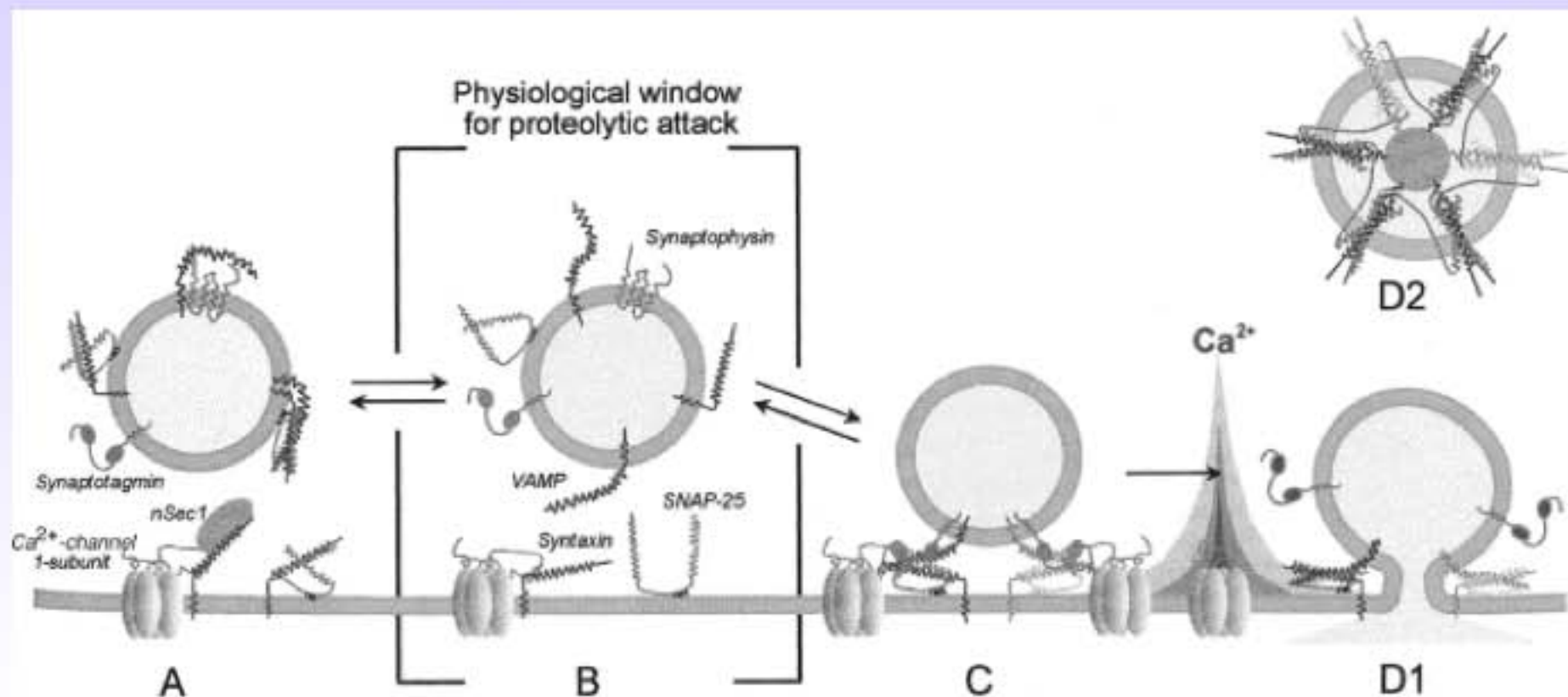
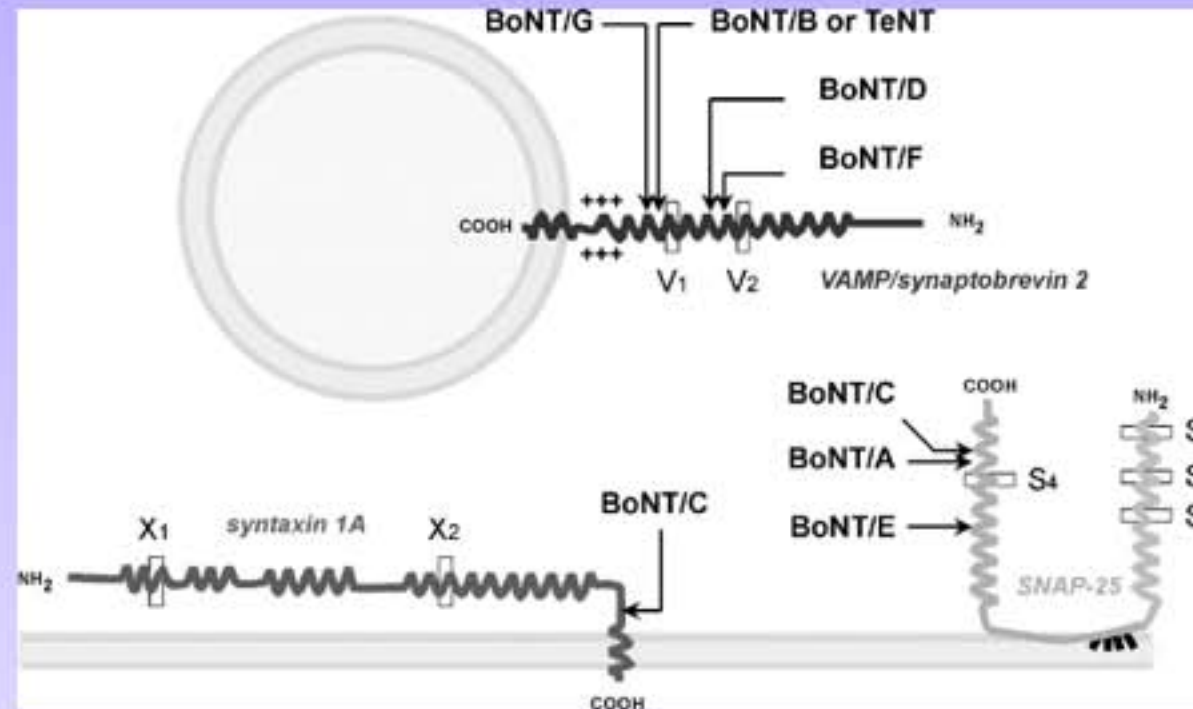
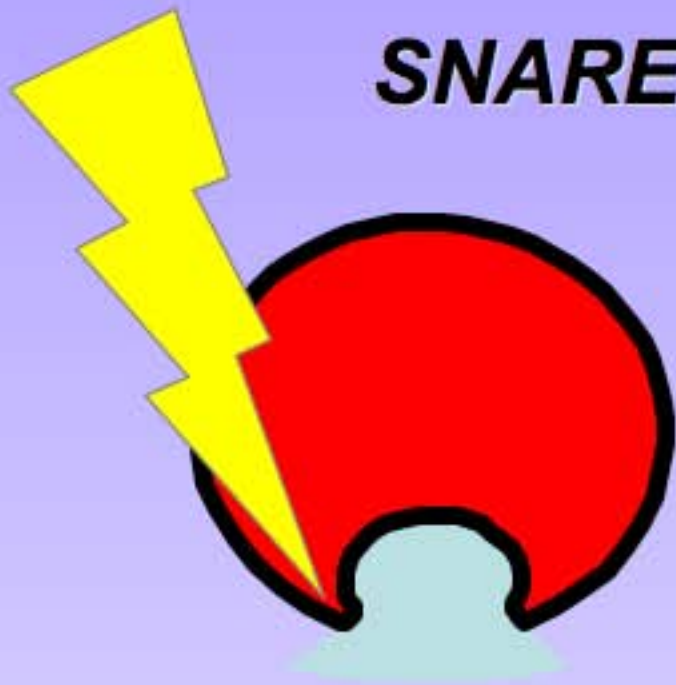
SNAREs: cibles des neurotoxines clostridiales



Toxine	Cible	Site de reconnaissance	Site de clivage
TeNT	VAMP	V2 : ELDDRADALQ	ASQFETS
BoNT/B	VAMP	V2 : ELDDRADALQ	ASQFETS
BoNT/D	VAMP	V1 : QVDEVVDIMR	DQKLSEL
BoNT/F	VAMP	V1 : QVDEVVDIMR	RDQKLSE
BoNT/G	VAMP	V2 : ELDDRADALQ	ESAAKLK
BoNT/A	SNAP-25	S4 : EMDENLEQVSG	ANQRATK
BoNT/E	SNAP-25	S4 : EMDENLEQVSG	KTRIDEA
BoNT/C	Syntaxine	X2 : ELEDMLSEGN	TKKAVKY
motif consensus		xh--xh-xhp	



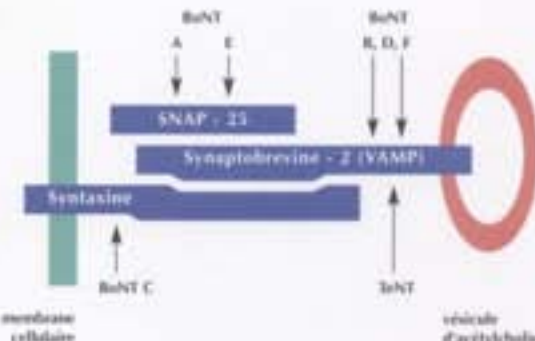
SNAREs: cibles des neurotoxines clostridiales



Applications des Neurotoxines ...

Dysport
TOXINE BOTULIQUE TYPE A • 500 UNITÉS SPEYWOOD

La maîtrise biopharmaceutique...

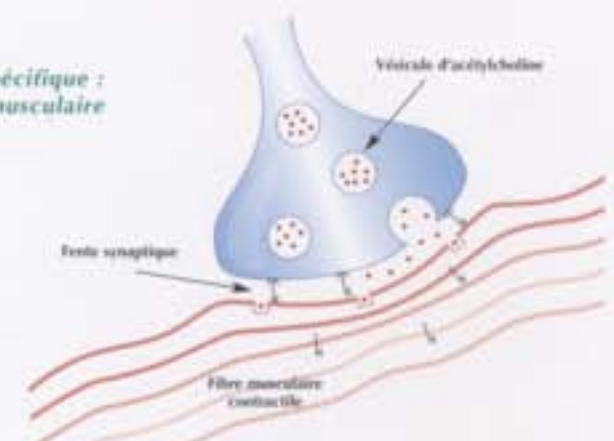


The diagram illustrates the molecular mechanism of Botulinum Toxin Type A (Botox) at a synapse. On the left, the cell membrane contains the Syntaxin protein. On the right, the vesicle membrane contains the SNAP-25 and Synaptobrevin-2 (VAMP) proteins. Botox subunits A and E bind to SNAP-25, while subunits B, D, and F bind to Synaptobrevin-2. Subunit C is shown binding to the cell membrane. This binding leads to the internalization and degradation of the synaptic proteins, preventing the vesicle from fusing with the membrane and releasing acetylcholine.

Une action focalisée sur la clé synaptique

... au service des Dystonies

Une cible spécifique : la jonction neuromusculaire



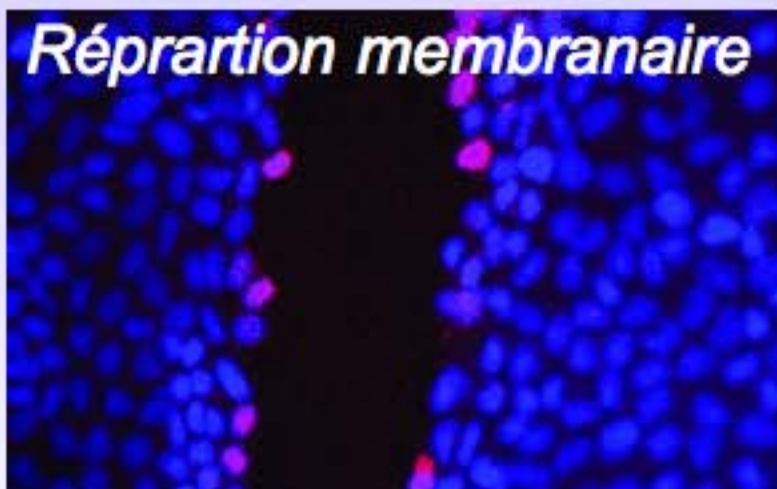
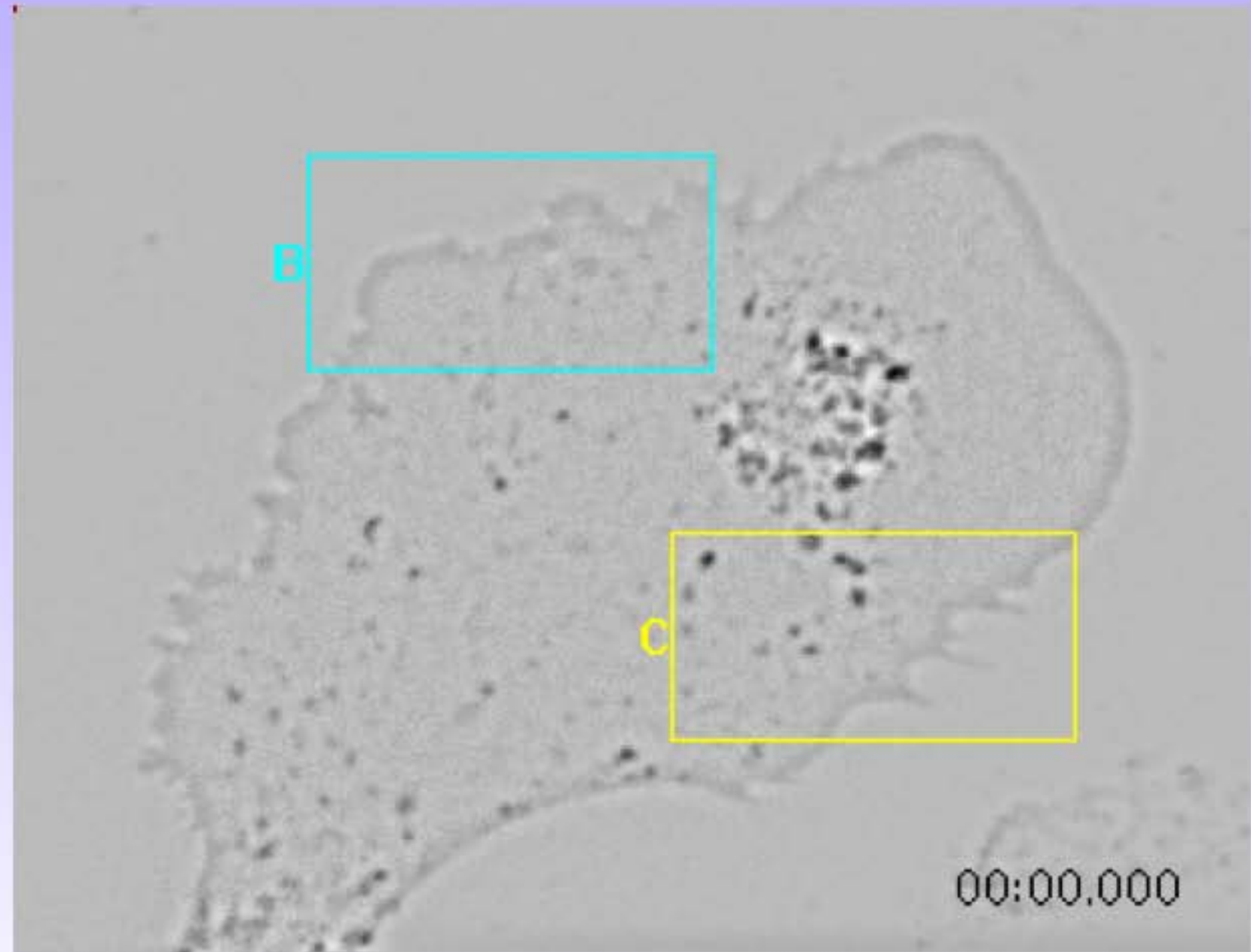
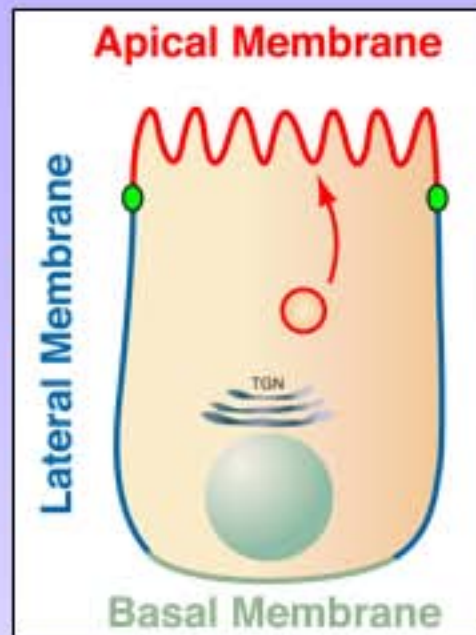
The diagram shows a neuromuscular junction. A vesicle containing acetylcholine is positioned at the synaptic cleft. The vesicle membrane is fusing with the presynaptic membrane, releasing acetylcholine into the cleft. The acetylcholine then binds to receptors on the muscle fiber, causing it to contract.



Traitement des dystonies (hypercontractions musculaires involontaires et douloureuses).

Esthétique: injection de « BOTOX »:
Paralysie musculaire pendant 5 à 6 mois.

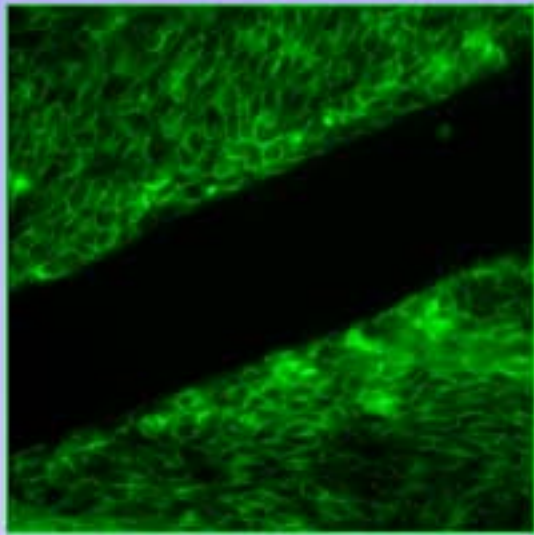
La cellubrevine est nécessaire à la réparation membranaire et la migration des cellules épithéliales



(Proux-Gillardeaux, 2007)

Proux-Gillardeaux & al, PNAS 2005

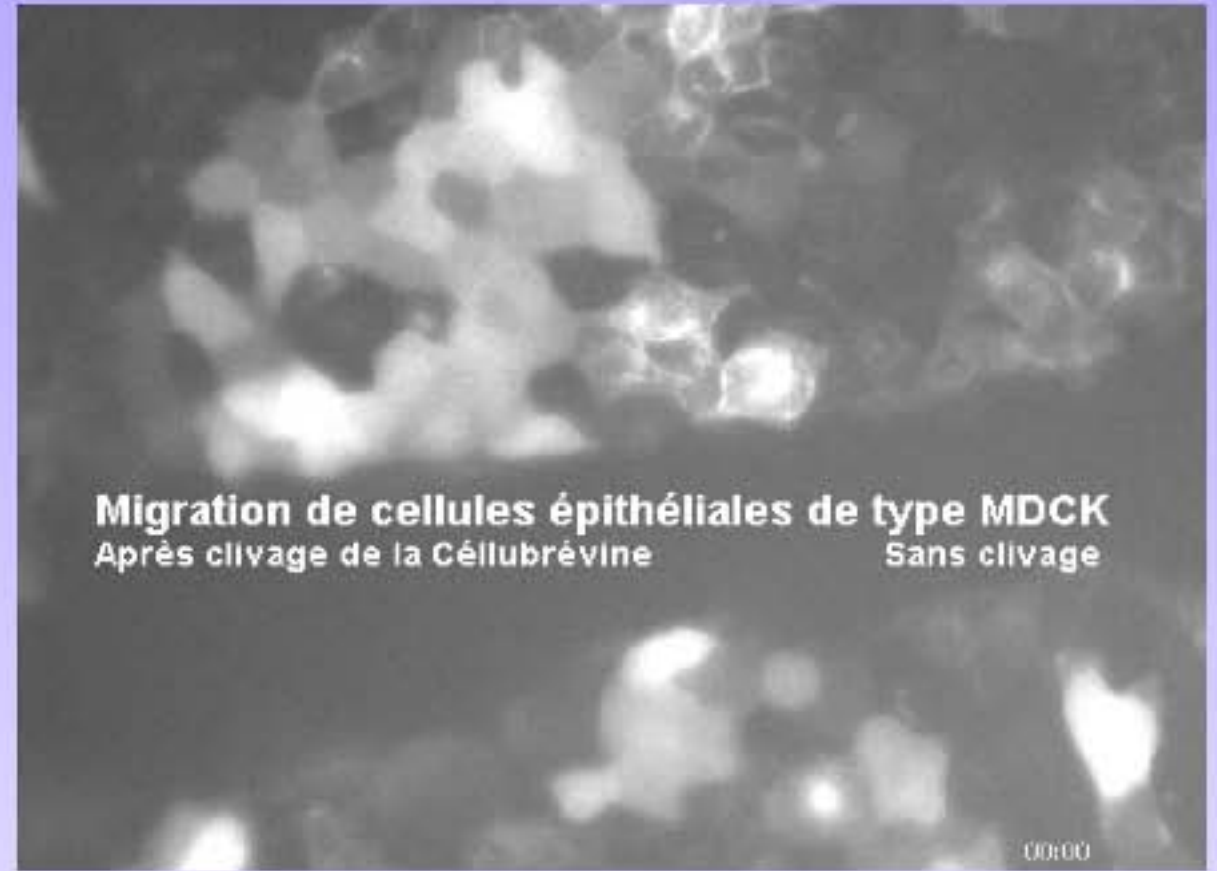
La toxine tétanique clive la cellubrévine et ralentit la migration des cellules épithéliales



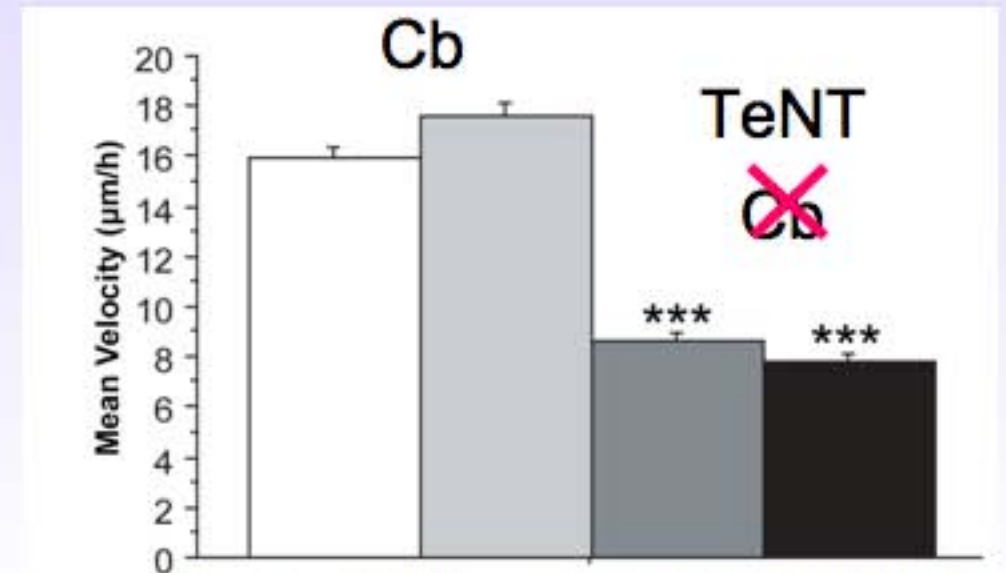
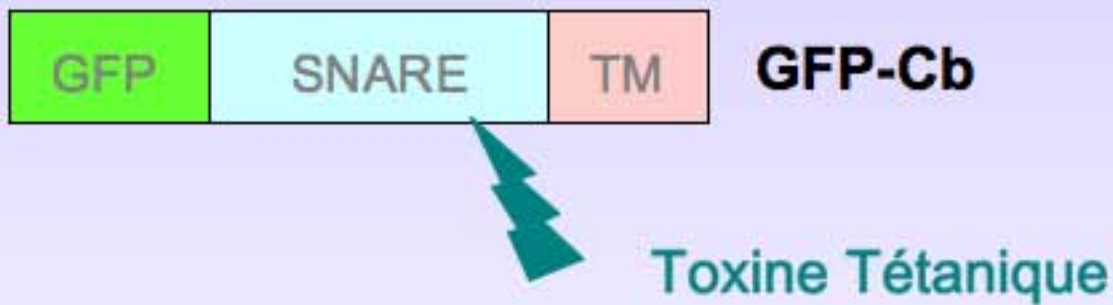
Blessure réalisée sur un tapis de cellule épithéliale :
-> favorise la migration

GFP-Cb

Proux-Gillardeaux & al, PNAS 2005, BoC 2007

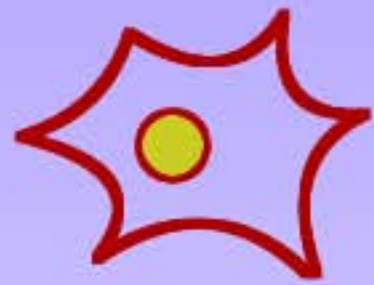


Migration de cellules épithéliales de type MDCK
Après clivage de la Cellubrévine Sans clivage



Proux-Gillardeaux & al, PNAS 2005, BoC 2007

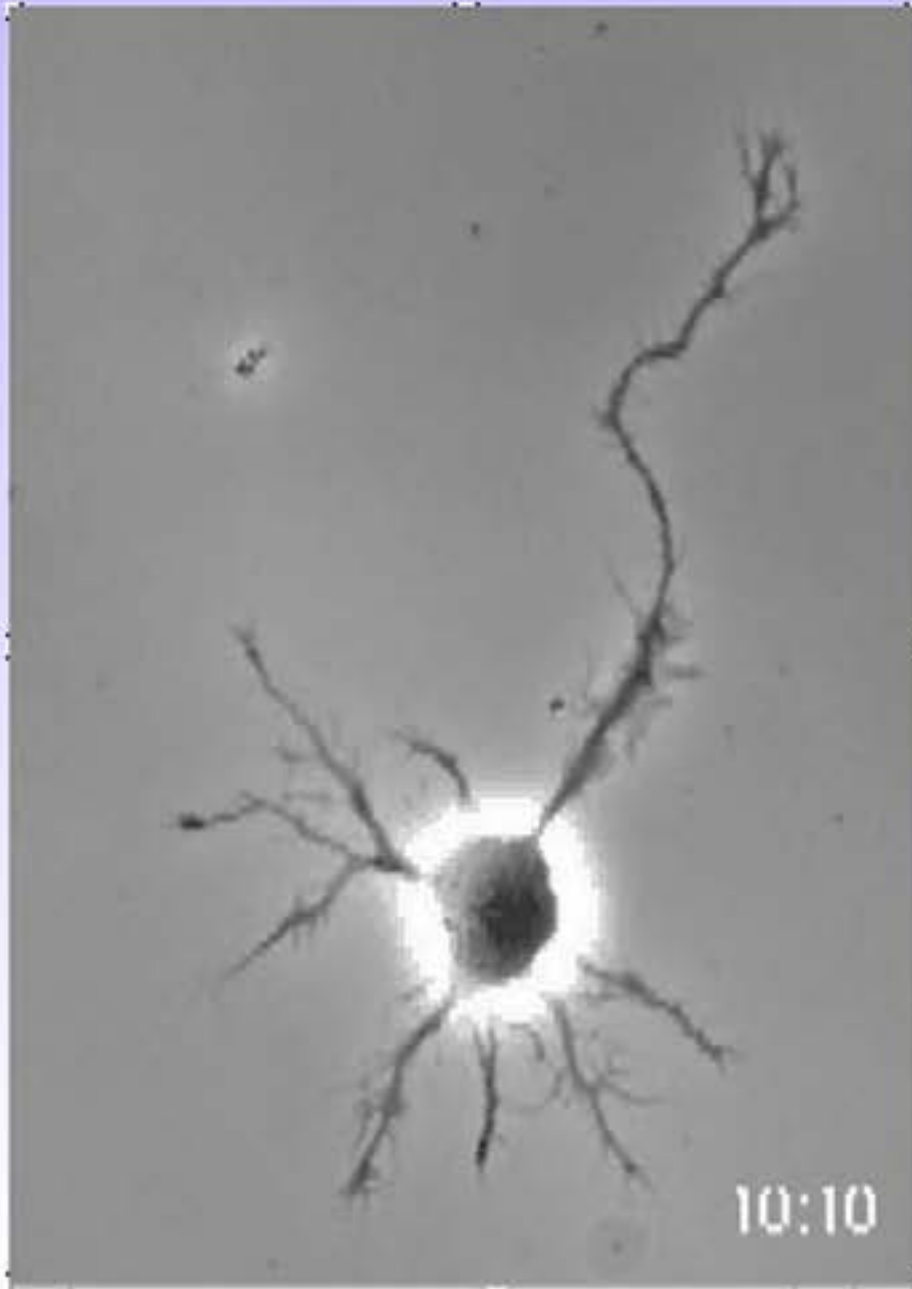
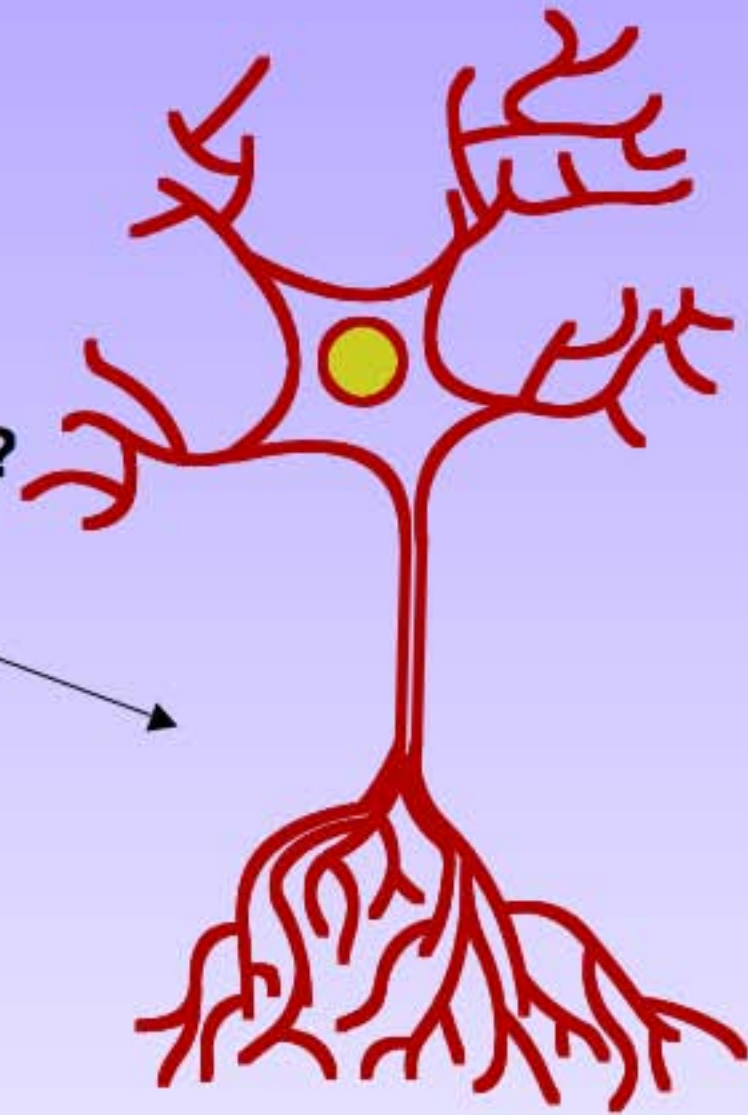
SNARE et croissance neuritique



Syb2 ?

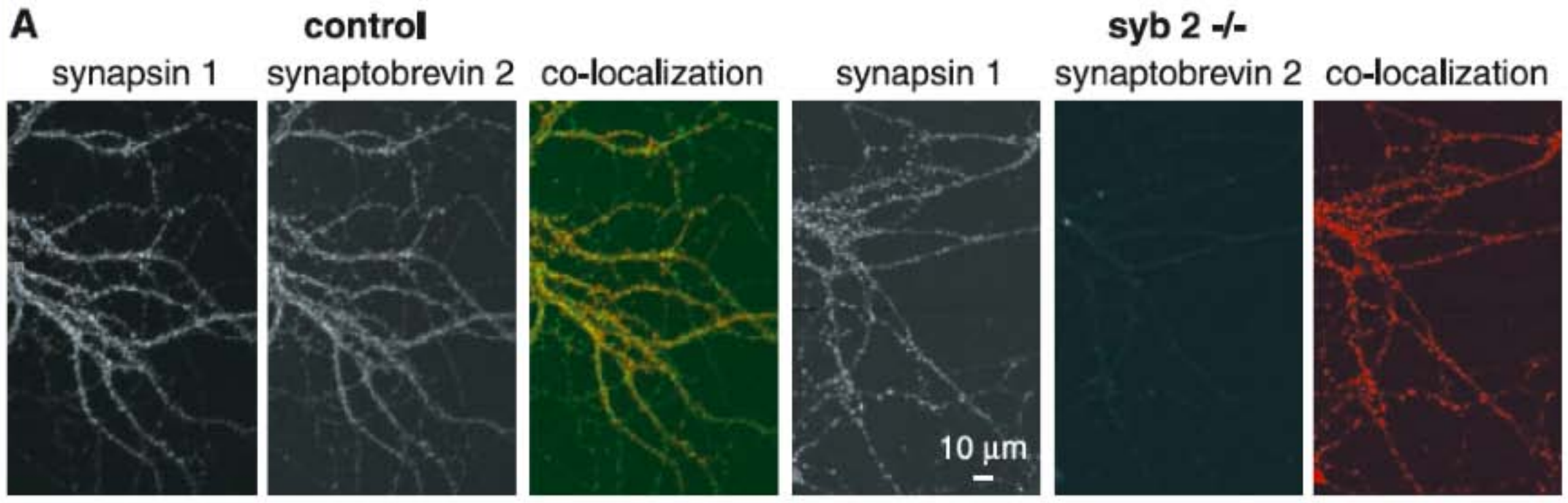
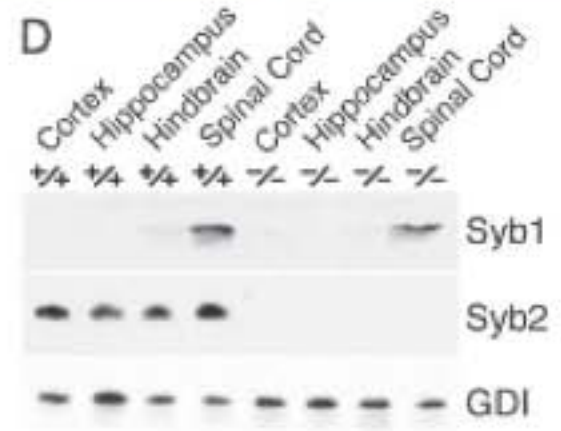
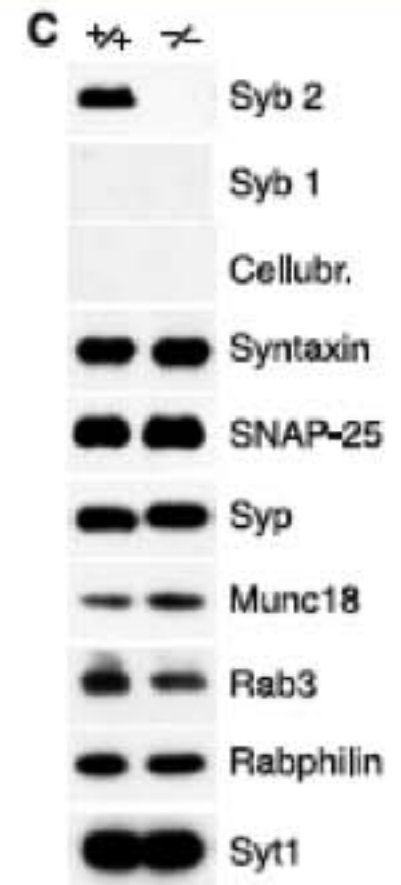
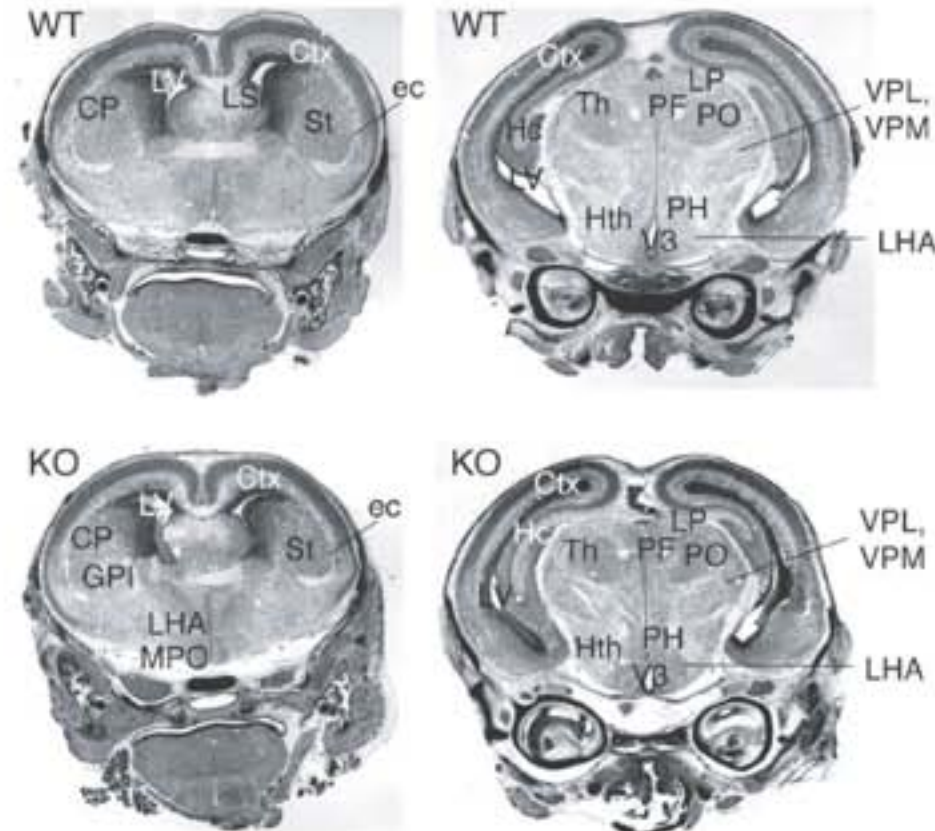


TI-VAMP ?



TIVAMP

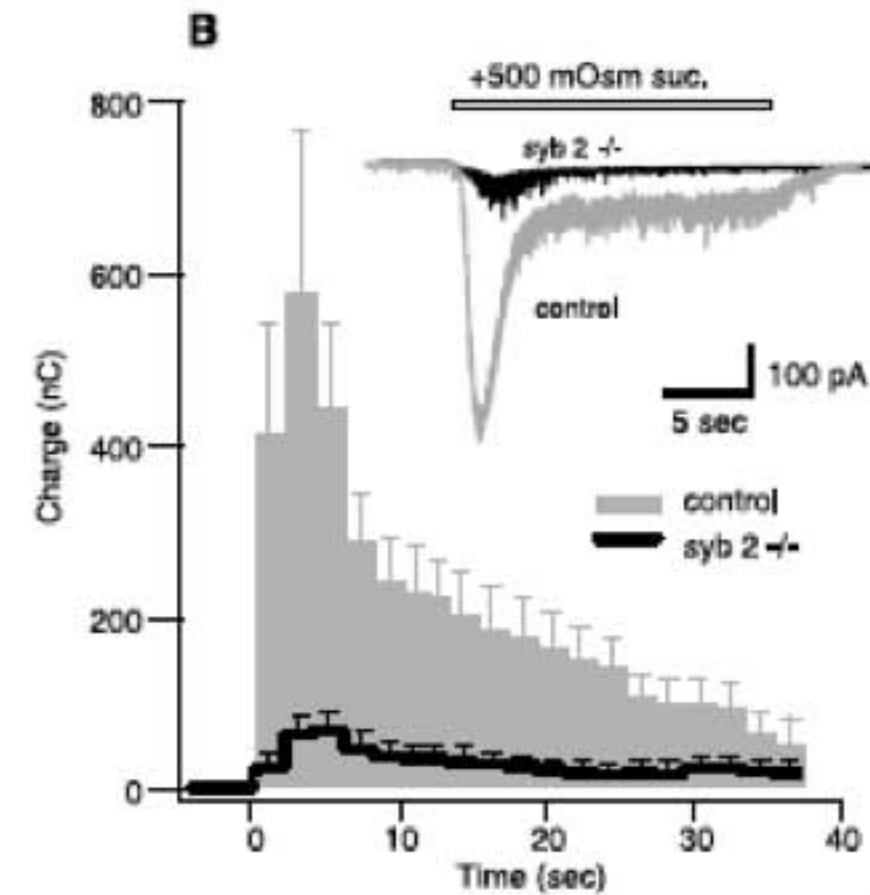
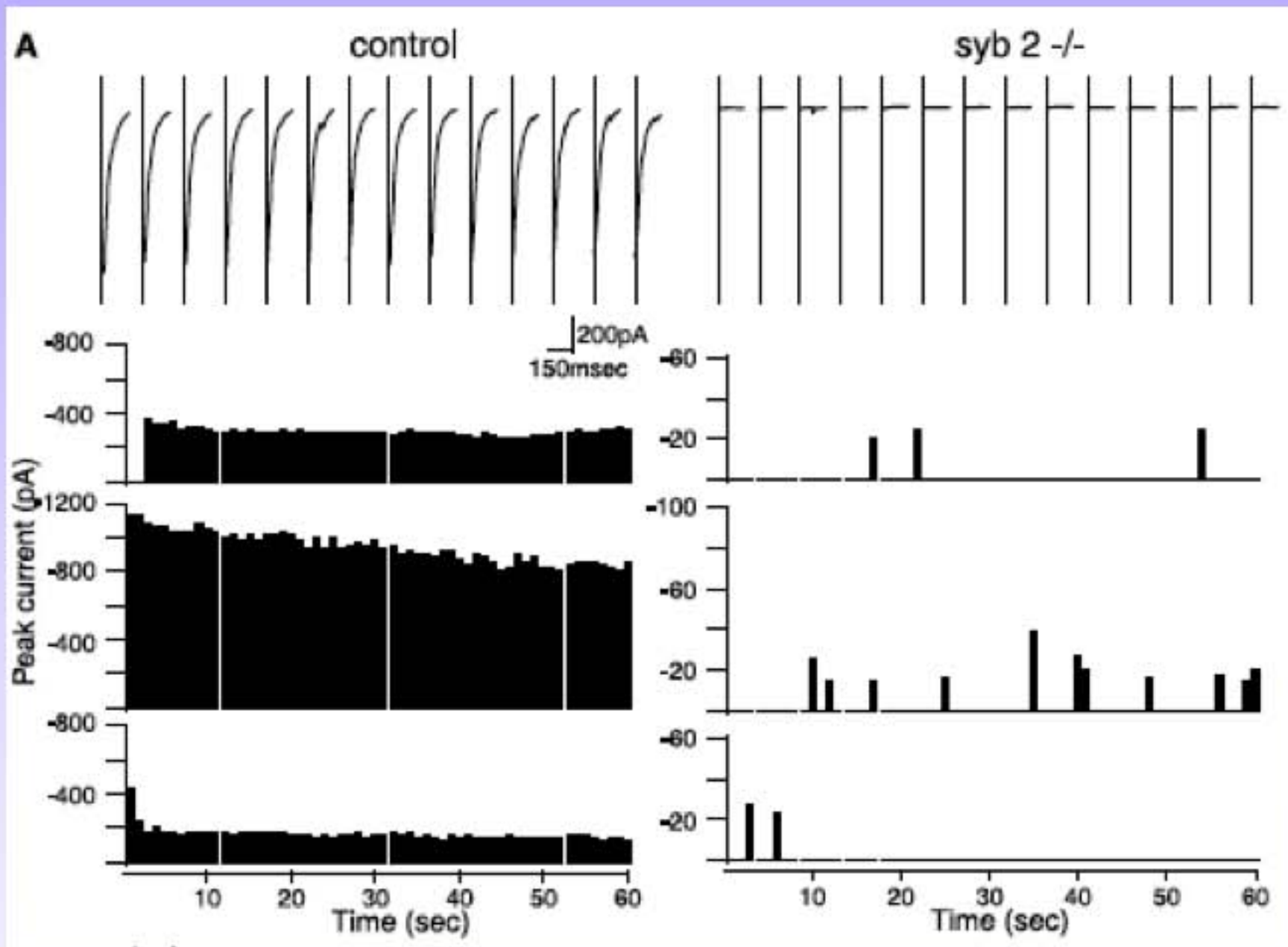
Synaptobrevin2 (Syb2) KO



En l'absence de Syb2, les synapses sont toujours présentes, le cerveau se forme normalement mais les animaux meurent à la naissance.

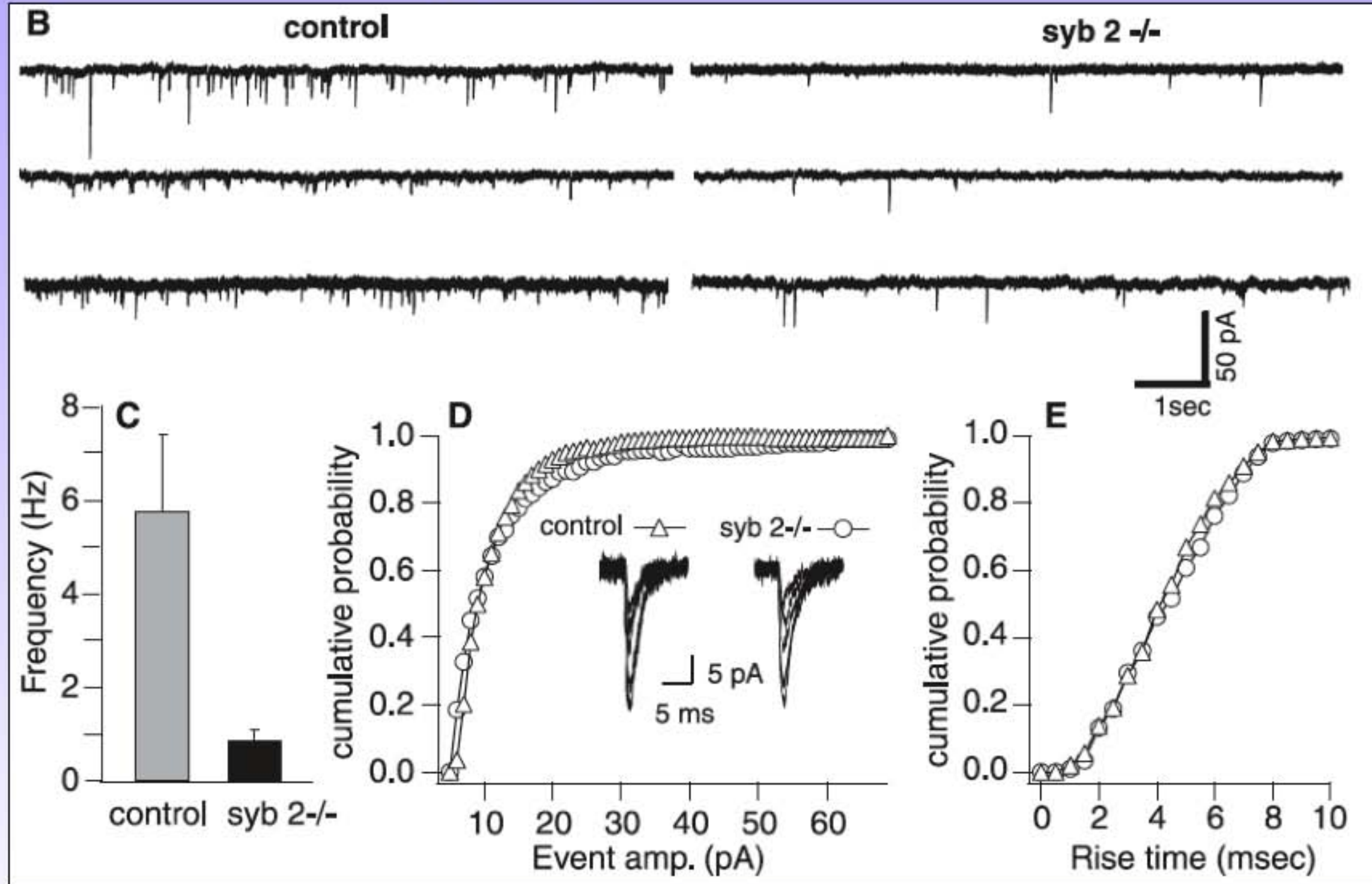
Science 2 November 2001:Vol. 294. no. 5544, pp. 1117 - 112

Synaptobrevin2 (Syb2) KO



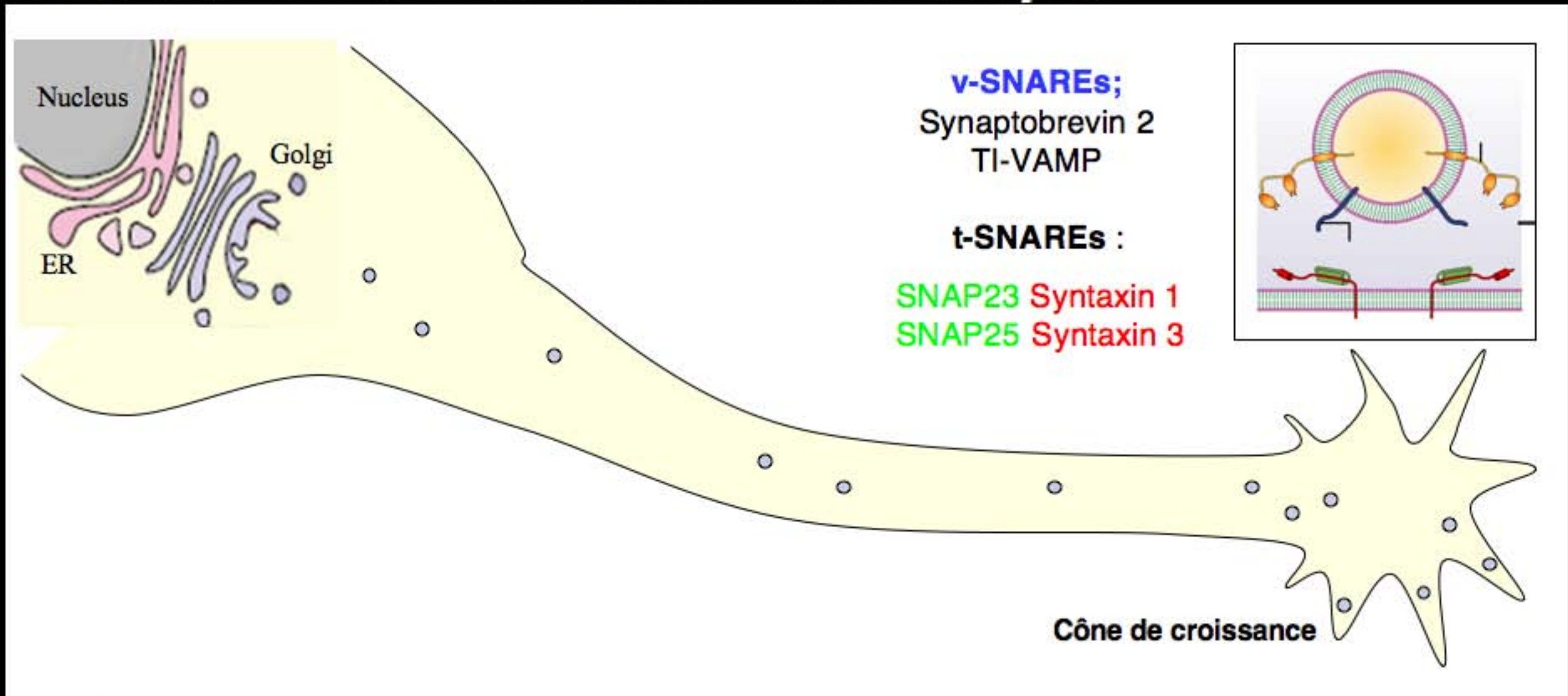
En l'absence de Syb2, la réponse évoquée est réduite d'un facteur 100.

Synaptobrevin2 (Syb2) KO



En l'absence de Syb2, la réponse spontanée est réduite d'un facteur 10.

SNAREs et croissance neuritique



SNAREs à la synapse

SNAREs au cône de croissance

v-SNAREs:

t-SNAREs :

v-SNAREs:

t-SNAREs :

Synaptobrevin 2

Syntaxin 1
SNAP25

Synaptobrevin 2
TI-VAMP

Syntaxin 1,3
SNAP23,25

Perte de Syb2 ou SNAP25:
Perte de sécrétion évoquée

Devpt cerveau normal, croissance neur. normale

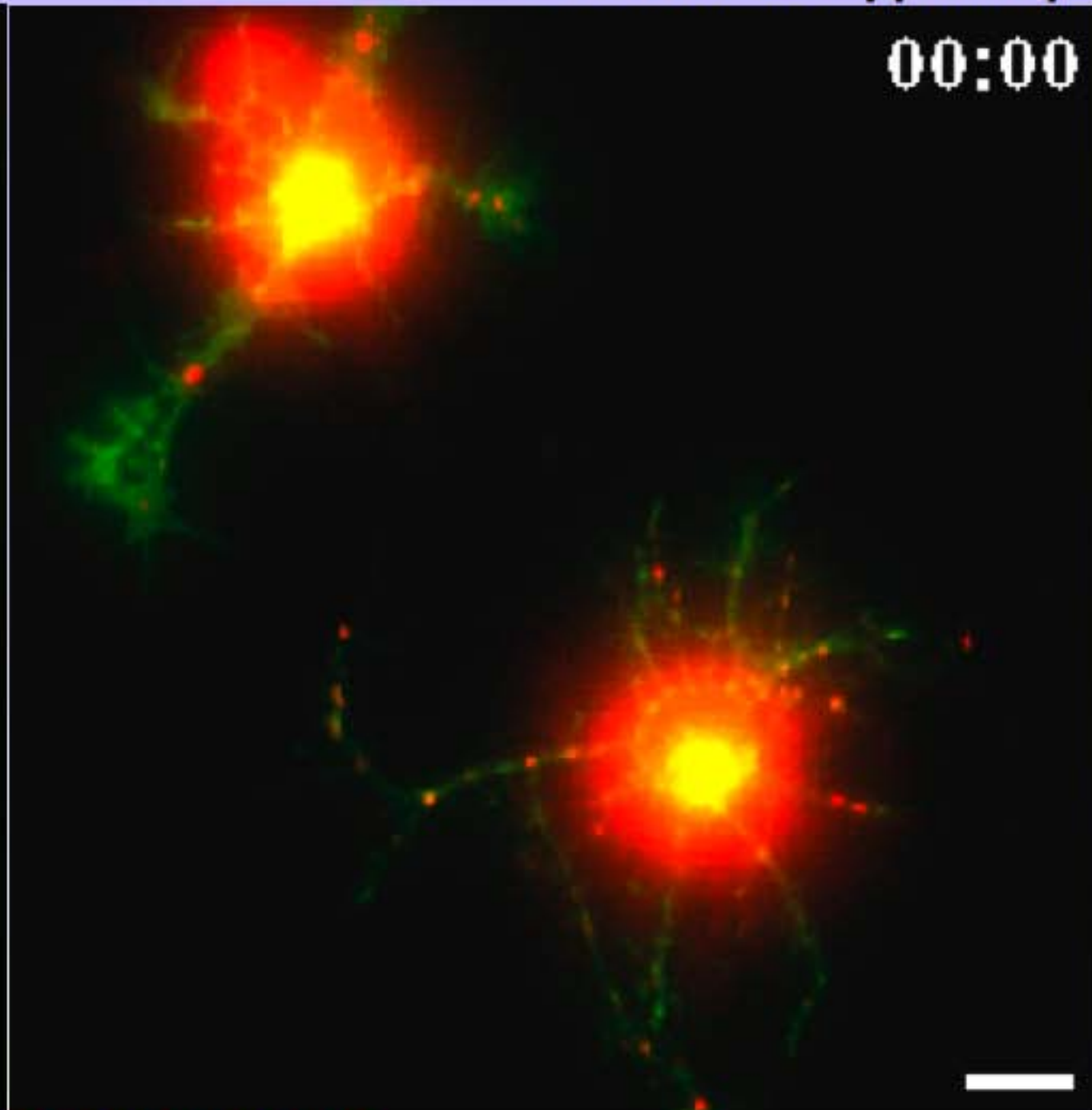
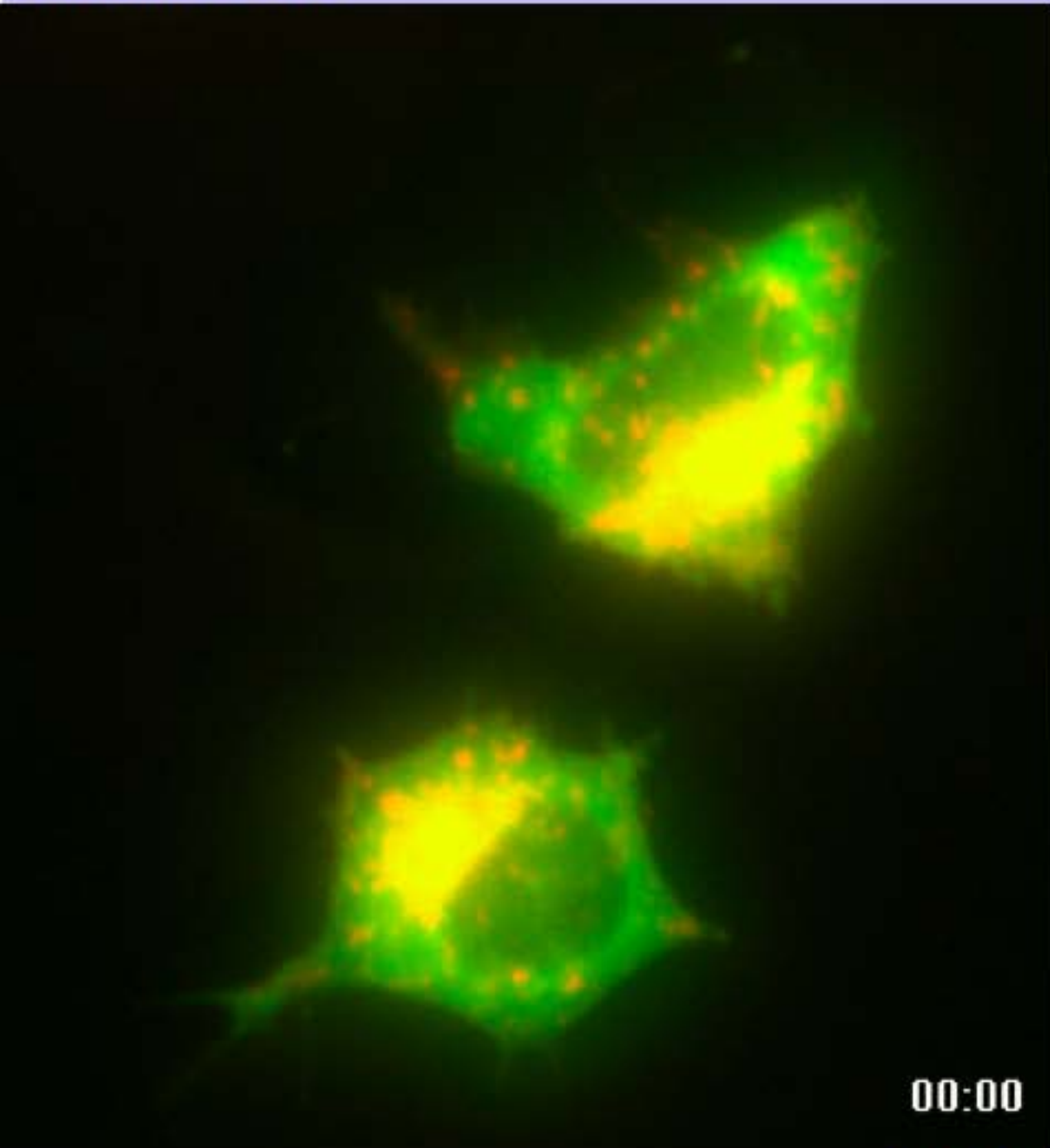
Croissance neuritique:

Résistante à la TeNT qui clive Syb2
Nécessite TI-VAMP et stx3

TI-VAMP et la croissance neuritique

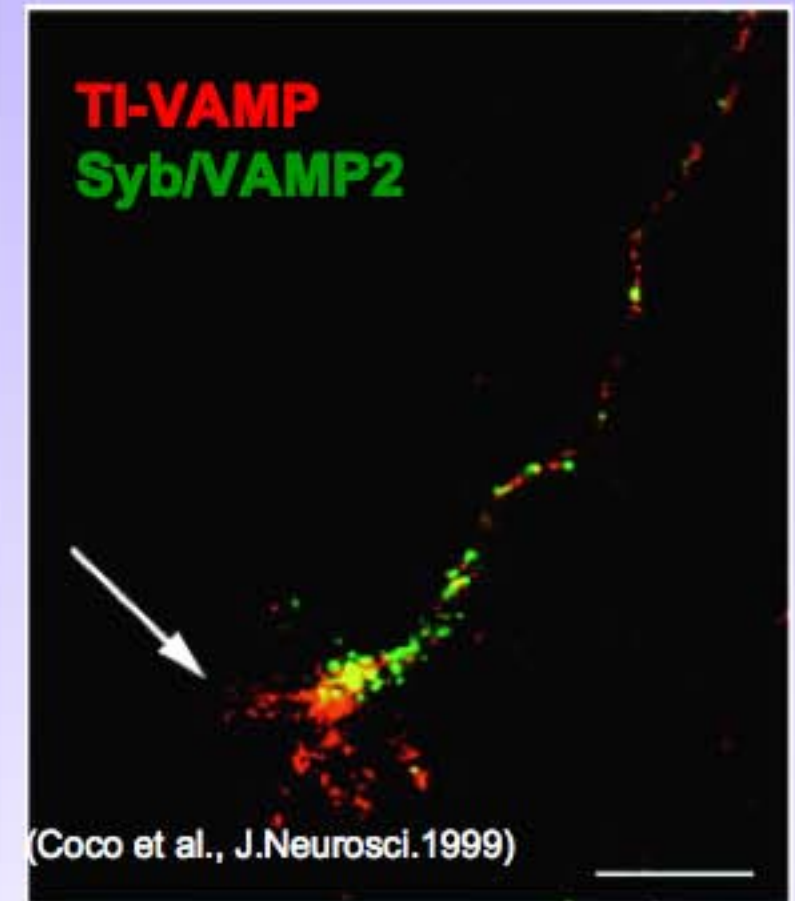
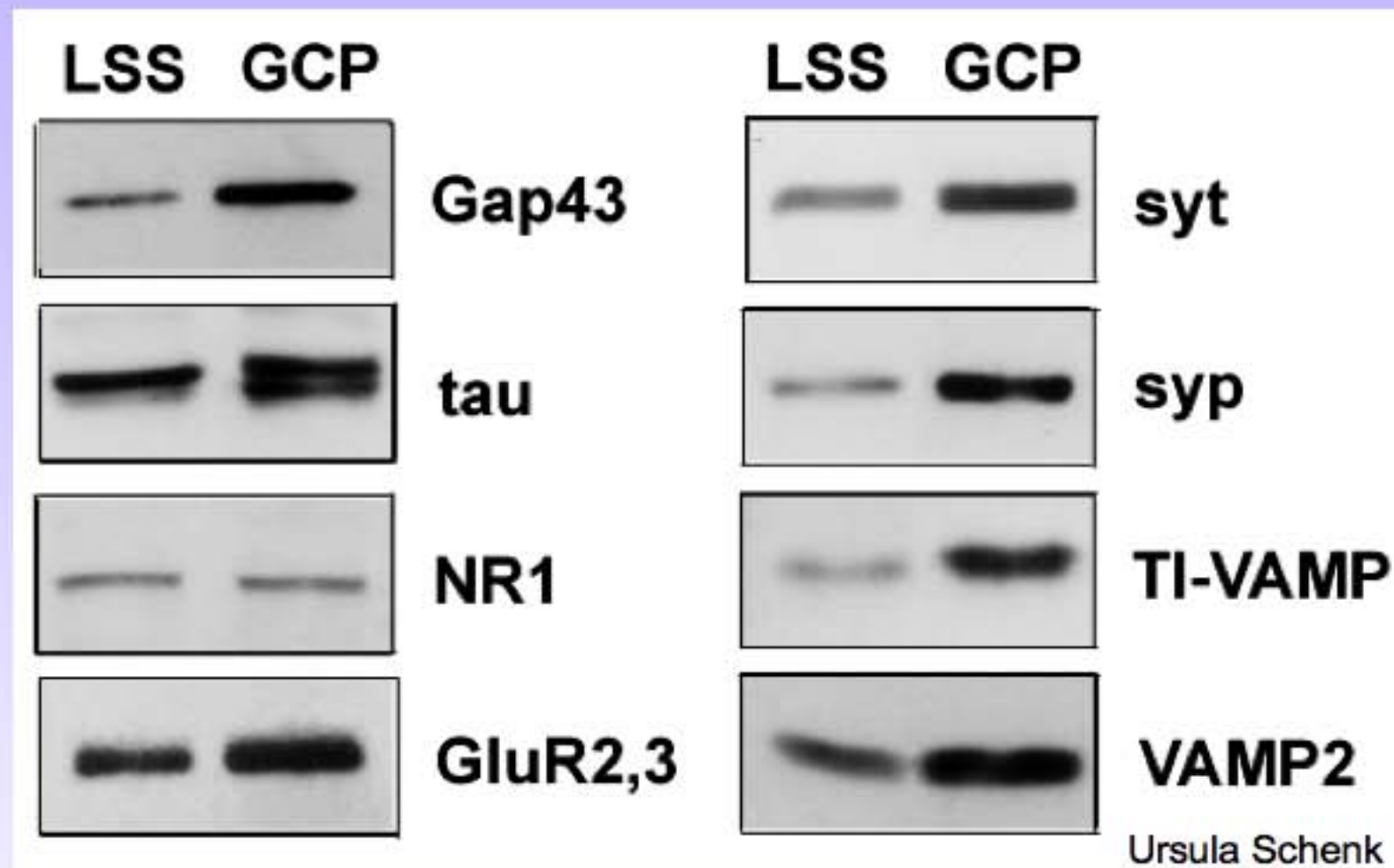
Cellules PC12

Neurones d'hippocampe



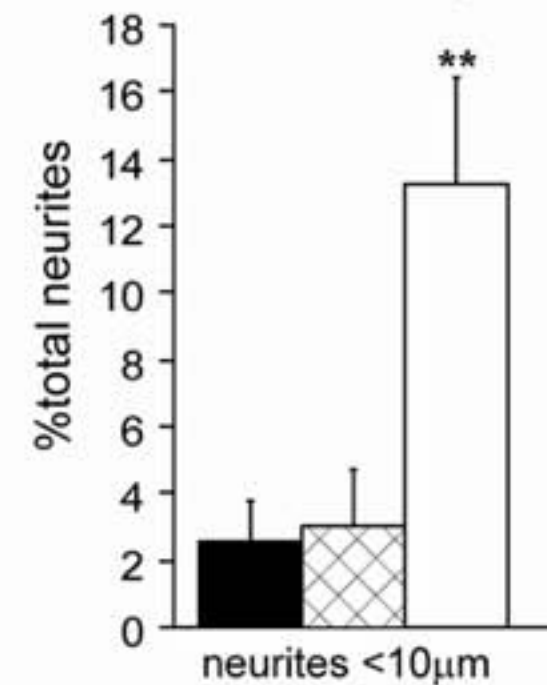
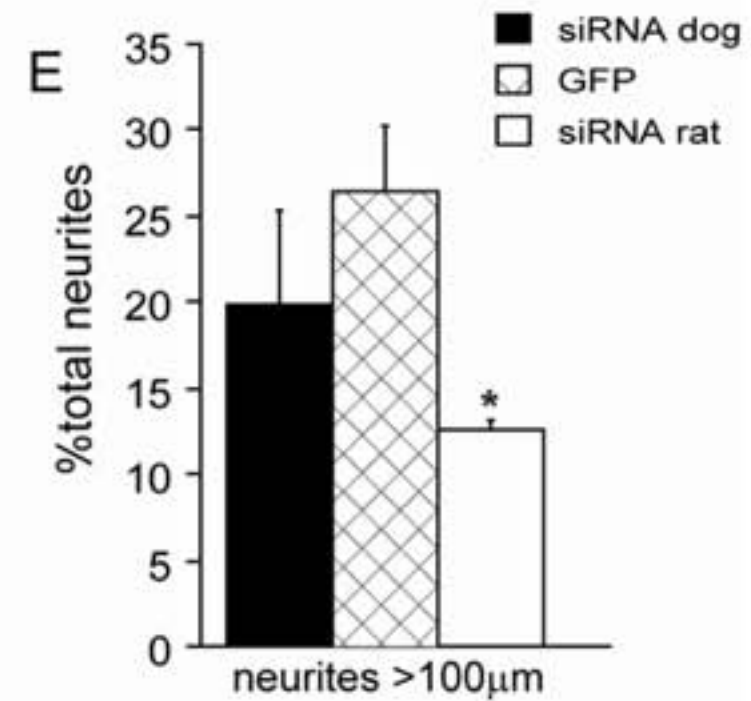
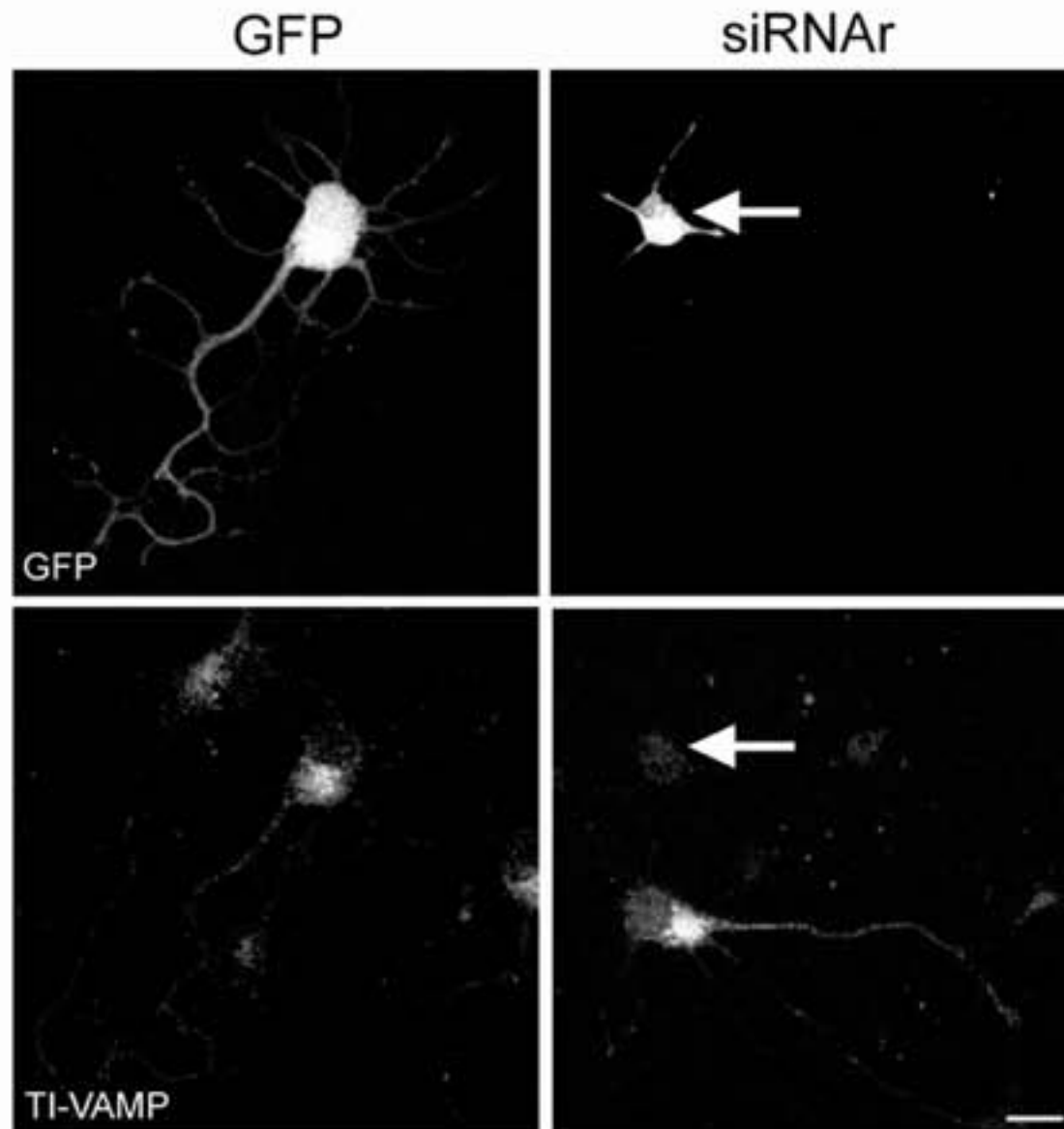
Tubulin RFP-TI-VAMP

TI-VAMP dans les cones de croissance

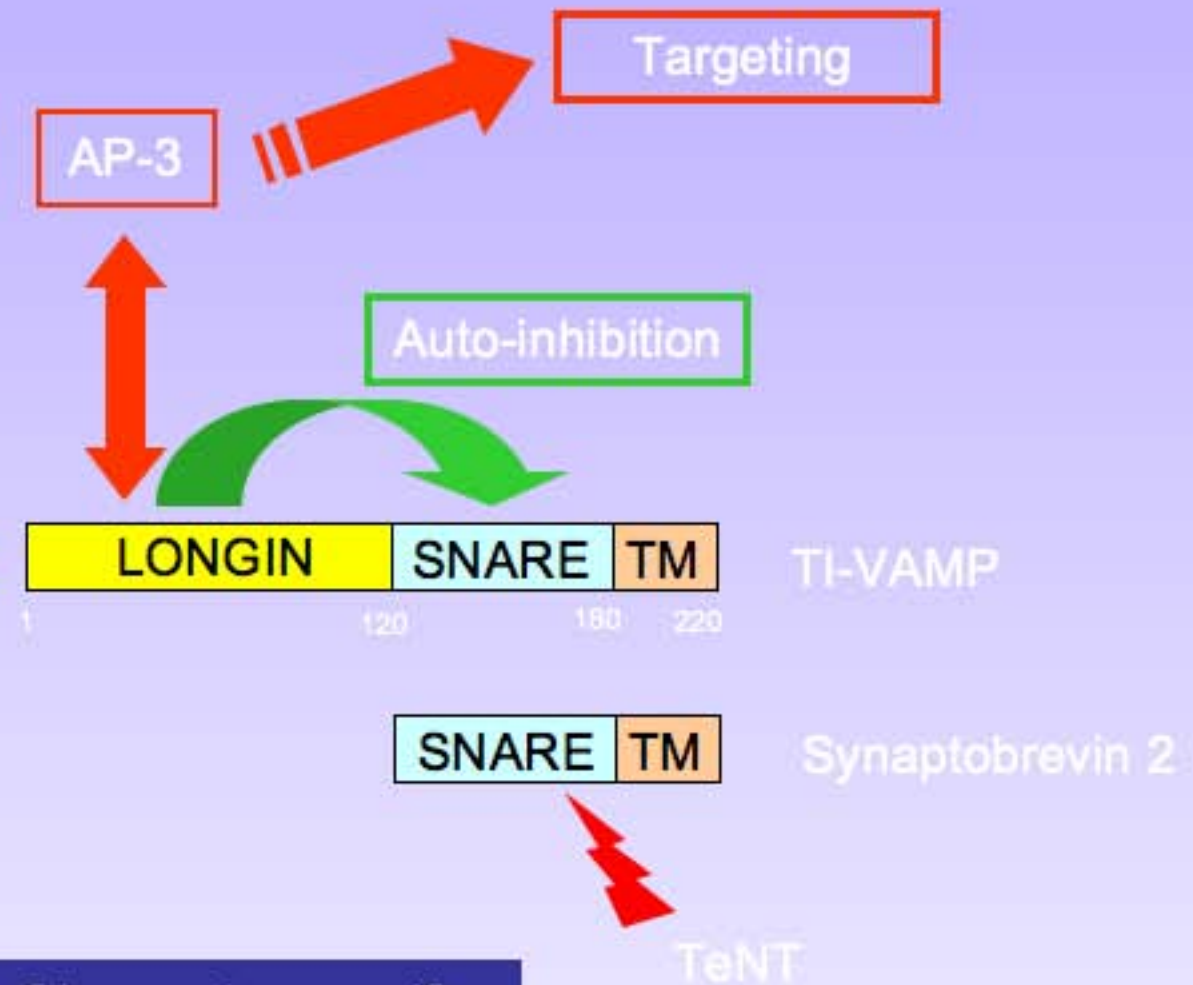
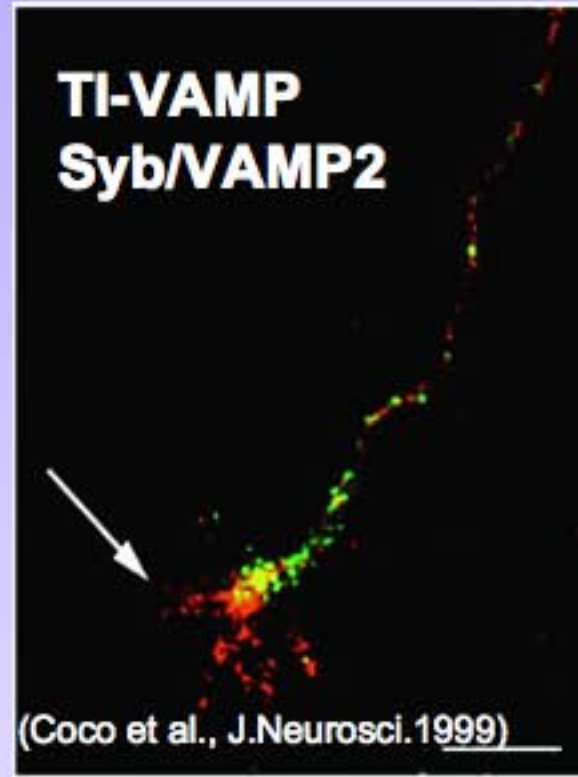
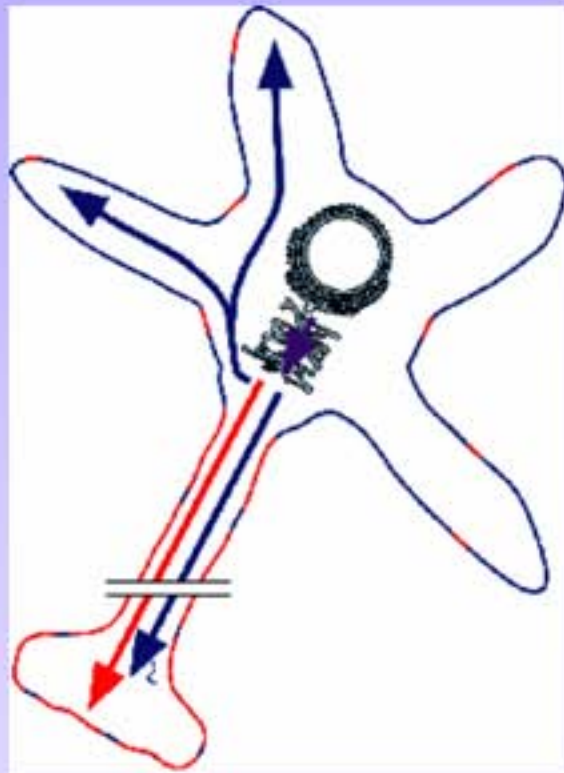


Les marqueurs présynaptiques sont enrichis dans les préparations de cones de croissance (GCP).

TI-VAMP est essentiel à la croissance neuritique

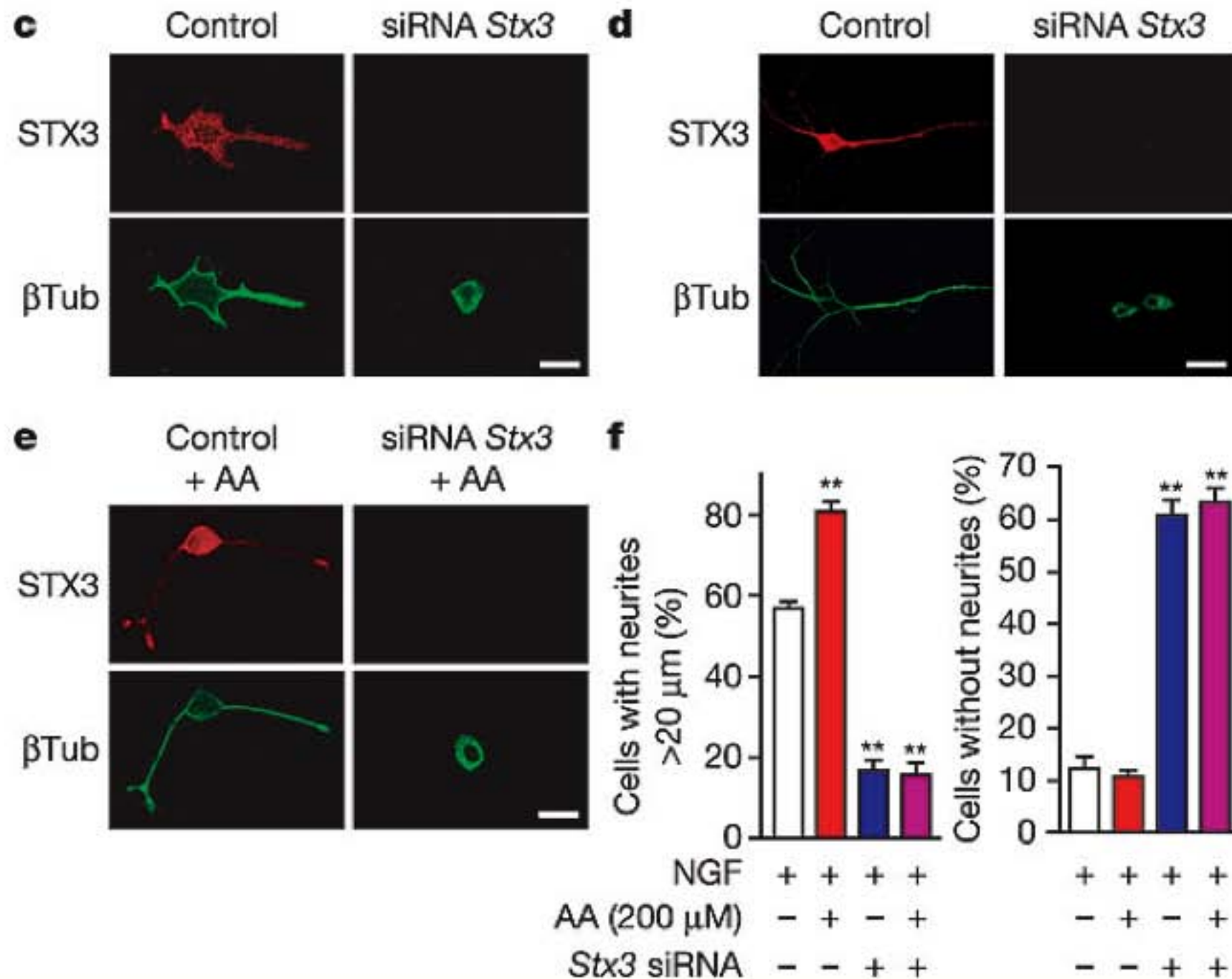


TI-VAMP: v-SNARE mediating neurite outgrowth

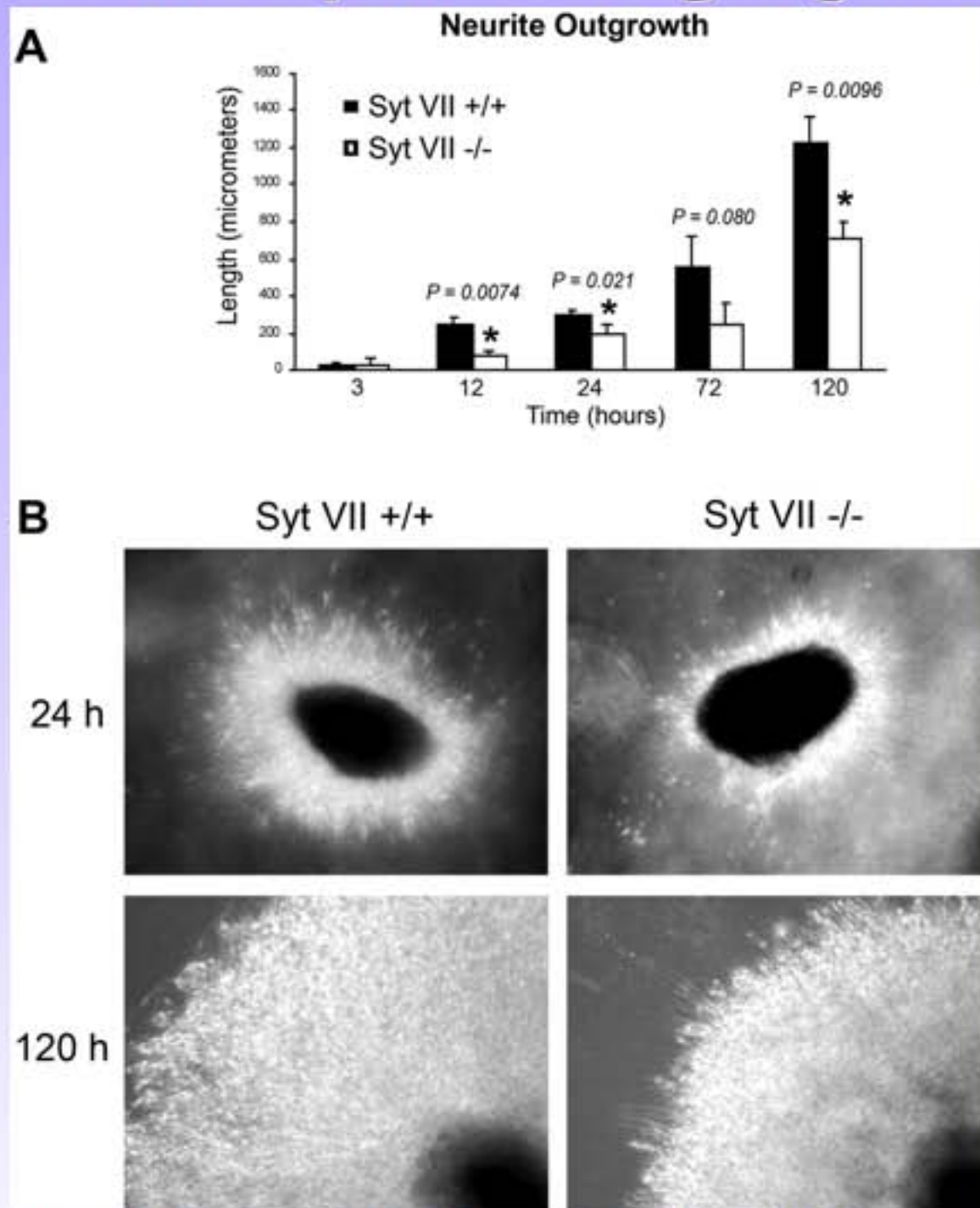


	Neurite outgrowth
Δ Longin-TIVAMP	↗
Longin-TIVAMP	↘
ARNi	↘

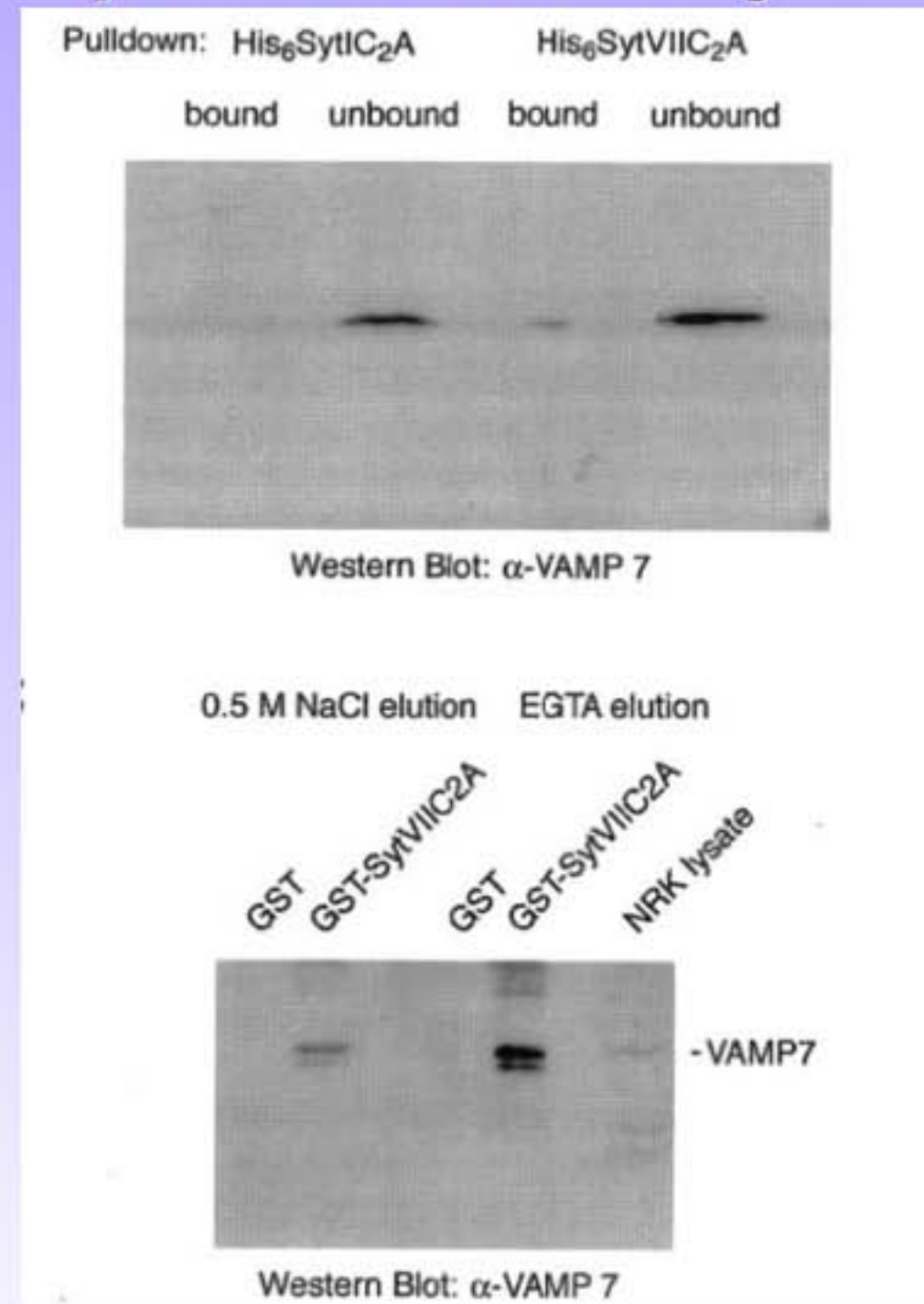
Implication de la syntaxine 3 dans la croissance neuritique



La croissance neuritique est diminuée dans les explants de ganglions spinal de souris *SytVII* $-/-$



Arantes & al J. Neurosci. 2006

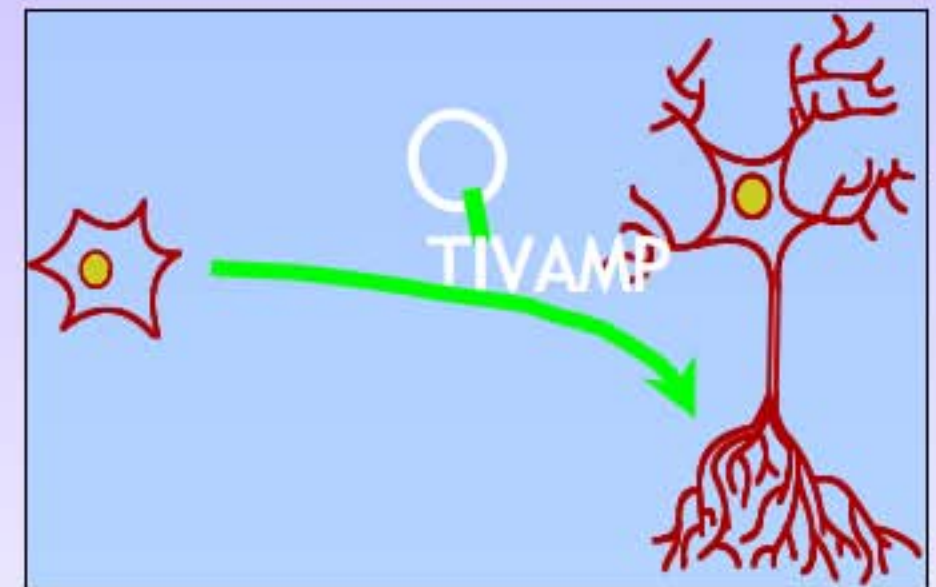
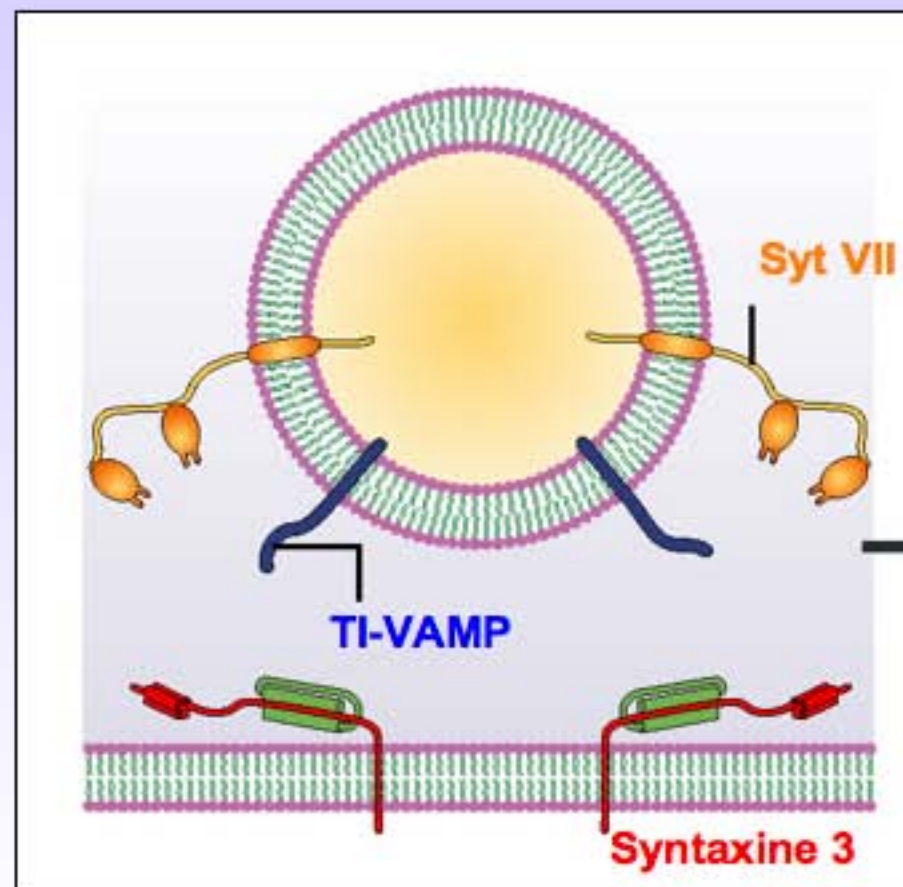


Rao & al JBC 2004

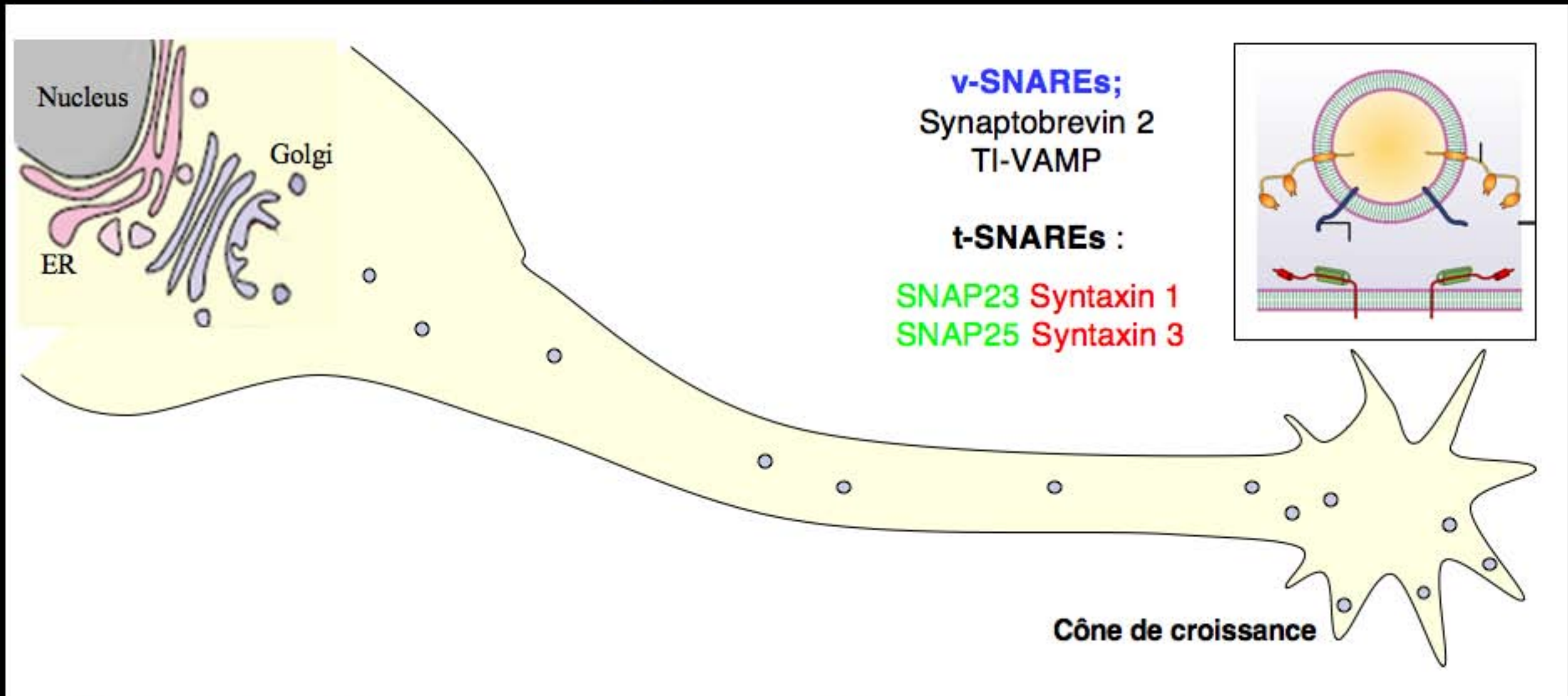
Role de l'exocytose dans la croissance neuritique

Mécanisme moléculaire impliquant:

- TIVAMP come v-SNARE
- Syntaxine 3 comme t-SNARE
- Synaptotagmin VII



SNAREs et exocytose



SNAREs à la synapse

SNAREs au cône de croissance

v-SNAREs:

t-SNAREs :

v-SNAREs:

t-SNAREs :

Synaptobrevin 2

Syntaxin 1
SNAP25

Synaptobrevin 2
TI-VAMP

Syntaxin 1,3
SNAP23,25

Perte de Syb2 ou SNAP25:
Perte de sécrétion évoquée

Devpt cerveau normal, croissance neur. normale

Croissance neuritique:

Résistante à la TeNT qui clive Syb2
Nécessite TI-VAMP et stx3

L'essentiel à retenir ...

1. Exocytose et complexe SNARE

Le complexe SNARE : 1vSNARE + 2 ou 3 t-SNAREs
 Nomenclature v-SNARE ou R-SNARE
 t-SNARE ou Q-SNARE

2. Historique de la découverte de NSF et des SNARE

NSF est nécessaire au désassemblage des complexes SNARES
 NSF se lie par l'intermédiaire des SNAP

3. Le cycle des vésicules synaptiques

Voie lente: endocytose médiée par la clathrine
 Voie courte: kiss and run
 Trois pool vésiculaires : réserve, recyclage, prêt-à-être libéré

4. Comment mesurer l'exocytose ?

Capacitance : proportionnel à la surface de mb
 Ampérométrie : proportionnel à la qté de molécules libérées
 GFP pH sensible(la Phluorin): s'allume si exocytose

5. Comment mesurer le recyclage ?

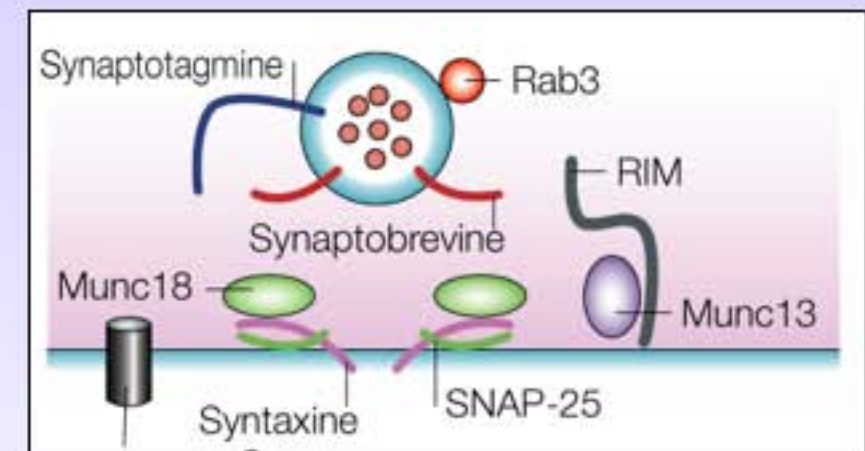
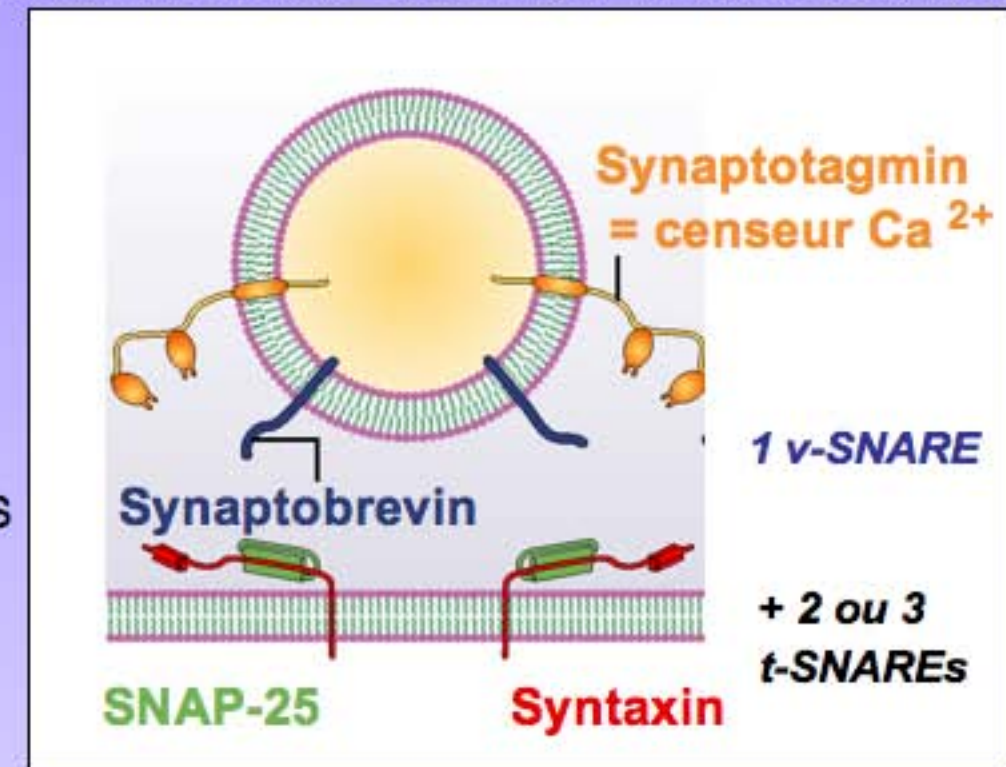
Utilisation des anti-synaptotagmine
 Sondes fluorescentes de type FM

6. Régulation de l'exocytose

Munc-18 et les protéines SM : nécessaire à l'assemblage
 Munc 13, RIM et Rab3 : nécessaire au priming
 Rôle de la synaptotagmine: censeur du calcium

7. Fonctions des SNARES selon le type cellulaire

Rôle de la Cellubrevine dans la migration des cellules épithéliales
 Rôle de la synaptobrevine dans la libération des NT
 Roles de TI-VAMP dans la croissance neuritique
 Roles de Stx3 et SytVII dans la croissance neuritique



Dr Lydia Danglot

Institut Jacques Monod

lydia.danglot@inserm.fr

Si vous avez des questions ...

Contact

http://lydia.danglot.free.fr

Les plus visités ▾ Google ISI PubMed-CNRS BIBLIOINSERM Biblio ▾ Fournisseurs ▾ IJM/PRG ▾ Seminaires ▾ BM ▾ Souris ▾ Pratic ▾ Inserm ▾ concours ▾ Imagerie ▾ Formation ▾

Contact +



Lydia Danglot web page

Life Science & Imaging

Octobre 31, 2010

- Research
- Publications
- Teaching
- Favorite links
- CONTACT

 [French](#)  [English](#)

Contact

Lydia DANGLOT, PhD

[Institut Jacques Monod](#), CNRS UMR7592
Inserm U950 [Thierry Galli](#):
Membrane traffic and epithelial and neuronal morphogenesis
15 rue Hélène Brion, Bâtiment Buffon, room 316B
Paris Diderot University
75 013 Paris, FRANCE.

Phone: 33 1 57 27 80 37

email: danglot@ijm.univ-paris-diderot.fr
ou lydia.danglot@inserm.fr



Pour télécharger le cours ...

<http://lydia.danglot.free.fr/cours>

Firefox Fichier Édition Affichage Historique Marque-pages Outils Fenêtre Aide
Page de démarrage Mozilla Firefox
Lydia Danglot - Cours de neurosciences et de biologie cellulaire
<http://lydia.danglot.free.fr/cours> Google

Les plus visités - Google ISI PubMed-CNRS BIBLIOINSERM Biblio - Fournisseurs - IJM/PRG - Seminaires - BM - Souris - Pratic - Inserm

Lydia Danglot - Cours de neurosc... +

Lydia Danglot web page
Life Science & Imaging

Octobre 31, 2010

- Thème de recherche
- Publications
- Enseignement**
- Liens favoris
- CONTACT

 
French English

Enseignement

Cours

- [Master2 de Neurosciences - UE Synapse et synaptogenèse](#) (code UE : MBIP5019) - Université Pierre et Marie Curie (Paris 6):
[Planning](#) [Neuritegenèse et polarité neuronale](#).
- [Master2 de Neurosciences - UE Communication Cellulaire](#) (code UE : MBIP5003) - Université Pierre et Marie Curie (Paris 6):
[Les protéines SNARE et l'exocytose](#) : classification des SNAREs, voie de recyclage des VS, comment mesurer l'exocytose, comment mesurer le recyclage, les protéines régulant l'assemblage des SNARE (Munc18, munc13, Syt, complexine), souris KO Syb2, souris mocha,...
- [Master2 de Génétique - Université Paris Diderot \(Paris 7\)](#), UE Neurobiologie cellulaire et développementale.
[Développement de l'hippocampe et synaptogenèse](#): Neuroanatomie générale, présentation du SNC, présentation du télencéphale et de l'hippocampe, développement de l'hippocampe, migration des neurones excitateurs et inhibiteurs, modèle des neurones dissociés d'hippocampe en culture, polarité neuronale, formation des synapses.
- [Ecole doctorale Frontières du Vivant \(Universités Paris V, VI, VII\)](#)
[Club Neurobiologie & Optique: Diversité et usage des protéines fluorescentes en Neurosciences](#).
- [Master2 de Biothérapies Tissulaires Cellulaires et Génétique: Faculté de Médecine Hôpital Henri Mondor \(Paris12\)](#).
[1. Animaux mutants: identifications, entretien, analyse](#),
[2. Modèles en psychiatrie: addiction, schizophrénie, hyperactivité et trouble de l'attention, et anxiété](#).
- [Master1 de Biologie - Ecole Normale Supérieure](#), UE [De neurone au système](#), Module Neurobiologie n°2:
[La machinerie d'exocytose](#).

Travaux pratiques

- [Master2 de Génétique - Université Paris Diderot \(Paris 7\)](#), UE Neurobiologie cellulaire et développementale.
Travaux pratiques d'imagerie: microscopie à épifluorescence, trajet optique, présentation des filtres dichroïques, acquisition d'images. Mesure d'exocytose (FM1-43) par vidéo-microscopie.

Travaux dirigés

MANUEL de cours

- 
Master2- Paris 6
Neuritegenèse et polarité neuronale.
[Download](#)
- 
Master2- Paris 6
Complexe SNARE et communication cellulaire.
[Download](#)
- 
Master2- Paris 7
Développement de l'hippocampe et synaptogenèse
[Download](#)
- 
Doctorat-Paris 5, 6, 7
Usage et diversité des protéines fluorescentes en Neurosciences.
[Download](#)
- 
Master1- ENS- N2
Machinerie d'exocytose
[Download](#)